

**MINISTERUL EDUCAȚIEI SI INVATAMINTULUI
INSTITUTUL POLITEHNIC "TRAIAN VUIA" TIMIȘOARA**

Ing. DEMETER IULIU

TEZA DE DOCTORAT

**STUDIUL SI INTENSIFICAREA PROCESELOR DE ARDERE
AUTOTERMA, IN SUSPENSIE, A CONCENTRATELOR CU-
PROASE SI A PIRITELOR**

**BIBLIOTECA CENTRALĂ
UNIVERSITATEA
"POLITEHNICA" TIMIȘOARA**

Conducător științific:

Prof.dr.ing. UNGUREANU CORNEL

- 1981 -

INSTITUTUL POLITEHNIC TIMIȘOARA	
BIBLIOTECĂ	
C.C. 136.74.	
Volumul nr.	136.74.
Loc. doc. nr.	F

C U P R I N S

PUB.

CAP.1. INTRODUCERE	1
1.1. Orientările actuale și de perspectivă, în domeniul metalurgiei metalelor neferoase..	1
1.2. Instalația de topire în suspensie.....	6
1.3. Compoziție chimică și geometrie concentratului de șară.....	10
CAP.2. STUDIUL CINETICII SI A PROCESEI DE ADERSIE LA TOARELE SUBSTITUȚII ÎN SUSPENSIE, A CONCENTRAȚIEI OR CUPROASĂ SI A PRIMITIVOR.....	16
2.1. Unele considerații teoretice privind cinetica reacțiilor.....	16
2.2. Metode folosite în studiul reacțiilor solid-gaz.....	19
2.3. Interpretarea curbelor termice.....	24
2.4. Determinarea ecuației cinetice formădă ce caracterizează descompunerea termică a concentratului cupros.....	32
CAP.3. SCHIMBUL DE MASĂ SI DE CALORIE ÎN PLACAREA TUR- BULEA DIN JETUL DE REACTIE.....	63
3.1. Caracteristicile curgerii jetului portant dezvoltat în turnul de reacție.....	63
3.2. Hidrodinamica jetului încărcat cu particule solide în suspensie.....	79
3.3. Influența factorilor hidrodinamici asupra vitezei de ardere a unei particule de sulfuri în suspensie, într-un curent de gaz..	86
CAP.4. INCĂLZIREA SI ARDEREA CONCENTRATULUI SULFURAS, IN JETUL PORTANT.....	100
4.1. Încălzirea particulelor de concentrat în cazul configurației și structură jetului realizat în turnul de reacție.....	100
4.2. Aprinderea și arderea particulelor de concentrat cupros.....	117
4.3. Încălzirea particulelor solide în perioade inceperei topirii și în timpul oxidării sulfurilor simple.....	127
4.4. Mechanisme și coeficienții de transport în jetul încărcat cu particule de concentrat.	137

CAP.5. STUDIUL SI PROPUNERII PRIVIND MODERNIZAREA PROSESULUI DE TOPIRE A CONCENTRATELOR CUPROASE SI A PIRITE-LOR, IN SUSPENSIE.....	144
5.1. Propunerî, privind intensificarea procesului de topire a concentratelor cuproase în suspensie.....	144
5.2. Fundamentarea necesitării influențării suficientilor de transfer de căldură, basic și de împăiere.....	146
5.3. Relații hidrodinamice pentru particule de concentrat cupros din jetul portant oscilat	148
CAP.6. FENOMENUL DE COALESCENTA.....	157
6.1. Fenomene de coalescențe în jetul încărcat cu particule de concentrat cupros, în sistem oscilat..	157
CAP.7. SISTEMUL EXPERIMENTAL, METODA DE LUCRU, APRATURA	168
7.1. Modificările propuse față de tehnologia convențională.....	168
7.2. Metoda cercetării experimentale.....	171
CAP.8. REALIZAREA REACTORULUI SI ELEKTRICUM...	181
CAP.9. CALCUL ECONOMIC.....	187
9.1. Determinarea eficienței noii tehnologii de topire în suspensie.....	187
CAP.10. CONCLuzII.....	190
10.1. Considerații finale.....	190
10.2. Contribuții personale.....	192
A NEXUS	195

1. INTRODUCERE

1.1. Orientările actuale și de perspectivă, în domeniul metalurgiei metalelor neferoase

Construirea societății multilaterale dezvoltate în R.S. România - consecința dezvoltării neconitenite a științei, culturii și a economiei naționale implică perfecționarea procedeelor metalurgice clasice, precum și introducerea în producție a unor noi tehnologii. În ultimii ani, în țara noastră dezvoltarea industriei de metale și aliaje a cunoscut ritmuri fără precedent, construindu-se uzine și secții noi tehnologice care asigură producții sporite de metale, prin eforturile reunite a tuturor categoriilor de salariați din acestă ramură.

Caracterul complex al minereurilor indigene, de metale neferoase, impune ca în metalurgia extractivă să se folosească concentrate tot mai bogate sub forma unor aglomerate și pelete auto-fondente, prelucrarea materiilor prime într-un număr restrins de agregate, utilizarea aerului îmbogățit în oxigen, perfecționarea proceselor de ardere a combustibililor utilizați, îmbunătățirea construcției utilajelor de electroliză. Utilizarea și obținerea metalelor prin intermediul schimbătorilor de ioni sau pe baza proceselor de extracție lichid-lichid, precum și introducerea procedeelor de clorurare sau folosirea temperaturilor înalte, asigură posibilități suplimentare și eficiente pentru obținerea materialelor metalice neferoase speciale utilizate în tehnica automatică și aerospațială.

Epoca contemporană, caracterizată prin dezvoltarea energiei nucleare și a tehnicii spațiale, nu poate fi concepută fără o producție de materiale metalice cu proprietăți excepționale, chirice

și tehnologice corespunzătoare. Tehnica actuală permite să se extragă industrial un număr de peste 50 de elemente [25] ; o serie de metalele cu: Si, As, Se, Te etc. acestea fac parte din activitatea și serviciile industrii metalurgice.

Dinamica producției celor 4 metale neferoase principale cu pondere mare în consum (Al, Cu, Zn, Pb) pe perioada 1930-1970 (tabelul 1.1[25]) pune în evidență o dezvoltare constantă și paralelă a producției acestor metale, ritmul mediu anual de creștere al producției fiind cel mai scăzut la Pb, iar cel mai ridicat la Al.

Desvoltarea producției metalelor neferoase principale

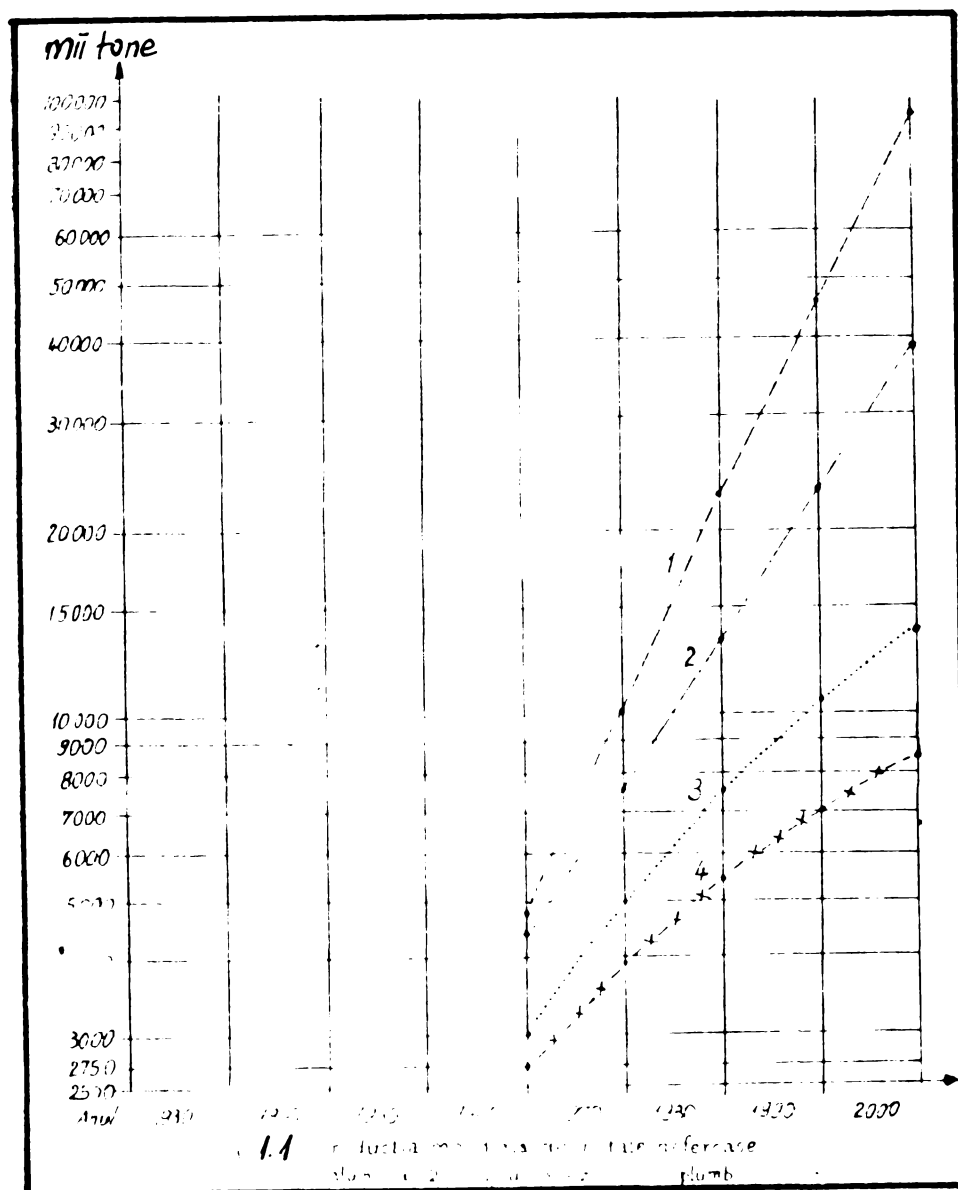
Tabelul 1.1.

Anii	Al	Cu	Zn	Pb
1930	269	1577	1400	1690
1935	257	1455	1377	1380
1940	807	2413	1660	1776
1945	840	2167	1248	1180
1950	1507	2522	2060	1836
1955	3103	3272	2753	3367
1960	4635	4503	3168	2738
1965	6612	5261	4036	3199
1970	10000	7500	5032	3900
1975	16500	9500	6150	4500
1980	25000	13100	7500	5500
2000	45000-95000	20000-40000	1400	8500

Datele referitoare la evoluția producției din ultimele decenii, alături de estimările făcute asupra evoluției viitoare a producției principalelor metale cu pondere mare în consum reiese din fig.1.1. [25].

In stadiul actual, din totalul producției mondiale de Cu refinerat (7,5 milioane tone), țările capitaliste produc 61,7%, cele sociale 19,7%, iar țările în curs de dezvoltare 18,6% [25].

Din cauza dezvoltării industriale de metale neferoase, ponderea valorică a producției mondiale a acestor metale a ajuns la sfîrșitul deceniului (1970) să



egalează valoarea producției siderurgice [25]. Spre deosebire de caracterul relativ uniform al producției și conținutului principalelor metale, evoluția prețurilor prezintă oscilații medii anuale destul de mari. În perioada 1972-1973, prețul aproximativ al unor metale în nov. 1973, fiind de 2-3 ori mai mare, față de prețul mediu corespunzător perioadei 1972-1973.

Cîteodată o industrie este nevoită să aducă schimbări dramatice în metodele sale de exploatare, impuse de creșterea nevoilor sociale calitative și cantitative; aceleși situații se întîlnesc în cazuri fortuite. În industria de extractie a cuprului și asemenea situație apare datorită legislației care devine din ce în ce mai severă în privința protecției mediului înconjurător care a impus eforturi de cercetare și de dezvoltare nemaiînlinate pînă

Directivele principale ale cercetărilor și cercetării în industria cuprului, au fost axate pentru a rezolva problemele impuse de perfeționarea extracției cuprului cît și pentru rezolvarea problemelor impuse de protecția mediului înconjurător, prin remodelarea procedeeelor pirometalurgice de uzinare ale acestui metal astfel de prețios pentru toate industriile sau prin dezvoltarea unor procedee și instalații de purificare a gazelor.

Crescerea producției de cupru pe plan mondial (tabloul 1.1) se asigură în stadiul actual prin perfeționarea procedeelor existente și introducerea de noi tehnologii de prelucrare a concentratelor cuproase selective și cuproase. În domeniul preparării minereurilor se aplică noi metode de concentrare și se utilizează reactivi de flotărie mult mai eficienți, fiind posibilă obținerea unor concentrate cuproase cu calități superioare. O importanță se acordă concentrării minereurilor polimetalice și mai ales minereurilor de Cu și Zn, deoarece la prelucrarea lor pe cale pirometalurgică, extragerea metalelor este costisitoare și rândamentele sunt scăzute. La prelucrarea minereurilor polimetalice este rațională concentrarea acestora pentru a se putea separa concentratele cuproase de cele zincioase și numai o fracție mai mică de concentratele colective (cupru-zincioase) să fie prelucrate ulterior prin procedee pire și hidrometalurgice. Se pot remarcă realizările uzinelor „Flim Flom” (Canada) și „Naoesima” (Japonia) care au reușit să prelucreze prin procedee hidrometalurgice concentratele cupro-zincioase. Pînă în prezent nu s-a putut stabili un procedeu universal de prelucrare a concentratelor cuproase în condiții industriale. La alegerea unei tehnologii trebuie să se țină seama de indicatorii tehnico-economiici, de caracterul și calitățile materiei prime, de costul comparativ al combustibilului și al energiei electrice, de amplasamentul

usinei. Pe de altă parte, introducerea noilor tehnologii este impusă și de puternica poluare a atmosferei CuSO_4 rezultat în cauzăl procedeeelor clasice. Noile tehnologii trebuie să asigure: valorificarea cît mai completă a mineralelor utile din produsele miniere, economiile de materii prime și auxiliare, realizarea unei eficiențe economice sporite, un grad cît mai redus de poluare a mediului înconjurător.

In condițiile industriale s-au realizat progrese remarcabile în topirea în suspensie a concentratelor cuproase și a concentratelor cupro-nichelifere prin procedeele I.N.CO și Outocumpu.

Dintre multiplele procedee ale extracției cuprului, un loc important, în producție mondială, revine procedeului topirii în suspensie a concentratelor cuproase și a piritelor. Acest procedeu semasează toate fazele de producere a metei cuprului într-un singur agregat, gazele rezultate conțin SO_2 într-o concentrație suficientă, care prin coptare se pretează la (SO_2 8-12%) fabricarea acidului sulfuric. Topirea în suspensie a concentratelor cuproase și a piritelor a fost experimentată de-a lungul a cîtorva decenii. Acest procedeu face parte din procedeele de oxidare intensificate ale concentratelor cuproase și a piritelor.

Prin dezvoltarea acestei metode s-a căutat să se reducă aportul de combustibil clasic utilizat, prin valorificarea cantităților de energie termică degajată la oxidarea concentratelor sulfuroase, energii care la unele procedee anterioare nu au fost utilizate pînă la nivelul posibilităților oferite de compozitia concentratelor.

Tinindu-se seama de aceste posibilități de preluare avansată a materiilor prime indigene, în prezentă lucrare se realizează o analiză detaliată și complexă pe baza principalelor procese fizico-chimice ce stau la baza topirii în suspensie a

concentratelor cuproase și a piritelor și uneor posibilități de remodelare a procesului pirometalurgic de topire în suspensie, pentru utilizarea mai rațională a materiilor prime utilizate, cu implicații pozitive în sensul reducerii energiei primare a unui combustibil clasic (gaz metan, combustibil lichid) ce în ansamblu se vor reflecta în obținerea unei eficiențe economice sporite.

1.2. Instalația de topire în suspensie

În intenția de intensificare a proceselor de topire, s-a perfeționat procedeul de topire în suspensie, utilizându-se drept combustibil numai sulful conținut în materia primă. Pentru topirea în suspensie s-au experimentat diferite tipuri de cuptoare. Construcția cuporului se realizează astfel încât să asigure o alimentare continuă a arzătoarelor și să permită obținerea unui amestec intim între materialul solid și faza gazoasă; traекторia particulelor de material în camera de reacție trebuie să corespundă din punctul de vedere al formei și al lungimii în așa fel, încât să asigure ciocnirea particulelor și zgurificarea lor, înainte ca ele să ajungă în decantor.

Prima încercare de a utiliza în cea mai mare măsură căldura materialului prăjit datează din al doilea deceniu al secolului nostru, cînd la uzinele de cupru din Cooper-Quin (S.U.A) cuptoarele de prăjire s-au instalat deasupra celor cu vatră [26]. În felul acesta, materialul prăjit era descărcat în mod direct printr-o serie de tuburi în cuporul cu vatră. Această încercare a fost urmată de tentînță de a reuni operația de prăjire cu cea de topire clasică. Această nouă variantă a fost experimentată la scara semi-industrială în 1931 la uzina Anaconda (S.U.A), unde s-a construit un cupor combinat, dezvoltat atît pe verticală, cît și pe orizontală. A urmat elaborarea unei serii întregi de variante dintre care cele mai remarcabile au fost realizările din Finlăndă, Japonia, Canada,

U.R.S.S. și R.D.U. Dintre aceste variante, pe scară industrială au obținut rezultate optime numai procedeele experimentate în Finlanda (la Outokumpu) și în Canada (procedeul I.N.Co -International Nickel Company). Deosebirea esențială între aceste două procedee constă în felul în care se realizează procesul de combustie. În cazul procedeului finlandez arderea are loc cu aer preîncălzit la $(500-600)^{\circ}\text{C}$ iar al celui canadian, cu ajutorul oxigenului cu o puritate de 90-95%

Dintre aceste procedee în țara noastră a fost preluat cel finlandez (licență Outokumpu) și primul cuptor de acest fel a intrat în funcțiune în anul 1965 la Uzinele Metalurgice din Baia Mare

anexa Nr. I,

Din punct de vedere constructiv, fig. I.2.1, cuptorul se compune dintr-o cameră de reacție dezvoltată pe verticală, instalată deasupra cuptorului cu vatră (care servește numai pentru decantarea produselor topite). În bolta cuptorului cu vatră este prevăzut un canal vertical care servește la evacuarea gazelor arse. Camera sau turnul de reacție are o înălțime de 8 m și un diametru interior de 3,5 m. Părții camerei de reacție au grosimea de 375 mm fiind execuții din cărămizi de cromomagnezită; în regiunea inferioară a turnului de reacție sunt prevăzute chesoane metalice răcite cu apă. În general, chesoanele sunt confectionate din cupru și sunt îngropate în zidăria refractară; ele au rolul să protejeze zidăria agregatului în zona temperaturilor finale $(1600-1700^{\circ}\text{C})$. Elementul principal al turnului de reacție este arzătorul de concentrate, de o construcție specială (fig. I.2.2) prin care se introduce în cuptor concentratul complet uscat și aerul preîncălzit. Arzătorul de concentrat se instalează în centrul bolții camerei de reacție. Arzătorul se compune din două țevi concentrice. Prin țeava interioară este introdus amestecul de concentrat și fondant, iar prin spațiul inelar întră (sub presiune de 500-800 mm H₂O) aerul preîncălzit într-o instalație de schimb de căldură. La ieșires din arzător cei doi

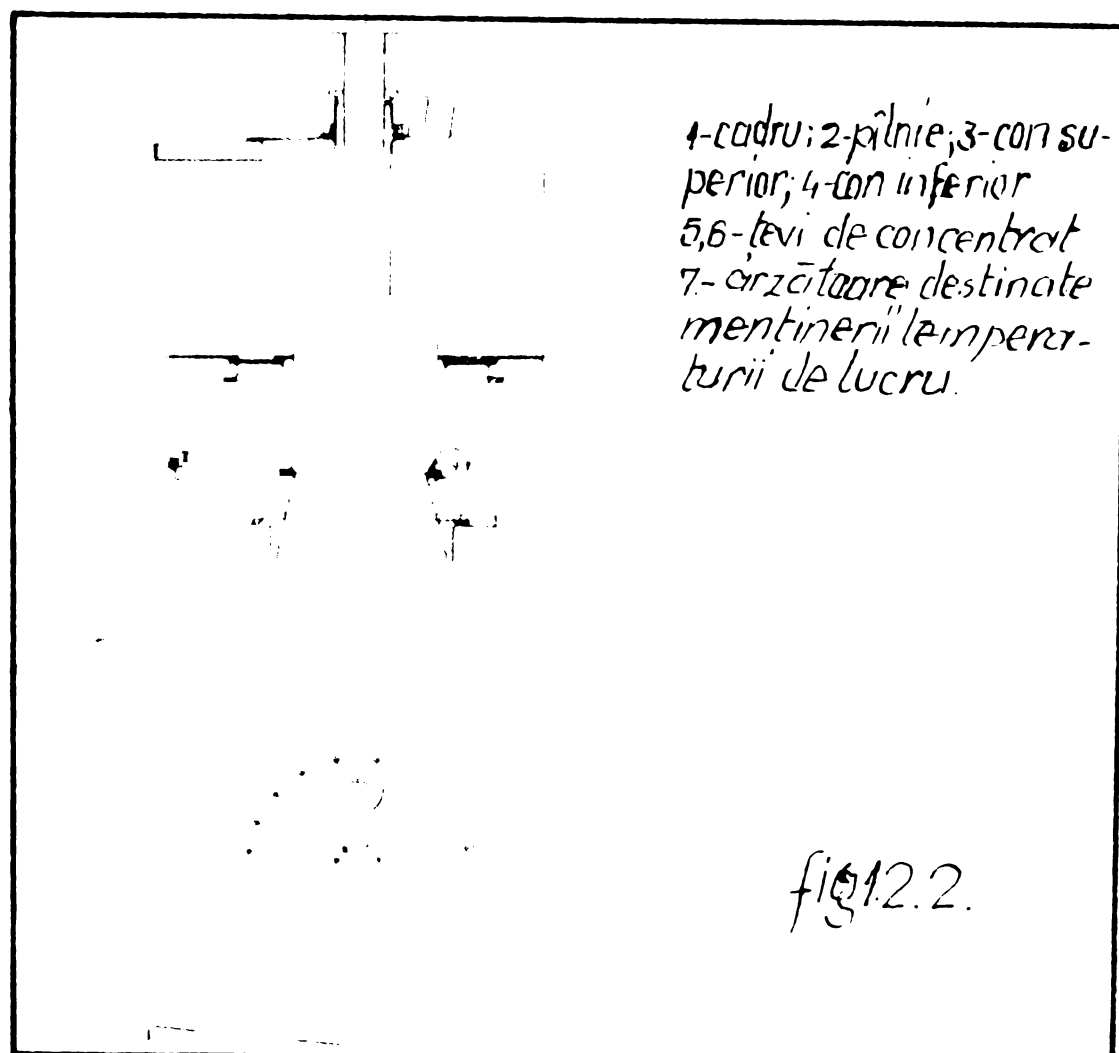
rea tanți se amestecă rapid și temperatura lor crește brusc, favorizind desfășurarea proceselor fizico-chimice. În perioada de timp în care particulele străbat camera de reacție se desăvârșesc atât prăjirea cât și topirea lor.

In partea inferioară a arzătorului central, în carcasa sa metalică sunt montate trei arzătoare normale de gaz metan, în scopul de a menține temperatură optimă de lucru cînd intervin anumite deranjamente în funcționarea cuptorului (încărcătură cu conținut scăzut de sulf, temperatură de preîncălzire a cerului scăzută). Cuva de reacție este consolidată cu ajutorul unei armături metalice care se sprijină pe stilpi de beton ermat încastrati în partea inferioară în fundația agregatului.

Cuptorul cu vatră amplasat sub turnul de reacție servește la decantarea matei și zgurei. Acesta este un cuptor clasic de topire cu lungimea de cca 18 m, lățimea de 4,5 m și înălțimea 2,5 m. Peretii cuptorului cu vatră se execută în întregime din cărămizi cromomagnesitice; bolta se execută sub formă de arc, cu grosime de 350 mm. În exterior peretii sunt prevăzuți cu un strat de șamotă și de acces la îmbinarea cu bolta se intercalează un strat de cromit. Vatra se zidește pe o placă metalică începînd cu un strat de beton (realizat în pantă pentru a se obține concavitatea dorită), urmat de unul de șamotă cu o grosime de 550 mm. Ultimele trei straturi cu o grosime totală de 750 mm sunt executate din cărămizi de cromomagnesită. Zidăria acestora este astfel executată, încît să realizeze arcul negativ al vatrăi. În peretele frontal din apropierea cuvei de reacție este prevăzut orificiul de evacuare a matei; asemenea orificii mai sunt executate și în peretele longitudinal al cuptorului. Orificiile de evacuare a zgurei sunt practicate pe unul din peretii longitudinali. Orificiul de mată executat în peretele longitudinal în dreptul turnului de reacție este amplasat aproximativ

la 250 mm față de fundul băii. Orificiile de sgură sunt prevăzute în același perete la capătul opus al cuptorului, unul fiind dispus la aproximativ 500 mm față de fundul băii, iar celălalt la aproximativ 700 mm.

Menținerea temperaturii de regim se realizează prin montarea unor arzătoare de gaz metan în peretele frontal și lateral a cuptorului cu vatră. Gazele arse parăsesc spațiul de lucru printr-un canal vertical practicat în bolta cuptorului cu vatră. Aceast canal are o înălțime de 6 m și un diametru de 3 m. Canalul vertical este executat din cărămizi de cromomagnezită cu o grosime de 375 mm și este prevăzut în exterior cu un strat de șamotă de 125 mm. Temperatura gazelor la ieșire din cuptor este $1300-1350^{\circ}\text{C}$ și de aceea ele sunt trecute mai întâi printr-un cezan recuperator în care se răcesc la $750-850^{\circ}\text{C}$. După acest cezan este instalat recuperatorul în care se realizează preîncălzirea aerului necesar procesului de combustie. Recuperatorul metalic în care gazele patrund cu 800°C este executat din oțel aliat cu 30% Cr.



1.3. Compoziția chimică și granulometria concentratului de șarjă

Cele mai răspândite minerale ce conținut de cupru care constituie baza minereurilor de cupru sunt:

Tabelul 1.3.1.

Mineralul	Concen- trat. ă tinut de Cu	Sistematică	Diamet. er (mm)	Concen- trată specifi- că Nehr)
Minerale sulfuroase				
Covelină (CuS)	66,4	hexagonal	1,5-2	4,6-4,76
Calcosină (Cu_2S)	79,8	rombic	2,5-3	5,5-5,8
Bornitul (Cu_5FeS_4)	63,3	-	3	5,06-5,08
Calcopirita (CuFeS_2)	94,9	tetragonal	3,5-4	4,1-4,3
Pnargita ($\text{Cu}_3(\text{As},\text{Sb})\text{S}_4$)	48,8	birombic	3	4,43-4,45
Tetraedritul ($\text{Cu}_{12}\text{Sb}_4\text{S}_{13}$)	45,8	-	3-4,5	4,6
Tenentitul ($\text{Cu}_{12}\text{As}_4\text{S}_{13}$)	51,8	-	3-4,5	4,37-4,49

Minereurile sulfuroase reprezintă majoritatea rezervelor de cupru din lume. Principalul mineral este calcosina, Cu_2S care constituie baza zăcămintelor din S.U.A și din Rhodesia de Nord. Din acest gen de zăcăminte se extrage peste 50% din producția mondială de cu. Un alt mineral foarte răspândit este calcopirita CuFeS_2 . Minereurile din țara noastră conțin cupru mai mult sub formă de calcopirită. Calcosina și calcopirita se găsesc de cele mai multe ori asociate în același zăcăminte, care conțin și minerale de Pb și Zn și adesea Au și Ag.

Ridicarea conținutului în sulf a concentratului de șarjă de realizată prin adăos de pirită realizând o compoziție chimică pentru șarjă după cum urmează:

Tabelul 1.3.2!

Sortul	Concen- trat. ă tinut de Cu,%	Concen- trat. ă tinut de Fe,%	Concen- trat. ă tinut de Pb,%	Concen- trat. ă tinut de Zn,%	Concen- trat. ă tinut de SiO ₂ ,%
Concentr.cupros 12-30	13-40	8-37	0,4-4	1-9	3-37
Pirite pură 0,1-0,7	3-40	27-37	1-2	1-3	0-34

ACESTE ELEMENTE SE GĂSESC ÎN CONCENTRATUL DE ȘARJĂ SUB URMAȚOARELE FORME MINERALE:

- căbeșpirita	$CuFeS_2$	- pirotină Fe_7S_8
- covelină	CuS	- blenda ZnS
- pirită	FeS_2	- galena PbS .

Prin metoda topirii autogene în suspensie a concentratelor cuproase s-a reusit să se reducă aportul energiei secundare, folosită sub forma unui combustibil gazos sau lichid.

Această metodă a deschis posibilitatea utilizării în practica industrială a unor variate sorturi de concentrate cu conținut foarte diferit de balast. Concentratul de cupru și pirită cu o granulație de (0-250)U este caracterizat printr-o suprafață specifică mare, ce influențează în mod favorabil asupra vitezei de reacție desfășurată în turnul de reacție. Mărirea suprafeței specifice duce la intensificarea procesului de difuzie a gazului reagent la substanța activă.

Jetul de suspensie solidă în aer, care umple la un moment dat turnul de reacție se caracterizează printr-o anumită concentrație. Această concentrație redusă crează în turn o rezervă minimă de materie primă și pirită și deci practic, o lipsă completă de inertie a procesului și o sensibilitate extremă față de reglare. Ca urmare turnul de reacție este foarte elastic preia usor variațiile compoziției concentratiei. Capacitatea turnului de reacție este practic limitată, de viteza de decantare a matei cuproase.

Compoziția granulometrică a concentratului are o influență bine determinată asupra rendamentului extracției, asupra procesului de ardere ,asupra compoziției zgurilor și asupra agregatului în ansamblu.

Compoziția granulometrică a șarjei este caracterizată în special de finitatea acesteia c.t și de finitatea particulelor de adaus (SiO_2),

Din analiza unei șarje industriale a rezultat compoziția granulometrică din tabelul 1.3.2.

Tabel 1.3.2.

Dimens. în μ	315	250	200	160	125	100	90	56	40
Compoz. granul.	3,1	6,4	7	10	4	12	8,5	22	27

Se observă că cca 50% din concentrat conține particule cu dimensiuni mai mici de $>50\mu$ care urmează dezvoltarea rapidă în turnul de reacție a jetului portant încărcat cu particule solide.

1.4. Principalele procese chimice din turnul de reacție.

La topirea autogenă în suspensie a concentratelor cuproase și a piritelor, majoritatea reacțiilor chimice desfășurîndu-se în apropierea de arzătorul de concentrate, în baia topită realizându-se desăvîrșirea acestora, este necesar să ținem seama de particularitățile acestui proces care are loc în flacără, cum ar fi : chimismul și cinetica arderii sulfurilor în flacără în condițiile arderii cinetice și în condițiile tranferului de mașă și săldură.

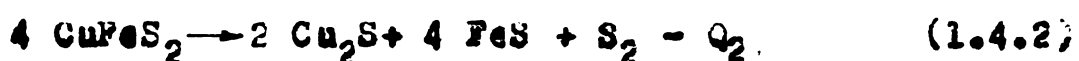
Cunoștințele teoretice actuale în privința oxidării sulfurilor polimetalice permit referiri multiple la desfășurarea procesului cît și asimilarea acestora cu procese mai mult studiate care se desfășoară în condiții similare.

Principiul procedeului prelucrării concentratelor în suspensie constă în topirea autogenă a concentratelor sulfuroase de cupru într-un turn de reacție cilindrică, urmată de o separare prin decantare a produselor rezultate la topire (mată și zgură). Căldura necesară procesului topirii este furnizată de arderea sulfului din concentrat în prezența aerului preîncălzit ($500-700^{\circ}\text{C}$), care se

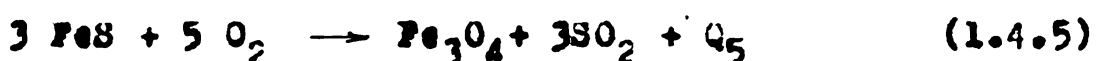
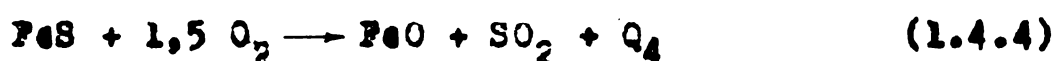
introduce o dată cu concentratul printr-un arzător special montat în bolta turnului de reacție.

Oxidarea sulfurilor polimetalice este un proces termochimic ce se desfășoară în două faze successive: 1/ separarea volatilelor (sulf gazos) și 2/ oxidarea sulfurilor simple.

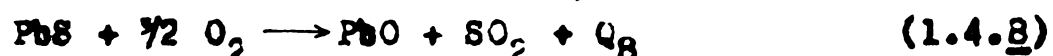
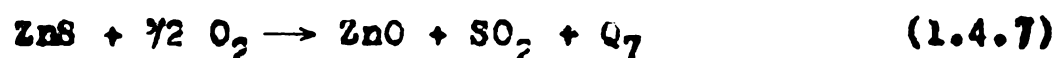
In prima fază se realizează separarea sulfului elementar gazos, rezultat în urma disocierii termice a sulfurilor complexe sau ca urmare a transformărilor polimorfice ale piritei și calcopiritei după următoarele reacții posibile:



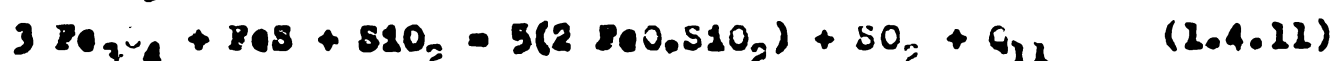
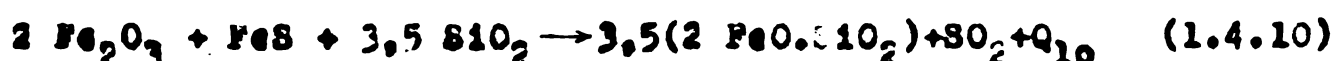
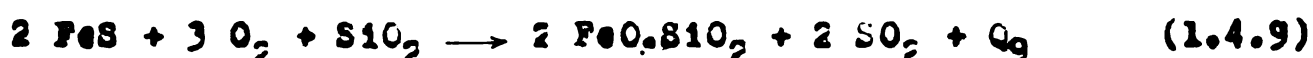
În topirea pentru mată, arderea sulfului din sulfurile simple este însoțită de oxidarea Fe după reacțiile:



In același timp mai pot avea loc reacțiile:



În topirea în suspensie a concentratelor mai au loc și reacțiile de formare a zgurii prin combinațiile ce au loc între rondoniți (SiO_2) și oxizi de fier după următoarele forme:



Stadiul actual al cunoștințelor despre arderea polisulfurilor metalice și a pișitelor a fost prezentat pe larg în referatul nr.1, unde a fost conturată concluzia, că, procesele de ardere a sulfurilor prezintă toate particularitățile proceselor topochimice [1]. În astfel de reacții, suprafața de reacție scade în comparație cu suprafața totală a particulei și drumul gazelor difuzate între fază gazoasă (jetul portant) și suprafața de reacție crește pe măsură ce se desfășoară reacția.

Cercetările în reacțiile solid-gaz, au condus la o înțelegere mai evansată a proceselor industriale, care implică astfel de reacții. În general mecanismul unei reacții poate fi divizat într-o serie de procese fizice și chimice, din care reținem trei trepte principale, pe care reactanții trebuie să le parcurgă: 1-difuziunea reactanților prin stratul limită spre suprafața gaz-solid, gaz-lichid; 2-reacția chimică pe suprafață; 3-difuzia produselor de reacție de la suprafață.

Deoarece reacția trebuie să stragă după sine procese implicate de transport (de masă și căldură) și procesele fizice implicate în reacția reală, ambele vor contribui la rezistența totală care se opune reacției.

În determinarea mecanismului de control pentru o reacție sunt considerate în mod deosebit două extremități: controlul chimic complet și controlul complet prin transport, presupunindu-se că există caracteristici ou valori suficiente de diferite pentru cele două cazuri pentru a le putea defini.

Este de remarcat însă faptul că, în privința caracterului proceselor de ardere a concentratelor cuproase, este greu să se pronunțe categoric dacă aceasta este controlat de fenomenele chimice sau de procesele de transport, dar influența lor este rezumată la intensitatea diferite. Macrokinetica unor procese similare au fost abordate de mulți

cercațitori, concluziile lor sunt extrem de utile pentru găsirea unei baze teoretice care să servească la dezvoltarea bazei materiale, prin acoperea tehnologiei celei mai avansate ,în vederea producării cuprului cu cele mai scăzute costuri.

1980

2. STUDIUL CINETICII SI A PROCESELOR DE ARDERE LA TOPIREA AUTOTERMA IN SUSPENSIE A CONCENTRATELOR CUPROASE SI A PIRITEI LOR.

2.1. Unele consideratii teoretice privind cinetica reacțiilor

Lăsând în discuție un proces chimic oricare, termo-dinamica ne învață prin intermediul principiului II, în ce măsură acest proces este sau nu posibil în anumite condiții date de reacție, respectiv cum trebuie modificate aceste condiții, pentru ca procesul chimic să devină posibil și să decurgă în direcția dorită.

Acest răspuns cît de termotehnică nu ne poate satisface întotdeauna, întrucât el nu precizează timpul necesar realizării procesului chimic, adică nu face nici o afirmație cu privire la viteza lui de desfășurare. Ori nu ne poate fi deloc indiferent, mai ales din punct de vedere practic, timpul necesar desfășurării unui proces chimic și legat de acesta randamentul de transformare realizabil după o anumită durată de reacție. Aceste două mărimi, timpul de reacție și randamentul de transformare, determină în primul rînd economicitatea unui proces dat. În cazul concret economicitatea procesului de extracție a cuprului prin topirea autotermă în suspensie a concentratelor cuproase și a piritelor este condiționată de timpul de reacție. Randamentul de transformare însă nu depinde numai de timpul de reacție, ci și de mecanismul de desfășurare a procesului chimic, randamentul fiind cu atît mai mic, cu cît procesul respectiv este mai complex, putîndu-se forma și produși secundari sau intermediari.

Astfel s-a ivit necesitatea studierii vitezei de desfășurare a proceselor de topire în suspensie a concentratelor cuproase și a piritelor, a mecanismului de reacție, cît și a factorilor care influențează această viteză. În continuare vom prezenta principalele rezultate obținute în cadrul unei cercanări

și a obține în timp util, rendamente de transformare acceptabile.

În baza rezultatelor experimentale obținute la desfășurarea reacțiilor chimice, s-a stabilit că există o serie de factori care determină mărimea vitezei de reacție. În afară de concentrația participanților la reacție și de temperatură, viteză de reacție mai poate depinde de concentrația catalizatorilor adăugăți, de natura solventului, de prezența gazelor interte (exprimată prin dependența vitezei de reacție) de presiune totală a sistemului, de natură și intensitatea radiatiilor absorbite etc.

Tinând însă seama de importanța influențării concentrațiilor participanților la reacție și a temperaturii la desfășurarea reacției, voi limita pentru început discuția doar asupra dependenței vitezei de reacție de acești factori.

De asemenea trebuie subliniat faptul că viteză de reacție mai poate fi influențată și de o serie de factori fizici, caracteristici fenomenelor de transport care se manifestă mai ales la asemenea reacții (topire în suspensie a concentratelor cuproase) care se desfășoară în sisteme heterogene. Rolul acestor factori îl voi analiza în capitolele următoare.

Viteză de reacție este funcție de compozitia amestecului reactant, de presiunea și temperatura în zona de reacție. De asemenea, valoarea vitezei de reacție poate folosi drept caracteristică a procesului respectiv numai dacă sunt specifice condițiile în care s-a constatat această viteză.

Expresia clasică care leagă viteza reacției ireversibile de condițiile desfășurării lor are forma:

$$\frac{dc}{dt} = k(T) \cdot F(c_1, c_2, c_3, \dots, c_n) \quad (2.1.1)$$

în care k este constanta vitezei de reacție, a cărei dependență de temperatură în cazul proceselor de tip Arrhenius poate fi dată în

61
10¹² 171

$$k = Z \cdot e^{-\frac{E}{RT}} \quad (2.1.2)$$

Conform postulatului fundamental al cineticii chimice, pentru reacțiile omogene, factorul de concentrație care intră în relație (2.1.1) este în forma:

$$P = \prod_{i=1}^n c_i^{x_i} \quad (2.1.3)$$

Această expresie se bazează pe teoria ciocnirilor; produsul din membrul drept al ecuației (2.1.3) este egal cu probabilitatea ciocnirii moleculelor substanțelor inițiale, în timpul căreia se poate produce reacția. Mărimea x_i se numește ordinul reacției referitor la substanța i. Ordinul total al reacției este egal cu $\sum x_i$. Dacă ecuația stoichiometrică reflectă mecanismul reacției (adică procesul descris se desfășoară într-o singură etapă), ordinul x_i trebuie să coincidă, în valoarea absolută, cu coeficientii stoichiometrici ai substanțelor inițiale corespunzătoare.

Descrierea matematică a cineticii reacțiilor bazată pe ecuațiile (2.1.1-2.1.3) se numește ecuațiile cineticii formale. Cuvântul de „formală” nu este introdus fără motiv, deoarece chiar în cazul reacțiilor omogene, ecuațiile (2.1.1-2.1.3) nu totdeauna reflectă mecanismul real al reacției. În ceea ce privește reacțiile catalitice heterogene, în care se încadrează și procesul de topire în suspensie a concentratelor cuproase, care trece prin mai multe stadii și al căror mecanism adeseori este necunoscut, ecuațiile 2.1.1-2.1.3 rămân doar scheme fenomenologice, utile pentru prelucrarea datelor experimentale.

2.2. Metode folosite în studiul reacțiilor solid-gaz

Tinând seama de natura reacțiilor chimice, din turnul de reacție, și de scopul urmărit în studiile cinetice (stabilirea mecanismului și a vitezei de reacție cît și a factorilor care influențează) se întâlnesc o mare varietate de metode care pot fi utilizate.

Metodele promovate în vederea unor determinări pot fi realizate în funcție de viteză de desfășurare a procesului chimic, ceea ce procesele sunt diversificate în metode pentru studiul reacțiilor lente și metode pentru studiul reacțiilor rapide.

La alegerea metodei utilizate se va avea în vedere și modul de admisie a reactanților, care poate fi realizat fie deodată, la începutul reacției (metode statice) sau continuu în timpul desfășurării procesului (metode dinamice sau decurgere).

În funcție de faptul dacă temperatura rămâne constantă sau se modifică în decursul procesului chimic și metoda de studiu va trebui să fie adecvată alegind între metodele izoterme și metode termic dinamice (neizoterme).

O ultimă grupă de indicatori care ne poate orienta spre metoda de studiu cel mai adecvat este aceea care se referă la natura reacțiilor chimice, deosebindu-se în acest sens metode de studiu ale reacțiilor în sisteme omogene în fază gazosă, în soluție sau în stare solidă.

Topirea concentratelor cuproase și a piritelor se realizează într-un turn de reacție în care concentratul și reactantul se admite în mod continuu. Se realizează o reacție între un solid și un gaz.

Reacțiile solid-gaz în principiu pot fi de două tipuri diferențiate. Dacă reacția se desfășoară la solid-gaz:



ca de exemplu reacțiile de descompunere a unor minereuri. Fie reacții de adiție a unor substanțe gazoase la solide:



ca de exemplu reacțiile de oxidare a metalelor.

Indiferent de tipul reacției solid-gaz, pe lîngă procesul chimic propriu-zis, pot interveni fenomene de transport în special de difuzie și de transmisie a căldurii prin solid, care influențează serios cinetica procesului chimic propriu-zis.

Considerind reacția solid-gaz, în principiu se recomandă utilizarea a două tipuri de metode experimentale, fie metode gravimetrice care urmăresc variația în timp a greutății substanței solide, supusă transformării chimice, fie metode legate de modificările survenite în sistemul gazos și care pot fi sau metode manometrice, dacă se lucrează în sistem static, sau metode bazate pe analiza cromatografică înainte și după reactor.

Tinând seama că majoritatea reacțiilor solid-gaz, decurg în funcție de temperatură de lucru în mai multe trepte, se preferă în ultimul timp pentru studiul acestor reacții metode termice dinamice (neisotermice) în locul celor izotermice deoarece ele permit o punere în evidență a diferitelor trepte de transformare.

In turnul de reacție al agregatului de extragere pirometalurgică a cuprului, prin topirea în suspensie a concentratorilor, reacționii sunt admisi în mod continuu în timpul desfășurării proceselor, particulele în suspensie în timpul parcurgerii reactorului se încalzesc dinamic în intervalul de temperatură de $30\text{--}40^{\circ}\text{C}$, de la intrarea lor în reactor, la o temperatură de $1400\text{--}1450^{\circ}\text{C}$, temperatura cu care ajung particulele topite în decantorul instalației, care este în cupor cu vatră.

Această particularitate a procesului obligă la utilizarea unei metode de măsurare învăgătoare, apărândose situația că este

cit mai ușor interpretabile și că reflectă mecanismul de transformare din instalație cit mai fidel. Cele expuse anterior, justifică alegera metodei termice dinamice de analiză care să stea la baza stabilirii ecuațiilor cinetice formule ale principiilor stadii prin care trece substanța în turnul de reacție.

In procesele de oxidare (ardere) a concentratelor cuproș și a piritelor, la o viteză mare a comburentului, concentratul fin pulverizat este transportat sub forme unei nori de particule.

Arderea (oxidarea) concentratului cuproș și a piritelor într-o esență stare, denumită stare pulverizată, este utilizată pe o scară largă în instalațiile de topire în suspensie.

Reacția desfășurată între concentratul de cupru și oxidant în ansamblu este exotermic, deci există o degajare de căldură și este însoțită de schimb de masă și de căldură între mediile reactante. Procesul de ardere este caracterizat prin acest că prin avansarea sa apare o reducere a concentrațiilor gazelor reactante și a sulfului (combustibilului) în direcția de mișcare-repartiție temperaturilor și concentrațiilor pe lungimes zonii de ardere se realizează în funcție de natura repartiției concentrației în concentratului (combustibilului) și a compoziților emisecului gazei și în funcție de natura schimbului de căldură, în volumul spațiului din turnul de reacție.

Procesul de oxidare în suspensie a concentratelor cuproș și a piritelor se desfășoară într-un regim termic dinamic caracteristic proceselor nesterioare. În astfel de condiții de desfășurare a procesului de schimb termic și schimb de masă, impune urmărirea factorilor care influențează cinetica reacțiilor din turnul de reacție.

În baza rezultatelor experimentale obținute la studiul desfășurării reacțiilor chimice, s-a stabilit că există o serie

factori care determină mărimea vitezei de reacție. În afară de concentrația participanților la reacție de oxidare cît și a temperaturii de reacție mai depinde și de concentrația catalizatorilor, de natură exitantului cît și de o serie de factori fizici.

Metodele termice de analiză utilizate, se bazează pe legătura strânsă care există între substanță și temperatură, adică pe studierea stării termice a substanțelor și a schimbărilor care se produc în substanță în funcție de temperatură.

Temperatura este una din mărimele care definesc starea, echilibrul și cinetica sistemelor materiale, ea influențând aproape toate constantele fizice și chimice ale substanțelor. Stările termodynamice ale substanțelor sunt determinate de două procese strâns legate între ele: mecanismul de transfer termic, considerat ca un întreg la un moment dat și procesele termocinetice, care determină variațiile proprietăților fizice și chimice ale substanței cercetate. Aceste două procese, termice și fenomenele de natură fizică sau chimică care își năstere la încălzirea unei substanțe determină toate aspectele metodelor termice de analiză.

Desfășurarea unui proces termic, fie de natură fizică, fie de natură chimică, într-un sistem material bine definit care constituie scopul cercetărilor termoanalitice, este condiționată de modul în care sistemul analitic instrumental este alimentat cu energie termică.

Un sistem material poate fi adus la o temperatură dorită, prin încălzire sau răcire, ansamblul de fenomene care însoțesc trecerea căldurii în interiorul aceluiași corp sau în corpurile diferite se realizează prin fenomene de transfer a căldurii.

Metodele termice de analiză, având drept scop cercetarea fenomenelor termice ce își năstere atunci cind se încălzesc te-

sun se răcogte un produs solid, sint numeroase.

Dințre aceste metodologii de lucru în variantă modernizată se remarcă următoarele:

a. Analiza termică diferențială. Metoda termică diferențială reprezintă în esență o modernizare instrumentală a metodei clasice de studiere a transformărilor de fază cu ajutorul înregistrărilor de timp și de temperatură, obținute în cursul încălzirii uniforme a unei substanțe solide. Experimental metoda constă în încălzirea, în condiții identice a unei probe și a unui material inert din punctul de vedere termic, concomitent înregistrându-se continuu temperatură T care există în cupor și diferența de temperatură care apare între cupor și materialul de referință.

b. Gravimetrie termică G.T. Este tehnica instrumentală prin care o probă supusă analizei se cintărește continuu pe măsură ce este încălzită cu o viteză de ridicare a temperaturii în cupor, constantă în timp. Metoda s-a dezvoltat propriu-zis din metoda clasică de încălzire și cintărire în trepte a unei probe solide.

Încălzindu-se o substanță la diferite temperaturi, acesta suferă o serie de transformări, dintre care unele sunt insoțite și de schimbări de greutate. Urmandu-se variația greutății în funcție de temperatură $m_f(T)$ se pot trage concluzii asupra transformărilor survenite în proba cercetată.

c. Gravimetrie termică diferențială G T D: Tehnica instrumentală a gravimetriei termice diferențiale s-a dovedit foarte utilă, datorită faptului că funcția (curbă) obținută este derivată I-a a schimbului de greutate, adică $\frac{dm}{dT} m'(T)$, deci derivata curbei $m_f(T)$, în raport cu timpul.

Derivatografia termică reprezintă o reunire a celor două tehnici experimentale expuse anterior într-un ansamblu instrumental de tip TGA, fiind utilizată pentru determinarea caracteristicilor termice a substanțelor.

giile se poate stabili ușor, în ce mod se desfășoară procesele termice. Cu ajutorul gravimetriei termice și a gravimetriei termice diferențiale se poate stabili exact ce modificare de greutate intervine în probă în cursul încălzirii. Din aceste trei posibilități s-a născut ideea că reacțiile în același timp și pe același probă a celor două tehnici instrumentale asigură identitatea completă a condițiilor de lucru, scurtind totodată timpul necesar unei analize care ar fi efectuată separat prin fiecare metodă în parte.

Curbele obținute prin metodele de analiză termică pot fi interpretate din mai multe puncte de vedere, proprii fiecărei cercetări, dar toate au ca punct de plecare o interpretare fie calitativă fie cantitativă.

2.3. Interpretarea curbelor termice

2.3.1. Temperaturile caracteristice ale efectelor termice și cauzalele variațiilor lor

Cercetările au statuit că numai atunci se procesază corect la stabilirea temperaturilor, efectelor termice, cind funcția de timp a curbelor obținute se raportează în funcție de temperatură probei cercetate. Aceste temperaturi ale efectelor termice se caracterizează în cazul efectelor endotermice, cu temperatură de vîrf a efectului termic, iar temperatura efectului exotermic, cu temperatură de început a efectului.

Temperaturile caracteristice ale efectelor termice nu sunt niște valori absolute, ele depinzând, așa după cum s-a arătat, de o serie de factori experimentali pe de o parte, iar pe de altă parte de felul și structura materialului cercetat.

Cauzele care influențează aceste temperaturi pot fi multiple dintre care pot fi numerotate câteva.

- Temperaturile caracteristice la care se produc efectele termice ale unei substanțe analizate sunt influențate în primul rînd de prezența ionilor străini care se găsesc în probă.

- Prezența substanțelor străine într-un produs poate să provoace, de asemenea, o puternică scădere a punctului de topire.

Pentru a avea o posibilitate de compara ie, am efectuat analiza termică pentru pirite (FeS_2) și în cazul concentratului industrial utilizat la obținerea metalei cuproase.

Probă utilizată la analiza termică a piritei a avut masa 700 mg/ramă, programul de viteză a instalației a fost de $10^{\circ}\text{C}/\text{min}$ timpul de încălzire a probei de 200 min, pentru atingerea temperaturii de 1000°C . Sensibilitatea aparatului 500 mg, viteză de încălzire $5^{\circ}\text{C}/\text{min}$.

Pirite FeS_2 . Fieind una dintre cele mai frecvente sulfuri din natură, curbele obținute prin analiza termică au fost mai mult studiate decât pentru alte sulfuri.

a. Analizând configurația curbei termice D.T.A. se poate observa faptul că descompunerea termică a piritei într-un mediu oxidant (aer) începe cu un efect exotermic pronunțat care începe la cca 360°C , avind maximul la temperatura de 480°C . Pe curba DTA pot fi observate două maxime primul maxim apare la 480°C , iar cel de al doilea maxim la 600°C (fig.2.3.1). anexa Nr. II.

In ceea ce privește mecanismul reacțiilor de oxidare a sulfurilor, unii cercetători au făcut o serie de măsurători pe lungimea ilăciirii, măsurători care au adus argumente pentru teoria adsorbției autocatalitice conform schemei:



Evident că, în cazul procesului de topire în suspensie prăjirea oxidantă desfășurindu-se împreună cu topirea, aparțin fazeelor lichide complicate, corectum, procesele de oxidare, având loc în același timp reacțiile duble schimb între compușii din mată și zgură. Analisând modul de desfășurare a procesului și din formă curbei DTA, consider că util a observa că procesul de adsorbție se realizează la începutul fazei de oxidare, oxidantul adsorbit declanșează mecanismul descris prin relațiile [(2.3.1) - (2.3.5)], care în ansamblu este un proces exoterm, degajarea energiei termice servind la ridicarea temperaturii piritei din probă.

Ridicarea temperaturii probei ducă și la formarea sulfatilor metalici caracterizați printr-o compactitate mai ridicată ca a materiei prime, la temperatură ambientă. Stratul de sulfat metalic format la suprafața granulelor micogoreasă difuzează oxidantul spre substanța reactantă.

Însărsirea în continuare conduce la dissocierea termică a sulfurii, presiunea parțială a sulfului în porii granulelor va deveni superioară presiunii exterioare și va fi pompăt spre suprafața granulei, reacția ce se va produce după ecuație:



reacție care este puternic endotermică și realizează un consum ridicat de căldură.

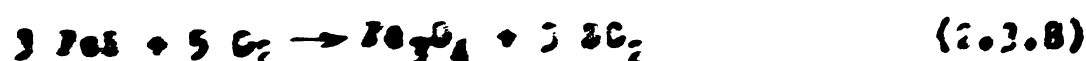
Amenajarea comestibilă este evidențiată deoarece compoziția fizico-chemicală termică evidențiată pe curba DTA cu modificările de modă dată de curba TG. Se poate observa că de la temperatură primului zări la 480°C , temperatura probei începe să descrească repede (ca urmare a unor reacții endotermice), după ce temperatura materialului împreună cu ceea ce compune temperatură probei. Deschiderea procesului de dissociere în cadrul procesului analizat se realizează la 700°C (fig.2.3.1) (anexă). Nr.4.

b. Din configurația curbei DTA se poate observa și următorul lucru, procesul de oxidare a piritei este continuă, și reacția probabile care se desfășoară în intervalul de temperatură de $(700\text{-}900^{\circ}\text{C})$ este:



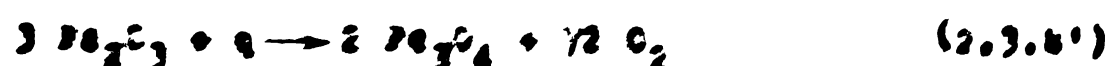
Sulfurul PeS se oxidizează în Fe_2O_4 , oxidel ferro-teric.

c. În modul procesual de încălzire continuă apare un alt efect endotermic pe curba DTA la temperatură de circa 920°C , care poate să fie punctul de începere a topirii probei. După topire, oxidarea probei continuă având loc o secvență de oxidare și unele de modificare structurală:



La acestea consideră se poate temperatură de 920°C sulfure de fier se oxidând în (Fe_3O_4) magnetit.

Modificările structurale se referă la schimbările valenței fierului, și fierul ferro-teric se transformă în magnetit.



Amplificarea curbelor se accompagnă cu unul concentrat industrial de concentrații măsoarări pe care le provad analizați

termic și anume din bazinul băimărcan; acestea prezintă o serie de particularități.

Concentratul industrial este format în principal din următoarele componente principale: pirită (FeS_2); calcopirită ($\text{FeS}\cdot\text{CaS}$); cuart (SiO_2).

Prueba analizată a avut o masă de 2000 mg, viteză de încălzire $15^\circ\text{C}/\text{min}$; temperatura atinsă $t=1600^\circ\text{C}$, durata de încălzire $\tau=100$ min; scara la care au fost ridicate curbele DTG și DTG-1/20.

a. În cazul topirii în suspensie, a concentratelor cuproace, majoritatea reacțiilor chimice desfășurindu-se în flacără arzătorului de concentrat, în vîsă topită rezolvându-se desăvârșirea acestora, este necesar să analizăm cu atenție fenomenele fizico-chimice, care au loc în flacără, cum ar fi chimismul și cinetica arderei sulfurilor în flacără, în condițiile transmisiei de căldură. Un interes deosebit se acordă studiului caracteristicilor de ardere a gărzii expresse în comparație cu cele ale combustibilului solid pentru care se impune să se facă o analiză a deosebirilor calitative între flacără sulfurant-oxidantă și flacără combustibil aer, care este mult mai studiată. Arderea prizăului de cărbune natural poate fi considerată că este compusă din două procese successive: (1)-despararea volatililor și (2)-arderea reziduului de coca. Faze analoge au loc și în procesul de oxidare a gărzilor sulfuroase de cupru, „volatile” fiind sulful elementar rezultat din dissocierea sau transformările polinorte ale piritei și calcopiritei după reacțiile:



Iar sulfurile simple și fondanții vor forma aceea ce a fost numit la ordinea cărbunelui „residu de ccoș”. La topirea pentru mată, arderea sulfului din sulfurile simple este înăștită și de oxidarea fierului dăpă reacțiile:



În același timp mai pot avea loc reacțiile:



Nu este exclud că, parțial (local) să aibă loc și reacțiile de oxidare a cuprului. În ceea ce privește oxidările fierului, găurile cuproase se pot califica drept un combustibil cu cenaj, cenajul ce apare ca un produs principal al topirii. Astfel, apare o diferență esențială între flăcăre sulfuroasă și flăcăre cu praf de cărbune. Flăcăre sulfuroasă ca urmare a adsorbției se autoîncălzește. Din acest motiv, procesul de topire în suspensie, poate decurge autogen la temperaturi mult mai scăzute decât temperatura flăcării cu combustie. Aceasta nu înseamnă, însă, că arderea mai încetă și că flăcării sulfuroase împărtășie cu ea răcările de combustibil solid, decarcă energie de activare a oxidării sulfului și a diferitelor sulfuri este mult mai mică decât energia de activare a oxidării volatililor combustibilului. Pe de altă parte, este de remarcat faptul că pentru flăcăre sulfuroasă oxidantă este caracteristică o concentrație mai mare de fază condensată. Aceasta la un grad de măcinare egal cu găjei și cu prefulul de cărbune, duce la o suprafață specifică mai mare de fază solidă pe unitatea de volum de oxidant ceea ce, conform cu constatărilor experimentale, trebuie să se îmbunătățească proprietățile difuziei

în flacără sulfurent oxidantă. Cum s-a mai arătat și la arderea piritei, în ceea ce privește mecanismul reacțiilor de oxidare a sulfurilor, dintr-o serie de măsurări efectuate pe lungimea încălzirii, au adus argumente pentru teoria adsorbției autocatalitice a oxigenului pe suprafața concentratului conform relațiilor [(2.3.1 - 2.3.5)] .-

Din configurația curbelor obținute la decompunerea termică a concentratului industrial (cupros) în special din forma curbei DTA se poate observa că din momentul începerii încălzirii probei, temperatura acestaia crește fără de temperatură materialului inert utilizat pentru comparație. Se poate spune că adsorbția de oxigen se realizează în starea determinată de temperatura ambientă. În timpul încălzirii nu se poate pronunța asupra continuării fenomenului adsorbției. Adsorbția devine mai redusă în momentul începerii disocierii termice a concentratului prin desorbția sulfului în mediul oxidant. Adorbția oxigenului în fază solidă sau lichidă este legată de procesul de chemosorbție și cărui rezultat este formarea compușilor intermediari mai stabili la temperatură și condițiiile din zonele respective a flăcării. Pe măsura creșterii temperaturii în flacără (și creșterea temperaturii probei) și a duratei de staționare a acestor compuși, are loc procesul de decompunere și lor su formarea produselor finale ale oxidării.

Încălzirea autogenă a concentratului industrial începe la temperatură ambientă de 25°C , maximumul reacției exotermice este la 440°C . În acest interval se formează și produsele intermedii, cu o capacitate ridicată (sulfatii) reducând adsorbția și difusia oxigenului spre substanța activă. Încălzirea cuporului este continuă astfel fiind încălzită și proba analizată. Ca urmare a încălzirii în granulele încălzite începe o separare termică a sulfului și depositare

în porii acestuia. Formarea sulfatilor se poate delimita pe fig..

2.3.2. (anexă) Pe curbe DTA în intervalul de $(350\text{--}540^{\circ}\text{C})$.

Minimul procesului de disociere termică este atinsă pentru temperatură de 700°C .

Comparind punctele delimitative ale acestor procese de temperatură cu cele obținute la analiza termică a piritei se poate observa că acestea sunt apropiate, care dovedește că există un mecanism similar la încălzire și descompunere termică. Prezența fondentului și a calcopiritei nu influențează în mod deosebit vîteza și mecanismul de descompunere a concentratului.

Desăvîrșirea procesului de disociere se realizează pentru temperatură de 700°C .

b. În intervalul de temperaturi $(700\text{--}900^{\circ}\text{C})$ continuă procesul de oxidare și anume sulfurile simple (FeS) se oxidează într-un oxid fero feric după reacția:



Acest produs se obține în fază solidă.

c. La temperatură de cca 900°C apare un minim pe curbe DTA și o schimbare a vitezei de transformare observată pe curba TG care după toate posibilitățile corespunde punctului de topire a concentratului. Prin topirea oxidului fero-feric (Fe_2O_3) există o probabilitate termică mai ridicată pe tru formarea feialitei ($2\text{FeO} \cdot \text{SiO}_2$). Prin contactul dintre topitură și bioxidul de siliciu, încă în etare solidă la această temperatură, reacția de formare este exotermică și se sporește evidențiat pe curbe DTA în forme ușor ondulații.

Reacția principală de formare a feialitei se desfășoară după ecuația:

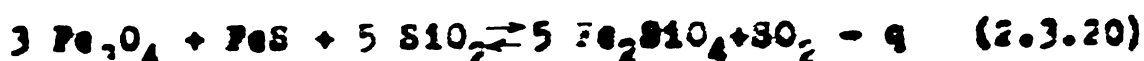


este probabilită și reacția



care este procesul de reducere parțială a magnetitei formate, reacțiiile fiind favorizate de SiO_2 .

Inafara reacțiilor [2.3.18-2.3.19] noi putem vorbi și de reacția reversibilă:



După cum s-a văzut, curbele termice înregistrate prin metoda analizei termice diferențiale nu indică numai efectele termice ale reacțiilor chimice de modificare a greutății, ci și modificările pe care le suferă un compus sub acțiunea energiei termice. Prin acesta ,analiza termică diferențială (este) furnizată numeroase puncte de reper pentru alegerea celor mai adecvate metode tehnologice în vederea atingerii scopului propus. În cazul concret cunoașterea acestor reacții cardinale vor permite îmbunătățirea tehnologică și a instalațiilor de extracție a cuprului prin metoda topirii în suspensie a concentratelor.

2.4. Determinarea ecuației cinetice formălu, se caracterizează decompunerea termică a concentratului cupros.

Procesul de topire în suspensie este bazat pe decompunerea substanțelor solide. Reacțiile principale se produc în fază solidă. Prin reacții în fază solidă se înțeleg de obicei procese de decompunere a solidelor (o parte a produsilor de decompunere fiind volatili), reacții dintre solide și reacții ale solidelor cu substanțe lichide sau gazoase.

In toate aceste procese joacă un rol hotăritor fenomenele de transport, dintre care cele mai importante sunt : difuzie și conductibilitate termică.

O caracteristică esențială a reacțiilor în fază solidă este constituirea destrucției totale în timpul procesului, a fazei, specifice reactantului și formarea unei noi, caracteristică predușilor de reacție. Din această cauză, reacția se propagă adeseori pornind de la "nucleu" de produs de reacție, care apar pe suprafața reactantului. Atât numărul nucleelor, cât și suprafața lor se măresc în timpul procesului chimic, iar viteză globală a reacției poate depinde și de aceste mărimi. Din această cauză curbele cinetice pentru reacțiile în fază solidă sunt adeseori foarte complicate, și nu pot fi redată printr-o singură funcție matematică. Analizând configurația curbei TG din fig.2.3.2, pentru concentratul cupros, rezultă că pentru caracterizarea cineticii de descompunere se impun cel puțin trei asemenea funcții. Astfel, noțiunile de molecularitate și ordin de reacție au o aplicabilitate restrinsă în cazul reacțiilor de descompunere termică a concentratului cupros și a piritelor.

Însăși molecule este o entitate greu de definit pentru unele solide, iar concentrația reactanților poate varia nu numai în timp, dar și cu poziția spațială, datorită propagării reacției pornind de la nucleele de produs de reacție.

Din această cauză noțiunea de ordin de reacție se folosește doar formal, ca o extindere de limbaj, pentru exprimarea analitică a vitezei de reacție în funcție de cantitățile de reactant, fiind adeseori dependentă și de forma și granulometria particulelor solide.

În funcție de natura procesului determinant de viteză, se poate încerca să clasificăm procesele în fază solidă,

menționindu-se însă că nu este singura clasificare întâlnită în literatură de specialitate [16] . Această clasificare face deosebirea între procese în care produsul solid se reacție poate avea sau nu proprietăți catalitice, procesul de transformare chimică început la suprafața solidului propagându-se sub formă de front de reacție spre interior. Procesul determinant de viteză poate fi în acest caz sau fenomenul de formare sau de creștere a noi faze solide, sau difuzia și transportul materiei în fază solidă sau însăși procesul de transformare chimică.

La o a doua clasă de reacții, viteză este contrată de apariția și ramificarea unor fisuri în fază solidă, ca urmare a tensiunii create la formarea noii faze, iar propagarea reacției are loc în direcția preferențială de-a lungul fisurilor.

In general nu se poate face responsabil un singur tip de proces elementar pentru mecanismul reacțiilor în fază solidă, deoarece viteză de reacție depinde nu numai de desfășurarea procesului chimic, dar și de transportul de masă și de căldură și și de tensiunile electrice, calorice și mecanice create.

Studiile experimentale arată că este greu de a cuprinde prin aceeași lege cinetică un număr mai mare de reacții de descompunere în fază solidă.

Înainte de a trece la stabilirea ecuațiilor cinetice care caracterizează descompunerea concentratului cupros, voi face unele considerații generale privind cinetica formală a acestor reacții:

Reacție de descompunere a concentratului cupros este de forma :



Această formă a reacției este caracteristică perioadei de disociere termică.

Ecuația de decompunere (2.4.1) poate fi caracterizată de viteză de reacție, de forma:

$$-\frac{dC_A}{dt} = k C_A. \quad (2.4.2)$$

Ecuația cinetică (2.4.2) pentru o reacție de ordinul întâi poate fi exprimat în funcție de variația masei sau în funcție de modificarea greutății probei solide, cu relația:

$$\frac{dW_t}{dt} = k_w^n \quad (2.4.3)$$

dacă se notează prin W_∞ pierderea de greutate a probei solide la sfîrșitul unei etape a procesului de degradare și prin W_t pierderea de greutate la timpul t . În acest caz diferența $(W_\infty - W_t) = w_p$, reprezintă greutatea probei la un moment dat al reacției, angrenată în proces, proporțională cu concentrația reactanților, participanți în procesul chimic respectiv. Tinând seama că W_∞ reprezintă totodată și o măsură pentru cantitate de probă transformată la sfîrșitul procesului chimic, raportul $\frac{W_t}{W_\infty} = \alpha$, va caracteriza gradul de transformare la un moment dat al reacției, astfel că se poate forma și o ecuație de viteză adimensională pentru exprimarea cinematică a proceselor în fază solidă:

$$-\frac{d\alpha}{dt} = k_n (1-\alpha)^n \quad (2.4.4)$$

Determinarea unei funcții analitice, definită printr-un tabel de valori, se poate realiza printr-o metodă corespunzătoare de interpolare. Dacă tabelul reprezintă rezultatele unei experiențe fizice carecăre, elementele sale pot conține erori inerente. Mai mult decât atât, aceste erori inerente nu se pot prezice în mod obișnuit cu un grad rezonabil de certitudine, fiind repartizat după o legă statistică și există o probabilitate apreciabilă ca unele dintre ele să fie destul de mari.

Să presupunem de exemplu, că în urma unei experiențe carecă am obținut un tabel de valori pentru x și y . Dacă se reprezintă într-un sistem de axe cuordonata y se va putea vedea că unele valori a lui (y) conțin o eroare importantă, deoarece acestea nu se supun aceluiasi reguli ca și celelalte puncte. De aceea, se vor obține rezultate cu erori mari dacă vom utiliza o interpolare în care va intra oricare din punctele care nu se supun regulii generale de desfășurare a fenomenului. Înainte de a folosi astfel de date trebuie să le „netezim” astfel încât să eliminăm pe cît posibil eroile statistice.

Acste observații ne determină să căutăm o metodă care, bazându-se pe o serie de valori tabelate obținute pentru y și y să conducă la o relație generală între x și y .

Metoda celor mai mici pătrate oferă un astfel de cadră pentru evaluarea funcțiilor analitice pe baza datelor experimentale.

Metoda celor mai mici pătrate elimină o serie de dificultăți ce apar în cazul celorlalte metode. În cazul acestei metode se minimizează suma pătratelor abaterilor:

$$\sum_{i=1}^m d_i^2 = \sum_{i=1}^m (y_i - \bar{y}_i)^2 \quad (2.4.5)$$

unde: y_i - este valoarea tabelată;

\bar{y}_i - este valoarea rezultată din funcția de aproximare.

Dacă se alege o funcție liniară de interpolare

$$\bar{y} = a + bx \quad (2.4.6)$$

Expresia abaterilor în acest caz devine:

$$\sum_{i=1}^m d_i^2 = \sum (y_i - a - bx)^2 \quad (2.4.7)$$

Aceasta este o funcție patratică în a și b . Metodele de calcul cunoscute ne permit să găsim valorile lui a și b , care minimizează această expresie.

Există de asemenea și considerente de ordin statistic pentru folosirea expresiei (2.4.5). Se poate arăta că funcția $y = f(x)$, care rezultă din minimizarea ecuației (2.4.5), este cea mai probabilă, dacă valerile lui y , măsurate experimental urmăresc o repartiție normală (gaussiană). Într-adevăr, dacă eroarea statistică din y_j urmărește o repartiție cu o dispersie constantă, ecuația (2.4.5) conduce la cea mai probabilă soluție.

Acăstea sunt motivele pentru care alegem minimizarea expresiei (2.4.5). Deoarece facem suma pătratelor abaterilor minime, relația (2.4.5) este numită principiul celor mai mici pătrate.

Să presupunem că valorile tabelate ale lui y , erorile statistice, urmăresc o repartitie normală, iar funcția de interpolare vom presupune liniară:

$$y = a_1 x_1 + a_0 \quad (2.4.8)$$

Dorim să minimizăm expresia:

$$S = \sum_{i=1}^m (y_i - a_1 x_i - a_0) \quad (2.4.9)$$

Din condițiile $\frac{\partial S}{\partial a_1} = 0$ și $\frac{\partial S}{\partial a_0} = 0$ se obțin ecuațiile normale din care se deduc:

$$a_0 = \frac{\sum y_i \sum x_i^2 - \sum x_i \sum x_i y_i}{m \sum x_i^2 - (\sum x_i)^2} \quad (2.4.10)$$

$$a_1 = \frac{m \sum x_i y_i - \sum x_i \sum y_i}{m \sum x_i^2 - (\sum x_i)^2} \quad (2.4.11)$$

Inlocuind aceste soluții se obține curba aproximată liniar prin metoda celor mai mici pătrate. Aceasta din urmă este denumită regresie liniară în x a lui y . Spunem că regresăm în x deoarece am presupus că x_j nu conține erori.

Regresia poate fi: liniară, polinomială, exponențială, geometrică și trigonometrică.

Din fig. 2.3.2 care reprezintă variația greutății probei ca urmare a disocierii termice a concentratului cupres, pentru valorile temperaturii între limitele de cca $(600-900)^{\circ}\text{K}$ curbele au o formă asemănătoare cu a celor exponentiale, caracteristic proceselor controlate de factori cinetici (temperatură, concentrație).

Curba de descompunere termogravitică din fig. 2.3.2. determinată pe cale experimentală, va servi la determinarea funcției analitice a reacției în acest domeniu și temperaturilor. Domeniile cuprinse între $(0-600)^{\circ}\text{K}$ și $(900^{\circ}-1700)^{\circ}\text{K}$ se vor analiza ulterior.

După configurația curbei TG cuprinsă în domeniul delimitat de temperaturile $(600-900)^{\circ}\text{K}$ se poate afirma o asemănare dintre aceasta și o parte din curbele cinetice. În prima analiză pentru considerentul exprimat anterior, vor presupune că cinetica procesului în domeniul de temperaturi arătate este posibilă să fie exprimată cu o ecuație de forma celei arătate la (2.4.3):

$$\frac{dW_t}{dt} = K_n W_r^n \quad (2.4.12)$$

Dacă W_∞ reprezintă pierderea de greutate la sfîrșitul unei etape a procesului de degradare și W_t pierderea la timpul t . În acest caz diferența $(W_\infty - W_t) = W_r$ reprezintă greutatea probei la un moment dat al reacției engrenată în proces, proporțională cu concentrația reacționilor participanți în procesul chimic respectiv.

Presupunând că viteză de încălzire este constantă $\frac{dT}{dt} = a[\text{}/\text{min}]$ și că reacția în fază solidă este scădită de legea lui Arrhenius, ecuația de viteză gravimetrică se poate reda sub forma:

$$\frac{dW_t}{dt} = \frac{k_a}{a} e^{-\frac{E}{RT}} \cdot W_r^n = \frac{k_a}{a} e^{-\frac{E}{RT}} (W_\infty - W_t) \quad (2.4.1)$$

Se observă că în această ecuație sunt implicate mai mult de două variabile și anume: viteza reacției $\frac{dN}{dT}$; temperatură T și concentrația substanței ($N_{\infty} - N_T$).

În asemenea cazuri utilizarea metodei celor mai mici pătrate este recomandată, prin folosirea regresiei multiple.

Considerind în general trei variabile x, y , și z presupunând că există legătura funcțională între aceste trei variabile de formă

$$z = f(x, y) \quad (2.4.14)$$

unde funcția $f(x, y)$ nu este complet determinată. Să presupunem că avem, un tabel în care sunt inserate valorile corespunzătoare celor trei variabile, adică $(x_1, y_1, z_1); (x_2, y_2, z_2); \dots; (x_m, y_m, z_m)$. Dacă se admite ipoteza că valorile tabelate ale lui z_i conțin erori statistice care urmărește o partiție normală funcție cea mai probabilă de aproximare este cea obținută regresind atât în x cât și în y , iar expresia (2.4.14) poate fi înlocuită prin:

$$z = A + Bx + Cy \quad (2.4.15)$$

Considerind planul celor mai mici pătrate în locul dreptei celor mai mici patrate, astfel spus, considerind că planul reprezentat de expresia (2.4.15) este astfel ales, încât suma patratelor abaterilor valorilor z_i din tabel față de valorile lui z obținute cu (2.4.15) să fie cât mai mică posibilă. Acest lucru se obține prin minimizarea sumei:

$$S = (z_i - A - Bx_i - Cy_i) \quad (2.4.16)$$

Derivând expresia lui S în raport cu A, B și C și egalând fiecare derivată parțială cu zero, se obțin cele trei ecuații normale în A, B și C :

$$mA + (\sum x_i)B + (\sum y_i)C = \sum z_i \quad (2.4.17)$$

$$(\sum x_i)A + (\sum x_i^2)B + (\sum x_i y_i)C = \sum x_i z_i \quad (2.4.18)$$

$$(\sum y_i)A + (\sum x_i y_i)B + (\sum y_i^2)C = \sum y_i z_i \quad (2.4.19)$$

Inlocuind soluțiile A, B și C ale acestei ecuații în (2.4.15), obținem regresia liniară a lui z în x și y.

Din valorile experimentale ale vitezei de reacție rezultă tabela nr. 2.4.II, în funcție de temperatură și modificarea greutății probei se va determina funcția reacției cinetice socotind pe aceasta de forma:

$$\frac{dW_T}{dT} = \frac{k_0}{a} \cdot e^{-\frac{E}{RT}} (W_\infty - W_T)^n \quad (2.4.20)$$

Această relație se va transforma într-o relație de formă:

$$z = A + Bx + Cy \quad (2.4.21)$$

Transformarea ecuației (2.4.20) se face prin logaritmarea obținând:

$$\ln \frac{dW_T}{dT} = \ln \frac{k_0}{a} + \left(- \frac{E}{RT} \right) + n \ln (W_\infty - W_T) \quad (2.4.22)$$

Se vor introduce următoarele notății:

$$z = \ln \frac{dW_T}{dT};$$

$$A = \ln \frac{k_0}{a};$$

$$B = - \frac{E}{R}; \quad (2.4.23)$$

$$x = \frac{1}{T};$$

$$C = n;$$

$$y = \ln (W_\infty - W_T)$$

Cu notățiiile utilizate în (2.4.23) relația (2.4.22) va lua forma ecuației (2.4.21).

În baza rezultatelor experimentale tabelate în tabela nr. 2.4.II se va întocmi un tabel ajutător pentru formarea ecuațiilor canonice cuprinsă în prezente lucrare în tabelul nr. 2.4.III.

Table 2.4.11.

Nr. crt.	$X_i = \frac{1}{T}$	$W_2 - W_1$	$\log [W_2 - W_1]$	$y = \ln [W_2 - W_1]$	$\frac{dW_2/dT}{2}$	$Z_i = \ln \frac{W_2}{W_1}$
1	0,00161	373	2,572	5,94	0,013	2,823
2	0,00141	367	2,565	5,91	0,120	0,1435
3	0,00128	357	2,554	5,85	0,167	0,2135
4	0,00123	344	2,537	5,83	0,260	0,229
5	0,00121	322	2,522	5,81	0,300	0,447
6	0,00119	318	2,503	5,77	0,300	0,478
7	0,00116	295	2,470	5,70	0,311	0,3055
8	0,00109	250	2,398	5,52	0,500	0,8340
9	0,00103	193	2,267	5,23	2,168	0,259
					0,466	0,12

Tabelle 2+4+III.

Nr. Crt.	$\sum x_i$	$\sum y_i$	$\sum x_i y_i$	$10^3 \sum_{x_i}^2$	$\sum y_i^2$	$\sum z_i$	$\sum x_i z_i$	$\sum y_i z_i$
1	0,00161	5,94	0,00954	91,10 ⁻⁶	35,10	-1,17722,303	-1,391,10 ⁻³	-6,97
2	0,10142	5,91	0,00832	69,10 ⁻⁶	34,80	-0,84322,303	-1,190,10 ⁻³	-4,98
3	0,00136	5,85	0,00795	63,10 ⁻⁶	34,10	-0,67122,303	-0,912,10 ⁻³	-3,93
4	0,00128	5,83	0,00745	55,3,10 ⁻⁶	33,90	-0,55322,303	-0,708,10 ⁻³	-3,94
5	0,00121	5,81	0,00702	49,2,10 ⁻⁶	33,60	-0,52222,303	-0,632,10 ⁻³	-3,93
6	0,00115	5,77	0,00662	44,6,10 ⁻⁶	33,20	-0,38522,303	-0,444,10 ⁻³	-2,83
7	0,00109	5,70	0,00622	38,5,10 ⁻⁶	32,30	0,00322,303	0,00327,10 ⁻³	0,0171
8	0,00106	5,52	0,00584	34,10 ⁻⁶	30,40	0,25922,303	0,274,10 ⁻³	2,430
9	0,00103	5,23	0,00538	28,9,10 ⁻⁶	27,20	0,16032,303	0,1535,10 ⁻³	0,628
11	13,10 ⁻³	56,46	64,34,10 ⁻³	380,5,10 ⁻⁶	294,60	-3,7732,303	-3,377,10 ⁻³	-32,304922,303

Ecuatiile normale se construiesc după modelul regresiei multiple în forma relațiilor 2.4.17, 2.4.18 și 2.4.19. După efectuarea operațiunilor de mediere asupra rezultatelor cuprinse în tabela nr. 2.4.III se obține prin adunarea coloanelor de rezultate, ecuațiile :

$$9A + 11,18 \cdot 10^{-3} \cdot B + 56,46 \cdot C + 3,77 = 0 \quad (2.4.24)$$

$$11,18 \cdot 10^{-3} A + 380,50 \cdot 10^{-6} \cdot B + 64,34 \cdot 10^{-3} C + 5,377 \cdot 10^{-3} = 0 \quad (2.4.25)$$

$$56,46 A + 64,34 \cdot 10^{-3} \cdot B + 294,60 \cdot C + 22,30 = 0 \quad (2.4.26)$$

Sistem l determinat prin ecuațiile (2.4.24); (2.4.25) și (2.4.26) este linier în A, B și C. Prin rezolvarea acestui sistem prin une din metodele cunoscute se obțin valori pentru A, B și C.

Regula lui Kramer ne conduce la următoarele rezultate:

$$A = -2,303 \frac{\Delta_A}{\Delta_G} = \frac{\begin{vmatrix} 3,77 & 11,18 \cdot 10^{-3} & 56,46 \\ 5,377 \cdot 10^{-3} & 380,5 \cdot 10^{-6} & 64,34 \cdot 10^{-3} \\ 22,30 & 64,34 \cdot 10^{-3} & 294,60 \end{vmatrix}}{\begin{vmatrix} 9,00 & 11,18 \cdot 10^{-3} & 56,46 \\ 11,18 \cdot 10^{-3} & 380,50 \cdot 10^{-6} & 64,34 \cdot 10^{-3} \\ 56,46 & 64,34 \cdot 10^{-3} & 294,60 \end{vmatrix}} \quad (2.4.27)$$

Determinantul sistemului Δ_{ABC} rezolvă prin desfăcerea în determinanță minori:

$$\Delta_A^{(1)} = 3,77 \begin{vmatrix} 380,5 \cdot 10^{-6} & 64,34 \cdot 10^{-3} \\ 64,34 \cdot 10^{-3} & 294,60 \end{vmatrix} = 3,77 \cdot 0,10818 = 0,408 \quad (2.4.28)$$

$$\Delta_A^{(2)} = -11,18 \cdot 10^{-3} \begin{vmatrix} 5,377 \cdot 10^{-3} & 64,34 \cdot 10^{-3} \\ 22,30 & 294,60 \end{vmatrix} = -1,675 \cdot 10^{-3} = -0,001675.$$

$$\Delta_A^{(3)} = 56,46 \begin{vmatrix} 5,377 \cdot 10^{-3} & 380,5 \cdot 10^{-6} \\ 22,30 & 64,34 \cdot 10^{-3} \end{vmatrix} = -56,46 \cdot 8,155 \cdot 10^{-3} = -0,460$$

Coefficientul notat prin A se obține din relația (2.4.27):

$$A = -2,303 \frac{\Delta A}{\Delta G} = \frac{-2,303 \cdot 0,053625}{-0,18826} = 0,6552 \quad (2.4.29)$$

Valoarea coefficientului B rezultă în mod similar rezolvând sistemul în privința acestei necunoscute:

$$B = 2,303 \frac{\Delta B}{\Delta G} \quad (2.4.29')$$

Determinantul rezultă după regula lui Krammer:

$$\Delta_B = \begin{vmatrix} 9 & 3,77 & 56,46 \\ 11,18 \cdot 10^{-3} & 5,377 \cdot 10^{-3} & 64,34 \cdot 10^{-3} \\ 56,46 & 22,30 & 294,60 \end{vmatrix} = \quad (2.4.1)$$

Determinanții minori și au valorile:

$$\Delta_B^{(1)} = \begin{vmatrix} 5,377 \cdot 10^{-3} & 64,34 \cdot 10^{-3} \\ 22,30 & 294,60 \end{vmatrix} = 1,329 \quad (2.4.31)$$

$$\Delta_B^{(2)} = -3,77 \begin{vmatrix} 11,18 \cdot 10^{-3} & 64,34 \cdot 10^{-3} \\ 56,46 & 294,60 \end{vmatrix} = 1,28 \quad (2.4.32)$$

$$\Delta_B^{(3)} = 56,46 \begin{vmatrix} 11,18 \cdot 10^{-3} & 5,377 \cdot 10^{-3} \\ 56,46 & 22,30 \end{vmatrix} = -3,05 \quad (2.4.33)$$

Determinantul are valoarea:

$$\Delta_B = \sum \Delta_B^{(i)} = 1,329 + 1,28 - 3,05 = -0,38 \quad (2.4.34)$$

Astfel valoarea coefficientului B este:

$$B = -2,303 \frac{\Delta B}{\Delta G} = \frac{-2,303 \cdot -0,38}{-0,18826} = -4,65 \quad (2.4.35)$$

Rezolvarea sistemului de ecuații în privința lui C prin utilizarea regulii lui Krammer ne conduce la:

$$C = 2,303 \frac{\Delta C}{\Delta G} = 2,303 \cdot \frac{\begin{vmatrix} 9 & 11,18 \cdot 10^{-3} & 3,77 \\ 11,18 \cdot 10^{-3} & 380,5 \cdot 10^{-6} & 5,377 \cdot 10^{-3} \\ 56,46 & 64,34 \cdot 10^{-3} & 22,30 \end{vmatrix}}{-0,18826}$$

-45-

Determinantul se rezolvă prin determinantă minori:

$$\Delta_C = \Delta_C^{(1)} + \Delta_C^{(2)} + \Delta_C^{(3)} \quad (2.4.36)$$

Se scriu determinanții minori

$$\Delta_C^{(1)} = 9 \begin{vmatrix} 380,5 \cdot 10^{-6} & 5,387 \cdot 10^{-3} \\ 64,34 \cdot 10^{-3} & 22,30 \end{vmatrix} = 0,008125 \quad (2.4.37)$$

$$\Delta_C^{(2)} = -11,18 \cdot 10^{-3} \begin{vmatrix} 11,18 \cdot 10^{-3} & 5,377 \cdot 10^{-3} \\ 56,46 & 22,30 \end{vmatrix} = -11,18 \cdot 10^{-3} (0,249 - 0,304) = \\ = 0,00064 \quad (2.4.38)$$

$$\Delta_C^{(3)} = 3,77 \begin{vmatrix} 11,18 \cdot 10^{-3} & 380,50 \cdot 10^{-6} \\ 56,46 & 64,34 \cdot 10^{-3} \end{vmatrix} = -0,078 \quad (2.4.39)$$

Determinantul are valoarea:

$$\Delta_C = \sum_1^3 \Delta_C^{(i)} = 0,008125 + 0,000614 - 0,078 = -0,070489 \quad (2.4.40)$$

Deci coeficientul C are valoarea:

$$C = \frac{2,303 \Delta_C}{\Delta_G} = \frac{-2,303 \sum_1^3 \Delta_C^{(i)}}{\Delta_G} = \frac{-2,303 \cdot 0,070489}{-0,18826} = 0,862 \quad (2.4.41)$$

Tinând cont de notările (2.4.23) și și de ecuația analitică (2.4.20) rezultă următoarele:

$$A = 1 \cdot \frac{k_0}{R} = 0,655$$

$$\text{ sau } \frac{k_0}{R} = A = 0,52 \quad (2.4.42)$$

$$B = -\frac{I}{R} = -4,65$$

și

$$C = n = 0,862$$

Cu aceste rezultate ecuația (2.4.20) poate fi scrisă în formă:

$$\frac{d\alpha_T}{dT} = 0,52 + e^{-\frac{4,65}{T}} \frac{-0,862}{(T_\infty - T)} \quad (2.4.43)$$

Ecuția (2.4.43) obținută prin metoda celor mai mici patrate caracterizează descompunerea termică a concentratului industrial, într-un curent de aer, în domeniul de temperatură ($360-700^{\circ}\text{C}$) $633-973^{\circ}\text{K}$. Literatură de specialitate [3][25] [1] încadrează procesele de ardere a sulfurilor în categoria celor de tip Arhenius cu precizarea că oxidarea lor are loc în regia kinetică atât timp cât viteza reacției nu stinge valoarea vitezei de difuzie.

Procesul de oxidare în regim de încălzire, dinamic, a concentratelor cuproase și a piritelor, formal, se poate împărti în mai multe etape care caracterizează principalele stadii de transformare a lor.

În analiza configurației curbei de oxidare a concentratului cuproasă, în funcție de temperatură, se poate trage o serie de concluzii prețioase atât cu privire la dezvoltarea reacției chimice cât și cu privire la rezultatele calorice ale acestor reacții.

Așind în vedere scopul urmărit în prezenta lucrare analiza curbei dedescompunere termică se va face pentru următoarele intervale de temperaturi:

$(303-673)^{\circ}\text{K}$ – perioada I;

$(673-973)^{\circ}\text{K}$ – perioada II;

$(973-1173)^{\circ}\text{K}$ – perioada III;

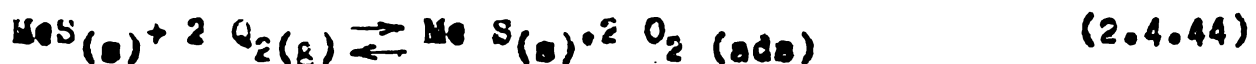
$(1173-1673)^{\circ}\text{K}$ – perioada IV.

I. În perioada inițială a procesului, denumită perioada de incubație (intervalul de temperatură $303-673^{\circ}\text{K}$) viteza de reacție este mică și prezintă o tendință scădere cu creșterea temperaturii,

In prima etapă se realizează adsorbția oxigenului pe suprafața particulelor de concentrat, moleculele adsorbite ale gazului (oxigen) încep să intre în reacție cu centrele active (portiuni care sunt cel mai slab legate de rețeaua de pe suprafața sulfurilor metalice din amestec), formând primii germani ai sulfatilor metaliți. Noua fază cristalină se caracterizează printr-o compactitate mai ridicată în comparație cu cea a sulfurilor.

Viteza de reacție în această perioadă este așa de mică încât nici nu poate fi determinată cu metode obisnuite.

Produsul primar al reacției se consideră și în acest caz sulfatul metalului, mecanismul procesului în această perioadă fiind următorul:



Una dintre particularitățile reacției de formare a sulfatului constă în acesta că transformarea unei substanțe solide ($\text{MeS}_{(s)}$) în altă substanță ($\text{MeSO}_{4(s)}$) este însotită de o creștere mare a volumului și ca urmare a acestui fapt, particula de oxid acoperă întotdeauna cu un strat foarte compact de sulfat. Prin urmare, procesul de formare a sulfatului se desfășoară cu viteză mică, deoarece stratul de sulfat care acoperă particula de sulfură, îngreunăază pătrunderea de O_2 la limita interfacială. În continuare formarea sulfatilor se bazează exclusiv pe difuziune.

Viteza reacției (2.4.46) se poate exprima în modul următor:

$$v_{(\text{SO}_4)} = k_1 \cdot A_{\text{MeS}} \cdot P^2_{\text{O}_2} - k_2 \cdot A_{\text{SO}_4} \quad (2.4.45)$$

In care:

$v_{(SO_4)}$ - viteza de formare a sulfatilor metalici;

k_1, k_2 - constantele vitezelor de reacție directă și inversă;

A_{MOS} - suprafața de contact a sulfurilor cu mediul gazos;

$P_{O_2}, P_{O_2}^*$ - presiunile efective și de echilibru a oxigenului în gaza gazosă.

Relația (2.4.47) este valabilă și în cazul echilibrului cînd viteza totală a procesului $v=0$.

$$k_1 \cdot A_{MOS} \cdot \frac{P_{O_2}^2}{P_{O_2}} - k_2 \cdot A_{SO_4} = 0 \quad (2.4.48)$$

Din (2.4.48) prin ordonarea termenilor rezultă

$$\frac{k_1 \cdot A_{MOS}}{k_2 \cdot A_{SO_4}} = \frac{1}{P_{O_2}^2} = k_p \quad (2.4.49)$$

Inlocuind relația (2.4.49) în (2.4.47) se obține:

$$v_{(SO_4)} = \frac{k_1 \cdot A_{MOS}}{k_2 \cdot A_{SO_4}} \left[\frac{P_{O_2}^2}{P_{O_2}^2 - 1} \right] = k_p \left[\frac{P_{O_2}^2}{P_{O_2}^2 - 1} \right] \quad (2.4.50)$$

In procesul de oxidare a sulfurilor în stare de suspensie se poate admite ipoteza că presiunea efectivă a oxigenului în fază gazosă pentru perioada de formare a sulfatilor este aproximativ constantă $p \approx b$.

Termoderivatograma conținută în prezentă lucrare a fost ridicată în condițiile unui curent de aer cu P_{O_2} = constant.

Din literatură de specialitate [29] rezultă coeficientul de echilibru pentru reacția (2.4.46) în funcție de temperatură:

$$\ln K_p = -\frac{2,303}{4,576} \frac{\Delta G_T}{T} \quad (2.4.51)$$

sau

$$K_p = \exp \left(-\frac{-2,303 \Delta G_T^0}{4,576 \cdot T} \right) \quad (2.4.52)$$

Inlocuind expresia coeficientului de echilibru (2.4.52) în relația (2.4.43) se obține expresia vitezei de formare a sulfatilor în funcție de temperatură pentru intervalul $(303-673)^0$ K:

$$v(SO_4) = P_{O_2}^2 - 1 \quad \exp \left(-\frac{2,303 \Delta G_T^0}{4,576 \cdot T} \right) \quad (2.4.52)$$

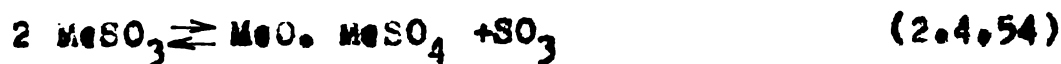
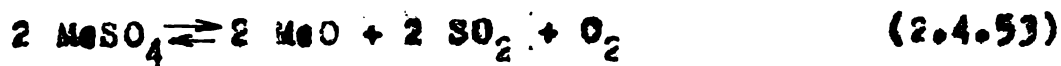
Expressia vitezei (2.4.52) este confirmată și prin rezultatele experimentale, obținute din termoerivatograma concentrației industriale în special pentru intervalul de temperatură $(433-673)^0$ K. În acest interval formarea centrilor activi se realizează cu o intensitate mare.

Din considerente de ordin teoretic și confirmat de rezultate experimentale în domeniul oxidării sulfurilor, se poate afirma că în intervalul de temperatură $(303-673)^0$ K reacțiile chimice care au loc se desfășoară în domeniul cinetic. Viteza reacțiilor în acest domeniu, la temperaturile reduse, este determinată de factorii cinetici.

II. În perioada a doua, între limitele de temperatură $(673-973)^0$ K, din cîtirea termoerivatogramai rezultă că, această zonă se caracterizează prin descompunerea și formarea simultană a sulfatilor și se realizează reducerea sulfurilor superioiri la sulfuri inferioiri. Pentru sulfurile care sunt încălzite pînă la limite superioare de temperatură, de 973^0 K se pot scrie următoarele reacții chimice:

Reacții de disociere a sulfatilor:

-30-



Reacții de reducere a sulfurilor superioare:



In timpul procesului de prăjire , sulfatul poate reacționa cu sulfura acelaiași metal rămasă încă netransformată .In acest fel sunt posibile reacțiile de oxidare a sulfurilor cu oxigenul sulfatilor după reacția de forma:



In cazul dat datorită vitezei de încălzire foarte mare această reacție apare cu o probabilitate scăzută.

In timpul oxidării sulfurilor, sensul reacției reversibile de formare, respectiv de disociere a sulfatului MgSO_4 , $\text{MgO} + \text{SO}_3$ este determinat, la temperatura dată, de presiunea SO_3 , adică de concentrația SO_3 din gazele captorului. Anhidrida sulfurică la rîndul său se descompune sau se formează conform reacției:



Conform principiului Le Chatelier, odată cu creșterea temperaturii, caracteristică turnului de reacție a captorului în suspensie, P_{SO_3} se micșorează având loc reacția chimică:



în timp ce presiunea parțială a SO_2 se mărește din gaze, crește posibilitatea ca în domeniul de temperatură $(673-973)^\circ\text{K}$ sulfatul să se descompună [29].

Prin urmare, sensul reacției de formare sau de descompunere a sulfatului MeSO_4 se determină prin condițiile de echilibru ale reacțiilor:



și a reacției



Tinând seama de faptul că majoritatea sulfatilor și oxizilor, în acestă perioadă de încălzire, se găsesc în fază condensată, constantele de echilibru ale acestei reacții se pot exprima prin ecuațiile:

Pentru reacția (2.4.59) constanta de echilibru:

$$K_1 = P_{\text{SO}_3} \quad (2.4.61)$$

În cazul reacției (2.4.60) constanta de echilibru este:

$$K_2 = \frac{P_{\text{SO}_2}^2 \cdot P_{\text{O}_2}}{P_{\text{SO}_3}^2} \quad (2.4.62)$$

Din expresia (2.4.62) rezultă:

$$P_{\text{SO}_3}^2 = \frac{P_{\text{SO}_2}^2 \cdot P_{\text{O}_2}}{K_2}$$

sau

$$P_{\text{SO}_3} = P_{\text{SO}_2} \sqrt{\frac{P_{\text{O}_2}}{K_2}} \quad (2.4.63)$$

Dacă la o anumită temperatură P_{SO_3} , $\frac{P_{SO_2}}{P_{O_2}} > \frac{k_2}{k_1}$ (presiunea SO_3 , care se dezvoltă la disocierea sulfatului este mai mare decât presiunea SO_3 din atmosfera gazelor de prăjire – adică mai mare decât presiunea parțială a SO_3 din sistemul SO_2, O_2, SO_3 conform reacției $2 SO_3 \rightleftharpoons 2 SO_2 + O_2$), în timpul procesului de prăjire se produce disocierea sulfatului cu formarea oxidului. În turnul de reacție în zona unde are loc această reacție nu conțin decât o cantitate infimă de SO_3 , și ca urmare descompunerea sulfatului este asigurată.

Prin urmare, la prăjirea minereurilor și a concentratelor sulfuroase în această perioadă a procesului există condiții favorabile pentru a se asigura descompunerea sulfatilor formati atit în această zonă de temperatură cît și premergător. Pentru a se asigura descompunerea sulfatilor, este necesar să se ridice temperatură, fără să să apară fază lichidă, în așa fel încit presiunea produselor gazoase ale disocierii sulfatilor să depășească presiunea exterioară.

Disocierea sulfatului în oxid și SO_3 se realizează la temperatură relativ ridicate, reacția fiind însotită de o puternică disociere a SO_3 .

Formarea sulfatilor la prăjirea oxidantă este ajutată de prezența diferiților catalizatori. Cel mai important catalizator este oxidul de fier (pentru formarea SO_3), iar cu efect mai mic oxiziile de cupru și zinc și peretele fierbinte al turnului de reacție.

Stratul de sulfat metalic în cazul procesului de prăjire și topire a concentratelor în suspensie, se formează numai pe suprafața grăuntelui. În acest caz influența factorilor difuzivi are o influență mică, crește importanța (în căsocierea sulfatilor) factorilor cinetici.

La descompunerea sulfatilor formați și reducerea sulfurilor superioiri, în această lucrare s-a cumulat în perioada II, - cu limitele ale temperaturii de $(673-973)^{\circ}\text{K}$, - iar viteză reacțiilor chimice în această perioadă se exprimă cu relația:

$$v_{II} = \frac{dw_T}{dt} = \frac{dw_T}{a \cdot dt} = 0,52 \cdot 8 \cdot \frac{4,65}{RT} (w_{\infty} - w_T)^{-0,862} \quad (2.4.64)$$

relație în care:

a - viteză de încălzire în grade $^{\circ}\text{K}/\text{min}$.

Această relație pentru calculul vitezei de reacție se poate utiliza pînă la apariția stratului înzuiat pe suprafața granulelor care limitează domeniul cinetic de desfășurare a procesului de descompunere a sulfatului și de reducere a sulfurilor superioiri, aceasta fiind continuat în regim de difuziune.

III. În a treia perioadă de încălzire între limitele de temperatură $(973-1173)^{\circ}\text{K}$, după cum rezultă din literatura de specialitate [3] pe suprafața granulelor apar topiri parțiale în special la colțuri care cu creșterea temperaturii se extinde și acoperă toată suprafața granulei. Prin apariția noii faze (lichide) porozitățea granulelor se aduce brusc reducînd proprietățile difuzive ale substanței.

Prin topirea superficială a concentratului, apare fază lichidă, care la început are o viscozitate ridicată, acoperă cu o peliculă compactă suprafața granulei. Sulful gazos eliberat ca urmare a descompunerii sulfurilor superioiri în această perioadă de încălzire urmează să străbate fază lichidă pentru a ajunge în mediul gazos ce înconjoară particula.

În această perioadă de încălzire rezistența principală care se opune descompunerii, este rezistența difuzivă care în cazul

dacă este factorul care limitează viteză de descompunere a sulfurii.

Viteză întregului proces de reducere a sulfurilor superioare, în această perioadă de încălzire, este determinată de viteza de difuziune a sulfului gazos prin stratul de sulfură și oxidul topit pe suprafețe granulelor.

Condiția pentru realizarea regimului de difuziune este aceea ca valoarea coeficientului de viteză a reacției chimice să fie mult mai mare decât coeficientul de difuziune, adică:

$$k \gg \frac{D}{x} \quad (2.4.65)$$

În această perioadă de încălzire, rolul determinant asupra procesului îl are rezistența la difuziune, care crește edată cu grosimea δ a stratului de topitură.

Viteză volumetrică de reducere a sulfurilor superioare în această perioadă de încălzire este proporțională cu viteza de difuziune a sulfului gazos prin stratul superficial topit; ea depinde de natură și concentrația gazului reactant, de forma suprafețelor de separație între gazul reactant și particula în suspensie.

Pentru determinările volumetrice, de reducere a sulfurilor superioare la sulfuri inferioare se poate utiliza legea I-a a lui Fick.

În cazul cînd într-un punct al spațiului concentrația gazului reactant nu se modifică, adică dacă pentru determinarea vitezei unei reacții chimice se poate utiliza relația:

$$\frac{\partial n}{\partial t} = - D \cdot A \cdot \sum_{i=1}^3 \vec{e}_i \cdot \text{grad } c \quad (2.4.66)$$

Dacă difuzia este unidirectionala, relația (2.4.66) poate fi redată sub o formă mai simplă:

$$\frac{\partial n}{\partial t} = - D \cdot A \frac{\partial C}{\partial l} \quad (2.4.67)$$

Inegăs a lui Pick în forma generală, pentru diferite sisteme de coordonare (rectangular, cilindric, sferic) poate fi scrisă astfel:

$$\frac{\partial C}{\partial t} = D \cdot l^{-m} \frac{\partial}{\partial l} \left(l^m \frac{\partial C}{\partial l} \right) \quad (2.4.68)$$

unde z sunt valori după sistemul de coordonate utilizat astfel:

	Rectangular	Cilindric	Sferic
l	x	r	r
m	θ	1	2

În cazul difuziei unidirectionale, dacă concentrația într-un punct al spațiului nu variază cu timpul, relația (2.4.68) poate fi scrisă astfel:

$$\frac{\partial C}{\partial t} = D \cdot l^{-m} \frac{\partial}{\partial l} \left(l^m \frac{\partial C}{\partial l} \right) = 0 \quad (2.4.69)$$

Termenul din mijloc a acestei relații poate lua valoarea zero, dacă expresia din paranteză are o valoare constantă, adică dacă:

$$l^m \frac{\partial C}{\partial l} = \pm B \quad (2.4.70)$$

Relația (2.4.70) după separarea variabilelor poate fi integrată:

$$\int_{C_0}^C dC = \pm B \int_{l_0}^l l^{-m} dl \quad (2.4.71)$$

Această relație poate fi integrată pentru valori diferite ale lui m . Când $m \neq 1$ după integrare (2.4.70) devine:

-56-

$$C - C_0 = (\pm B) \frac{1^{1-m} - 1^{1-m}}{1^m} \quad (2.4.72)$$

Din (2.4.72) rezultă valoarea lui B pentru $m \neq 1$:

$$(\pm B) = \frac{C_0 - C}{\frac{1^{1-m} - 1^m}{1^m - 1^{1-m}}} \quad (2.4.73)$$

Inlocuind expresia lui B din relație (2.4.73) în relația (2.4.67) se obține:

$$\frac{\partial n}{\partial t} = -D \cdot A \frac{\partial C}{\partial l} = -D \cdot A \cdot (\pm B) l^{-m} = -D \cdot A \frac{(C_0 - C) l^{-m}}{l_0^{1-m} - l^{1-m}} (1-m) \quad (2.4.74)$$

Relația (2.4.74) este aplicabilă în această perioadă de încălzire, mai ales dacă se ține seama că sulful gazos, ca urmare a descompunerii sulfurilor superioare a fost refugiat din masă particular în mediul exterior gazos în perioada anterioară de încălzire.

Particula de concentrat poate fi considerată în această perioadă de formă sferică care este învelită într-un strat subțire de gaz.

Sulful rezultat în această perioadă de încălzire, prin descompunere, este transportat în mediul gazos prin difuzie.

În cazul concentratului industrial analizat vom face ipoteza simplificatoare cum că particulele în această zonă de temperatură au o formă sferică și că difuzia se desfășoară unidirectional, acest lucru fiind justificat prin simetria procesului în interiorul unei spații sferice. Relație utilizată pentru determinarea vitezei reacției de reducere a sulfurilor superioare este:

$$\frac{\partial n}{\partial t} = -D \cdot A \frac{\partial C}{\partial l} \quad (2.4.75)$$

In cazul particulelor sferice (2.4.75) devine:

$$V_{MeS_2} = \frac{\partial n}{\partial t} = -D \cdot A \cdot \frac{dc}{dr} \quad (2.4.76)$$

In care:

D - coeficientul de difuzie prin stratul de sulfură și oxid topit superficial;

n - numărul particulelor de sulfuri din probă;

A - suprafața totală a particulelor;

d_c - variația radială a concentrației sulfului gazos;

d_r - variația razei sferei după deplasarea zonei secțiunii de unde se realizează difuzia.

$$V_{MeS_2} = - D \cdot A \cdot \frac{dc}{dr} = - D \cdot N \cdot \frac{4\pi r^2 d_c}{d_r} \quad (2.4.76')$$

Viteza difuziei nu depinde de raza sferei, motiv pentru care relația (2.4.76) poate fi integrată prin separarea variabilelor:

$$V_{MeS_2} \cdot \frac{dr}{r^2} = - D \cdot N \cdot 4\pi \cdot dc \quad (2.4.77)$$

Integrarea ecuației diferențiale (2.4.77) se face pentru condițiile initiale:

$$r = R \quad c = C_0 \quad t = 0$$

$$r = r \quad c = C \quad t > 0 \quad (2.4.78)$$

Făcind integrarea ecuației (2.4.77) se obține:

$$V_{MeS_2} \int_{r_1}^r \frac{dr}{r^2} = - D \cdot N \cdot 4\pi \int_{C_0}^C dc \quad (2.4.79)$$

sau

$$V_{MeS_2} \left(\frac{1}{r_1} - \frac{1}{r} \right) = - D \cdot N \cdot 4\pi (C - C_0) \quad (2.4.80)$$

Din (2.4.80) rezultă expresia vitezei de reacție pentru aceea că zonă de încălzire:

$$v_{MOS_2} = D \cdot N_a \cdot 4\sqrt{\pi} \cdot \frac{C_0 - C}{\frac{1}{R} - \frac{1}{R_1}} \quad (2.4.81)$$

Concentrația unei substanțe poate fi exprimată și cu ajutorul presiunii sale partișale:

$$C_1 = \frac{P_1}{RT} \quad (2.4.82)$$

Concentrația sulfului găsos în interiorul particulei sferice este C_{S_2} , iar la nivelul gazului înconjurător C_{OS_2} . Prin aplicarea relației (2.4.82) se poate scrie:

$$C_{S_2} = \frac{P_{S_2}}{RT} \quad \text{și} \quad C_{OS_2} = \frac{P_{OS_2}}{RT} \quad (2.4.83)$$

Inlocuind (2.4.83) în (2.4.81) se obține:

$$v_{MOS_2} = \frac{D \cdot N_a \cdot 4\sqrt{\pi}}{RT} \cdot \frac{P_{S_2} - P_{OS_2}}{\frac{1}{R} - \frac{1}{R_1}} \quad (2.4.84)$$

Din relația (2.4.84) rezultă că viteza de desfășurare a reacției în această perioadă de încălzire este cu atât mai mare cu cât coeficientul de difuzie este mai mare, cu cât particulele au dimensiuni mai mici și cu cât tensiunea de disociere a sulfurii este mai mare (p_{S_2}).

Din consideranțele practice rezultă că dimensiunile particulelor se alege astfel încât să permită separarea acestora din curentul de gaze care trece prin cuptor. La o micorare pronunțată a particulelor pierderea de metal cu suspensia antrenată din instalație crește brusc.

În concluzie, rezultă că se poate influența intensitatea vitezei de reacție prin coeficientul de difuzie D și prin tensiunea de disociere p_{S_2} .

Coefficientul de difuzie este o mărime fizică care este influențată de temperatură și dependența de temperatură poate fi exprimată prin 29 :

$$D \approx D_0 \left(\frac{T}{T_0} \right)^{1,8} \quad (2.4.85)$$

In cazul dat direcția difuziei de sulf gazeos este până în interiorul particulei spre exterior și nu poate fi utilizat alt mijloc pentru creșterea ei decât aceea a creșterii vitezei de încălzire. Viteza de creștere a temperaturii particulei se poate realiza prin modificarea cimpului de temperaturi în curentul portant cît și prin influențarea mișcării relative a particulelor față de curentul portant.

Din analiza curbelor termogravimetrice rezultă că reacția chimică care are loc în această zonă este endotermică. Aceasta este evidențiată prin altura curbei DTA care arată că în această perioadă de încălzire are loc o reacție endotermică lentă, ceea ce este caracteristic proceselor de descompunere.

In cazul unei compoziții constante a gazelor, presiunea parțială de echilibru a S_2 , în această perioadă de încălzire depinde numai de temperatură: $P_{S_2} = f(T)$.

Tensiunea de disociere a sulfurii este deci cea de a doua mărime primă care poate fi influențată vitesa de desfășurare a procesului în această perioadă.

Disocierea unei sulfuri se poate studia cu ajutorul caracteristicilor termodinamice cum sunt: mărimea potențialului termodynamic izobar de formare a sulfurii (ΔQ_T^0), tensiunea de disociere (P_{S_2}), constanta de echilibru a reacției de disociere.

Picăre sulfură are o tensiune de disociere care îi este proprie prin natură și chimică. Reacția de formare sau de disociere a sulfurii se desfășoară în sensul atingerii stării de echilibru a sistemului.

Între potențialul termodynamic izobar și constanta de echilibru a unei reacții există relația: $G_T = -RT \ln K$. Prin urmare, presiunea parțială a sulfului rezultat din descompunerea unei sulfuri (p_{S_2}) – tensiunea de disociere a sulfurii – la o anumită temperatură se poate determina cu ajutorul variației potențialului termodynamic izobar:

$$\Delta G_{TS_2}^{\circ} = RT \ln \frac{1}{p_{S_2}} \quad (2.4.86)$$

sau

$$p_{S_2} = \exp \left(- \frac{\Delta G_{TS_2}^{\circ}}{RT} \right) \quad (2.4.87)$$

Din expresia tensiunii de disociere (2.4.87) rezultă că mărimea și este dependență de temperatură. Rezultă deci că în cazul creșterii temperaturii tensiunea de disociere crește exponențial.

Influențarea procesului chimic, respectiv modificarea vitezei procesului, se va putea realiza și chiar regla prin viteză de încălzire.

Ridicarea temperaturii influențează în același sens atât valoarea coeficientului de difuzie cât și a potențialului de disociere.

Viteza întregului proces, în această perioadă, este determinată de viteza de difuziune a oxidantului (oxigenul din aer) prin stratul de oxid format pe suprafața particulei de concentrat.

IV. Perioada a patra de încălzire este cuprinsă între limitele de temperatură $(1173-1673)^{\circ}\text{K}$.

Din analiza curbelor termogravimetrice rezultă că în această perioadă se realizează o creștere a temperaturii concentratului. O parte din efectul termic al reacției se transferă însăși concentratului prin produsele gazoase ale reacției. Cercetările în acest domeniu [29] confirmă că la aceste temperaturi, formarea oxizilor în urma oxidării sulfurilor devine preponderentă. În această perioadă de încălzire se realizează topirea tuturor fazelor, care face ca pe curba DTA să apară mai multe maxime.

În ansamblu, această perioadă de încălzire - dacă oxidarea se face într-un curent de aer cu concentrația oxigenului constant - , este caracterizată printr-o viteză constantă a procesului.

Viteza procesului, cum rezultă din curba DTG, variază în jurul unei constante.

Viteza volumetrică de oxidare este proporțională cu viteza de difuziune, ea depinde de natura și concentrația gazului oxidant, de temperatura, grosimea și permeabilitatea stratului de metal redus. Reacția chimică probabilă:



Viteza volumetrică de oxidare se poate exprima și în acest caz printr-o ecuație analogă legii I a lui Fick pentru particule sferice:

$$v_d = + D \cdot S \frac{dc}{dr} = N \cdot D \cdot 4\pi r^2 \frac{c_0 - c_2}{r^2} \quad (2.4.89)$$

Această ecuație diferențială poate fi integrată prin separarea variabilelor:

$$\int_{r_1}^r \frac{dr}{r^2} = N \cdot D \cdot 4\pi \int_{c_2}^{c_0} \frac{c_0 - c_2}{c} \quad (2.4.90)$$

sau

$$\int_{r_1}^r \frac{dr}{r^2} = \frac{4\pi D (c_0 - c_2)}{\frac{1}{r_1} - \frac{1}{r}} = \frac{4\pi D (c_0 - c_2) N}{\frac{1}{r} - \frac{1}{r_1}} \quad (2.4.90')$$

Inlocuind concentrația oxidentalui din gaz CO_2 și concentrația oxidentalui pe suprafață de reacție prin presiunile parțiale ale lor, se obține:

$$v_d = \frac{4\pi D (P_{O_2} - P_{CO_2}) \cdot N}{RT \left(\frac{1}{r_2} - \frac{1}{r_1} \right)} \quad (2.4.91)$$

În perioada a IV-a, rezultă că viteza de oxidare a concentratului, rîmas, crește prin creșterea coeficientului de difuzie sau prin îmbogățirea serului în oxigen care ducă la creșterea presiunii parțiale a oxigenului conform relației (2.4.91).

În concluzie, rezultă că în cele patru perioade succesive, de descompunere termică a concentratelor sulfuroase, viteza proceselor chimice de echimb în sistemele eterogene (care au loc în turnul de reacție și instalației de topire în suspensie) sunt în general considerabil influențate de: temperatură de lucru, termodinamica și cinetica reacțiilor din sistemul Me-S-O ; regimul hidraulic al cuptorului; mărimea suprafeței fazelor solide care reacționează; regimul de funcționare a arzătorului de concentrat care împrină caracterul și viteza curentilor predominanți în faze gazease.

3. SCHIMBUL DE MASA SI DE CALDURA IN PLACARA TURBULENZA DIN TURMUL DE REACTIE

3.1. Caracteristicile curgerii jetului portant dezvoltat in turmul de reactie

Metoda topirii concentratelor cuproase ^{in suspensie} reprezintă un progres remarcabil față de metodele clasice de topire a concentratelor cuproase. Prin această metodă de topire s-a reușit să se reducă apetul unui combustibil clasic la producerea cuprului industrial.

Această metodă a deschis posibilitatea utilizării în practica industrială a unei variante sorturi de concentrate cu conținut foarte diferit de balast. Concentratul de cupru și pirită cu o granulație de $0-250 \mu$ este caracterizat printr-o suprafață specifică mare care influențează în mod pozitiv și asupra portanței particulelor în curentul de fluid (aer) antrenant. Aceasta reduce probabilitatea separării concentratului din curentul portant asigurând prin caracterul nigeșarii fluidului portant un transfer intens de oxidant din aer purtator, în special prin difuziune.

Concentratul cupros este introdus în turmul de reacție cu ajutorul unui arzător de concentrat, acesta realizează procesul de doare și amestecare a concentratului cu gazul reactant (aer), care trece prin arzător cu o viteză de $60-100$ m/sec. Viteza se depășește cu mult valoarea vitezei de plutire ale particulelor solide în suspensie.

Curentul de aer și concentrat, în stare condensată, care amprende la un moment dat turmul de reacție, se caracterizează printr-o anumită concentrație a particulelor solide. Această

concentrație creză în turn o rezervă minimă de concentrare cuprinsă și pirite și deci practic, o lipșă completă de inertie a procesului și o sensibilitate extremă față de reglare. În urmare, turnul de reacție este foarte elastic, preia ușor variațiile compoziției concentrației.

În funcție de capacitatea de prelucrare a instalației arătoarelor cu orificiu de insulare între 400-600 mm.

Regimul hidraulic din turn este caracterizat de criteriu Reynold (Re) care în zona superioară a turnului, rezultă după reacție:

$$Re = \frac{w \cdot d}{\nu} \quad (3.1.1)$$

În care:

w = reprezentă viteză amestecului la orificiu de ieșire din arător (m/sec);

d = diametrul hidraulic a orificiului (m);

ν = viscositatea cinematică (m^2/sec).

Inlocuind valorile dimensionale ale arătorului și mărimile fizice ce caracterizează curentul în turn, se obține:

$$Re = \frac{100,0 \cdot 5}{79,38 \cdot 10^{-6}} = 630,000$$

În expresie de mai sus s-a înlocuit coeficientul pentru aer la $500^{\circ}C$ care este nivelul de preîncălzire pentru exitantul utilizat și are valoarea de $79,38 \cdot 10^{-6} m^2/sec$.

Nivelul criteriului $Re=6,3 \cdot 10^5$ este caracteristic curgerilor turbulentă.

În instalații industriale de ardere se folosesc aproape în exclusivitate răcări turbulentă în care procesele de schimb de masă și căldură se desfășoară, conform legilor curgerii turbulentă. În regim turbulent, schimbul de masă și căldură se

realizată nu numai prin interacțiunile moleculilor (ca în cazul curgerii laminare) ci și prin interacțiunile unor volume elementare de gaz care trec dintr-un strat în altul, ceea ce conduce la o puternică intensificare a proceselor de schimb.

Mișcarea turbulentă presupune existența unei curgeri neregulate, în care diversele marimi auferă variații hactice în timp și spațiu și la care se pot defini statistic valorile medii, constante în timp. În curgerea turbulentă nu există coincidență între valorile instantane ale vitezei, temperaturii, densității, concentrației și valorile mediate în timp. De aici decurge că mișcarea turbulentă se caracterizează prin acesta că mărimele vitezei, temperaturii, concentrației într-un punct sunt compuse dintr-o componentă continuă și una pulsatorie.

Astfel, pentru cele trei componente ale vitezei rezultă:

$$U = \bar{U} + u; \quad V = \bar{V} + v; \quad W = \bar{W} + w. \quad (3.1.2)$$

îar pentru temperaturi $T = \bar{T} + t$, pentru concentrații $C = \bar{C} + c$, sau în general $X = \bar{X} + x$, în care valorile medii ale mărimilor sunt noteate cu bară.

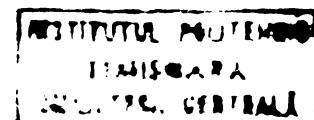
Valorile $\bar{U}, \bar{T}, \bar{C}$ se determină din relație:

$$\bar{X} = \frac{1}{\zeta_0} \int_0^{\zeta_0} X(\zeta) d\zeta \quad (3.1.3)$$

unde X reprezintă valoarea medie în timp a mărimilor U, V, W, T, C . Intervalul de timp pentru care se face medierea trebuie să satisfacă condiția de invariантă a valorii medii:

$$\bar{\bar{X}} = \frac{1}{\zeta_0} \int_0^{\zeta_0} \bar{X}(\zeta) d\zeta = \bar{X} \quad (3.1.4)$$

de unde decurge că valoarea medie a componentei pulsatorii este diferită de zero, notindu-se



$$u' = \sqrt{u'^2}, v' = \sqrt{v'^2}, w' = \sqrt{w'^2}; e' = \sqrt{e'^2}; g' = \sqrt{g'^2} \quad (3.1.4)$$

Mărimele u', v', w' poartă denumirea de componente ale intensității turbulentei; reportate la componenta continuă respectivă, ele definesc intensitatea relativă a turbulentei

$$\left(\sum_x = -\frac{u'}{V}; \sum_y = -\frac{v'}{V}; \sum_z = -\frac{w'}{W} \right) \quad (3.1.5)$$

In cazul curgerii turbulentе isotrope există relații:

$$u' = v' = w' \quad și \quad \overline{u_v} = \overline{v_w} = \overline{w_u} \quad (3.1.6)$$

Diferitele turbioane care formează algoranele turbulentă au diferite dimensiuni și viteze care pot varia într-o limită largă de valori. Alimentarea mișcării puleșterii cu energie se face prin intermediul turbioanelor de dimensiunile cele mai mari, de la care energia se distribuie la turbioane din ce în ce mai mici, pînă cînd în rînal este disipată prin frecare datorită viscozității.

Conform experimentărilor a rezultat că în regim turbulent coeficientii aparenti de viscozitate, termodifuzie și de difuzie depășesc de sute sau de mii de ori coeficientii respectivi în emanație laminară. Fluxurile de masă și de căldură sunt de aceea mult intensificate, ceea ce permite să se neglijene fluxurile moleculare (înafara stratului - limită format la pereții turnului de reacție).

3.1.2. Configurația și structura jetului de aer cu particule solide de concentrat cuprins în suspensie

In condițiile industriale s-au realizat progrese remarcabile la tehnica în suspensie a concentrelor cuproase și cupronichelifere. Pe plan mondial sunt utilizate două metode cu rendamente

de extractie recuperabile cu I.E.CS și Ostacumpa.

În cadrul perfeționării acestei tehnologii, în etapă actuală se pune un accent mare pe îmbunătățirea pregătirii incinerăturii și pe utilizarea aerului îmbogățit în oxigen.

În timpul topirii se pun în evidență două zone principale zone de topire și ocazii a încălzi, unde trebuie să se asigure depurarea maximă a particulelor topite pentru a se evita antrenarea lor, din cuptor. La distanță de cca 1 m de gura erau orului, oxidarea și topirea trebuie să se termine la temperatură și conținutul de SO_2 din gaze ating valoarea maximă, oxigenul liber din gaze trebuie să dispare și arderea sulfului din fază econdensată nu înceapă.

Viteza proceselor chimice și de schimb în sistemele esterogene, care au loc în turnul de recogic al instalației de topire în suspensie sunt influențate de: temperatură de lucru, termodinamice și cinetică reacțiilor din sistemul $\text{Fe}-\text{S}-\text{O}$; regimul hidraulic al cuptorului; marimea suprafeței fazelor solide care reacționează; regimul de funcționare a arzătorului de concentrată care împrinde caracterul și viteza curentilor predominanți în fază gazosă.

Oxidarea sulfurilor pînă la aprindere, decurge în domeniul cinetic, decorece temperatura de aprindere nu depinde de viteza curentului de aer. La temperaturi joase, reacțiile chimice au loc mai lent decît procesul de difuzie; cu creșterea temperaturii, viteza reacțiilor crește repede. Cind viteza reală de oxidare devine mai mare decît viteza de difuzie, procesul de oxidare a sulfurii trece în regim de difuzie ($k \gg \frac{d}{l}$), în care viteza reacției este determinată de viteza de transport a oxigenului pînă la sulfură și de viteza îndepărării produselor de oxidare.

În vederea analizării vitezei procesului de oxidare a sulfurilor din turnul de reacție, se impune o analiză profundă a factorilor difuzivimoleculari și turbulentii.

Așa cum s-a arătat, viteză de desfășurare a proceselor chimice din turnul de reacție depind într-o măsură de regimul de funcționare a arzătorului de concentrare care împrumă caracterul și viteza curentilor predominanți în faza gazoasă și de regimul hidraulic al cuptorului.

În instalația de topire în suspensie fluidul portant este aerul, care are și rolul de mediu oxidant.

Aerul prin caracteristicile sale fizice face parte din categoria fluidelor reale, care în general sunt viscoase și compresibile. Deoarece există numeroase ceeaure în care se poate face abstracție de compresibilitate, în special la lichide și la gaze unde variația presiunii de regim este redusă, fără ca această simplificare să fie o cursă de erori, în urmă neglijarea viscosității conduce adeseori la concluzii care se îndepărtează sensibil de realitatea fizică a fenomenelor. Viscositatea este caracteristica fluidelor reale de a opune o anumită rezistență la schimbarea formei, mai mare sau mai mică, în funcție de natura fluidului. Viscositatea are de obicei efecte care nu pot fi lăuate în o parte.

În fluidele reale există atât forțe normale, cît și tangențiale, iar o parte din energia cinetică este dissipată în căldură datorită forțelor de viscositate.

În cazul aerului, ca fluid portant, masa specifică se schimbă considerabil în funcție de viteza sa surgență sau de temperatură. Prin urmare, la viteză mari sau atunci cînd există gradiență mare de temperatură, efectul compresibilității reprezentat prin variația masăi specifice, trebuie luat în considerare.

Mediul portant, în jetul cu particule solide în suspensie, este considerat mediu continuu. Ca urmare, ecuațiile de mișcare scrise, în vederea analizării factorilor difuzivi, ca parametrii de schimb, atât pentru procesele termice, cât și pentru cele chimice (schimb de masă) vor purta acest caracter.

În prezentă lucrare studiul hidrodinamic, pentru jetul portant se face fără a se considera încărcătura cu particule solide în suspensie.

Ace cum rezultă din valoarea criteriului Reynolds, mișcarea fluidului portant din turnul de reacție este turbulentă.

Multe dintre mișările fluidelor, importante din punctul de vedere al aplicațiilor practice, sunt turbulente, unde peste mișcarea principală se suprapune o mișcare neregulată de fluctuație sau de amestec, atât de complicită încit o tratare teoretică este extrem de dificilă. Caracteristica esențială a surgerii turbulentă, din turnul de reacție, este faptul că fluctuațiile turbulentă sunt de natură aleatorie. Efectele acestor fluctuații asupra desfășurării mișării sunt deosebit de însemnate și echivalează cu o creștere de sute sau chiar de mii de ori a viscozității. Într-o mișcare turbulentă complet dezvoltată, fluidul este considerat să cae un mediu continuu, efectuindu-se medierea mișcărilor moleculare, trebuie să considerăm fluctuațiile turbulentă care se suprapun peste mișcarea medie. Prin utilizarea unor reguli de mediere, pot fi scrisă ecuațiile de mișcare pentru mișcarea medie turbulentă. Numărul necunoscutelor este însă mai mare decât acela al ecuațiilor, ceea ce face ca o rezolvare completă a problemei să nu fie posibilă chiar în cazurile cele mai simple.

Dacă se consideră numai determinările distribuției vitezei medie sau a temperaturii, anumite ipoteze permit să se

obținem o bună concordanță cu datele experimentale. În această direcție se ajunge la teoriile semiempirice ale mișcării turbulentă complet de vîltoare, care pînă în prezent sunt singurele utilizabile în aplicații practice.

În mișcarea turbulentă, dezvoltată în turnul de reacție, masele de fluid care execută fluctuații în direcția scurgerii medii și perpendicular pe aceste nu sunt molecule ci particule, macroscopice de dimensiuni variabile, foarte mici. Mărimea acestor particule macroscopice, care se aglomerează sau se deaflă în mod continuu, constituie scara turbulenței.

În descrierea matematică a scurgerii turbulentă se separă mișcarea medie și aceea de fluctuație. Dacă se notează cu v_x , v_y , v_z mediiile în timp ale componentelor, vitezelor într-un sistem cartesian rectangular, cu $v_x^!$, $v_y^!$, $v_z^!$ componentele vitezelor de fluctuație și introducem aceleași notări pentru presiune, rezultă:

$$v_x = \bar{v}_x + v_x^!, \quad v_y = \bar{v}_y + v_y^!, \quad v_z = \bar{v}_z + v_z^!, \quad p = \bar{p} + p' \quad (3.1.7)$$

Mediile în timp sunt considerate într-un punct fix din spațiu și definite prin:

$$\bar{v}_x = \frac{1}{T} \int_0^{t_0+T} v_x dt \quad (3.1.8)$$

precum și expresiile corespondătoare pentru v_y , v_z și p similare cu expresia lui v_x . Valoarea medie trebuie considerată într-un interval de timp T suficient de mare pentru ca să fie complet independentă de timp.

La mediile de timp, se observă că, pentru toate măriniile care descompun fluctuațiile, acestea sunt nule:

$$\bar{v}_x^! = 0, \quad \bar{v}_y^! = 0, \quad \bar{v}_z^! = 0, \quad \bar{p}' = 0. \quad (3.1.9)$$

Prezența fluctuațiilor v'_x , v'_y , v'_z influențează mișcarea medie \bar{v}_x , \bar{v}_y , \bar{v}_z , astfel încât aceasta manifestă o creștere spărată a viscozității. Această viscozitate spărată sporită este o noțiune centrală a acestui capitol, reflectată la coeeficientul de difuzie turbulent realizat în turnul de reacție a instalației de topire în suspensie.

În vederea obținerii unei relații convenabile, pentru caracterizarea mișcării turbulentă, dezvoltată în turnul de reacție am recurs la folosirea ecuațiilor de mișcare ale lui O. Reynolds, care utilizează ecuațiile Navier-Stokes din domeniul scourgerii lumenare introducind o serie de reguli pentru calcularea valorilor medii în timp. Astfel, dacă f și g sunt două variabile dependente pentru care se caută valorile medii, iar s una dintre variabilele independente, rezultă:

$$\bar{f} = \bar{f}(s), \quad \bar{f} + g = \bar{f} + \bar{g}, \quad \bar{f} \cdot g = \bar{f} \cdot \bar{g} \quad (3.1.10)$$

$$\frac{\partial f}{\partial s} = \frac{\partial \bar{f}}{\partial s}. \quad \int f \cdot ds = \int \bar{f} \cdot ds$$

Aceste reguli sunt valabile și pentru mediile statistice. Aplicând aceste reguli ecuațiilor Navier-Stokes, se obțin ecuațiile lui Reynolds pentru mișcare turbulentă, care în coordonate carteziene rectangulare, pentru un fluid incompresibil, sunt:

$$\rho \left(\frac{\partial \bar{v}_x}{\partial t} + \frac{\partial \bar{v}_x}{\partial x} \bar{v}_x + \frac{\partial \bar{v}_x}{\partial y} \bar{v}_y + \frac{\partial \bar{v}_x}{\partial z} \bar{v}_z \right) = - \frac{\partial \bar{P}}{\partial x} + \mu \left(\frac{\partial^2 \bar{v}_x}{\partial x^2} + \frac{\partial^2 \bar{v}_x}{\partial y^2} \right) - \rho \left[\frac{\partial \bar{v}_x^2}{\partial x} + \frac{\partial (\bar{v}_x \cdot \bar{v}_y)}{\partial y} + \frac{\partial (\bar{v}_x \cdot \bar{v}_z)}{\partial z} \right] \quad (3.1.11)$$

$$\rho \left(\frac{\partial \bar{v}_y}{\partial t} + \frac{\partial \bar{v}_y}{\partial x} \bar{v}_x + \frac{\partial \bar{v}_y}{\partial y} \bar{v}_y + \frac{\partial \bar{v}_y}{\partial z} \bar{v}_z \right) = - \frac{\partial \bar{P}}{\partial y} + \mu \left(\frac{\partial^2 \bar{v}_y}{\partial x^2} + \frac{\partial^2 \bar{v}_y}{\partial y^2} + \frac{\partial^2 \bar{v}_y}{\partial z^2} \right) - \rho \left[\frac{\partial (\bar{v}_x \cdot \bar{v}_y)}{\partial x} + \frac{\partial \bar{v}_y^2}{\partial y} + \frac{\partial (\bar{v}_y \cdot \bar{v}_z)}{\partial z} \right] \quad (3.1.11)$$

$$\rho \left(\frac{\partial \bar{v}_z}{\partial t} + \frac{\partial \bar{v}_z}{\partial x} \bar{v}_x + \frac{\partial \bar{v}_z}{\partial y} \bar{v}_y + \frac{\partial \bar{v}_z}{\partial z} \bar{v}_z \right) = - \frac{\partial \bar{P}}{\partial z} + \mu \left(\frac{\partial^2 \bar{v}_z}{\partial x^2} + \frac{\partial^2 \bar{v}_z}{\partial y^2} + \frac{\partial^2 \bar{v}_z}{\partial z^2} \right) - \rho \left[\frac{\partial (\bar{v}_x \cdot \bar{v}_z)}{\partial x} + \frac{\partial (\bar{v}_y \cdot \bar{v}_z)}{\partial y} + \frac{\partial \bar{v}_z^2}{\partial z} \right]$$

Ecuație de continuitate:

$$\frac{\partial v_x}{\partial x} + \frac{\partial v_y}{\partial y} + \frac{\partial v_z}{\partial z} = 0 \quad (3.1.12)$$

Dacă introducem expresiile (3.1.7) în (3.1.11) și aplicăm regulile de mediere, obținem:

$$\frac{\partial \bar{v}_x'}{\partial x} = 0; \frac{\partial \bar{v}_y'}{\partial y} = 0; \frac{\partial \bar{v}_z'}{\partial z} = 0 \quad (3.1.13)$$

Cmparația acestui rezultat cu (3.1.11) ne arată că mai avem și

$$\frac{\partial v_x'}{\partial x} + \frac{\partial v_y'}{\partial y} + \frac{\partial v_z'}{\partial z} = 0 \quad (3.1.14)$$

Ecuațiile mișcării (3.1.11) se obțin din ecuațiile Navier-Stokes în care au fost introduse expresiile (3.1.7) și s-a aplicat regulile de mediere. Se observă că termenii pătratici în raport cu vitezele medii rămân neschimbați, pe cind termenii liniari în raport cu fluctuațiile de presiune și de viteză de forme $\frac{\partial p'}{\partial x}, \frac{\partial p'}{\partial y}, \frac{\partial p'}{\partial z}, \frac{\partial v_x'}{\partial t}$ și $\frac{\partial^2 v_x'}{\partial x^2}, \frac{\partial^2 v_y'}{\partial y^2}, \frac{\partial^2 v_z'}{\partial z^2}$ ca și ceilalți corespondatori pentru v_y' și v_z' se anulează în urma operației de mediere în timp. Tot astfel devin nuli și termenii în care apar produse între vitezele medii și cele de fluctuație, de exemplu de forma $v_x \cdot v_y'$. În schimb, termenii pătratici în raport cu componentele vitezelor de fluctuație rămân în ecuații în urme medierii în timp. Termenii pătratici în raport cu componentele vitezelor de fluctuație ieșind treceți în membrul al doilea, decare reprezintă forțele de fricare turbulentă care se adaugă la forțele de fricare viscoză.

Au obținut, prin metoda aplicată, ecuațiile lui Reynolds pentru care condițiile la limită se pot formula ținând seama de modelul fizic aplicat pentru curgere din terenul de rezecție.

Dispansa de nepră cunoști în care apar sece funcții necunoscute și anume trei componente ale vitezei medie, presiunea medie și cele 6 tensiuni Reymoldse. Așadar, ecuațiile Reymoldse nu sunt suficiente pentru determinarea acelerării funcții necunoscute. Este necesar să în cazul dat, pentru studiul mișcării, să se formuleze ipoteze adiționale, care să simplifice ecuațiile și să permită găsirea unei soluții coticidătoare, pentru problema jetului liber dezvoltat în tornul de răscăcie.

În vederea rezolvării ecuațiilor Reymoldse pentru jetul liber turbulent voi utiliza metoda empirică a tensiunilor Reymoldse. În mișcarea unidimensională, caracteristic jetului portant analizat, viteză medie este paralelă cu axa $\bar{v}_x = v_x(y)$, $v_y = 0$; $v_z = 0$) se poate pune:

$$\zeta'_{xy} = -\rho \bar{v}'_x \bar{v}'_y = \rho \cdot \zeta t \frac{d\bar{v}_x}{dy} \quad (3.1.15)$$

ζt - fiind un coeficient analog cu viscositatea cinematică și numit viscositatea cinematică aparentă.

Aplinarea ecuațiilor Reymoldse la problema jetului liber turbulent este posibilă. Se recomandă, pentru jetul simetic cilindric, ca ecuațiile să fie trecute în sistemul de coordinate cilindrice.

Din sistemul de ecuații diferențiale se va utiliza prima ecuație (3.1.11) și ecuația continuității aplicând și condițiile pentru curgerea unidimensională ($v_z = 0$)

$$\rho \left(\frac{\partial \bar{v}_x}{\partial x} \bar{U} + \frac{\partial \bar{v}_x}{\partial y} \bar{U}_y \right) \frac{\partial^2}{\partial x^2} - \mu \left(\frac{\partial^2 \bar{v}_x}{\partial x^2} \frac{\partial^2 \bar{v}_x}{\partial y^2} \frac{\partial^2 \bar{v}_x}{\partial z^2} \right) \rho \left(\frac{\partial \bar{v}_x}{\partial x} \frac{\partial \bar{v}_x}{\partial y} \bar{U}_y + \frac{\partial \bar{v}_x}{\partial z} \bar{U} \right) \quad (3.1.16)$$

$$\frac{\partial v_x}{\partial x} + \frac{\partial \bar{v}_y}{\partial y} + \frac{\partial \bar{v}}{\partial z} = 0 \quad (3.1.17)$$

Dacă în jetul liber se neglijescă invăcările viscoase (moleculare), întrucât acestea sunt mult mai mari de invăcările turbulentă și dacă condițiile (3.1.16) și (3.1.17) se transcriu în coordonate cilindrici rezultă:

ecuație de mișcare după axa x :

$$\frac{\partial \bar{v}_x}{\partial x} \bar{v}_x + \frac{\partial \bar{v}_x}{\partial y} \bar{v}_y = \frac{\varepsilon_t}{y} \frac{\partial}{\partial y} \left(y \frac{\partial \bar{v}_x}{\partial y} \right) + \frac{\partial p}{\partial x} \quad (3.1.18)$$

Ecuație de continuitate:

$$\frac{\partial \bar{v}_x}{\partial x} + \frac{\partial \bar{v}_y}{\partial y} + \frac{v_y}{y} = 0 \quad (3.1.19)$$

La aceste două ecuații se va adăuga și ecuația cînduabilității turbulentă după teoria lui Prandtl:

$$\varepsilon_t = k_1 \cdot b \cdot (v_1 - v_2) \quad (3.1.20)$$

unde:

ε_t = viscositatea turbulentă;

k_1 = coeficient;

b = largimea jetului;

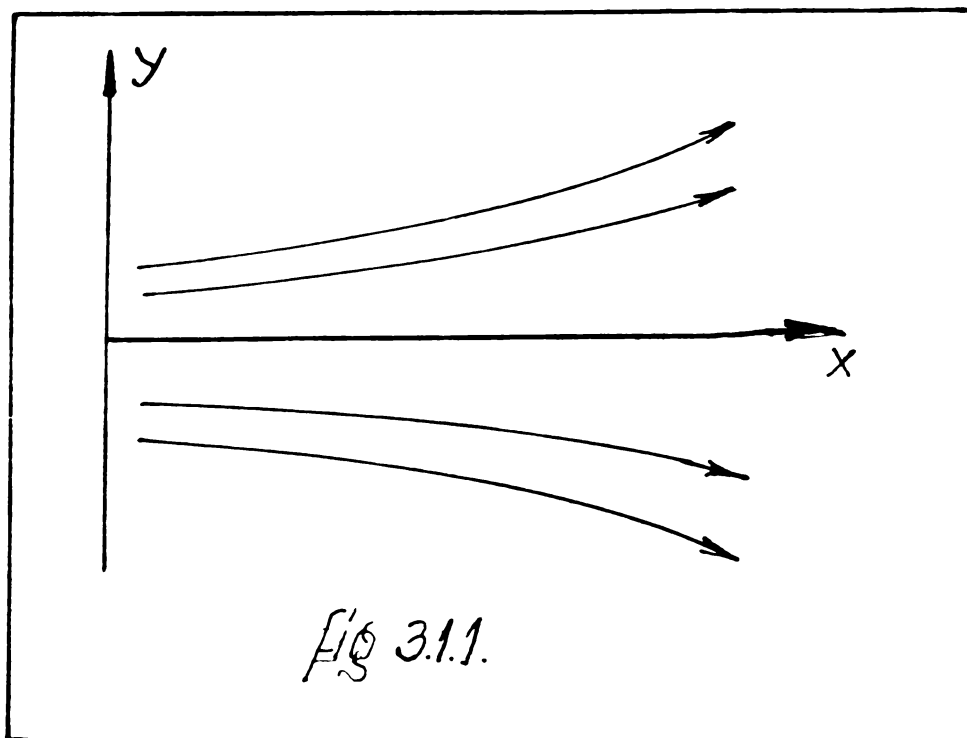
z = coordonata curenții;

v_1, v_2 = viteza maximă și minimă într-o secțiune transversală a jetului (în axa și pe suprafață jetului).

Condițiile la limită sunt:

$$y=0, \frac{\partial \bar{v}_x}{\partial y}=0, \bar{v}_y=0; y=\infty; \bar{v}_x=0 \quad (3.1.21)$$

Din considerente de ordin practic, se poate încheia că concluzia că gradientul de presiune $\frac{\partial p}{\partial x}$ este nul și deci în comparație cu ceilalți termeni ai compoziției (3.1.18) poate fi neglijat.



Cu admiterea
acestei ipoteze sim-
plificătoare ecuația
de mișcare (3.1.19)

devine:

$$\frac{\partial \bar{U}_x}{\partial x} \bar{U}_x + \frac{\partial \bar{U}_x}{\partial y} \bar{U}_y = \\ = \frac{\varepsilon_t}{y} \frac{\partial}{\partial y} \left(y \frac{\partial \bar{U}_x}{\partial y} \right) \quad (3.1.22)$$

iar ecuația conti-
nuității este

$$\frac{\partial \bar{U}_x}{\partial x} + \frac{\partial \bar{U}_y}{\partial y} + \frac{\bar{U}_y}{y} = 0 \quad (3.1.23)$$

Numerosele determinări experimentale au dovedit că în jetul liber turbulent [Schlichting] vitezele sunt afine (ascenătoare), iar lărgimea vînelor (fig.3.1.1) este proporțională cu x^q ceea ce face ca și în cazul jetului liber turbulent să se poată scrie o funcție de curent, care permite transformarea ecuației diferențiale (3.1.22) cu derivative parțiale într-o ecuație diferențială ordinată.

În jetul liber viteza fiind influențată de parametrii cinematici ai jetului cu variația lui ε_t cît și de coordonatele curentă și secțiunii.

Funcția de curent va putea fi scrisă sub forma

$$\psi = \varepsilon_t \cdot x^p \cdot f(\beta) \quad (3.1.24)$$

unde

$$\beta = \frac{y}{x^q} \quad (3.1.25)$$

ζ = este o coordonată transpusă într-un sistem edimensional.

Împă metodologia cunoscută din expresia funcției de curent se pot deduce expresiile viteselor \bar{v}_x și \bar{v}_y astfel:

$$\bar{v}_x = \frac{1}{y} \cdot \frac{\partial \Psi}{\partial y} \quad \text{și} \quad \bar{v}_y = -\frac{1}{y} \cdot \frac{\partial \Psi}{\partial x} \quad (3.1.26)$$

Din expresia funcției de curent rezultă:

$$v_x = \frac{1}{y} \cdot \frac{\partial \Psi}{\partial y} = \mathcal{E}_t x^{p-2q} \frac{f'}{\zeta} \quad \text{și} \quad v_y = -\frac{1}{y} \cdot \frac{\partial \Psi}{\partial x} = \mathcal{E}_t x^{p-q-1} \left(qf' - p \frac{f}{\zeta} \right) \quad (3.1.27)$$

Din teoria jetului liber (strat limită) se cunoaște că impulsul în direcția curgerii se conservă și se poate scrie:

$$I_x = 2\pi \int_0^\infty \bar{v}_x^2 \cdot y \cdot dy = \text{constant.} \quad (3.1.28)$$

Ecuțiile (3.1.27) și (3.1.28) permit determinarea constantelor p și q în mod deductiv în felul următor:

Inlocuind \bar{v}_x în (3.1.28) rezultă:

$$I_x = 2\pi \cdot \mathcal{E}_t^2 \cdot \rho \cdot x^{2p-2q} \int_0^\infty \frac{f'^2}{\zeta} d\zeta \quad (3.1.29)$$

din (3.1.29) rezultă că pentru a rămâne valabilă ecuația (3.1.28) impulsul nu poate depinde de coordonata curentă x , și deci trebuie ca exponentul acesteia să fie zero, adică:

$$2p - 2q = 0 \quad (3.1.30)$$

De asemenea se poate scrie:

$$\frac{\partial v_x}{\partial x} = \mathcal{E}_t x^{p-2q-1} \left[(p-2q) \frac{f'}{\zeta} - 2f'' \right] \quad (3.1.31)$$

$$\frac{\partial v_x}{\partial y} = \mathcal{E}_t x^{p-3q} \left(f'' - \frac{f'}{\zeta} \right)$$

Inlocuind \bar{v}_x , \bar{v}_y , $\frac{\partial \bar{v}_x}{\partial x}$, $\frac{\partial \bar{v}_x}{\partial y}$ în (3.1.22) rezultă:

$$\begin{aligned} & \text{--77--} \\ & \xi_t^2 x^{2p-4q-1} \left\{ \left[(\rho - q) \frac{f'}{\eta} - q f'' \right] f' + \left(f'' - \frac{f'}{\eta} \right) \left(q f' - p \frac{f}{\eta} \right) \right\} = \\ & = \xi_t^2 \cdot x^{p-4q} \left(f''' - \frac{f''}{\eta} + \frac{f'}{\eta^2} \right) \end{aligned} \quad (3.1.32)$$

Ecuatia $\xi(\eta)$ se intâmplă să satisfacă o ecuație diferențială ordinată formată din (3.1.32) dacă dintr-o exponență lui ξ se îndeplinește egalitatea:

$$2p - 4q - 1 = p - 4q$$

și împreună cu (3.1.23) formă sistemu

$$\begin{cases} 2p - 4q - 1 = p - 4q \\ 2p - 2q = 0 \end{cases} \quad (3.1.33)$$

Prin rezolvarea lui (3.1.33) se obține

$$p=q=1 \quad (3.1.34)$$

Cu această condiție (3.1.32) se transformă în:

$$\frac{ff'}{\eta^2} - \frac{f'^2}{\eta} - \frac{ff''}{2} = \xi''' - \frac{f''}{\eta} + \frac{f'}{\eta^2} \quad (3.1.35)$$

Ecuatia (3.1.35) se mai poate prezenta și sub forma:

$$-\frac{d}{d\eta} \left(\frac{ff'}{\eta} \right) = \frac{d}{d\eta} \left(\xi''' - \frac{f''}{\eta} \right) \quad (3.1.36)$$

și, dacă utilizăm condițiile la limită (3.1.21), pentru $y=0$ se găsește

$$\eta=0, \quad f=0, \quad f'=0 \quad (3.1.37)$$

O soluție pentru această ecuație diferențială ordinată care satisfacă și condițiile (3.1.37) este:

$$f = \frac{\xi^2}{1 + \frac{1}{4}\xi^2} \quad (3.1.38)$$

unde

$$\xi = \alpha \cdot \eta = \alpha \frac{y}{x} \quad (3.1.39)$$

Conștantele α și β sunt determinate din (3.1.39), care

ne dă:

$$J_x = 2\pi \cdot \mathcal{E}_t^2 \int_0^\infty \frac{f'}{\eta} d\eta = 2\pi \cdot \mathcal{E}_t^2 \int_0^\infty \frac{2\alpha^2 \eta^2}{(1 + \frac{1}{4}\alpha^2 \eta^2)^2} \cdot \frac{d\eta}{\eta} \quad (3.1.40)$$

$$\xi' = \frac{2\alpha^2 \eta}{(1 + \frac{1}{4}\alpha^2 \eta^2)^2} \quad (3.1.41)$$

Făcind o schimbare de variabilă $\eta = (1 + \frac{1}{4}\alpha^2 \xi'^2)^{-1/2}$

rezultă:

$$d\eta = \frac{1}{2} \alpha^2 \eta \cdot d\xi' \quad (3.1.42)$$

sau

$$d\eta = \frac{2d\xi'}{\alpha^2 \eta} \quad (3.1.43)$$

Limitile noi ale variabilei "η" vor fi:

$$\begin{aligned} \eta &= 0 & \eta &= 1 \\ \eta &= \infty & \eta &= \infty \end{aligned} \quad (3.1.44)$$

Integrala (3.1.40) devine

$$J_x = 2\pi \cdot \mathcal{E}_t^2 \int_1^\infty \frac{8\alpha^2 d\xi'}{\xi'^4} = \frac{16}{3} \pi \cdot \rho \cdot \mathcal{E}_t^2 \cdot \alpha^2 \quad (3.1.45)$$

În acest caz din (3.1.27) obținem

$$\bar{v}_x = \frac{\mathcal{E}_t}{x} \cdot \alpha^2 \cdot \frac{1}{\xi} \cdot \frac{df}{d\xi} = \frac{\mathcal{E}_t}{x} \cdot \frac{2\alpha^2}{(1 + \frac{1}{4}\xi^2)^2} \quad (3.1.46)$$

și

$$\bar{v}_y = \frac{\mathcal{E}_t}{x} \cdot \alpha \left(\frac{df}{d\xi} - \frac{f}{\xi} \right) = \frac{\mathcal{E}_t}{x} \alpha \frac{\xi - \frac{1}{4}\xi^3}{(1 + \frac{1}{4}\xi^2)^2}$$

Introducând α din (3.1.45) în (3.1.46) se obține:

$$\bar{v}_x = \frac{3}{8\pi} \cdot \frac{J_x}{\mathcal{E}_t \cdot \rho \cdot x} \cdot \frac{1}{(1 + \frac{1}{4}\xi^2)^2} \quad (3.1.47)$$

și

$$\bar{v}_y = \frac{1}{4} \sqrt{\frac{3}{\pi}} \cdot \frac{\sqrt{J_x}}{x\sqrt{\rho}} \cdot \frac{\xi - \frac{1}{4}\xi^3}{(1 + \frac{1}{4}\xi^2)^2} \quad (3.1.48)$$

$$\xi = \alpha \frac{x}{\bar{v}_x} = \sqrt{\frac{3}{16\pi}} \cdot \frac{\sqrt{J_x}}{\mathcal{E}_t \sqrt{\rho}} \cdot \frac{x}{\bar{v}_x} \quad (3.1.49)$$

Din (3.1.47) rezultă că viteză de curgere în axa jetului respectiv de $\bar{J}_{x_{ox}} \propto \frac{g}{\rho} \cdot \frac{1}{x}$ va fi:

$$\bar{J}_{x_{ox}} = \frac{3}{8\pi} \cdot \frac{J_x}{E_f \cdot g} \cdot \frac{1}{x} \quad (3.1.50)$$

Dacă ținem seama că fluidul portant este introdus printr-un erător de concentrare, și că la ieșire din erător viteză medie a aerului este \bar{V}_{o_a} , cantitatea de mișcare a aerului se va putea scrie:

$$J_x = 2\pi \int_0^{\infty} g \cdot \bar{J}_x^2 \cdot y \cdot dy = m_a \cdot V_{o_a} = \pi \cdot R^2 \cdot g \cdot \bar{V}_{o_a}^2 \quad (3.1.51)$$

Introducând (3.1.51) în (3.1.50) rezultă:

$$\bar{J}_{x_{ox}} = \frac{3}{8} \cdot \frac{R^2 \cdot \bar{V}_{o_a}^2}{E_f \cdot x} \quad (3.1.52)$$

În concluzie, rezultă că viteză în axa jetului crește cu viteză mediană portant în secțiunile de ieșire a erătorului și scade cu creșterea coeficientului de difuzie turbulentă și a distanței de la erător.

3.2. Hidrodinamica jetului încărețat cu particule solide în suspensie

3.2.1. Lemnajul hidrodinamic de miscare a particulelor

În tehnica setură, la instalațiile de topire în suspensie a concentratelor cuproase, particulele solide ale garjei industriale sunt perturate însă prin erător, de către un curent de aer sub presiune, și apoi sunt i jecate în turnul de reacție.

Viteza de ieșire din erător este cuprinsă între (80-100) m/sec în partea superioară a turnului de reacție.

Jetul liber dezvoltat în turnul de reacție este înălțat cu particule fine de concentrat cu diametru între (40-150) μ . Forma cea mai simplă a acestor jeturi este conul cu secțiuni circulare.

Pentru un studiu mai precis al acestor jeturi, trebuie să se trăsă seama de influență pe care o exercită prezența particulelor solide în masă fluidului jetului.

Cind particulele solide sunt mici și sunt distribuite uniform în masă fluidului jetului, jetul se comportă ca un erător cu jeturi fără suspensie. Prezența particulelor solide în masă fluidului jetului are influență asupra intensificării mișcărilor turbulentă din masă fluidului jetului și ca o consecință, în cazul jetului de concentrat pulverizat, anestecarea aerului portant ca concentratul cupros. În vederea determinării influenței prezenței

particulelor solide asupra parametrilor jetului se impune analiza mișcării particulelor.

Eomie diferențială a mișcării particulei solide în suspensie se poate determina în baza modelului fizic din fig.3.2.1.

Phenomenele hidrodinamice în cadrul unei ensembe de unități individuale de volum ale unei faze disperse într-o fază continuă sunt dificil de abordat

metenție, datorită fenomenelor de interacțiune, ciocniri, coalescențe etc.

În acest capitol vei prezenta comportarea hidrodinamică în cazul particular al prezenței unei unități individuale de volum a fazei disperse, care în cazul dat reprezintă o particulă de concentrat, indiferent de starea de agregare.

O particulă supusă acțiunii gravitației se deplasează, la echilibrul forțelor care determină mișcarea cu o viteză constantă; liniile de curent din jurul ei și distribuția forțelor de rezistență pe suprafața particulei sunt, de asemenea, constante, deplasările realizându-se în regim staționar.

Asupra unei particule din jetul turbulent acționează forță de greutate, forță de rezistență a mediului în direcția axei z, forță de rezistență a mediului în direcția axei y, ca urmare a componentei vitezei jetului în această direcție, forțe care sunt echilibrate prin forță de inerție.

Mișcarea particulei voî reporta la vitezele medii temporale, ale mișcării turbulente, din ecuația lui Reynold, ce caracterizează jetul liber încărcat cu particule solide în suspensie.

Asupra particulei acționează sistemul de forță din fig.3.2.1 . unde:

- Forța de greutate F_1 în aer

$$F_1 = m \cdot g_0 \quad (3.2.1)$$

unde :

F_1 - forță de greutate;

m - masa particulei;

g_0 - accelerare gravitațională în aer.

- Forță de rezistență la mișcare F_2 , în direcția axei ox, datorită frecării este:

$$R_x = C_f (R_{ep}) \cdot d_p^n \cdot (\bar{v}_x - \bar{v}_{px})^n \quad (3.2.2)$$

unde:

R_x - forță de rezistență la mișcare;

$C_f (R_{ep})$ - coeficientul de rezistență a mediului

d_p - diametrul particulei;

\bar{v}_x - viteză mediului portant în punctul momentan de-înlungul unei linii de curant convențional de-înlungul axei ox ;

\bar{v}_{px} - viteză momentană a particulei;

- un exponent ce depinde de caracterul mișcării.

In cazul mișcării laminare $R_x < 0$ este utilizabilă rezistența Stockes, unde $\gamma = 1$. $C_f (R_{ep}) = C_s$. Dacă cifra $1 < R_{ep} < 600$, $n = \frac{1}{2}$ în care caz $C_f (R_{ep}) = C_A$. In cazul cind cifra Reynolds pentru particula este $R_{ep} > 600$ exponentul = 2 (coresponde mișcării turbulentă) iar $C_f (R_{ep}) = C_H$.

Echilibrarea acestei forțe este realizată prin forță de inerție.

-Forță de inerție F_{ix} în direcția axei ox

$$F_{ix} = m \cdot \frac{d\bar{v}_x}{dt} \quad (3.2.2)$$

în care:

F_{ix} - forță de inerție în direcția ox ;

m - masa particulei;

$\frac{d\bar{v}_x}{dt}$ - acelerație particulei în direcția ox .

In direcție axei oy acționează forță de rezistență la mișcare a fluidului în direcție transversală datorită turbulentei,

$$R_y = C_f (R_{ep}) \cdot d_p^n \cdot (\bar{v}_y - \bar{v}_{py})^n \quad (3.2.3)$$

unde:

\bar{v}_y - viteză mediului în direcția oy ;

\bar{v}_{py} - viteză particulei în direcție axei oy .

-8)-

Celelalte notații au semnificație dată la Rx.

Rezistența la mișcare transversală este echilibrată prin forță de inerție F_{1y} :

$$F_{1y} = m \frac{dv_{py}}{dt} \quad (3.2.4)$$

Scriind ecuațiile de mișcare după cele două axe ox și oy pentru o particulă solidă purtată rezultă:

$$m \frac{d\bar{v}_{px}}{dt} = F_1 + R_x \quad (3.2.5)$$

$$\text{și} \quad m \frac{d\bar{v}_{py}}{dt} = R_y \quad (3.2.6)$$

sau în mod explicit

$$m \frac{d\bar{v}_{px}}{dt} = c_s \cdot g_0 + C_s \cdot d \cdot (\bar{v}_x - \bar{v}_{px}) \quad (3.2.7)$$

$$\text{și} \quad m \frac{d\bar{v}_{py}}{dt} = C_s \cdot d \cdot (\bar{v}_y - \bar{v}_{py}) \quad (3.2.8)$$

Răsolvarea ecuațiilor diferențiale (3.2.7) și (3.2.8) se poate realiza prin metoda separării variabilelor. În acest scop ecuațiile se scriu sub formă:

$$\frac{d\bar{v}_{px}}{dt} = g_0 \left[1 + \frac{C_s \cdot d}{m \cdot g_0} (\bar{v}_x - \bar{v}_{px}) \right] \quad (3.2.9)$$

$$\text{și} \quad \frac{d\bar{v}_{py}}{dt} = \frac{C_s \cdot d}{m} (\bar{v}_y - \bar{v}_{py}) \quad (3.2.10)$$

în făcind separarea variabilelor și făcind integrarea se obține, pentru condițiile initiale $t=0$, $\bar{v}_{px}=0$,

$$\int_0^{\bar{v}_{px}} \frac{d\bar{v}_{px}}{1 + \frac{C_s d}{m \cdot g_0} (\bar{v}_x - \bar{v}_{px})} = g_0 \int_0^t dt \quad (3.2.11)$$

și a două ecuație cu condițiile initiale $t=0$, $\bar{v}_{py}=0$

-84-

$$\int_0^{\bar{v}_y} \frac{dv_{px}}{v_y - v_{py}} = \frac{c_s \cdot d}{m} \int_0^t dt \quad (3.2.12)$$

In ecuația (3.2.11) se face notăție

$$\frac{c_s \cdot g_0}{c_s \cdot d} = v_s \quad (3.2.13)$$

Cu notăția (3.2.13) ecuația (3.2.11) devine:

$$\int_0^{\bar{v}_{px}} \frac{dv_{px}}{(\bar{v}_s - \bar{v}_x) - v_{px}} = \frac{g_0}{v_s} \int_0^t dt \quad (3.2.14)$$

Ecuația (3.2.14) printr-o integrare se transformă în:

$$-\left| \ln (v_s + v_x - v_{px}) \right|_0^{\bar{v}_{px}} = \frac{g_0 \cdot t}{v_s} \quad (3.2.15)$$

$$\ln (v_s + v_x - v_{px}) - \ln (v_s - v_x) = - \frac{g_0 \cdot t}{v_s} \quad (3.2.16)$$

sau

$$\frac{v_s + v_x - v_{px}}{v_s + v_x} = e^{-\frac{g_0 \cdot t}{v_s}} \quad (3.2.17)$$

Din (3.2.17) rezultă:

$$\frac{v_{px}}{v_s + v_x} = 1 - e^{-\frac{g_0 \cdot t}{v_s}} \quad (3.2.18)$$

și în final

$$v_{px} = (v_s + v_x) \left(1 - e^{-\frac{g_0 \cdot t}{v_s}} \right) \quad (3.2.19)$$

Prin integrarea ecuației (3.2.12) se obține:

$$\left| \ln (\bar{v}_y - v_{py}) \right|_0^{\bar{v}_{py}} = - \frac{c_s \cdot d}{m} \cdot t \quad (3.2.20)$$

sau

$$\bar{v}_{py} = \bar{v}_y \left(1 - e^{-\frac{c_s \cdot d}{m} t} \right) = \bar{v}_y \left(1 - e^{-\frac{g_0 \cdot t}{v_s}} \right) \quad (3.2.21)$$

Coefficientul de rezistență Stokes are expresia în cazul unei sfere:

$$C_s = 3\pi \cdot D \cdot \rho \quad (3.2.21)$$

In cazul concret, voi admite simplificarea prin admitemea particoilelor solide în suspensie de formă sferică cu diametre între $40 - 180 \mu$.

In vederea realizării unui exemplu numeric pentru aceste extremități ale diametrelor, rezultă mărimea v_s în cele 2 cazuri; respectiv $d_1=40 \mu$ și $d_2=180 \mu$, astfel:

$$v_{s,40} = \frac{\pi \cdot g_0}{C_s \cdot d} = \frac{\pi \cdot d^3 \cdot \rho_p \cdot g_0}{3\pi \cdot D \cdot \rho_f \cdot d} = \frac{d^2 \cdot \rho_p \cdot g_0}{18 \cdot D \cdot \rho_f} = \frac{0,040^2 \cdot 10^{-6} \cdot 5000 \cdot 9,8}{18 \cdot 151,18 \cdot 10^{-6} \cdot 0,347} = 0,08311 \left[\frac{m}{sec} \right]$$

$$v_{s,180} = v_{s,40} \left(\frac{d_2}{d_1} \right)^2 = 0,08311 \left(\frac{180}{40} \right)^2 = 1,6829 \left[\frac{m}{sec} \right]$$

In acest exemplu am considerat viscozitatea cinematică a aerului pentru temperaturile de $500^{\circ}C$ respectiv $1200^{\circ}C$.

$$\gamma = \frac{\gamma_{500} + \gamma_{1200}}{2} = \frac{79,38 + 223}{2} \cdot 10^{-6} = 151,15 \left[\frac{kg}{m \cdot sec} \right]$$

In mod similar am adoptat media aritmetică a densității pentru aceste două temperaturi:

$$\rho_{air} = \frac{\rho_{500} + \rho_{1200}}{2} = \frac{1,2456 + 0,239}{2} = 0,3475 \left[\frac{kg}{m^3} \right]$$

Din expresia vitezei particulei de-alungul unui fir de fluid după axa sa o particulă cu diametrul $d_1=40 \mu$ va atinge $0,999 v_x$ după timpul de

$$\frac{1}{0,999} = \frac{1}{0,08311} = \frac{1}{151,15} = 0,001 \left[sec \right] \quad (3.2.22)$$

de unde prin logaritmare rezultă timpul $[t_1]$

$$t_1 = \frac{4 \pi 1000}{118,035} = \frac{6,9}{118,035} = 0,05845 \text{ [secunde]}$$

In cazul particulelor cu diametrul $d_p = 180 \mu$ timpul necesar ca o particulă să atingă $0,999 \bar{v}_x$ din viteză fluidului este:

$$t_2 = \frac{4 \pi 1000}{1,65} = \frac{6,9}{1,65} = 1,206 \text{ [secunde]}$$

Din comparația lui t_1 și t_2 rezultă că particulele mici cu diametrul de 40μ se deplasează de 10-60 ori mai repede în comparație cu particulele ce au dimensiunile de 180μ .

Analiza granulometrică a concentratului industrial arată că circa 80% din concentrat se constituie din particule cu dimensiuni sună 100μ .

3.3. Influența factorilor hidrodinamici asupra vitezei de ardere a unei particule de sulfură în suspensie într-un curent de gaze

3.3.1. Privire generală asupra ardării particulei de sulfură metalică într-un jet de gaz

In teoriile actuale ale ardării cetoogene a particulei de sulfură, în stare de suspensie, sunt făcute încercări de descriere cantitativă a procesului, folosind legile cineticii chimice și a schimbului de masă. Dezvoltarea acestei teorii permite cunoașterea direcției sau orientarea proceselor de producție în funcție de raportul factorilor ce influențează configuraerea lor cît și

pătrase în evidență a mijloacelor tehnice, care nu au fost încă folosite în tehnici, pentru ridicarea eșecității instalațiilor în care se desfășoară aceste ardere.

Delenirea teoriei existente necesită, pe de o parte, modelarea cimpurilor complexe de viteză, concentrații și temperaturi, fără a lăsa cont de structura volumetrică a procesului cu zonele lui caracteristice, pe de altă parte cere cauzarea valorilor numărotelor vitezii relative chimice cu ajutorul cărora se înțelegează că se țină seama de difuzia interioară în particula porosă și a coerciției echivalului de mană.

Delenirea procesului de ardere a particulei de sulfuri metalice cu ajutorul constantei globale de reacție necesită, după cum s-a arătat la capitolul (1) incluzarea reacțiilor posibile, ale constantei cinetice reale a minimuimului procese:

– decompunerea termică a sulfurii descrisă de reacție chimică: $\frac{ds_2}{dt} = 0,52$; exp. $(-\frac{ds_2}{dt}) (w_{\infty} - w_2) = 0,52$;

– oxidarea sulfului găsesc din jurul particulei de sulfuri solida în suspensie conform ecuației chimice:

$$w_{MgS_2} = \frac{w_{O_2}}{R \cdot t} \cdot \frac{P_{O_2} - P_{O_2}^0}{P_2 - P_1},$$

– oxidarea sulfurii simple conform reacției

$$w_4 = \frac{4\pi \cdot R \cdot (P_{O_2} - P_{O_2}^0) \cdot n}{R \cdot t \left(\frac{P_2}{P_1} - \frac{P_1}{P_2} \right)}$$

Apariția cimpurilor complexe de concentrații împrejurul particulelor de sulfuri în suspensie, ca urmare a fluvorilor moleculare ale gazelor de ardere și ale mediului oxidant, determină formarea unui înveliș-găsecă, în care se pot considera, în proporție stoichiometrică cu exigenele, sulful rezultat din decompunerea termică

a sulfurii. În acest înveliș - care numai în mod schematic poate fi imaginat ca o suprafață geometrică a reacției totale - , are loc transformarea finală a oxantecului combustibil în produse de ardere completă (în cazul în care medial are un caracter exigență). În realitate, fenomenele complexe și multiple de transformare a sulfelui gazeu ca disociere termică și recombinare, reacții directe și inverse de oxidare se succed și se acoperă unul pe altul, trecând prin zonă de temperatură și concentrații continue echimbatoare, foarte scăzute procese săptă posibile nu numai în stadiul inițial de îndăixire a particulei solide în suspensie, ci și în stadiile finale ale găsificării și arderei sulfurii simple rămasă neterminată.

Tot așa de complicat este și calculul coeficientului schimbului de masă care este utilizat ca o a două mărime fundamentală în procesele arderei exogene. Vârînd, coeficientul schimbului de masă, apare datorită stratului limită format în jurul particulelor solide emplaseate într-un curent de gaze. După cum se cunoscă, ideea stratului limită se bazează pe faptul că pulsăriile turbulentă se ating în apropierea suprafeței particulei, iar funcția de transport trece împrejur mecanismului molecular. Prezența stratului limită, joacă rolul unei rezistențe termice și a unei rezistențe fizice de transport de masă suplimentare.

Stratul limită, laminar, absorbe toată diferența de potențial dintre suprafața particulei și fluxul turbulent, care permite ca în cazul limită (cind criteriul Rouselet $Na=2$), să se aproximeze valoarea numerica ale coeficientului de schimb de căldură și de masă. Structura stratului limită se poate schimba substanțial dacă, peste mecanismul molecular obișnuit de transport, se suprapune un fenomen nou, fluxul de masă al substanței degajate sau absorbite de suprafața de rezecție, și care se mișcă de la perete sau spre perete, cu viteză volumetrică v_s [m³/m².s] , urmând să

niegorind în mod corespunzător valoarea coeficientului de schimb de masă și a schimbului calorice.

3.2.2. Determinarea grosimii stratului-limită... în jurul particulei solide în legătură cu viteza relativă gaz - particule.

In tehnica actuală de elaborare a cuprului se aplică pe o scară largă, procedeul de topire a concentratelor cuproase în stare de suspensie.

Viteza proceselor chimice de schimb în sistemele stereogene, care au loc în turnul de reacție a instalației de topire în suspensie, sunt în general considerabil influențate de: temperatură de lucru, termodynamica și cinetica reacțiilor din sistemul W_2-S-O ; regimul hidraulic al cuptorului; marimea suprafeței gazelor solide care reacționează; regimul de funcționare a arzătorului de concentrat care împrinde caracterul și viteza curenților predominanți în faza gazoasă.

În procedeul de elaborare a cuprului prin topire în stare de suspensie, la elimentar a turnului de reacție a instalației, particulele fine de concentrat sunt purtate întâi prin arzătorul de concentrat de un curent de aer sub presiune, și apoi ejectat în spațiul cilindric al turnului de reacție.

Viteza de ejection este cuprinsă, după tipul și dimensiunile turnului de reacție, cu o viteză între limitele de (70 - 130) m/sec.

Configurația jetului de aer și suspensia solidă de sulfuri metalice, din turnul de reacție depinde, de geometria camerai de reacție de numărul și poziția reștoarelor de concentrat.

După practica industrială rezultă că pentru desfășurarea optimă a procesului de topire în suspensie a concentratului cupru, aerul ce se introduce în turnul de reacție trebuie introdus exclusiv ca aer priză, supraîncălzit la $(500-550)^\circ\text{C}$, fără a fi divizat și în aer secundar.

Jetul de concentrat pulverizat este un jet de aer încărcat cu particule de sulfuri metalice în suspensie. Ca și în cazul jetului cu gaze, jetul de concentrat pulverizat poate fi clasificat în două categorii mari: jetul liber și jetul limitat.

Pentru un studiu mai precis a acestor jeturi, trebuie să se țină seama de influențe pe care o exercită prezența particulelor solide în masa jetului cît și influența marimilor cinematice ale jetului (viteza) asupra particulelor solide în suspensie.

Importanța stratului limită constă în acest că oferă o instrumentație matematică pentru exprimarea coeficientului de schimb de masă și a coeficientului de schimb caloritic.

Dacă considerăm că particulele, concentratului cupru, au o formă sferică în jurul căreia curge un fluid viscos și presupunem că numărul lui Reynolds are o valoare destul de mare, fără să se depășească pe aceea pentru care scurgerea închetează, și nu îlamină. Experiența arată că în acest caz influența viscosității se manifestă numai într-un strat subțire de fluid din imediata apropiere a suprafeței corpului. Într-adevăr, pe această suprafață viteza particulelor de fluid este nulă ca urmare a condiției de aderență, dar pe o distanță foarte mică valoarea vitezei crește rapid, apropiindu-se de aceea corespunzătoare scurgerii potențiale. L. Prandtl, care a pus în evidență fenomenul descris, a introdus noțiunea de strat limită pentru această zonă de fluid din apropierea suprafeței corpului în care efectul viscosității este preponderent la valori

suficient de mari ale numărului Reynolds.

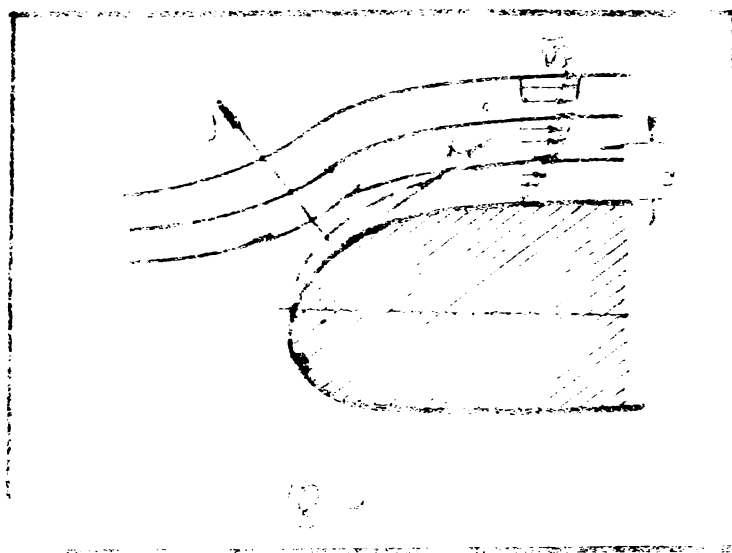
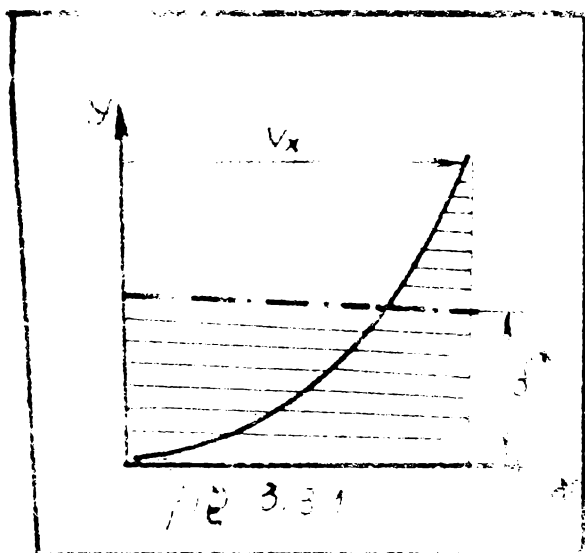
Puteam spune deci că întreaga mișcare rotațională a fluidului se găsește concentrată în stratul limită, iar înafara acestuia, c-o corecție aproximativă, mișcarea fluidului poate fi considerată potențială. Această separare este justificată prin faptul că în apropierea suprafeței corpului creșterea vitezei tangențiale este rapidă, ceea ce conduce la o valoare ridicată a derivatelor acesteia după normală la suprafață; din același motiv, și tensiunile tangențiale ating valori considerabile în stratul limită. Dimpotrivă, înafara acestui strat, derivata normală a vitezei are valoarea redusă, și din acestă cauză tensiunilor tangențiale pot fi neglijate. Simplificarea introdusă în felul acesta în tratarea matematică a problemelor de mișcare, în care numărul lui Reynolds are valori mari este foarte importantă și numeroase probleme pot fi studiate teoretic numai pe acestă cale [31].

Groasimea stratului limită, pe care o vom nota cu δ , este variabilă și crește pe măsură ce particulele de fluid înaintează în lungul suprafeței corpului. Definirea acestei groasimi este într-o corecție măsură arbitrară, deoarece trecerea de la viteză din stratul limită la aceea din scurgerea exterioară se face în realitate asimptotic. Totuși, din punct de vedere practic, faptul acesta nu are nici o însemnatate, deoarece la o distanță foarte mică de suprafața corpului viteză atinge valoarea corespunzătoare scurgerii exterioare. Din acest motiv se poate defini grosimea stratului limită ca distanța de la suprafața corpului la care viteză diferă cu 1% de aceea a scurgerii exterioare.

Uneori este utilă folosirea așa-numitei groasimi de deplasare δ^* dacă se consideră o mică porțiune din suprafața corpului presupusă pentru simplificare, plană, și se alege axe Oy

după direcția normală i (fig.3.3.1) această grosime se definește după relație:

$$v_0 \delta^* = \int_0^\infty (V - v_x) dy \quad (3.3.1)$$



Grosimea de depăsare arată cu cît au fost depășite către afară, prin formarea stratului limită, liniile de curent ale scurgerii exterioare. Dacă necesar, s-a observat că, frontieră stratului limită limită nu este o linie de curent, aceasta intrând în interiorul stratului și intersectându-se cu frontieră lui (fig.3.3.2).

Introducerea noțiunii de strat limită pe lungăavanțajul pe care-l oferă pentru simplificarea ecuațiilor de mișcare ale fluidelor viscoase are și o semnificație fizică deosebită a proceselor de schimbă. Simplificarea ecuațiilor de mișcare devin posibile în baza considerentelor de ordin fizic, și anume că în cazul numerelor Reynolda mari, forțele de inertie au un efect preponderent în interiorul fluidului, în timp ce forțele de fricare, datorită viscosității devin foarte mici. Această simplificare a ecuațiilor dă posibilitatea să se găsească soluții aproximative în cazul limită considerat și care permite obținerea unor concluzii pentru introducerea unei mijloace tehnice noi care să conducă la eficiențe calitative și cantitative.

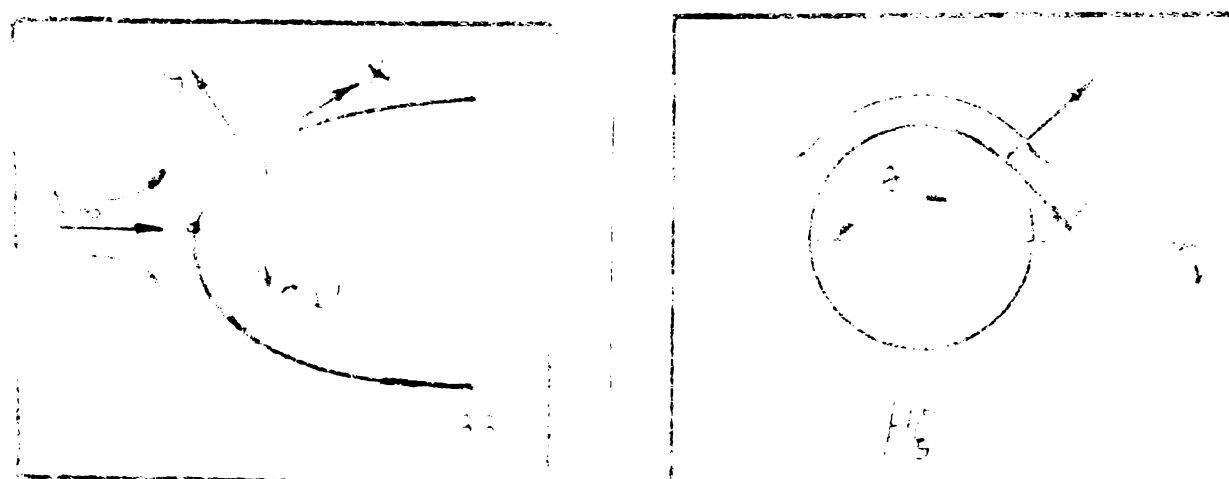
In vederea obținerii schematicelor aproximative pentru celul grosimii stratului limită în jurul particulelor solide în suspensie vom face următoarele simplificări:

- particulele solide au o formă sferică;
- viteză particulelor atinge după un timp fixat vitesa fluidului portant;

- particulele efectuează o mișcare de translație.

În studiul stratului limită pe un corp de revoluție se presupune că viteză fluidului portant este funcție de toate cele trei coordinate spațiale. Cind nu există o simetrie axială în scurgere, trătesea problemelor de acest gen este legată de dificultăți matematice mari. În cazul menținerii constante a încărcații captorului de topire, mișcarea jetului de concentrat pulverizat poate fi assimilată cu o mișcare permanentă.

Curgerea în jurul particulelor de revoluție se realizează după scheme din fig.3.3.3 și fig.3.3.4-.



Vom considera că particulele solide în suspensie sunt corpuri cu simetrie axială, deci corpuri de revoluție care se deplasează într-un curbat cu mișcare relativă V_{∞} , variabilă.

Pentru tratarea problemei se alege un sistem de axe de coordonate în plenul unei secțiuni meridiane ale particulei, coordinate x fiind măsurată în lungul conturului secțiunii cu începere din punctul de impact O , iar y în direcția normalei exterioare la contur. În ceea ce privește secțiunea transversală, conturul acesteia este definit prin raza $r(x)$ a secțiunii normale pe axa corpului. Se presupune că pe contur nu există virfuri ascuțite, astfel ca derivatele $\frac{d^2r}{dx^2}$ să nu ia valori foarte mari. De asemenea, se notează cu v_x și v_y componentele vitezei, paralelă și respectiv normală la contur, precum și cu $V(x)$ viteza scurgerii potențiale exterioare.

Ecuatiile stratului limită, pentru acest caz pot fi scrise [31] sub forma :

$$\frac{\partial \sigma_x}{\partial t} + \frac{\partial \sigma_x}{\partial x} v_x + \frac{\partial \sigma_y}{\partial y} v_y = -\frac{1}{\rho} \frac{\partial P}{\partial x} + \gamma \frac{\partial^2 \sigma_x}{\partial y^2} \quad (3.3.2)$$

$$\frac{\partial(r\sigma_x)}{\partial x} - \frac{\partial(r\sigma_y)}{\partial y} = 0 \quad (3.3.3)$$

Ca condiții la limită:

$$y=0, \sigma_x=0, \sigma_y=0; y = \dots; \sigma_x = V(x,t) \quad (3.3.4)$$

Pentru cazul scurgerii nepermanente în jet, trebuie să cunoască și o repartiție de viteze potrivită în tot spațiul ,ele momentul inițial $t=0$.

Ecuatia de mișcare (3.3.2) în direcția axei Ox păstrează aceeași formă ca și în cazul stratului limită plan. Evaluarea termenilor din ecuația de mișcare în direcția axei Oy conduce la concluzia că gradientul de presiune normal pe contur are ordinul de mărime al reștrutului $\frac{V}{P}$, adică al unității. Ca urmare a acestui fapt, diferența de presiune la traversarea stratului limită în direcție normală este de ordinul de mărime al grosimii δ a stratului

limită. Putem admite deci, că gradientul de presiune $\frac{\partial P}{\partial x}$ din scurgerea potențială se regăsește în stratul limită.

Integrarea constițiilor (3.3.2) se poate face prin introducerea funcției de curent $\psi(x, y)$. Vitezele v_x și v_y rezultă din derivatele parțiale ale funcției de curent. Dacă acestea se scriu sub formă:

$$v_x = \frac{1}{r} \frac{\partial(r\psi)}{\partial y} = \frac{\partial\psi}{\partial y}; \quad v_y = -\frac{1}{r} \frac{\partial(r\psi)}{\partial x} = -\frac{\partial\psi}{\partial x} - \frac{1}{r} \frac{\partial r}{\partial x} \psi \quad (3.3.5)$$

ecuația (3.3.3) este satisfăcută identic, iar ecuația (3.3.2) devine:

$$\frac{\partial^2\psi}{\partial t \cdot \partial y} - \frac{\partial\psi}{\partial y} \cdot \frac{\partial\psi}{\partial x \cdot \partial y} - \left(\frac{\partial\psi}{\partial x} + \frac{1}{r} \frac{\partial r}{\partial x} \psi \right) \frac{\partial^2\psi}{\partial y^2} = -\frac{1}{\rho} \frac{\partial P}{\partial x} - \nu \frac{\partial^3\psi}{\partial y^3} \quad (3.3.6)$$

Cu condițiile la limită

$$y=0; \quad \psi=0; \quad \frac{\partial\psi}{\partial y}=0 \quad y=\infty \quad \frac{\partial\psi}{\partial y}=V(x, t) \quad (3.3.7)$$

Pentru cazul mișcării permanente, ecuația (3.3.6) devine:

$$\frac{\partial\psi}{\partial y} \cdot \frac{\partial^2\psi}{\partial x \cdot \partial y} - \left(\frac{\partial\psi}{\partial x} - \frac{1}{r} \frac{\partial r}{\partial x} \right) \frac{\partial^2\psi}{\partial y^2} = V \frac{dV}{dx} - \nu \frac{\partial^3\psi}{\partial y^3} \quad (3.3.8)$$

Condițiile la limită fiind tot (3.3.7) cu V funcție numai de x .

Pentru viteza scurgerii potențiale $V(x)$ se introduce o dezvoltare în serie de puteri ale lui x , iar pentru funcția de curent seria corespondătoare are coeficienții funcției de y (seria lui Blasius). Si în acest caz coeficienții seriei care reprezintă funcția de curent pot și să aibă caracter universal și să fie astfel independenți de parametrii fiecărui caz particular.

Centrul secțiunii transversale se prezintă prin serie:

$$r(x) = r_1 x + r_3 x^3 + r_5 x^5 + r_7 x^7 + \dots \quad (3.3.9)$$

Iar viteza scurgerii potențiale de acelașiă sub formă de serie, și anume:

$$V(x) = v_1 x + v_3 x^3 + v_5 x^5 + v_7 x^7 + \dots \quad (3.3.10)$$

Dacă introducem pentru distanța de la suprafață
particulei reprezentarea edimensională

$$\eta = y \sqrt{\frac{2 v_1}{r_1}} \quad (3.3.11)$$

funcția de curent va fi dată de seria lui Balusius:

$$\Psi(x, y) = \sqrt{\frac{V}{2v_1}} \left[v_1 x f_1(\eta) + 2v_3 x^3 f_3(\eta) + 3v_5 x^5 f_5(\eta) + 4v_7 x^7 f_7(\eta) + \dots \right] \quad (3.3.12)$$

Din (3.3.12) rezultă:

$$v_x = v_1 x f_1 + 2 v_3 x^3 f_3 + 3 v_5 x^5 f_5 + 4 v_7 x^7 f_7 + \dots \quad (3.3.13)$$

expresie în care derivatele f_1, f_3, \dots sunt calculate în raport cu variabila η . Pentru a face coeficienții $f_1(\eta), f_3(\eta), \dots$ independenți de parametrii particulei și problemei, care sunt v_1, v_3, \dots și r_1, r_3, \dots trebuie să punem:

$$\begin{aligned} f_3 &= g_3 + \frac{r_3 v_1}{r_1 v_3} h_3, \\ f_5 &= g_5 + \frac{r_5 v_1}{r_1 v_5} h_5 + \frac{v_3^2}{v_1 v_5} k_5 + \frac{r_3 v_3}{r_1 v_5} j_5 + \frac{r_3^2 v_1}{r_1^2 v_5} q_5 \quad (3.3.14) \\ f_7 &= g_7 + \frac{r_7 v_1}{r_1 v_7} h_7 + \frac{r_3 r_5}{r_1^2 v_7} k_7 + \frac{v_3^3}{v_1 v_7} l_7 + \frac{r_5 v_3}{r_1 v_7} m_7 + \frac{v_3 v_5}{v_1 v_7} p_7 + \\ &+ \frac{r_3^2 v_1}{r_1^2 v_7} q_7 + \frac{r_3 r_5}{r_1^2 v_7} u_7 + \frac{r_3 v_3^2}{r_1 v_1 v_7} t_7 + \frac{r_5 v_5}{r_1 v_7} z_7. \end{aligned}$$

Prin înlocuirea expresiilor (3.3.9), (3.3.10) și (3.3.12) în (3.3.8) și dacă se ține seama de (3.3.14), se găsește un sistem de ecuații diferențiale ordinare, primele trei dintre acestea fiind

$$\begin{aligned} f_1''' &= f_1 f_1'' + \frac{1}{2} (f_1'^2 - 1) \\ g_3''' &= -f_1 g_3'' + 2 f_1' g_3' - 2 f_1^2 g_3 - 1 \quad (3.3.15) \\ h_3''' &= -f_3 h_3'' + 2 f_3' h_3' - \frac{1}{2} f_1 f_1'' \end{aligned}$$

Condițiile la limită cer ca la $\eta = 0$ toate funcțiile împreună cu derivatele lor de primul ordin să se anuleze și să avem de asemenea:

$$\eta = \infty, z_1 = 1, z_3 = \frac{1}{2}, z_5 = \frac{1}{3}, z_7 = -\frac{1}{4}. \quad (3.3.16)$$

în timp ce toate celelalte derivate de primul ordin trebuie să fie nule.

Rezultatele precedente pot fi utilizate pentru calculul stratului limită în scurgerea în jurul unei sfere (vezi tabel nr. III, anexă). Curgerea potențială în jurul unei sfere este:

$$V(x) = -\frac{1}{2} V_\infty \sin \theta = -\frac{1}{2} V_\infty \sin \frac{x}{r_s} \quad (3.3.17)$$

r_s - fiind raza sferei.

Raza secțiunii transversale are, la rindul ei, expresia:

$$r(x) = r_s \sin \frac{x}{r_s} \quad (3.3.18)$$

dacă se dezvoltă în serie $\sin \frac{x}{r_s}$ și se compară cu serie (3.3.9), rezultă:

$$x_1 = 1, x_3 = -\frac{1}{6} \frac{1}{r_s^2}, x_5 = \frac{1}{120} \frac{1}{r_s^4}, x_7 = -\frac{1}{5040} \frac{1}{r_s^6} \quad (3.3.19)$$

În mod similar, prin comparație cu (3.3.10) obținem:

$$v_1 = \frac{1}{2} \frac{V_\infty}{r_s}, v_3 = -\frac{1}{4} \frac{V_\infty}{r_s^3}, v_5 = \frac{1}{80} \frac{V_\infty}{r_s^5}, v_7 = -\frac{1}{3360} \frac{V_\infty}{r_s^7} \quad (3.3.20)$$

Inlocuind v_1 în (3.3.11) rezultă:

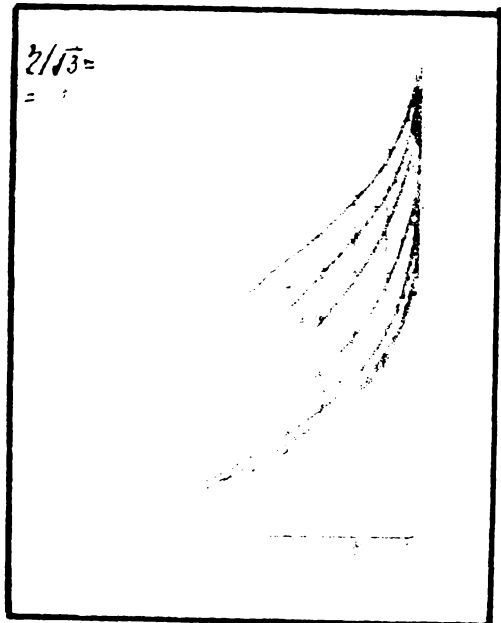
$$\gamma = \frac{g}{r_s} \sqrt{\frac{3 V_\infty r_s}{2}} \quad (3.3.21)$$

În continuare, din (3.3.13) se găsește:

$$\begin{aligned} \frac{d^2}{dx^2} \left(\frac{1}{2} \frac{V_\infty}{r_s} z_1 - \frac{1}{6} \left(\frac{1}{r_s^2} \right)^3 (z_3 + h_3) + \frac{1}{120} \left(\frac{1}{r_s^4} \right)^5 (z_5 + h_5 + \frac{1}{3} h_3) + \frac{1}{5040} z_7 + \right. \\ \left. + \frac{1}{3} h_5 \right) = \frac{1}{120} \left(\frac{1}{r_s^2} \right)^7 (z_7 + h_7 + \frac{1}{3} h_5 + \frac{1}{3} h_3 + 7 h_7 + 7 h_5 + \right. \end{aligned}$$

$$+ \frac{1}{3} \alpha_3 + \frac{1}{3} \alpha_4 + 7 \alpha_5 + 7 \alpha_6 + \dots \quad (3.3.22)$$

Valorile vitezei calculate cu (3.3.22) fiind reprezentate in fig. 3.3.5.



Dacă se pune $x_D = \left(\frac{x_D}{x_s}\right)^2$, punctul de desprindere a stratului limită rezultă din ecuație:

$$0,00359 x_D^3 - 0,0421 x_D^2 + 0,3925 x_D - 1 = 0 \quad (3.3.23)$$

Din (3.3.23) rezultă:

$$\frac{x_D}{x_s} = 1,913 \quad (3.3.24)$$

Unghiul Θ la care se produce desprindererea stratului limită

$$\Theta = 109,6^\circ \quad (3.3.25)$$

Grosimea stratului se obține din relație:

$$y = \frac{1}{\sqrt{3}} \cdot r_s \cdot \eta \cdot \sqrt{\frac{V}{V_\infty \cdot r_s}} = \sqrt{\frac{2}{3}} \cdot r_s \cdot \eta \cdot \sqrt{\frac{V}{V_\infty \cdot r_s}} = \sqrt{\frac{2}{3}} \cdot r_s \cdot \eta \cdot \frac{1}{R_e^{1/2}} \quad (3.3.26)$$

In figura (3.3.5) pe ordonată este reprezentată $\eta' = \frac{M}{\sqrt{3}}$, decă se calculează valoarea lui η' pentru diferite unghiuri θ și se face medie l.r., se obține o grosime medie pentru stratul limită, care va fi folosit la calcularea rezistențelor de masă și termice.

θ	0	25	50	75	90	100	106,9
$\frac{\eta'}{\sqrt{3}} = \frac{\eta}{r_s} \cdot \sqrt{\frac{V_0 \cdot r_s}{r_s \cdot \sqrt{3}}} = \frac{\eta}{r_s} \cdot \frac{R_e^{1/2}}{\sqrt{2}}$	1,6	1,7	1,8	1,93	2,3	2,5	2,7
$\eta = \frac{\sqrt{3} \cdot \eta' \cdot R_e^{1/2}}{\sqrt{2} \cdot r_s}$	2,768	2,941	3,114	3,2735	3,979	4,325	4,671
$y_i \approx \delta_i = \frac{\sqrt{2}}{\sqrt{3}} \cdot \eta \cdot \frac{r_s}{R_e^{1/2}}$	2,255x	2,395x	2,537x	2,749x	3,242x	3,524x	3,806x

Grosimea medie a stratului limită pe porțiunea de axă
de care există, se calculează cu relație:

$$\delta_m = \frac{\sum \delta_i}{2} = \frac{20,508}{2} \cdot \frac{r_s}{R_e^{1/2}} = 2,92971 \cdot \frac{r_s}{R_e^{1/2}} \quad (3.3.27)$$

4. INCALZIRE SI ARDEREA CONCENTRATULUI SULFUROS IN JETUL PORTANT

4.1.1. Incălzirea particulelor de concentrat cuproso
în cazul configurației și structurii jetului
realizat în turnul de reacție (zone I de in-
călzire) ».

Incălzirea particulelor solide în suspensie din jetul cilindric, dezvoltat în turnul de reacție, se realizează parțial de la aerul portant preincălzit la temperatură de 770-800 K, de la energie de radiație a peretilor refractari, radiație flăcării și prin gazele calde recirculate în jet ca urmare a efectului de aspirație.

Temperatura peretelui refracter le un regim tehnologic stabilizat (regim staționar) are valoarea situată între limitele 1600-1700 K. Gazul recirculat în spațiul liber între jetul cilindric încărcat cu particule solide în suspensie și peretele refracter al turnului de reacție are temperatură în limitele 1700-1800 K.

Problema incălzirii particulelor solide în suspensie, în jetul portant are o importanță deosebită în desfășurarea proceselor de prăjire și topire a concentratelor cuprosoase. Viteza de incălzire în turnul de reacție influențează valoarea rendamentului de extracție a metalului, din topitura obținută.

Ipozesele ce stau la baza studiului privind incălzirea particulelor solide și a jetului sunt următoarele:

- Particulele de concentrare sunt sfere cu diametrul d;
 - Toate particulele sferice au aceeași diametru;
- Volumul particulelor este neglijabil față de volumul gazului portant;

- Căldura transmită de flacără gazului, prin conductivitate, este neglijabilă;

- Frontul de flacără este perpendicular pe liniile de curenț din jet;

- Proprietățile jetului în planul de coordonate y, z la distanță x de gura erzătorului sunt invariante;

- În regim stationar, egalitățile vitezii de propagare a frontului de flacără și viteză jetului încărcat cu concentrat cupres ($S_f = u_p$), poziția frontului de flacără după o suprafață geometrică simetrică este stationară;

- Timpul t_a , necesar ca norul de particule solide să percurgă distanța x_a , corespunde prin definiție timpului necesar ca particula de concentrat să se încălzească pînă la temperatură de descompunere (disocierea sulfului și aprindere) T_d ;

- Viteză, temperatură și concentrație particulelor de concentrat în suspensie la gura erzătorului de concentrat sint respectiv v_{p_0} , T_{p_0} și C_{p_0} ;

— Temperatura concentratului T_p este diferită de temperatură aerului (gazului) portant T_a ($T_a > T_p$);

- Conductivitățile termice și căldura specifică a gazului sint constante în tot domeniul de temperatură;

- Temperatura de descompunere (aprindere) a concentratului sulfuros, determinată în anumite condiții experimentale impuse este considerată o caracteristică a concentratului;

- Gazul (aerul) portant, nu este transparent la radiația termică; făcă de aceasta radiație norul de concentrat se comportă ca și corpul negru;

- Flacără este privită ca un corp cenușiu cu o temperatură medie egală cu T_p , astfel însăt intensitatea cu care suprafața unitară a frontului de flacără iradiată particulele de concentrat este dată de relație:

$$I_F = \epsilon_F \cdot \tilde{v}_N \cdot T_F^4 \quad (4.1.1)$$

în care:

ϵ_F - coeficientul de emisivitate al flăcării;

\tilde{v}_N - constanta lui Stefan-Boltzmann $\tilde{v}_N = 1,36 \cdot 10^{-12} [\text{kel} \cdot \text{cm}^{-2} \cdot \text{s}^{-1} \cdot \text{K}^4]$.

- Direcția de radiație a flăcării este paralelă cu linile de curent a jetului.

a. Intensitatea radiației flăcării, după ce traversează în amestecul de nori de concentrare și gazul (aerul) portant cu coeficientul de absorbție k pe lungime (L_{y-z}), va avea valoarea

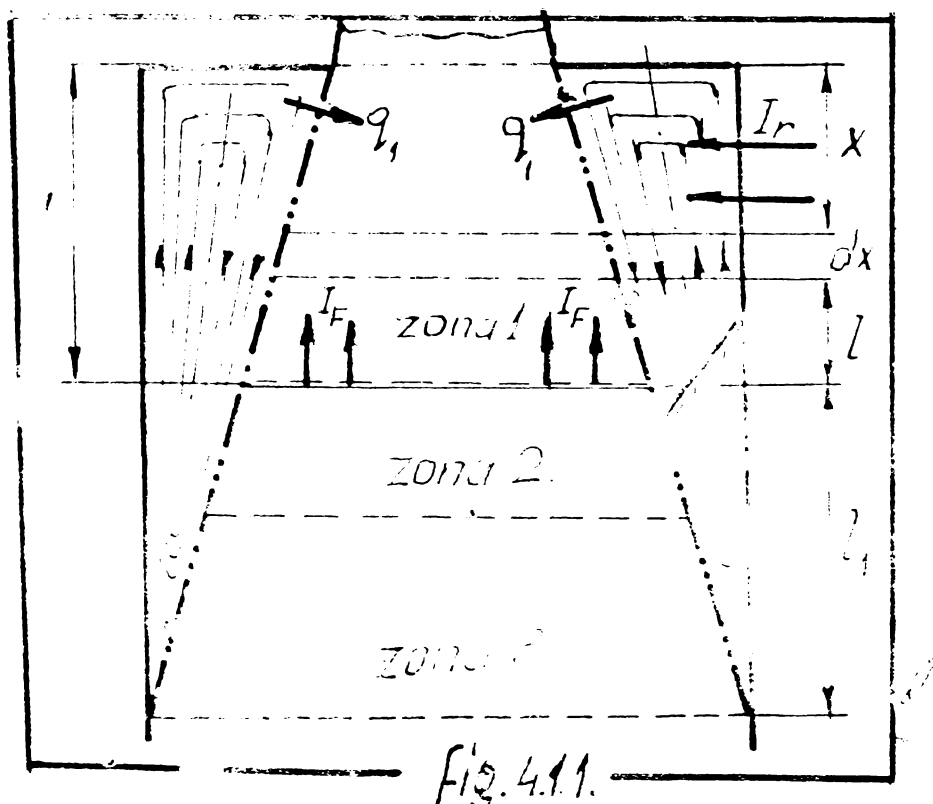


fig. 4.1.1.

$$I = I_F \cdot \exp(-(L_{y-z}) \cdot k) \quad (4.1.2)$$

unde coeficientul total de absorbție este compus din:

$$k = k_a + k_p \quad (4.1.3)$$

unde:

k_a - coeficientul de absorbție a gazului (aerului) portant;

k_p - coeficientul de absorbție a particulelor solide.

b. Intensitatea radiației absorbită de volumul uniter din amestecul de particule solide gazul(sor) portant, ce se găsește la distanța ($L_p - x$) de flacără este egală cu:

$$k_p \cdot I_p \cdot \exp[-k_p (L_p - x)] \quad (4.1.4)$$

Coefficientul de absorbție k_p se presupune să fie egal cu suma secțiunilor particulelor solide proiectate, pe suprafața stratului elementar ce conține particulele respective.

În baza ipotezelor făcute se poate scrie atât pentru gazul portant cât și pentru norul de concentrat expresia intensității de radiație, respectiv se poate scrie expresia radiației termice absorbite în stratul elementar dx .

Astfel, dacă gazul portant ar fi dictată de radiațiile termice, radiațiile absorbite de particule în stratul dx ar fi:

$$\frac{dI_p}{dx} = k_p \cdot I = k_p I_p \cdot e^{-k_p (x - L_p)} \quad (4.1.5)$$

Dacă, în schimb, jetul ar fi format numai din gaze cu coefficientul de absorbție k_g , stratul elementar dx ar absorbi din intensitatea de radiație valoarea:

$$\frac{dI_g}{dx} = k_g \cdot I = k_g I_p \cdot e^{-k_g (x - L_p)} \quad (4.1.6)$$

Din intensitatea de radiație a flăcării o parte este absorbită de amestecul format din norul de concentrate și gazul portant, care se calculează prin însumarea radiațiilor absorbite de particule solide în suspensie pe de o parte și de gazul portant pe de altă parte.

$$\begin{aligned} \frac{dI}{dx} = \frac{dI_p}{dx} + \frac{dI_g}{dx} &= k_p I_p \cdot \exp[-k_p (x_p - L_p)] + \\ &+ k_g I_p \cdot \exp[-k_g (x_g - L_p)] \end{aligned} \quad (4.1.7)$$

În calculalele ce urmăresc, viteza nerului de concentrat nu se va luce egală cu viteza gazului portant.

- Volumul elementar de gaz(aer) portant și nerul de particule este V , viteza a zială a jetului v_{ex} , concentrația particulelor de concentrat C_0 și densitatea gazului (acerului) portant sunt funcții de temperatură gazului (acerului) portant T_a , după formulele:

$$\begin{aligned} V &= V_0(T_a/T_0) \\ v_{ex} &= v_{ex0}(T_a/T_0) \\ C &= C_0(T_a/T_0) \\ \rho_a &= \rho_0(T_a/T_0) \end{aligned} \quad (4.1.8)$$

- Gasul recirculat în jet, din spațiul liber format de conturul exterior al jetului și peretei turnului de reacție, este proporțional cu viteza medie a jetului, și participația sa volumetrică în amestec este:

$$\bar{V}_g = \frac{v}{\frac{\delta_x}{\delta_p} + \frac{v}{a}} \quad (4.1.9)$$

unde:

\bar{V}_g - volumul gazului fierbinte recirculat;

v - volumul aerului portant.

Participația volumetrică a acerului portant din amestecul format reprezintă:

$$\bar{V}_a = \frac{v}{\frac{\delta_x}{\delta_p} + \frac{v}{a}} \quad (4.1.10)$$

- Particulele solide în suspensie din jet, sănt încălziite și de la peretele refractor și stratul de gaze dintre jet. Intensitatea totală de radiație termică este I_p , care se compune din: intensitatea emisă de gaze radiante $I_{p,g}$ și din intensitatea de radiație a peretelui $I_{p,p}$, constantă în timp.

$$I_p = I_{p,g} + I_{p,p} \quad (4.1.11)$$

- Energia termică cedată în jet cu gazul recirculat (ce pătrunde în zona apropiată exzatorului), are valoarea:

$$q_1 = V_{g_x} \cdot \rho_{g_x} \cdot C_{p_x} (T_{g_x} - T'_{g_0}) \quad (4.1.12)$$

unde:

T'_{g_0} - temperatura medie a aerului la intrare în turn;

T_{g_x} - temperatura gazului recirculat.

- În zona de încălzire a concentratului, se poate admite că, energia termică necesară pentru ridicarea temperaturii suspensiei solide se obține din căldura radiată de flacără, radiația de la peret și din schimbul calorific convectiv realizat cu gazul portant (care are temperatură $T_{g_0} = 870-900$ K).

Între energia de radiație absorbită de particulele în suspensie și gazul portant, căldura de încălzire a particulelor de concentrat pînă la temperatură T_p , căldura cedată prin convecție particulelor de la gazul portant, căldura cedată de la gaze calde recirculate și căldura de radiație a peretelui și gazului se poate scrie relația:

$$C_p \cdot c_p \left(\frac{dT}{dx} \right) + \rho_a C_a \left(\frac{dT}{dx} \right) = \frac{dI_p}{dx} + \frac{dI_a}{dx} + (k_p + k_a) I_x \quad (4.1.13)$$

Relația este scrisă pentru volumul unitar de amestec gaz portant - particule solide în suspensie.

În relația (4.1.13) notatiile au următoarele semnificații:

C_p - concentrația particulelor solide;

c_p - căldura specifică a particulelor;

T_p - temperatură particulelor;

I_a - temperatură gazului portant format din aerul portant suprareîncălzit și gazele calde recirculate;

ρ_a , C_a - densitatea respectiv căldura specifică a amestecului.

Numărul de particule antrenate în volumul de anestezie suprinsă și, este proporțional cu concentrația particulelor.

Între concentrația de particule inițial (pentru temperatură T_{α_0}) și concentrație la o anumită temperatură există relația: $C = C_0 (T_{\alpha_0} / T_\alpha)$ care se scrie în mod analog și pentru numărul inițial și final de particule solide dintr-un volum unitar de anestezie:

$$n_{T_\alpha} = n_{T_{\alpha_0}} \cdot \frac{T_{\alpha_0}}{T_\alpha} \quad (4.1.14)$$

în care:

n_{T_α} - numărul de particule solide într-un volum unitar de anestezie la temperatură T_α ;

$n_{T_{\alpha_0}}$ - numărul de particule dintr-un volum unitar de anestezie la temperatură de intrare a anestecoului în turnul de reacție.

Concentrația particulelor solide se poate exprima la temperatură inițială (la intrare în turn a jetului) în funcție de numărul particulelor solide, densitatea și diametrul particulelor ca relație

$$C_{\rho_0} = (\frac{4}{3}) \pi r^3 \rho \cdot n_{T_{\alpha_0}} \quad (4.1.15)$$

Concentrația particulelor la o temperatură oricare în timpul încălzirii este:

$$C_{\rho} = (\frac{4}{3}) \pi r^3 \rho_c \cdot n_{T_\alpha} = (\frac{4}{3}) \pi r^3 n_{T_{\alpha_0}} \cdot \frac{T_{\alpha_0}}{T_\alpha} \quad (4.1.16)$$

Factorul de absorbție a particulelor solide se consideră egală cu suma secțiunilor particulelor din volumul unitar și se determină cu relație:

$$k_p = S_p = 2 \pi r^2 \cdot n_{T_\alpha} = 2 \pi r^2 \cdot \frac{T_{\alpha_0}}{T_\alpha} \cdot n_{T_{\alpha_0}} \quad (4.1.17)$$

Factorul de absorbție a gazului portant este determinat de densitatea gazului recirculat (gaze tri și poliatomică) în volumul anestecoului portant și de temperatura gazului.

Coefficientul de absorbtie a gazelor scade cu cresterea temperaturii, în cazul dat se poate scrie relația între coefficientul de absorbtie pentru temperatură T_{a_0} și coefficientul la temperatură T_a sub formă:

$$k_a = k_{a_0} \cdot \frac{T_{a_0}}{T_a} \quad (4.1.18)$$

Inlocuind în relația (4.1.13) condițiile initiale se obține:

$$\begin{aligned} C_{p_0} \cdot C_p \cdot \frac{T_{a_0}}{T_a} \cdot \frac{d T_p}{dt} + \rho_{a_0} \cdot C_a \cdot \frac{T_{a_0}}{T_a} \cdot \frac{dT_a}{dt} &= k_p \cdot I_p + k_a I_a + \\ &+ (k_p + k_a) I_p \end{aligned} \quad (4.1.19)$$

Stiind că: $k_p (I_p - L_p)$
 $I_p = I_{p_0} \cdot e^{k_p (I_p - L_F)}$

$$(4.1.20)$$

și
 $I_a = I_p \cdot e^{\frac{k_a (I_a - L_p)}{I_p}}$

$$(4.1.21)$$

Relația (4.1.13) se transformă în

$$\begin{aligned} C_{p_0} \cdot \rho_p \cdot \frac{T_{a_0}}{T_a} \cdot \frac{d T_p}{dt} + \rho_a \cdot C_a \cdot \frac{T_{a_0}}{T_a} \cdot \frac{dT_a}{dt} &= 2\pi r^2 R_{T_0} \cdot \frac{T_{a_0}}{T_a} \cdot I_F \cdot e^{k_p (I_p - L_F)} + \\ &+ k_{a_0} \cdot \frac{T_{a_0}}{T_a} \cdot I_F \cdot e^{\frac{k_a (I_a - L_F)}{I_p}} + (k_p + k_a) \cdot \frac{T_{a_0}}{T_a} \cdot I_F \end{aligned} \quad (4.1.22)$$

Pe de altă parte se poate scrie că parcursul volumului elementar, cuprins pe lungimea dn al jetului, este influențat de creșterea temperaturii după relație:

$$x_p = p_0 \cdot \frac{T}{T_{a_0}} \quad \text{precum} \quad L_p = L_{p_0} \cdot \frac{T}{T_{a_0}} \quad (4.1.23)$$

și

$$x_a = x_{a_0} \cdot \frac{T}{T_{a_0}} \quad (4.1.24)$$

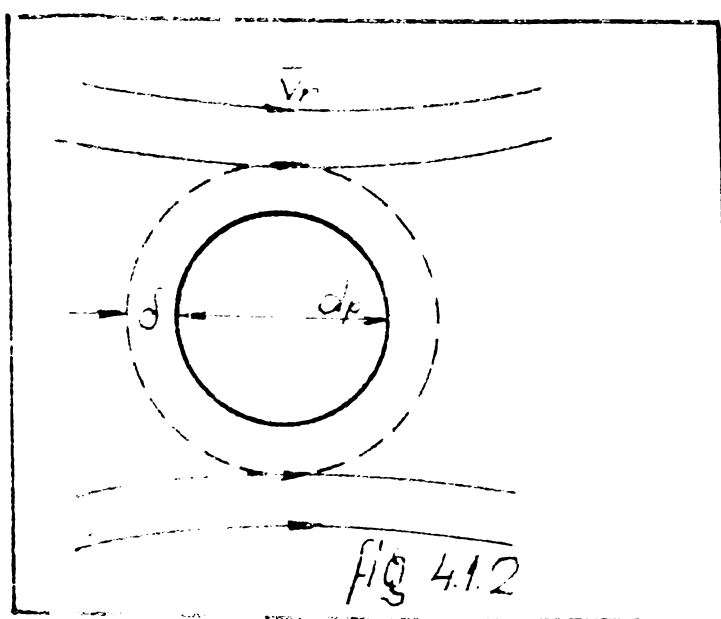
Inlocuind (4.1.23) și (4.1.24) în relația (4.1.13), după simplificarea cu $\frac{1}{T_0}$ aceasta se transformă în

$$C_{p0} \cdot C_p \cdot \frac{d\bar{T}_p}{dt} + \rho_{a_0} \cdot C_a \cdot \frac{dT_a}{dt} = 2\pi r_p^2 \cdot I_F \cdot e^{k_p(K_p - L_F)} + k_{a_0} \cdot I_F e^{k_{a_0}(K_{a_0} - L_{F_0})} + (K_p - K_{a_0}) I_r \quad (4.1.25)$$

Schimbul energetic dintre norul de particule solide și gazul portant se realizează prin convecție, convecție și radiație atât timp cât există o mișcare relativă între gazul portant și norul de particule.

În cazul în care viteza particulelor devine egală cu viteza gazului, transferul energetic de la gaz la particule să se realizeze numai prin conducție termică și numai într-o măsură foarte mică prin radiație.

-Radiație gazului portant în perioada de încălzire a particulelor este proporțională cu presiunea parțială a gazelor radiație recirculate în jetul încărcat cu particule. Ca urmare a unui debit relativ mic de gaze recirculate coeficientul de radiație (emisie) a gazului este foarte scăzut și ca urmare forma principală de transfer revine conducției și convecției termice.



Schimbul de energie termică între mediul continuu și norul de particule solide va conduce la modificarea temperaturii gazului portant.

O parte din căldura fizică a gazului portant se transmite particulelor în suspensie prin convecție.

Particula de concentrat în jetul portant.

-109-

În consecință, se va putea scrie că energia termică cedată de gazul portant este egală cu energia termică transmisă particulelor după relație:

$$\rho_a \cdot C_a \cdot \frac{dT_a}{dt} = 4\pi \cdot r_p \cdot n_{pT_a} \cdot \lambda (T_a - T_p) \left(1 + \frac{\gamma_p}{\delta}\right) \quad (4.1.26)$$

Această ecuație s-a scris pentru volumul unitar de anestec, în care s-a notat cu:

ρ_a - densitatea anestecului la temperatură T_a ;

C_a - căldura specifică a anestecului;

r_p - raza particulei;

n_{pT_a} - numărul de particule din volumul unitar de anestec la temperatură T_a ;

λ - coeficient de conductie a gazului portant;

T_a - temperatură curentă a gazului portant;

T_p - temperatură curentă a particulei;

δ - grosimea stratului limită.

Din condițiile initiale rezultă:

$$\rho_a = \rho_{a0} \cdot \frac{T_{a0}}{T_a} \quad (4.1.27)$$

și

$$n_{pT_a} = n_{pT_{a0}} \cdot \frac{T_{a0}}{T_a} \quad (4.1.28)$$

$\frac{T_{a0}}{T_a}$

Inlocuind aceste relații în (4.1.26) și simplificând cu

se obține: $(4.1.29)$

$$\rho_a \cdot C_a \cdot \frac{dT_a}{dt} = 4\pi r_p \cdot n_p \cdot \lambda (T_a - T_p) \left(1 + \frac{\gamma_p}{\delta}\right)$$

Dacă se notează cu:

$$\gamma_p \alpha = \lambda \left(1 + \frac{\gamma_p}{\delta}\right) \quad (4.1.30)$$

relația (4.1.26) își modifică expresia și împreună cu ecuația (4.1.13) formează sistemul:

$$\rho_{a_0} \cdot C_a \frac{dT_a}{dt} = 4\pi r_p^2 \rho \cdot \alpha \cdot n_{p_0} (T_a - T_p)$$

$$C_p \cdot C_p \frac{dT_p}{dt} + \rho_{a_0} \cdot C_a \frac{dT_a}{dt} = 2\pi r_p^2 \cdot n_e \cdot J_F \exp[k_p(x_p - L_{F_0})] + k_a \exp[k_a(x_{a_0} - L_{F_0})] + (k_p + k_a) J_F$$

(4.1.31)

(4.1.32)

Valorile curente ale temperaturilor T_a și T_p se obțin prin rezolvarea simultană a ecuațiilor (4.1.31) și (4.1.32).

Se observă că în cadrul ecuației (4.1.32) a sistemului dat se poate exprima T_p în funcție de T_a prin integrarea ecuației prin metoda separării variabilelor.

Se va face următoarea notație:

$$A(t) = k_p \cdot J_F e^{k_p(x_p - L_{F_0})} + k_a \cdot J_F e^{k_a(x_{a_0} - L_{F_0})} + (k_a + k_p) J_F = A_1(t) + A_2(t) + A_3(t)$$

(4.1.33)

Cu notația făcută ecuația (4.1.32) se va scrie:

$$C_{p_0} \cdot C_p \frac{dT_p}{dt} + \rho_{a_0} \cdot C_a \frac{dT_a}{dt} = A(t) \cdot dt$$

(4.1.34)

Integrarea acestei ecuații se va face pentru următoarele condiții initiale:

$$\begin{array}{lll} t=0 & T_p = T_{p_0} & T_a = T_{a_0} \\ \text{tot} & T_p + T_p & T_a = T_a \end{array}$$

(4.1.35)

Din integrarea ecuației (4.1.34) pentru condițiile initiale (4.1.35) rezultă:

$$C_{p_0} \cdot C_p (T_p - T_{p_0}) + \rho_{a_0} \cdot C_a (T_a - T_{a_0}) = \int_0^t A(t) \cdot dt$$

(4.1.36)

sau

$$C_{p_0} \cdot C_p \cdot T_p + \rho_{a_0} \cdot C_a \cdot T_a = \int_0^t A(t) dt + C_{p_0} \cdot C_p \cdot T_{p_0} + \rho_{a_0} \cdot C_a \cdot T_{a_0}$$

(4.1.37)

De unde rezultă ($-T_p$)

$$(-T_p) = \frac{\rho_{a_0} \cdot C_a}{C_{p_0} \cdot C_p} \cdot T_a + \frac{1}{C_{p_0} \cdot C_p} \int_0^t A(t) dt + T_{p_0} + \frac{\rho_{a_0} \cdot C_a}{C_{p_0} \cdot C_p} T_{a_0}$$

(4.1.37)

-111-

Inlocuind T_p în (4.1.29) rezultă:

$$\rho_{a_0} \cdot C_a \frac{dT_a}{dt} = 4\pi r_p^2 n_p \alpha \left(T_a + \frac{\rho_{a_0} \cdot C_a}{C_p \cdot C_p} T_a - \frac{1}{C_p \cdot C_p} \int_0^t A(t) dt + T_p + \frac{\rho_{a_0} \cdot C_a}{C_p \cdot C_p} T_a \right) \quad (4.1.38)$$

Integrarea expresiei $A(t)$ se poate realiza numai dacă deplasarea particulelor x_p (dipă axa x) și deplasarea elementului de volum x_a , de lungime dx se exprimă în funcție de timp.

Din (4.1.33) expresia $A_1(t)$ este:

$$A_1(t) = k_{p_0} e^{k_p(x_{p_0} - L_{F_0})} \quad (4.1.39)$$

Din (3.1.19) deplasarea particulelor se poate scrie:

$$x_{p_0} = \int_0^t v_{px_0} dt = \int_0^t (v_s + v_x)(1 - e^{-\frac{q_0 t}{v_s}}) dt \quad (4.1.40)$$

Un alt element ce caracterizează mișcarea particulelor este aceleratia lor.

$$Q_{p_0} = \frac{dv_{px}}{dt} = \frac{d}{dt} (v_s + v_x)(1 - e^{-\frac{q_0 t}{v_s}}) = (v_s + v_x) \frac{q_0}{v_s} e^{-\frac{q_0 t}{v_s}} \quad (4.1.41)$$

sau

$$Q_{p_0} = q_0 \left(1 + \frac{v_x}{v_s}\right) e^{-\frac{q_0 t}{v_s}} \quad (4.1.42)$$

Coefficientul de absorbție a particulelor poate fi exprimat ca raportul dintre suma proiecțiilor particulelor și suprafața volumului unitar de amestec. Dacă se admite că secțiunea volumului unitar egal cu unitatea k_s va avea o valoare subunitară:

$$k_p = \frac{s_p}{s_u} \ll 1 \quad (4.1.43)$$

Integrarea expresiei $A_1(t)$ nu se poate realiza exact prin quadrate. Se va folosi pentru integrare o dezvoltare în serie.

Astfel, dacă se dezvoltă în serie expresia:

$$A_1(t) = k_{p_0} \bar{J}_F e^{k_{p_0}(x_{p_0} - L_{F_0})} \stackrel{-112-}{=} k_{p_0} \bar{J}_F \left[1 + \frac{k_{p_0}(x_{p_0} - L_{F_0})}{1!} + \frac{k_{p_0}^2(x_{p_0} - L_{F_0})^2}{2!} + \frac{k_{p_0}^3(x_{p_0} - L_{F_0})^3}{3!} + \dots \right] \quad (4.1.44)$$

ținind seama că $k_{p_0} \ll 1$, pentru calculele ce urmează se va păstra primul termen, celelalte pot fi neglijate datorită prezenței k_{p_0} la puteri mai mari de unu.

Inlocuind în $A_1(t)$ expresia lui x_{p_0} se obține:

$$A_1(t) = k_{p_0} \bar{J}_F \left\{ 1 + k_{p_0} (v_s - v_x) \left[1 + \frac{v_s}{q_0} \left(e^{-\frac{q_0 t}{v_s}} - 1 \right) \right] - k_{p_0} L_{F_0} \right\} \quad (4.1.45)$$

Expresia $A_1(t)$ se integrează și rezultă:

$$\begin{aligned} B_1(t) &= \int_0^t A_1(t) dt = k_{p_0} \bar{J}_F \int_0^t \left\{ 1 + k_{p_0} (v_s - v_x) \left[t + \frac{v_s}{q_0} \left(e^{-\frac{q_0 t}{v_s}} - 1 \right) \right] - k_{p_0} L_{F_0} \right\} dt = \\ &= k_{p_0} \bar{J}_F \left\{ t + k_{p_0} (v_s + v_x) \left[\frac{t^2}{2} - \frac{v_s^2}{q_0^2} \left(e^{-\frac{q_0 t}{v_s}} - 1 \right) \right] - \frac{v_s}{q_0} t - k_{p_0} L_{F_0} t \right\} = \\ &= k_{p_0} \bar{J}_F \left\{ k_{p_0} (v_s + v_x) \left[\frac{t^2}{2} - \frac{v_s^2}{q_0^2} \left(e^{-\frac{q_0 t}{v_s}} - 1 \right) \right] + \left(1 - \frac{v_s}{q_0} - k_{p_0} L_{F_0} \right) t \right\} \end{aligned} \quad (4.1.46)$$

Expresia $A_2(t)$ este:

$$A_2(t) = k_{a_0} \bar{J}_F e^{k_{a_0}(x_{a_0} - L_{F_0})} \quad (4.1.47)$$

Parcursul realizat de volumul elementar se obține cu relație:

$$x_{a_0} = \int_0^t v_{x_0} dt = v_{x_0} t \quad (4.1.48)$$

v_{x_0} nu depinde de timp, viteza intr-un punct al jetului este determinată de poziția punctului.

Inlocuind expresia x_{a_0} în $A_2(t)$ și integrând se obține:

$$\begin{aligned} B_2(t) &= \int_0^t k_{a_0} \bar{J}_F e^{k_{a_0}(v_{x_0} t - L_{F_0})} dt = k_{a_0} \bar{J}_F \cdot \frac{1}{k_{a_0} v_{x_0}} \left[e^{k_{a_0}(v_{x_0} t - L_{F_0})} - e^{-k_{a_0} L_{F_0}} \right] = \\ &= \bar{J}_F \frac{e^{-k_{a_0} L_{F_0}}}{v_{x_0}} \left[e^{k_{a_0} v_{x_0} t} - 1 \right] \end{aligned} \quad (4.1.49)$$

-113-

Al treilea termen din (4.1.33) $A_3(t) = (k_{a_0} + k_{p_0}) I_r$ se integrează și se obține:

$$B_3(t) = \int_0^t A_3(t) \cdot dt = (k_{a_0} + k_{p_0}) I_r \cdot t \quad (4.1.50)$$

Dacă se admite ipoteza că viteza particulelor este egală cu viteza gazului, eroarea fiind foarte mică întrucât după un timp foarte scurt viteza norului de particule se apropie asimptotic de viteză fluidului portant, integrarea funcției $A_1(t)$ se realizează mai ușor. În acest caz:

$$v_{x_p} = v_{x_a} \text{ și } x_p = x_a \quad (4.1.51)$$

Astfel, expresia $A_1(t)$ va fi:

$$A_1(t) = k_{p_0} \cdot J_F \cdot e^{k_p(x_{a_0} - L_F)} \quad (4.1.52)$$

Se integrează și se obține

$$\begin{aligned} B_1(t) &= \int_0^t k_p \cdot J_F \cdot e^{k_p(x_{a_0} - L_F)} dt = \int_0^t k_p \cdot J_F \cdot e^{k_p(v_{x_a} \cdot t - L_F)} dt = \\ &= -k_p \cdot J_F \cdot \frac{1}{k_p \cdot v_{x_a}} (e^{k_p(v_{x_a} t - L_F)} - e^{-L_F}) = J_F \frac{e^{-L_F}}{v_{x_a}} (e^{k_p v_{x_a} t} - 1) \end{aligned} \quad (4.1.53)$$

Parcursul elementului de volum încărcat cu particule rezultă din:

$$x_a = \int_0^t v_{x_0} \cdot dt = v_{x_0} \cdot t \quad (4.1.54)$$

Care înlocuit în expresia (4.1.52) permite integrarea

In continuare, la rezolvarea sistemului de ecuații diferențiale se va folosi această ipoteză. Astfel, expresia lui $A_1(t)$ va lua forma:

$$A_1(t) = A_1^*(t) + A_2(t) + A_3(t) \quad (4.1.55)$$

și integrarea aceluii funcții în raport de timp t conduce la:

$$\begin{aligned}
 B'(t) - \int_0^t A(t) dt &= \int_0^t A'_1(t) dt + \int_0^t A'_2(t) dt + \int_0^t A'_3(t) dt = \\
 &= J_F \frac{e^{-L_F}}{V_{x_0}} (e^{k_p \cdot V_{x_0} \cdot t} - 1) + J_F \frac{e^{-L_F}}{V_{x_0}} (e^{k_a \cdot V_{x_0} \cdot t} - 1) + (k_a + k_p) J_F t = \\
 &= J_F \frac{e^{-L_F}}{V_{x_0}} \left[(e^{k_p \cdot V_{x_0} \cdot t} + e^{k_a \cdot V_{x_0} \cdot t} - 2) \right] + (k_p + k_a) J_F t
 \end{aligned}$$

(4.1.56)

Inlocuind (3.1.37) în (3.1.31) se obține:

$$S_{a_0} \cdot C_a \frac{dT_a}{dt} = 4\pi r_p^2 \cdot n_0 \cdot \alpha \left(1 + \frac{S_{a_0} \cdot C_a}{C_{p_0} \cdot C_p} \right) T_a + \frac{4\pi r_p^2 n_p \alpha}{C_{p_0} \cdot C_p} \int_0^t A'(t) dt + 4\pi r_p^2 n_p \alpha \left(T_p + \frac{S_{a_0} \cdot C_a}{C_{p_0} \cdot C_p} \cdot T_{a_0} \right) \quad (4.1.57)$$

Se face notația:

$$F_p = 4\pi r_p^2 \cdot n_0 \quad (4.1.58)$$

Cu aceasta rezultă:

$$\frac{dT_a}{dt} = \frac{F_p}{S_{a_0} \cdot C_a} \alpha \left(1 + \frac{S_{a_0} \cdot C_a}{C_{p_0} \cdot C_p} \right) T_a + \frac{F_p \alpha}{C_{p_0} \cdot C_p \cdot S_{a_0} \cdot C_a} \cdot B'(t) + \frac{F_p \alpha}{S_{a_0} \cdot C_a} \left(T_p + \frac{S_{a_0} \cdot C_a}{C_{p_0} \cdot C_p} \cdot T_{a_0} \right) \quad (4.1.59)$$

In vederea simplificării expresiei (4.1.59) notăm cu

$$N = \frac{1}{S_{a_0} \cdot C_a} \cdot \left(1 + \frac{S_{a_0} \cdot C_a}{C_{p_0} \cdot C_p} \right) \quad (4.1.60)$$

$$M = \frac{1}{S_{a_0} \cdot C_a} \left(T_p + \frac{S_{a_0} \cdot C_a}{C_{p_0} \cdot C_p} \cdot T_{a_0} \right)$$

se obține

$$\frac{dT_a}{dt} - \alpha \cdot F_p \cdot N \cdot T_a = \frac{F_p \alpha}{C_{p_0} \cdot C_p \cdot S_{a_0} \cdot C_a} \cdot B'(t) + F_p \alpha \cdot M \quad (4.1.61)$$

Ecuația diferențială obținută este de ordinul întîi lineară, de forma:

$$y' + P(x)y = Q(x) \quad (4.1.62)$$

Soluția generală a acestei ecuații diferențiale este:

$$y = e^{\int P(x) dx} \left[C + \int Q(x) \cdot e^{-\int P(x) dx} dx \right] \quad (4.1.63)$$

Scriind pentru ecuația (4.1.61) soluția generală, rezultă:

$$T_2 = e^{-\int \alpha \cdot F_p \cdot N \cdot dt} \left[C + \int \frac{F_p \cdot \alpha}{C_p \cdot C_p \cdot S_a \cdot C_a} \cdot B'(t) + F_p \cdot \alpha \cdot M \right] e^{\int \alpha \cdot F_p \cdot N \cdot dt} dt \quad (4.1.64)$$

După efectuarea operațiilor se obține:

$$\begin{aligned} T_2 &= e^{-\alpha \cdot F_p \cdot N \cdot t} \left[C + \int \frac{F_p \alpha}{C_p \cdot C_p \cdot S_a \cdot C_a} \cdot B'(t) \cdot e^{\alpha \cdot F_p \cdot N \cdot t} dt + \int F_p \cdot \alpha \cdot M \cdot e^{\alpha \cdot F_p \cdot N \cdot t} dt \right] = \\ &= e^{-\alpha \cdot F_p \cdot N \cdot t} \left\{ C + \frac{F_p \alpha}{C_p \cdot C_p \cdot S_a \cdot C_a} \left[\frac{e^{(k_p \cdot V_x + \alpha \cdot F_p \cdot N)t}}{k_p \cdot V_x + \alpha \cdot F_p \cdot N} + \frac{e^{(k_a \cdot V_x + \alpha \cdot F_p \cdot N)t}}{k_a \cdot V_x + \alpha \cdot F_p \cdot N} - \frac{2}{\alpha \cdot F_p \cdot N} e^{\alpha \cdot F_p \cdot N \cdot t} \right] \right. \\ &\quad \left. + \frac{J_F \cdot e^{-L_F}}{V_x} + \frac{F_p \alpha}{C_p \cdot C_p \cdot S_a \cdot C_a} [(k_p + k_a)] J_r \frac{e^{\alpha \cdot F_p \cdot N \cdot t}}{\alpha \cdot F_p \cdot N} \left(t - \frac{1}{\alpha \cdot F_p \cdot N} \right) + \frac{F_p \alpha \cdot M}{F_p \alpha \cdot N} e^{\alpha \cdot F_p \cdot N \cdot t} \right] \quad (4.1.65) \end{aligned}$$

Constanta C se obține dacă ecuația se transcrie pentru condiții initiale, cind ia

$$t=0 \quad T_2 = T_{20} \quad (4.1.66)$$

Din această condiție rezultă:

$$\begin{aligned} C &= T_{20} - \left\{ \frac{F_p \alpha}{C_p \cdot C_p \cdot S_a \cdot C_a} \left[\frac{1}{k_p \cdot V_x + \alpha \cdot F_p \cdot N} + \frac{1}{k_a \cdot V_x + \alpha \cdot F_p \cdot N} - \frac{2}{\alpha \cdot F_p \cdot N} \right] \frac{J_F e^{-L_F}}{V_x} - \right. \\ &\quad \left. - \frac{F_p \alpha}{C_p \cdot C_p \cdot S_a \cdot C_a} (k_p + k_a) J_r \frac{1}{(\alpha \cdot F_p \cdot N)^2} + \frac{M}{N} \right\} \quad (4.1.67) \end{aligned}$$

Inlocuind constante în relație (4.1.65) se obține:

$$\begin{aligned} T_2 &= e^{-\alpha \cdot F_p \cdot N \cdot t} \left\{ T_{20} + \frac{F_p \alpha}{C_p \cdot C_p \cdot S_a \cdot C_a} \left[\frac{e^{(k_p \cdot V_x + \alpha \cdot F_p \cdot N)t} - 1}{k_p \cdot V_x + \alpha \cdot F_p \cdot N} + \frac{e^{(k_a \cdot V_x + \alpha \cdot F_p \cdot N)t} - 1}{k_a \cdot V_x + \alpha \cdot F_p \cdot N} - \frac{2}{\alpha \cdot F_p \cdot N} e^{\alpha \cdot F_p \cdot N \cdot t} - 1 \right] \right. \\ &\quad \left. + \frac{J_F e^{-L_F}}{V_x} + \frac{F_p \alpha}{C_p \cdot C_p \cdot S_a \cdot C_a} (k_p + k_a) J_r \frac{e^{\alpha \cdot F_p \cdot N \cdot t}}{\alpha \cdot F_p \cdot N} t + \frac{M}{N} (e^{\alpha \cdot F_p \cdot N \cdot t} - 1) \right\} \quad (4.1.68) \end{aligned}$$

Temperatura particulei în suspensie se obține din relație

(4.1.31):

$$\begin{aligned}
 T_p &= -\frac{\beta_{20} \cdot C_a}{C_{p0} \cdot C_p} T_a - \left[\frac{1}{C_{p0} \cdot C_p} \int_0^t \lambda(t) dt + T_{p0} + \frac{\beta_{20} \cdot C_a}{C_{p0} \cdot C_p} T_{20} \right] = \\
 &= -\frac{\beta_{20} \cdot C_a}{C_{p0} \cdot C_p} e^{-\alpha F_p N t} \left\{ T_{20} + \frac{F_p \alpha}{C_{p0} \cdot C_p \cdot \beta_{20} \cdot C_a} \left[\frac{e^{(k_p \cdot V_x + \alpha F_p N)t} - 1}{k_p \cdot V_x + \alpha F_p N} + \frac{e^{(k_p \cdot V_x + \alpha F_p N)t}}{k_a \cdot V_x + \alpha F_p N} \right. \right. \\
 &\quad \left. \left. - 2 \frac{e^{\alpha F_p N t} - 1}{\alpha F_p N} \right] J_F e^{-L_F} + \frac{F_p \alpha}{C_{p0} \cdot C_p \cdot \beta_{20} \cdot C_a} (k_p + k_a) J_r \frac{e^{-\alpha F_p N t}}{\alpha F_p N} + \frac{M}{N} (e^{\alpha F_p N t} - 1) - \right. \\
 &\quad \left. - \frac{1}{C_{p0} \cdot C_p} \left[J_F \frac{e^{-L_F}}{V_x} (e^{k_p \cdot V_x \cdot t} + e^{k_a \cdot V_x \cdot t} - 2) \right] - \frac{1}{C_{p0} \cdot C_p} (k_p + k_a) J_r \cdot t - \beta_{20} \cdot C_a \cdot N \right\}
 \end{aligned}$$

(4.1.69)

Din analiza factorilor ce influențează schimbul calorice din jetul portant, rezultă că, încălzirea particulelor pînă (la descompunere) la eprindere este influențată important de suprafața specifică a particulelor și de coeficientul global convectiv.

Coefficientul global convectiv, este condiționat de grosimea stratului limită care se formează în jurul particulelor.

Schimbul de căldură prin radiație între particule solide-flecără și pereții turnului nu este influențat de grosimea stratului limită, în perioada de încălzire, decarece în acest timp gazele continute în stratul limită sunt diatermale față de radiatiile termice.

Din analiza făcută se desprinde concluzia că, viteza de încălzire a particulelor solide în suspensie crește prin asigurarea unor condiții hidrodinamice care să conducă la o viteză relativă între gaz-particulă, care în condițiile date este factorul principal de intensificare a proceselor de transport din care face parte și fază de încălzire.

4.2.1. Aprinderea și arderea particulelor de concentrat sulfur

Cunoscând procesele hidrodinamice și de schimb de căldură, din jetul încăroat cu concentrat cupros, este posibil să se calculeze elementele ce condiționează procesul de ardere. În cazul arderei concentratului, în gazul purtător, se poate considera pe lîngă formă sferică a particulelor că viteza specifică a procesului eterogen este determinată de viteza de descompunere a sulfatilor superioiri în sulfuri inferioare după reacție:



Incepîndul procesului de descompunere a sulfurilor superioiri se situează la nivelul flăcării, și se continuă pînă la terminarea degajării sulfului. Durata de desfășurare a procesului de descompunere va duce la formarea unei zone în care are loc arderea sulfului gason. Viteza de ardere a sulfului, după literatură de specialitate [29] reprezentată o reacție de ordinal I, este mai mare decît viteza de descompunere termică a sulfurii, care prin evaluarea curbelor termogravimetrice poate fi exprimată ca relație:

$$\frac{d w_T}{d t} = 0,92 \cdot e^{-\frac{-4,65}{T}} (w_\infty - w_T)^{-0,862} \quad (4.2.2)$$

nu va influența desfășurarea procesului, aceasta fiind determinată de viteza de descompunere a sulfurilor.

Termoderivatograma, care a fost baza stabilirii ecuației cinetice (4.2.2) a fost ridicată cu o viteză de încălzire $\alpha = 10 \frac{\text{K}}{\text{min}}$. Aceea se înseamnă în între temperaturile realizate și timp există relație

$$T = \alpha \cdot t \quad (4.2.3)$$

Din aceasta urmăresc

$$\frac{dt}{dT} = 0,6t \quad \frac{d\frac{T}{dt}}{dT} = e^{-\frac{4,65}{T_p M}} \quad (4.2.4)$$

Introducind (4.2.4) în (4.2.2) se obține relația:

$$\frac{D \frac{w_T}{dt}}{dt} = 0,52 \quad \frac{dt}{dT} = e^{-\frac{4,65}{T_p M}} (w_\infty - w_T)^{-0,862} \quad (4.2.5)$$

în care:

w_∞ - este cantitatea de substanță care întâia în reacție desfășurându-și unei trepte de transformare;

w_T - cantitatea de substanță care a intrat în reacție pînă la un anumit moment dat;

t - durata desfășurării procesului.

Ecuația cinetică (4.2.2) aplicată într-un proces de- recare, unde nu se cunoscă viteza de încălzire poate fi rezolvată numai în cazul cînd, se admite o temperatură medie de desfășurare a procesului.

Temperaturile limite între care se realizează acest proces, se cunosc din termodinamica reacției, putînd fi cîtite cu suficientă exactitate (în cînd este caracteristic procesului realizat) pentru diferite compoziții de concentrație. Cunoscerea temperaturilor limite permite determinarea unei medii prin utilizarea limitelor. Se va introduce în continuare temperatura medie a particulelor:

$$T_{pm} = \frac{T_\alpha + T_\infty}{2} \quad (4.2.6)$$

Cu această precizie relația cinetică (4.2.2) se transformă în:

$$\frac{d \frac{w_T}{dt}}{dt} = 0,52 \quad \frac{dt}{dT} = e^{-\frac{4,65}{T_p M}} (w_\infty - w_T)^{-0,862} \quad (4.2.7)$$

Din (4.2.5) se poate exprima ($\frac{dT_p}{dt}$)

$$\frac{dT_p}{dt} = \frac{1}{0,52} \cdot e^{\frac{-465}{T_p m}} (w_{\infty} - w_T)^{-0,862} \frac{dw_T}{dt} \quad (4.28)$$

w_t - nu depinde de timp, gradul de transformare a substanței este determinat de temperatura sa.

Cu această derivată ecuația (4.2.8) se va putea scrie sub altă formă și se va putea integra:

$$dT_p = \frac{1}{0,52} \cdot e^{\frac{-465}{T_p m}} (w_{\infty} - w_T)^{-0,862} dw_T \quad (4.29)$$

Integrarea se va realiza în limitele de temperatură determinat de începutul reacției și de o valoare curentă a temperaturii:

$$(4.210)$$

de unde

$$T_p - T_{p_{\infty}} = \frac{1}{0,52} \cdot e^{\frac{-465}{T_p m}} \left[\frac{1}{1,862} (w_T - w_{\infty})^{1,862} + w_{\infty}^{1,862} \right] \quad (4.2.11)$$

Din această relație se poate exprima gradul de transformare a sulfurilor, în funcție de temperatură:

$$w_T - w_{\infty} = \left\{ 1,862 \left[(T_p - T_{p_{\infty}}) 0,52 \cdot e^{\frac{-465}{T_p m}} - w_{\infty}^{1,862} \right] \frac{1}{1,862} \right\} \quad (4.2.12)$$

sau, gradul de transformare pînă la o temperatură dată va fi:

$$w_T - w_{\infty} = \left\{ 1,862 \left[(T_p - T_{p_{\infty}}) 0,52 \cdot e^{\frac{-465}{T_p m}} - w_{\infty}^{1,862} \right] \frac{1}{1,862} \right\} \quad (4.2.13)$$

Gradul de transformare a concentratului cupros este marimea care va determina temperatură în jetul încărcat cu particule solide. Gradul de transformare a concentratului depinde însă de temperatură particulelor. Așa cum și în perioada de încălzire, și în

această perioadă căldura necesară începerii și dezvoltării reacțiilor chimice pe suprafață și în interiorul particulelor de concentrat se primește de la gazul purtător, în care s-a difuzat (amestecat) sulful degejat la disocierea termică a concentratului sulfuros.

Stabilitatea procesului și dezvoltarea în continuare a reacțiilor chimice, sunt condiționate într-un mod important și tot timpul, cît are loc procesul, de viteza de transfer calorice, între gazul portant și particula în suspensie.

Intr-un flux de comburant (mediu oxidant), ce adună particule de concentrat sulfuros, procesul de reacție este însoțit de o reducere a concentrației gazelor oxidente și a conținutului de sulf a concentratului cupros.

Sulful gazos, rezultat din disocierea concentratului, arde cu oxigenul din curentul portant și în mod aproape exclusiv ceeaază energia se de reacție gazului portant ridicând temperatură acestuia proporțional cu viteza reacției chimice.

Din energia fizică a gazului portant se transferă, paralel cu procesele de reacție, o parte particulelor solide de concentrat (în suspensie) prin convecție și radiacție.

Efectul radiacției asupra procesului de încălzire a particulei se va exprima printr-un coeficient de convecție echivalent a radiacției ce se va nota cu α_r . Coeficientul α_r se determină din echivalarea căldurii transferate prin radiacție cu căldura de convecție (pentru aceleasi limite a temperaturii gazului și solidului):

$$\alpha_r = \frac{q_r}{(t_{ax} - t_{px})} \quad (4.2.14)$$

unde:

α_r - este coeficientul de convecție echivalent;

q_r - densitatea căldurii de radiacție;

t_{ax} - temperatura gazului portant;

t_{px} - temperatura particulei.

Căldura rezultată din procesul chimic servește la ridicarea temperaturii gazului portant, și paralel (ca o consecință a diferenței de temperatură între gaz și particulă) și la creșterea temperaturii particulelor solide în suspensie. Acest bilanț se poate transpune în următoarea ecuație de schimb termic (raportat la o unitate din volumul de mestec din jet):

$$C_{p_0} \cdot C_p \cdot \frac{dT_{p\alpha}}{dt} + S_a \cdot C_a \frac{dT_{\alpha}}{dt} = h_i \frac{dW T_0}{dt} \quad (4.2.15)$$

în care:

$T_{p\alpha}$ - temperatura particulei;

T_{α} - temperatura curentă a gazului portant din jet;

W_{T_0} - cantitatea de sulf ars din concentrația de concentrat;

h_i - energia de reacție.

O a doua relație a bilanțului termic este ecuația convecției termice între particulele solide și gaz portant, prin care se realizează acumularea energiei termice în particule purtate:

$$S_o \cdot C_o \cdot \frac{dT_{\alpha}}{dt} = 4\pi r^2 n \cdot (\alpha_c + \alpha_y) (T_{\alpha} - T_{p\alpha}) \quad (4.2.16)$$

unde:

dT_{α} - variația temperaturii gazului portant;

α_c, α_y - coeficient de convecție real și echivalent;

r - raza particulei;

n - numărul particulelor dintr-un volum unitar pentru condițiile inițiale de temperatură.

Ecuțiile diferențiale (4.2.8), (4.2.15) și (4.2.16) oferă instrumentul teoretic, pentru cunoașterea temperaturii jetului și a particulelor purtate la diferite nivele ale turnului de reacție.

Cele trei ecuații (4.2.8), (4.2.15) și (4.2.16) formeză un sistem, prin rezolvarea căruia temperaturile T_e și T_p pot fi exprimate în funcție de timpul parcurs, de la intrarea particulelor de concentrat în turnul de reacție.

Deci sistemul de ecuații diferențiale este format din ecuațiile:

$$\left\{ \begin{array}{l} -\frac{dT_{p\alpha}}{dt} = \frac{1}{0,52} \cdot \frac{465}{Tpm} (W_\infty - W_T)^{-0,862} \cdot \frac{dW_T}{dt} \\ C_{p_0} \cdot c_{p_0} \frac{dT_{p\alpha}}{dt} = 4\pi r^2 \cdot n_0 (\alpha_c + \alpha_p) (T_{a\alpha} - T_{p\alpha}) \\ C_{p_0} \cdot c_p \frac{dT_{p\alpha}}{dt} + \beta_2 \cdot c_{a_0} \frac{dT_{a\alpha}}{dt} = h_1 \frac{dW_T}{dt}. \end{array} \right. \quad \begin{array}{l} (4.2.17) \\ (4.2.18) \\ (4.2.19) \end{array}$$

Soluția ecuației (4.2.17) se va înlocui în (4.2.18) răcindu-se următoarele notări:

$$\begin{aligned} F_p &= 4\pi r^2 \cdot n_0 \\ \text{și} \quad \alpha_C &= (\alpha_c + \alpha_p) \end{aligned} \quad (4.2.20)$$

cum se obține relația:

$$C_{p_0} \cdot c_{p_0} \frac{dT_{p\alpha}}{dt} = F_p \cdot \alpha_C (T_{a\alpha} - T_{p\alpha}) \quad (4.2.18')$$

Din sistemul de ecuație diferențiale, ultima relație se poate scrie sub forma:

$$C_{p_0} \cdot c_p \frac{dT_{p\alpha}}{dt} + \beta_2 \cdot c_{a_0} \frac{dT_{a\alpha}}{dt} = h_1 \cdot \frac{dW_T}{dT_{p\alpha}} \cdot \frac{dT_{p\alpha}}{dt} \quad (4.2.21)$$

sau

$$(C_{p_0} \cdot c_p - h_1 \frac{dW_T}{dT_{p\alpha}}) \frac{dT_{p\alpha}}{dt} + \beta_2 \cdot c_{a_0} \frac{dT_{a\alpha}}{dt} = 0 \quad (4.2.22)$$

In capitolul 8 s-a determinat expresia vitezei de descompunere a concentratului, care este:

$$\frac{dW_T}{dT_{p\alpha}} = 0,52 \cdot \frac{-465}{Tpm} (W_\infty - W_T)^{-0,862} \quad (4.2.23)$$

aceasta este independent de timp, se consideră că are proprietățile unei constante (în raport cu timpul) și permite integrarea ecuației (4.2.22), care se face în limitele $T_{p\alpha_0}, T_{p\alpha}$ și $T_{a\alpha_0}, T_{a\alpha}$ pentru

$t=t_{\infty}$ și $t=t_{\alpha}$.

După integrarea (4.2.22) rezultă:

$$(C_{p_0} \cdot c_p - h_i \frac{dW_T}{dT_p})(T_{p_{\infty}} - T_{p_{\alpha}}) + S_{a_0} \cdot C_{a_0} (T_{a_{\infty}} - T_{a_{\alpha}}) = 0 \quad (4.2.24)$$

Din relația (4.2.23) rezultă:

$$T_{p_{\infty}} - T_{p_{\alpha}} = \frac{s_0 \cdot C_{a_0}}{C_{p_0} \cdot c_p - h_i \frac{dW_T}{dT_p}} (T_{a_{\infty}} - T_{a_{\alpha}}) \quad (4.2.25)$$

sau pentru temperatura curentă a particulei se poate scrie relația:

$$T_p = \frac{C_{p_0} \cdot c_p - h_i \frac{dW_T}{dT_p}}{S_{a_0} \cdot C_{a_0}} (T_p - T_{p_0}) + T_{a_0} \quad (4.2.26)$$

Includând valoarea obținută pentru T_p din (4.2.18) rezultă

expresia:

$$C_{p_0} \cdot c_p \frac{dT_p}{dt} = F_p \alpha_z \left[\frac{C_{p_0} \cdot c_p - h_i \frac{dW_T}{dT_p}}{S_{a_0} \cdot C_{a_0}} (T_{p_{\infty}} - T_{p_{\alpha}}) + T_{a_0} - T_p \right] \quad (4.2.27)$$

sau

$$C_{p_0} \cdot c_p \frac{dT_{p_{\alpha}}}{dt} = F_p \alpha_z \left[\left(\frac{C_{p_0} \cdot c_p - h_i \frac{dW_T}{dT_{p_{\alpha}}}}{S_{a_0} \cdot C_{a_0}} - 1 \right) T_{p_{\alpha}} + \left(T_{a_0} - \frac{C_{p_0} \cdot c_p - h_i \frac{dW_T}{dT_{p_{\alpha}}}}{S_{a_0} \cdot C_{a_0}} T_{p_{\alpha}} \right) \right] \quad (4.2.19)$$

și dacă se face notația

$$N = \frac{C_{p_0} \cdot c_p - h_i \frac{dW_T}{dT_{p_{\alpha}}}}{S_{a_0} \cdot C_{a_0}} \quad (4.2.20)$$

Cu notația (4.2.20) ecuația (4.2.19) se transformă în:

$$C_{p_0} \cdot c_p \frac{dT_{p_{\alpha}}}{dt} = F_p \alpha_z \left[(N_{\alpha} - 1) T_p - N_{\alpha} T_{p_0} + T_{a_0} \right] \quad (4.2.21)$$

sau

$$\frac{dT_{p_{\alpha}}}{dt} - \frac{F_p \alpha_z}{C_{p_0} \cdot c_p} (N_{\alpha} - 1) T_p = \frac{F_p \alpha_z}{C_{p_0} \cdot c_p} (T_{a_0} - N_{\alpha} T_{p_0}) \quad (4.2.22)$$

Ecuație diferențială (4.2.22) este o ecuație diferențială de ordinul întâi, liniară, soluția căruia este:

$$T_p = e^{\int \frac{F_p \cdot \alpha_c}{C_{p_0} \cdot C_p} (N\alpha - 1) dt} \left[C + \int \frac{F_p \cdot \alpha_c}{C_{p_0} \cdot C_p} (T_{2_0} - N\alpha T_{p_0}) e^{-\int \frac{F_p \alpha_c}{C_{p_0} \cdot C_p} (N\alpha - 1) dt} dt \right] \quad (4.2.23')$$

$$= e^{\frac{F_p \alpha_c}{C_{p_0} \cdot C_p} (N\alpha - 1) t} \left[C - \frac{F_p \cdot \alpha_c}{C_{p_0} \cdot C_p} (T_{2_0} - N\alpha \cdot T_{p_0}) \frac{C_{p_0} \cdot C_p}{F_p \cdot \alpha_c (N\alpha - 1)} e^{-\frac{F_p \alpha_c}{C_{p_0} \cdot C_p} (N\alpha - 1) t} \right] \quad (4.2.24)$$

Utilizind condiția inițială:

$$t = t_{\alpha_0}, \quad T_{p_{\alpha_0}} = T_{p_0}, \quad (4.2.25)$$

se obține expresia constantei de integrare C_p care este:

$$C = T_{p_0} e^{-\frac{F_p \alpha_c}{C_{p_0} \cdot C_p} t_{\alpha_0}} + \frac{F_p \alpha_c}{C_{p_0} \cdot C_p} (T_{2_0} - N\alpha \cdot T_{p_0}) \frac{C_{p_0} \cdot C_p}{F_p \alpha_c (N\alpha - 1)} \quad (4.2.26)$$

Inlocuind valoarea constantei C (4.2.26) în (4.2.24) se obține expresia pentru temperatură curentă T_p sub forma:

$$T_p = T_{p_0} \alpha \frac{F_p \alpha_c (N\alpha - 1) (t_{\alpha} - t_{\alpha_0})}{C_{p_0} \cdot C_p} + \frac{F_p \alpha_c}{C_{p_0} \cdot C_p} (T_{2_0} - N\alpha \cdot T_{p_0}) \frac{C_{p_0} \cdot C_p}{F_p \alpha_c (N\alpha - 1)} \cdot \left[e^{-\frac{F_p \alpha_c}{C_{p_0} \cdot C_p} (N\alpha - 1) t_{\alpha}} - e^{\frac{F_p \alpha_c}{C_{p_0} \cdot C_p} (N\alpha - 1) t_{\alpha_0}} \right] \quad (4.2.27)$$

Relația dintre viteza gazului portant și spațiul parcurs de gazul portant (după ce aceasta părăsește secțiunea de ieșire a erațorului de concentrare) permite calcularea temperaturii particulelor purtate, în diferitele secțiuni ale turnului de reacție.

Expressia spațiului parcurs de gazul portant în funcție de tipm, este:

$$d x_a = v_{x_a} dt \quad (4.2.28)$$

sau

$$x_{2_0} = \int_{t_{\alpha_0}}^{t_{\alpha}} v_{x_a} dt = v_{x_a} (t_{\alpha} - t_{\alpha_0}) \quad (4.2.29)$$

Temperatura gazului portant în zone II (de descompunere a concentratului cupros) se obține din relația (4.2.19) prin înlocuirea în această expresie a temperaturii T_{p_α} :

$$T_{g_\alpha} - T_{g_\alpha} = \frac{h_1}{g_a \cdot C_a} \cdot w_T - \frac{C_{p_0} \cdot C_p}{g_a \cdot C_a} (T_{p_\alpha} - T_{p_\alpha}) \quad (4.2.30)$$

Cantitatea de concentrat descompus în funcție de temperatură particulei, este dată de relația (4.2.13):

$$w_T = w_\infty + \left\{ 1,862 \left[(T_{p_\alpha} - T_{p_\alpha}) 0,52 e^{\frac{-4,65}{T_p m}} - \frac{1,862}{w_\infty} \right]^{1,862} \right\} \quad (4.2.31)$$

Viteza de descompunere a concentratului cupros se determină din fig. 2.3.2, obținută din termoderivatogramă, ca o valoare medie pentru treapta de transformare luate în intervalul de temperatură corespunzător. Dacă suprafața planimetrică este ΔS_T și intervalul de temperatură $T_2 - T_1$ viteză medie de transformare este:

$$q_m = \left(\frac{\partial w_T}{\partial T_p} \right)_m = \frac{\Delta S_T}{T_2 - T_1} \quad (4.2.32)$$

care înlocuit în expresia N_α (4.2.20) permite calcularea temperaturii particulelor din jetul portant pentru diferite cote ale turnului de reacție, de asemenea prin relația (4.2.22) permite și calculul temperaturii gazului portant format din SO_2 și oxigen.

Schimbările convective de căldură sunt un element caracteristic tehnologiei de topire (în condițiile date) factorul principal privind viteza de desfășurare a procesului.

Cum se poate observa, și în faza de încălzire și și în faza de descompunere termică viteza de creștere a temperaturii este dependență de doi parametri importanți: suprafața specifică a particulelor și coeficientul convectiv global. Influențele acestora intervin sub forma exponentială în relațiile de calcul a temperaturii particulelor și a gazului portant.

modificarea corespunzătoare a acestor parametri permite asigurarea unei conduceri corecte a procesului de producție și poate servi ca un element important în intensificarea procesului tehnologic de topire a contractelor cuproaste.

Din considerente de ordin tehnologic, suprafața specifică F_p a particulelor solide nu se poate modifica întotdeauna, care este rezultat al procesului tehnologic anterior (gradul de măcinare înaintea procesului tehnologic de flotare) și o modificare a granulometriei concentratului ar necesita consumuri importante de energie suplimentară. În următoarele coeficientul de convecție global, rămâne ca principalul factor prin care se va putea realiza modificarea intensității procesului, în jetul încărcat cu particule în suspensie.

Modificarea coeficientului termic convectiv, în procesele de schimb realizate în jetul încărcat cu particule solide, precum și direcția modificării acestuia, este dependență de condițiile concrete în care are loc procesul dată direcția în care se orientează desfășurarea procesului, diferența de temperatură dintre gazul portant cald și particulele solide, geometria particulelor în suspensie, densitatea fluidului portant constituind tot atâtva mărimi care influențează schimbul global de căldură în jetul cilindric realizat în turnul de reacție.

În zona a II-a a jetului, rolul principal privind intensitatea procesului de descompunere, revine vitezei de transfer calorice.

4.3.1. Încălzirea particulelor solide în perioada începerii topirii și în timpul oxidării sulfurilor simple
(zona III-IV)

În a treia zonă de încălzire ($973-1173$)⁰K , și cea de a IV-a ($1173-1673$)⁰K - , după cum rezultă din literatura de specialitate [3] - pe suprafața granulelor apar topiri parțiale în special la colțuri care cu creșterea temperaturii se extind și acoperă toată suprafața particulei. Prin apariția noii faze (lichide) porozitatea granulelor scade brusc reducând proprietățile difuzive ale substanței.

Viteza întregului proces de reducere a sulfurilor superioare cît și viteza de oxidare a sulfurilor inferioare sunt determinate de viteza de difuziune, pe de o parte a sulfului gazos din particula încălită în sprijn exterior, pe de altă parte de viteza de difuziune a oxigenului din mediul portant spre particule solide în suspensie.

Se cunoaște faptul că în cazul difuziei în materialele compacte (dacă viteza reacției este cu mult mai mare ca și a difuziei), viteza globală a reacției este determinată de viteza difuziunii.

Dacă volumul molar al substanței care reacționează $V_{m,t}$ nu este egală cu volumul molar $V_{m,t}$ a produsului obținut, atunci în particulele de concentrat, care în starea lor inițială au raza r_0 , după scurgerea unui anumit timp, substanța corespunzătoare reacției cu raza r_1 încă nu a reacționat cu substanța care difuzează, și produsul rezultat acoperă substanța nerezacționată, cu un strat ce are grosimea r_2-r_1 . În acest caz, în baza legii I-a a lui Fick, viteza modificării volumului molar se poate scrie ca relație:

$$V_{mol} = \pi r^2 \cdot \pi \cdot n_0 \frac{\partial C}{\partial r} \quad (4.3.1)$$

din care rezultă:

$$V_{mol} \int_{r_2}^{r_1} dr = - D \cdot 4 \pi \cdot n_0 \int_{C_s}^{C_m} dc \quad (4.3.2)$$

în care:

v_{mol} = viteză variației volumului molar;

r = rază curentă a frontului reacției;

D = coeficientul de difuzie pentru fază considerată;

n_0 = numărul inițial de particule din volumul unitar;

C_{om} = concentrația medie a reactantului pe suprafața particulei în perioada desfășurării

treptei de transformare;

C_s = concentrația reactantului pe suprafață de reacție.

Dacă viteză reacției chimice este mult mai mare ca și a difuziei, (se poate asigura că temperatura admisibilă la care se produc reacții) se poate considera că, pe suprafața de reacție C_s este zero. Cu această considerație relația (4.3.2) se poate scrie în felul următor:

$$V_{mol} \int_{r_1}^{r_2} r^{-2} dr = - D 4\pi \cdot n_0 \int_0^{C_{om}} dc \quad (4.3.3)$$

După efectuarea operațiilor indicate se obține:

$$- v_{mol} \left(\frac{1}{r_2} - \frac{1}{r_1} \right) = - D 4\pi \cdot C_{om} \text{ și } v_{mol} = D 4\pi \frac{r_1 r_2}{r_2^2 - r_1^2} C_{om} \quad (4.3.4)$$

Dacă produsul rezultat este de ori mai mic ca și substanță inițială atunci, în cazul schițat în figura 4.3.1, cantitatea de substanță încă nereaționată este:

$$n_1 = \frac{n_1}{V} = \frac{4 \pi r_1^3}{V} \cdot \frac{dr_1}{dt} \quad (4.3.5)$$

și viteză de variație a numărului de molii a substanței nereaționate este:

$$\frac{dn_1}{dt} = \frac{4\pi r_1^2 \sigma_r}{L} \cdot \frac{dr_1}{dt} \quad (4.3.6)$$

Rezultă din (4.3.6) viteză de variație a produsului rezultat:

$$v_{mol} = \frac{\partial}{\partial t} \frac{dn_1}{dt} \quad (4.3.7)$$

Dacă se înlocuiesc în (4.3.7) valorile deduse pentru v_{mol} (4.3.4) și $\frac{dr_1}{dt}$ (4.3.6) se obține:

$$- D \cdot 4\pi \frac{r_1 \cdot r_2}{r_2 - r_1} C_{0m} = \frac{4\pi r_1^2 \sigma_r}{L} \cdot \frac{dr_1}{dt} \quad (4.3.8)$$

de unde

$$- \frac{M_r \cdot D \cdot C_{0m}}{\xi \cdot \sigma_r} dt = \left(r_1 - \frac{r_1^2}{r_2} \right) dr_1 \quad (4.3.9)$$

Așa cum se vede rezultatul obținut este de ori mai mic decât produsul rezultat, ceea ce poate transmite printr-o relație cantitativă:

$$n_r = \alpha \cdot n_t$$

adică

$$n_r \cdot \frac{\left[\frac{4\pi r_1^3}{3} - \frac{4\pi r_2^3}{3} \right] \sigma_r}{M_r} = \xi \cdot \frac{\left(\frac{4r_2^2 \pi}{3} - \frac{4r_1^2 \pi}{3} \right) n_t}{M_t} \quad (4.3.10)$$

Din această relație rezultă:

$$\frac{r_2^3 - r_1^3}{r_0^3 - r_1^3} = \frac{1}{\xi} \frac{r_1}{r_2} = \frac{1}{\xi} \cdot \frac{1}{z} \cdot \frac{1}{\sigma_t} = z \quad (4.3.11)$$

două

$$r_2^3 = z r_0^3 + (1-z) r_1^3 \quad (4.3.12)$$

Prin înlocuirea valorii lui r_2 în (4.3.9) se obține:

$$- \frac{M_r \cdot C_{0m}}{\alpha \cdot \sigma_r} \int_{t_B}^{t_B} dt = \int_{r_0}^{r_1} \left\{ r_1 - \frac{r_1^2}{[z r_0^3 + (1-z) r_1^3]^{1/3}} \right\} dr_1 \quad (4.3.13)$$

Membră 1 din partea dreaptă a ecuației (4.3.13) se integrează în două trepte:

$$\int_{r_0}^{r_1} \left\{ r_1 - \frac{r_1^2}{[sr_0^3 + (1-s)r_1^3]^{1/3}} \right\} dr_1 = y_1 - y_2 \quad (4.3.14)$$

din care:

$$y_1 = \int_{r_0}^{r_1} r_1 dr_1 = \frac{r_1^2 - r_0^2}{2} \quad (4.3.15)$$

și

$$y_2 = \int_{r_0}^{r_1} \frac{r_1^2 dr_1}{sr_0^3 + (1-s)r_1^3} \quad (4.3.16)$$

Relația (4.3.16) se rezolvă făcând următoarele substituții:

$$\begin{aligned} sr_0^3 &= a & 1-s &= b \\ a+br_1^3 &= u^3 \\ 3br_1^2 dr_1 &= 3u^2 du \\ r_1^2 dr_1 &= \frac{u^2}{b} du \end{aligned} \quad (4.3.17)$$

Inlocuind în (4.3.16) rezultă:

$$y_2 = \int_{r_0}^{r_1} \frac{r_1^2}{\sqrt[3]{a+br_1^3}} dr_1 = \int_{r_0}^{U(r_1)} \frac{1}{b} U du \quad (4.3.18)$$

adică

$$y_2 = \frac{1}{2b} \left[\sqrt[3]{(a+br_1^3)^2} - \sqrt[3]{(a+br_0^3)^2} \right] \quad (4.3.19)$$

Prin convertirea constantelor cu substituțiile făcute, rezultă:

$$\begin{aligned} y_2 &= \frac{1}{2(1-s)} \left\{ \sqrt[3]{[sr_0^3 + (1-s)r_1^3]^2} - \sqrt[3]{s^2 r_0^6 + 2s(1-s)r_0^6 + 6(1-s)r_0^6} = \right. \\ &= \left. - \frac{1}{2(1-s)} \left\{ \sqrt[3]{[sr_0^3 + (1-s)r_1^3]^2} - r_0^2 \right\} \right\} \quad (4.3.20) \end{aligned}$$

Cunoscind valorile y_1 și y_2 se calculează diferența lor $y_1 - y_2$ în felul următor:

$$y_1 - y_2 = \frac{1}{2} r_1^2 + \frac{sr_1^3 - [sr_0^3 + (1-s)r_1^3]^{2/3}}{2(1-s)} \quad (4.3.21)$$

-inlocuind $y_1 - y_2$ în (3.3.13) rezultă

$$-\frac{\text{MDCm}}{\xi \cdot S_r} t = \frac{1}{2} r_1^2 + \frac{zr_0^2 - [zr_0^3 + (1-z)r_1^3]^{2/3}}{2(1-z)} \quad (4.3.22)$$

sau

$$zr_0^2 + 2(1-z) \frac{\text{MDCm}}{\xi \cdot S_r} t = \left\{ [zr_0^3 + (1-z)r_1^3]^{2/3} - (1-z)r_1^2 \right\}$$

$$zr_0^2 + 2(1-z) \frac{M_x \cdot D \cdot C_{om}}{\xi \cdot \beta_V} t = \left[zr_0^3 + (1-z)r_1^3 \right]^{2/3} - (1-z)r_1^2 \quad (4.3.23)$$

Dacă se introduce valoarea lui r_1 calculată din gradul de transformare:

$$R = \left(\frac{R_0 - z}{R_0} \right) = 1 - \left(\frac{z}{R_0} \right)^2 \quad (4.3.24)$$

$$r_1 = R_0 \sqrt[3]{1-R} \quad (4.3.25)$$

Inlocuind în (4.3.23) rezultă:

$$\left[zr_0^2 + 2(1-z) \frac{M_x \cdot D \cdot C_{om}}{\xi \cdot \beta_V} t \right]^{2/3} = \left[zr_0^3 + (1-z)r_0^2(1-R)^{2/3} - (1-z)r_0^2 \left(1 - \left(\frac{z}{R_0} \right)^2 \right)^{2/3} \right] \quad (4.3.26)$$

$$\text{ sau } \left[1 - (1-z)R \right]^{2/3} - (1-z)(1-R) \left[1 - \left(\frac{z}{R_0} \right)^2 \right]^{2/3} = z + 2(1-z) \frac{M_x \cdot D \cdot C_{om}}{\xi \cdot \beta_V \cdot R_0} \quad (4.3.27)$$

Relația (4.3.27) are o formă complicată și forma explicită a gradului de transformare este greu de realizat pentru că se va introduce o ipoteză simplificatoare prin a presupune că:

$$z = \frac{1}{\xi} \frac{1}{\sqrt[r]{r}} = 1 \quad (4.3.28)$$

care permite transcrierea relației (4.3.13) sub forma:

$$-\frac{MDC_{om}}{\xi \cdot \beta_V} \int_{t\beta_0}^{t\beta} dt = \int_{r_0}^{r_1} \left[r_1 - \frac{r_1^2}{r_0} \right] dr_1 \quad (4.3.29)$$

$$\begin{aligned} & -\frac{MDC_{om}}{\xi \cdot \beta_V} (t\beta - t\beta_0) = \frac{r_1^2 - r_0^2}{2} - \frac{r_1^2 - r_0^2}{3} = \frac{1}{2} r_1^2 - \frac{1}{6} r_0^2 - \\ & - \frac{1}{3} \frac{r_1^2}{r_0} \end{aligned} \quad (4.3.30)$$

Dacă în (4.3.30) se introduce expresia r_1 din (3.3.25) rezultă:

$$-\frac{MDC_{om}}{\xi \cdot \beta_V} (t\beta - t\beta_0) = \frac{1}{2} r_0^2 (1-R)^{2/3} - \frac{1}{6} r_0^2 - \frac{1}{3} r_0^2 (1-R) \quad (4.3.31)$$

din care urmărește:

$$(1-R)^{2/3} + \frac{2}{3} R = -2 \frac{MDC_{om}}{\xi \cdot \beta_V \cdot R_0} (t\beta - t\beta_0) + 1 \quad (4.3.32)$$

Procesul de reacție între sulfuri și oxidant și în această zonă a jetului încărcat cu particulele este însoțit de degajare de căldură, de schimb de masă și căldură între mediile reactante.

În această zonă există o degajare importantă de căldură, care este transferată prin produsele gazoase, mediului portant și în parte realizând încălzirea particulelor.

O parte din căldură necesară topirii și încălzirii particulelor solide se obține de la gazele portante care au acumulat

o cantitate de căldură fizică prin procesele anterioare de ardere a sulfurilor superioare și o altă parte a căldurii se obține direct din reacțiile chimice ce au loc la interfața solid-gaz portant.

Houchile de schimb caloric vor fi similare ca și în cazul anterior cu considerarea faptului că din energia termică rezultată o parte este utilizată la creșterea căldurii fizice a gazului și o parte la ridicarea temperaturii particulelor. Căldura necesară pentru încălzirea particulelor este cedată prin convecție și radiație de la gazele calde (portante) la particulele solide în suspensie.

Cele două relații utilizate pentru determinarea căldurii schimbate în jet, într-un volum unitar vor fi:

$$C_{p_0} \cdot C_p \frac{dT_p}{dt} + S_a C_a \frac{dT_a}{dt} = h_i \frac{dm}{dt} \quad (4.3.34)$$

și

$$S_a \cdot C_a \cdot \frac{dT_a}{dt} = F_p \alpha_c (T_a - T_p) \quad (4.3.35)$$

în care:

$\frac{dm}{dt}$ este viteza de variație a reactantului;

h_i - energia de reacție degajată de unitatea de masă transformată;

α_c - coeficientul global de convecție.

-13)-

Pentru a putea exprima variația masei în funcție de timp se va utiliza relația (4.3.32) în care primul termen în membrul stîng $(1-R)^{2/3}$ se va dezvolta în serie pentru a se putea explicita gradul de transformare R:

Se folosește pentru dezvoltare în serie formula băncoului

$$(1-R)^{2/3} = 1 - \frac{2}{3} R - \frac{1}{9} R^2 - \dots \quad (4.3.36)$$

Inlocuind în (4.3.32) se obține

$$1 - \frac{2}{3} R - \frac{1}{9} R^2 + \frac{2}{3} R = -2 \frac{M_p \cdot D \cdot C_{\text{om}}}{\xi \cdot S_r \cdot r_0^2} (t_\beta - t_{\beta_0}) + 1 \quad (4.3.37)$$

sau

$$\frac{1}{9} R^2 = 2 \frac{M_p \cdot D \cdot C_{\text{om}}}{\xi \cdot S_r \cdot r_0^2} (t_\beta - t_{\beta_0}) \quad (4.3.38)$$

din care rezultă expresia gradului de transformare:

$$R = 3 \sqrt{2} \frac{M_p \cdot D \cdot C_{\text{om}}}{\xi \cdot S_r \cdot r_0^2} (t_\beta - t_{\beta_0})^{1/2} \quad (4.3.39)$$

Gradul de transformare este:

$$n = \frac{m - m_0}{m_0} \quad (4.3.40)$$

unde:

m_0 = masa inițială a substanței care intră în reacție;

m = masa substanței care nu a reacționat la un moment dat;

Masa substanței neacționată rezultă:

$$m = m_0 (1 - 3 \sqrt{2} \frac{M_p \cdot D \cdot C_{\text{om}}}{\xi \cdot S_r \cdot r_0^2} (t_\beta - t_{\beta_0})^{1/2}) \quad (4.3.41)$$

Viteza de variație a masei reactantului este:

$$-\frac{dm}{dt} = \frac{1}{2} \sqrt{2} \frac{M_p \cdot D \cdot C_{\text{om}}}{\xi \cdot S_r \cdot r_0^2} (t_\beta - t_{\beta_0})^{-1/2} \quad (4.3.42)$$

Introducind expresia masei reactantului, în funcție de timp (4.3.41) în (4.3.34) rezultă:

$$C_p \cdot c_p \frac{dT_p}{dt} + S_a \cdot C_a \frac{dT_a}{dt} = h_i \frac{d}{dt} \left\{ m \left[1 - 3 \sqrt{2} \frac{M_p \cdot D \cdot C_{\text{om}}}{\xi \cdot S_r \cdot r_0^2} (t_\beta - t_{\beta_0})^{1/2} \right] \right\} \quad (4.3.43)$$

Prin integrarea ecuației (4.3.43) în limitele t_β .

și t_β respectiv $T_{p\beta}$, $T_{p\beta}$ și $T_{\alpha\beta}$ se obține:

$$C_p \cdot C_p (T_{p\beta} - T_{p\beta_0}) + S_{20} \cdot C_{20} (T_{\alpha\beta} - T_{\alpha\beta_0}) = h_i \cdot m \left[1 - 3 \sqrt{2 \frac{Mr \cdot D \cdot C \cdot m}{\xi \cdot S_r \cdot r_0^2}} (t_\beta - t_{\beta_0})^{1/2} \right] \quad (4.3.44)$$

Din relația (4.3.44) rezultă expresia $T_{p\beta}$ care se introduce în (4.3.35):

$$(-T_{p\alpha}) = \frac{S_{20} \cdot C_{20}}{C_{p0} \cdot C_p} (T_{\alpha\beta} - T_{\alpha\beta_0}) - \frac{m \cdot h_i}{C_{p0} \cdot C_p} \left[1 - 3 \sqrt{2 \frac{Mr \cdot D \cdot C \cdot m}{\xi \cdot S_r \cdot r_0^2}} (t_\beta - t_{\beta_0})^{1/2} \right] - T_{p\beta_0} \quad (4.3.45)$$

După introducerea valorii temperaturii ($-T_{p\beta}$) în (4.3.35) se obține:

$$S_{20} \cdot C_{20} \frac{dT_{\alpha\beta}}{dt} = F_p \cdot \alpha_c \cdot T_{\alpha\beta} \left(1 - \frac{S_{20} \cdot C_{20}}{C_{p0} \cdot C_p} \right) - \frac{m \cdot h_i}{C_{p0} \cdot C_p} \left[1 - 3 \sqrt{2 \frac{Mr \cdot D \cdot C \cdot m}{\xi \cdot S_r \cdot r_0^2}} (t_\beta - t_{\beta_0})^{1/2} \right] - \left(\frac{S_{20} \cdot C_{20}}{C_{p0} \cdot C_p} T_{\alpha\beta_0} + T_{p\beta_0} \right) \quad (4.3.46)$$

Se vor face următoarele notări:

$$N_\beta = \left(1 - \frac{S_{20} \cdot C_{20}}{C_{p0} \cdot C_p} \right)$$

$$M_\beta = \frac{m \cdot h_i}{C_{p0} \cdot C_p} \left[1 - 3 \sqrt{2 \frac{Mr \cdot D \cdot C \cdot m}{\xi \cdot S_r \cdot r_0^2}} (t_\beta - t_{\beta_0})^{1/2} \right] \quad (4.3.47)$$

$$P_\beta = \left(\frac{S_{20} \cdot C_{20}}{C_{p0} \cdot C_p} T_{\alpha\beta_0} + T_{p\beta_0} \right)$$

Prin ordonarea relației (4.3.46) se ajunge la forma:

$$\frac{dT_{\alpha\beta}}{dt} - \frac{F_p \alpha_c N_\beta}{S_{20} \cdot C_{20}} \cdot T_{\alpha\beta} = - M_\beta (t_\beta - t_{\beta_0})^{1/2} - P_\beta \quad (4.3.48)$$

Ecuția diferențială (4.3.48) este de ordinul I, liniară și cărui soluție generală este:

$$T_{\alpha\beta} = e^{\int \frac{F_p \alpha_c N_\beta}{S_{20} \cdot C_{20}} dt} \left\{ C - \int \left[M_\beta (t_\beta - t_{\beta_0})^{1/2} + P_\beta \right] e^{-\int \frac{F_p \alpha_c N_\beta}{S_{20} \cdot C_{20}} dt} dt \right\} \quad (4.3.49)$$

După efectuarea operațiilor indicate (în (4.3.49)) rezultă:

-133-

$$T_{\alpha\beta} = e^{\frac{F_p \alpha z N_\beta}{S_{a0} \cdot C_a}} \left\{ C - \int [M_\beta(t_\beta - t_{\beta0})^{1/2} + P_\beta] C - \frac{F_p \alpha z N_\beta}{S_{a0} \cdot C_a} t dt \right\} \quad (4.3.50)$$

Păcind notația

$$b = \frac{F_p \alpha z N_\beta}{S_{a0} \cdot C_a} \quad (4.3.51)$$

și făcând integrările indicate în (4.3.50) se obține pentru:

$$\int M_\beta(t_\beta - t_{\beta0})^{1/2} \cdot e^{-bt} dt = \frac{2M_\beta \cdot b \cdot t}{3b+2t} e^{-bt} \quad (4.3.52)$$

și

$$\int P_\beta e^{-bt} dt = -\frac{P_\beta}{b} e^{-bt} \quad (4.3.53)$$

Cu valorile calculate pentru integrale și înlocuite în (4.3.50) se obține:

$$T_{\alpha\beta} = e^{bt_\beta} \left[C - \frac{2M_\beta b(t_\beta - t_{\beta0})}{3b+2(t_\beta - t_{\beta0})}^{3/2} e^{-bt_\beta} + \frac{P_\beta}{b} e^{-bt_\beta} \right] \quad (4.3.54)$$

Pentru determinarea constantei de integrare C se va apela la condițiile initiale

$$t_\beta = t_{\beta0}, T_{\alpha\beta} = T_{\alpha\beta0}, \text{ și } t_\beta = t_{\beta0}, T_{\alpha\beta} = T_{\alpha\beta0} \quad (4.3.55)$$

La timpul $t_\beta = t_{\beta0}$, avem

$$T_{\alpha\beta0} = C^{bt_{\beta0}} \left[C - \frac{2M_\beta b(t_{\beta0} - t_{\beta0})}{3b+2(t_{\beta0} - t_{\beta0})}^{3/2} e^{-bt_{\beta0}} + \frac{P_\beta}{b} e^{-bt_{\beta0}} \right] \quad (4.3.56)$$

de unde

$$C = T_{\alpha\beta0} \cdot e^{-bt_{\beta0}} + \frac{2M_\beta b(t_{\beta0} - t_{\beta0})}{3b+2(t_{\beta0} - t_{\beta0})}^{3/2} e^{-bt_{\beta0}} - \frac{P_\beta}{b} e^{-bt_{\beta0}}. \quad (4.3.57)$$

Inlocuind în (4.3.54) rezultă

$$T_{\alpha\beta} = e^{bt_\beta} \left\{ T_{\alpha\beta0} \cdot e^{-bt_{\beta0}} - \left[\frac{2M_\beta b(t_{\beta0} - t_{\beta0})}{3b+2(t_{\beta0} - t_{\beta0})}^{2/3} \left(C^{-bt_{\beta0}} e^{-bt_{\beta0}} \right) - \frac{P_\beta}{b} \left(e^{-bt_{\beta0}} \cdot e^{bt_{\beta0}} \right) \right] \right\} \quad (4.3.58)$$

Din relația (4.3.58) rezultă faptul că, temperatura mediului (gasului) porță crește exponențial cu timpul și panta creșterii

temperaturii fiind determinată de coeficientul global de schimb termic α_{c} și de suprafața specifică S_p a particulelor din unitatea de volum a jetului.

De asemenea, variația temperaturii mediului portant este influențată direct prin variația coeficientului de schimb masă (coeficientul de difuzie) care intervine prin M_p .

Temperatura curentă a particulelor solide din jet se calculează din (4.3.45):

$$T_{p\beta} = T_{p\beta_0} + \frac{m_0 \cdot h_i}{C_p \cdot C_p} \left[1 - 3 \sqrt{2} \frac{M_p \cdot D \cdot C_o \cdot m}{\xi \cdot S_v \cdot r_o^2} (t_{p\beta} - t_{p\beta_0})^{1/2} - \frac{S_{a0} \cdot C_{a0}}{C_{p0} \cdot C_p} (T_{a\beta} - T_{a\beta_0}) \right] \quad (4.3.5)$$

în care:

m_0 – este masa inițială a substanței care reacționează, din volumul unitar de jet;

$$m_0 = \frac{4\pi r_o^3}{3} \cdot n_0 \cdot S_v \quad (4.3.6)$$

Din analiza relației (4.3.59) rezultă că intensificarea procesului de încălzire și de topire se obține prin creșterea coeficientului global de schimb termic α_{c} , a suprafeței specifice a particulelor din volumul unitar de jet, cît și prin creșterea coeficientului de difuzie D .

Prin dezvoltarea rapidă a procesului de încălzire și topire se crează premaisa aglomerării particulelor încă în turnul de reacție mai accentuată a particulelor topite (faza lichidă) din gazul portant.

4.4.1. Mecanismele și coeficienții de transport în jetul în- carcăt cu particule de concentrat

Desvoltarea și varietatea tehnologiilor și condițiilor de lucru, care răngă din ce în ce mai severe, economice și tehnice, privind condițiile de puritate și de preț de cost orientează cercetarea experimentală și teoretică spre intensificarea proceselor de transfer.

Jetul cilindric, încărcat cu particule solide în suspensie este caracterizat de transfer caloritic, transfer de impuls și transfer de masă.

Fenomenele de transport în jetul cilindric - de moment (cantitate de mișcare), energie, masă - condiționează realizarea unor operații fizice cum sunt: curgerea fluidelor, operațiile termice, operațiile de difuziune. De asemenea, crearea condițiilor necesare de realizare a multor operații chimice este necesar să fie subliniat.

Reconfigurarea unei operații de transfer este caracterizată dinamic prin intensitatea sa, înțeleasă sub forma debitului (cantitate în unitate de timp), a proprietății transportate.

Intensitatea unei proprietăți transportate se poate exprima ca o relație de formă:

$$W = k_g A \cdot (L_g - \bar{L}) \quad (4.4.1)$$

Coefficienții de transfer k_g , din ecuația (4.4.1) se pot deduce prin integrarea ecuațiilor de distribuție a cimpului proprietalii transportate.

Stăpânirea și conducerea sigură a proceselor complexe sunt caracteristici ale unei industrii moderne. În acest context, intensificarea operațiilor de transfer în jetul din turbul de reacție, necesită cunoașterea mecanismului de transport în scopul eliberii celor mai raționale procedee - din punct de vedere tehnologic și economic, - pentru proiectarea optimă a utilajelor și instalațiilor cu care se realizează aceste operații, cum și în scopul conducerii și exploatarii cu maximum de eficiență.

În funcție de tipul portătorilor de proprietate în jetul încărcat cu particule de concentrat cuprins se disting două mecanisme (moduri) de transport: mecanismul molecular (difuzional), prin contact între particule și fluidul portant, și mecanismul turbulent caracteristic pentru ansamblul jetului. În cazul transportului de energie se realizează și un mecanism radiant.

4.4.2. Calculul coeficientilor de transport, calorici și mase între particulele de concentrat și gazul portant

În jetul încărcat cu nori de particule solide, se întâlnesc simultan: transportul și transferul de moment, de masă și căldură care sunt într-o dependență complexă. Mecanismele fundamentale ale transportului de moment, de masă și de energie sunt echivalente și, în unele situații fizice date, sunt chiar identice.

Proprietatea transportată, moment (.m.v), masă (m) și căldură, reprezentă entități care face obiectul transportului. Proprietatea P poate fi acumulată în punctul inițial al transportului, elimentată în acest punct, din jet, printr-un proces de transport continuu.

Tendința oricărui transport este de a urma linia de cea mai mare pantă a forței motrice, normale la suprafețele de concentrație constantă a proprietății transportate.

Influența mediului portant, din jet, prin care are loc transportul proprietății φ , înspre sau dinspre particulele de concentrat copres în suspensie, asupra intensității transportului se exprimă prin noțiunea de difuzivitate sau conductivitate, ca notăție generală D , prin relații se formează:

$$\varphi = -D \frac{dL_1}{dx} \quad (4.4.2)$$

La calculul coeficienților de transport se pornește de la modele fizice.

În cazul jetului dezvoltat în turnul de reacție, voi folosi modelul filmului elaborat de Sitsam [32] care este cel mai adecvat pentru exprimarea cantitativă a transportului de masă și căldură.

Modelul fizic imaginat pentru transportul de proprietate, de gazul portant la particulele solide și înversor va defini panta gradientului de concentrație, considerind jetul în ansamblul ei un mediu fluid turbulent.

În filmul laminar creat în jurul particulei solide, considerată de formă, sférică, cu rază r , transportul se realizează prin mecanism molecular, descris de relația:

$$\varphi = -D \frac{dL_1}{dr} \quad (4.4.3)$$

-140-

se integrează între raze r_1 și r_s pentru suprafață specifică a particulelor dintr-un volum unitar de susținere.

$$\Phi = n_o \cdot A \cdot \varphi = -4\pi r^2 n_o \cdot D \frac{dL}{dr} \quad (4.4.3)$$

$$\Phi \int_{r_1}^{r_s} \frac{dL}{r^2} = -4\pi n_o D \int_{L_s}^{\bar{L}} dL \quad (4.4.4)$$

sau $\Phi \left(\frac{1}{r_1} - \frac{1}{r_s} \right) = -4\pi n_o D (\bar{L} - L_s) = 4\pi n_o D (\bar{L} - L_s)$ $(4.4.5)$

și $\Phi \left(\frac{r_s - r_1}{r_1 \cdot r_s} \right) = 4\pi n_o D (\bar{L} - L_s) \quad (4.4.6)$

dе unde rezultă:

$$\Phi = 4\pi n_o D \cdot r_s \frac{1}{r_s - r_1} (\bar{L} - L_s) \quad (4.4.7)$$

$$\Phi = 4\pi n_o D \cdot r_s \frac{\frac{r_s - \delta}{\delta}}{(\bar{L} - L_s)} \quad (4.4.8)$$

respectiv

$$\Phi = 4\pi n_o D \cdot r_s (\bar{L} - L_s) \left(1 + \frac{r_s}{\delta} \right) \quad (4.4.9)$$

In capitolul II a fost calculat $\frac{r_s}{\delta}$ care are expresia dată prin relația (3.3.27), determinată pentru o sau mai multe relații gas-particulă:

$$\frac{r_s}{\delta} = 2,92971 R_e^{1/2} \quad (4.4.10)$$

Inlocuind expresia (4.4.10) în (4.4.9) se obține pentru fluxul de proprietate relația:

$$\phi = 4\pi n_o D \cdot r_s (1 - L_s) (1 + 0,333 R_e^{1/2}) \quad (4.4.11)$$

Relația (4.4.11) se poate transcrie și sub altă formă:

$$\phi = 4\pi n_o x_s^2 \cdot k_0 (1 - L_s) \quad (4.4.12)$$

în care:

k_0 reprezintă coeficiențul de transport de la fază la altă, sau coeficientul parțial de transfer.

Relațiile (4.4.11) și (4.4.12) sunt identice dacă:

$$x_s \cdot k_0 = D \cdot (1 + 0,333 R_e^{1/2}) \quad (4.4.13)$$

Din relație (4.4.13) se poate scrie expresia criteriului Nusselt pentru transport caloric și transport de masă în cazul mediului bifasic existent în jetul din terminal de reacție:

$$N_{U_2} = \frac{2 \cdot R}{\lambda_2} \approx (1 + 0,333 Re)^{1/2} \quad (4.4.14)$$

și

$$N_{U_1} = \frac{2 \cdot R_{ok}}{\lambda_1} \approx (1 + 0,333 Re)^{1/2} \quad (4.4.15)$$

Modelele fizice ale filmului stagnat sau în curgere laminară, nu sunt pe deplin conforme cu informațiile referitoare la structura stratului limită în curgere turbulentă a fluidului, dar în cazul dat, din cauza dimensiunilor foarte mici ale particulelor (viteza de plătire mică) în comparație cu dimensiunile jetului portant, simplificarea făcută cu privire la structura stratului limită a particulelor fiind justificată. În curgere turbulentă, în structura reală a stratului limită, numai o parte din gradientul de concentrație se realizează în substratul laminar, o parte realizându-se în stratul tampon. Aceste observații au dus la definiția corectă a

filmului ca o grosime fictivă de fluid în curgere laminară împreună cu suprafața solidă sau lingă interfață, care realizează o rezistență de transport egală cu rezistența întregului strat limită în curgere turbulentă.

Fig 44

Deci, se consideră că între particulele solide de concentrată compactă și jetul portant, întreaga rezistență la transfer de proprietate este concentrată în acest film fictiv, care înconjoară particulele solide, în care transportul are loc prin mecanism molecular. În moleculele constitutive grosimii stratului nu poate fi asurată,

dar pot fi determinate din proprietățile hidraulice ale fluidului și înconjurator particule.

Relațiiile care descriu transferul de proprietate, în regim stationar, deci în absență acuzațiilor la interfață sunt:

- pentru transferul termic:
 $\dot{\Phi}_T = \alpha_1(t_p - t_{p_1}) = \alpha_2(t_{p_2} - t_2)$ (4.4.16)
- pentru transferul de masă

$$\dot{\Phi}_m = k_1(C_a - C_{a1_1}) = k_2(C_{a1_2} - C_{a2}) \quad (4.4.17)$$

α_1, α_2 = coeficienții parțiali de transfer în mediu 1 și 2;

k_1, k_2 = coeficienții parțiali de transfer de masă în mediu 1, 2;

Ca precizările făcute se pot scrie coeficienții parțiali de transfer termic și de masă în funcție de criteriul Re:

$$\alpha_1 = \frac{2 \lambda_f}{d_s} (1 + 0,333 Re^{1/2}) \quad (4.4.18)$$

și

$$k_1 = \frac{2 D_1}{d_s} (1 + 0,333 Re^{1/2}) \quad (4.4.19)$$

relații în care:

$$Re = \frac{U_g d_s}{\nu} \quad (4.4.20)$$

U_g = viteză relativă gaz portant-particule;

d_s = diametrul particulei;

ν = coecientul de viscositate a gazului portant.

Din (4.4.18) și (4.4.19) rezultă concluzia importantă a existenței unei viteze relative cît mai mari atunci cînd se impune o intensitate ridicată pentru transferul termic și de masă în interiorul jetului încărcat cu particule solide.

Concluziile obținute în capitolul II demonstrează că pentru condiții hidrodinamice date și dimensiunile reduse ale particulelor solide viteză relativă (U_g) dintre fluidul portant și particula scade brusc, dezvoltind o structură statică între mediu

portant și particule, caracterizată prin valorile scăzute ale coeficienților parțiali de transfer. Dezvoltarea proceselor chimice în turnul de reacție se va realiza mai încet, iar drumul parcurs de particule pînă la desăvîrșirea proceselor se va lungeî în mod substanțial.

În cuptorul de topire a concentratelor cuprăse în suspensie se impune ca pentru realizarea unui randament de extractie ridicat, procesele chimice să se dezvolte cît mai repede, iar intensitățile proprietăților difuzive să fie cît mai ridicată.

5. STUDIUL SI PROPUNERI PRIVIND MODERNIZAREA PROCESULUI DE TOPIRE A CONCENTRATELOR CUPROASE SI A PIRITELOR ,IN SUSPENSIE.

5.1.1. Propunerile privind intensificarea procesului de topire a concentratelor cuproase, in suspensie.

Crescerea nevoilor de cupru pe plan national si pe plan mondial, in stadiul de dezvoltare actuala se asigura prin doua cai: prin construirea de noi unitati industriale pentru elaborarea acestui metal si prin perfectionarea procedurilor existente si introducerea din noi tehnologii de prelucrare a concentratelor cuproase.

In prajirea si topirea minereurilor sau a concentratelor sulfuroase in suspensie sunt necesare cantitati mari de aer. Oxigenul de aer participa direct la reacțiile de oxidare.

In turnul de reacție se desfășoară o serie de procese susținute pînă la topirea concentratului ca: adsorbția oxigenului de către concentrat, descompunerea termică si oxidarea sulfului, reacții eterogene de oxidare in sistemul solid-fluid. Aceste faze al procesului de topire sunt caracterizate in totalitatea lor ca fiziune de transport.

Studiul operatiilor de transport de moment, de masă sau de căldură, pe baza analogiei mecanismelor de transport, a permis găsirea unor expresii cantitative semănătoare pentru evaluarea procesului.

Intensitatea fluxului de proprietatea pentru fluxurile de moment, masă și căldură poate fi exprimată cu o relație de formă:

$$\dot{\Phi} = k_a (L_1 - \bar{L}) \quad (5.1.1)$$

unde: k_a - coeficientul parțial de transfer;

L_1 - concentrația proprietății transportate.

Din analiza acestei zileșii se desprinde faptul că, la instalațiile existente pentru intensificarea proceselor disponen de două posibilități și anume: găsirea unor soluții tehnice pentru creșterea coeficientului de transfer și utilizarea unor substanțe de reacție (reacanți) cu intensitatea proprietății cît mai ridicată.

Intensificarea operațiilor de transport, la topirea în suspensie a concentratelor cuproase, prin utilizarea unor tehnici noi este subiectul acestei lucrări slături de multește cercetători științifice, deosebită în acest domeniu în toată lumea.

Din considerațiile presentate în capitolul rezultă că intensificarea operațiilor de transfer, în jumătatea (în turmul de reacție), se poate realiza prin:

—crearea condițiilor hidrodinamice optime între faza condensată și faza continuă, prin influențarea coeficientului de transfer;

—mărarea vîrstei suprafeței specifice de contact (F_s) dintr-o fază continuă și fază condensată;

—creșterea sau menținerea valorilor forței motrice (F_m), respectiv a diferenței de presiune, temperatură și concentrație.

Îmbunătățirea condițiilor hidrodinamice, pentru operațiile de transfer, este principalul obiect al acestei lucrări.

Măruntirea concentratului este limitată de tehnologiile (flotări) premergătoare procesului de prăjire și topire. Pentru o creștere a suprafeței specifice s-ar impune modificarea instalațiilor de reacțivilor de flotare.

În privința creșterii valorilor forței motrice F_m , pe plan mondial se utilizează metoda îmbogățirii aerului în oxigen.

În condițiile industriale s-a realizat progresă remarcabilă la topirea în suspensie a concentratelor cuproase și a concentratelor cupromichelifere prin procedeele I.N.C.E și Untocumpă (25).

În cadrul procesului I.N. Ce aplicat parțial în anul 1953 de către Compania nicheliferă Kopper-Kliff-Canada, materialul fin măcinat care alcătuiește încărcătura se insuflă în cuptor cu ajutorul unui jet de O_2 tehnic.

În ceea ce privește procesul Outokumpu, care realizează prăjirea oxidantă și tăpirea în același agregat, aceasta injectează concentratul cupru în turnul de reacție cu ajutorul unui curent de aer preîncăldat la temperaturi ridicate în care se realizează în același timp și o ridicare a concentrației de oxigen în procent de (21-30)% O_2 .

În cadrul perfectionării acestei tehnologii, în studiul actual se pune accentul pe îmbunătățirea încărcăturii și în mod special pe îmbunătățirea gradului (rendamentului) de utilizare a aerului îmbogățit în oxigen.

5.2.1. Fundamentarea necesității influențării coeficientului de transfer de căldură, masă și de impuls

În capitolul (2) din prezenta lucrare s-a desprins concluzia că, în condițiile date în cazul gradului de măcinare ridicat (particule cu dimensiuni între 40-180) viteza particulelor solide în jet după un timp foarte scurt devin egale cu viteză jetului portant. În astfel de condiții procesele de schimb termic, masă și de impuls între particula solidă și jetul portant se realizează cu un proces molecular valoarea coeficientilor de schimb fiind determinată, de grosimea și structura stratului limită, cît și de gradientul de concentrație a forței motrice, pentru transport de proprietăți.

În cazul cind mișcarea relativă tinde să disperse între gazul portant și particula solidă, coeficientul de schimb calorice și masă tinde către valoarea coeficienților de schimb molecular:

$$\alpha_1 \sim \lambda g \text{ și } k_1 \sim D \quad (5.2.1)$$

iar grosimea stratului limită fictiv în acest caz are valoarea mare, ce condiționează o valoare mai scăzută pentru gradientul forței motrice cu implicații la debitul de proprietate care în acest caz se va stabiliiza la valori scăzute.

Din relațiile (4.4.18) și (4.4.19):

$$\alpha_1 = \frac{2 \lambda_f}{d_s} (1 + 0,333 Re^{1/2}) \quad (5.2.2)$$

$$k_1 = \frac{2 D}{d_s} (1 + 0,333 Re^{1/2}) \quad (5.2.3)$$

rezultă că debitul specific de proprietate este cu atât mai mare ca cît vîțea relativă între particule solide și faze continuă (gesul portant) este mai mare.

Realizarea unui defazaj continuu între deplasarea particulei și deplasarea gesului portant, propunut de a realiza, prin suprăpușarea unei unde de presiune de formă sinusoidală peste jetul încărcat cu norul de particule solide. Prin aceasta în turnul de reacție se va obține un sistem dispăr oscilat.

Oscilațiile utilizate vor fi forțate și armonice, mișcarea sistemului fiind răspunsul la o excitare continuă a cărei mărime variază în timp. Sistemul reprezentă din punctul de vedere al mișcării executate, oscilatorii liniari. Oscilațiile pot avea forme diferite: sinusoidale, patratice dinți de ferestrău, iar după modul de aplicare, pot fi longitudinale, cind direcția oscilației este în lungul turnului de reacție și transversale, cind direcția este perpendiculară sau înclinată pe axa aparatului.

Aplicarea oscilațiilor unei faze fluide (sau unui sistem), în scopul intensificării operațiilor de transfer, se caracterizează în general prin crearea unor condiții hidrodinamice mai favorabile desfășurării procesului, prin realizarea unei turbulențe suplimentare, de oscilare. Totodată, în turnul de reacție apar și

alte efecte positive, cum sunt întărierea și uniformizarea duratei de staționare a unităților individuale de particule (granule) dispuse în jet.

Prezența oscilațiilor în jetul portant, determină apariția unor fenomene hidrodinamice intense, ducând la mărirea gradientului de viteză la interfață și la intensificarea turbulentei în zonele săi de contact, fapt care poate explica intensificarea operațiilor de transfer. Aceste condiții hidrodinamice noi, prin realizarea turbulentei de oscilare, micșorează rezistența stratului limită la transferul de proprietate și mărește gradientul de concentrație $\frac{dL}{dn}$, a proprietății transferate la interfață, prin micșorarea gradientului de concentrație în interiorul fiecărei faze.

5.3.1. Relații hidrodinamice pentru particulele de concentrație cuprins din jetul portant oscilat.

Fenomenele hidrodinamice în cazul unei ensembe de unități individuale de volum, ale unei faze disperse, într-o fază continuă sunt dificil de abordat matematic, datorită fenomenelor de interacțiune și clococniri mecanice, coalescențe.

Majoritatea cercetărilor studiază comportarea hidrodinamică în cazul particular al prezenței unei unități individuale de volum a fazei disperse. Pe parcursul abordării acestor probleme pentru unitățile individuale de volum voi utiliza denumirea de particule.

O particulă solidă, în jetul portant, sub acțiunile gravitației se deplasează, la echilibrul forțelor care determină mișcarea, cu o viteză constantă; linile de curent din jurul ei și distribuția forțelor de rezistență pe suprafața particulei solide sunt, de asemenea, constante, deplasarea realizându-se în regim staționar. În cazul apariției unei pulsării a mediului conținut (portant) din jet, regimul staționar stabilit este perturbat deoarece

particule au peste urmă în mod perfect nicioare pulsatorie a mediului, ceea ce datorită inerției și mișcării proprii. În cazul suprapunerii peste mișcarea staționară, de regim, a jetului și unei oscilații, are loc o variație în timp a distribuției forțelor de rezistență, a vitezei relative a particulei și o variație periodică a linilor de curant în jurul particulelor de concentrat purtat de mediul continuu în jet.

Modificarea regimului hidrodinamic al suprafaței de contact particule mediu influențează și fenomenele de transfer, de masă și căldură, care depind de hidrodinamica suprafaței.

În studiul hidrodinamic a unei particule solide intr-un jet portent oscilat sinusoidal vertical este necesar să se cunoscă legile de mișcare ale particulei care permite o evaluare a coeficienților particuli de transfer masă, și de căldură între jetul oscilat și particula.

Parametrii mișcării particulei solide, ca viteză, accelerare și deplasare, într-un mediu continuu oscilat, se determină din ecuația de bilanț a forțelor care acționează asupra unei particule solide din jet.

Asupra particulei solide de concentrat din jet acționează următoarele forțe:

- rezultante forțelor de greutate a particulei, considerată scăzută:

$$F_1 = (m_g - m_p)g = \frac{\pi d_p^2}{6} \cdot (\rho_f - \rho_p)g \quad (5.3.1)$$

unde:

m_g - masa gazului dislocat de particula;

m_p - masa particulei;

g - accelerare gravitațională;

d_p - diametrul particulei;

$\rho_f \rho_p$ - densitățile mediului și a particulei;

- forță de inerție a particulei

$$F_2 = a_p \cdot \frac{d w}{dt} = \frac{\pi d_p^3}{6} \cdot \frac{4 w^2}{dt} \quad (5.3.2)$$

unde:

$\frac{d w}{dt}$ - accelerarea particulei față de mediu portant;

$w_p^* = w_p - w_x$ - viteză relativă a particulei față de mediu portant;

- forță de frânare picătura, mediu oscilat

$$F_3 = C_s \cdot d_p \cdot w_p^* \quad (5.3.3)$$

în care:

C_s (Re) - coeficientul de rezistență la mișcare a mediului și rezistență la undă de presiune;

d_p - diametrul particulei;

w_x - viteză mediului;

w_p^* - viteză particulei;

- forță introdusă de oscilația mediului

$$F_4 = a_y \cdot \frac{d w}{dt} = \frac{\pi d_p^3}{6} \cdot \rho_f \frac{4 w^2}{dt} \quad (5.3.4)$$

cu notările:

a_y - masa fluidului accelerat;

$\frac{d w}{dt}$ - accelerarea mediului oscilat;

d_p - diametrul particulei;

ρ_f - densitatea fluidului.

- forță produsă de presiunile instantanee și de reacție a undelor de presiune (cu o frecvență cunoscută) F_5 .

Se cunoscă că, un face oală de undă de presiune lovind suprafața particulei solide din jet, care formează suprafață de separație a două medi în contact, cu proprietăți elastice diferite, exercită asupra acestei suprafețe a particulei o forță. Această forță depinde de intensitatea undelor, de proprietățile elastice ale

celor două medii în contact, de orientarea suprafeței de corespondie în raport cu direcția de propagare a undelor, precum și de aria suprafeței pe care se exercită acțiunea fasciculului undei de presiune.

Presiunea instantanea, este o mare variație în timp, care acționează asupra particulei solide în suspensie cu o forță apreciabilă, cind dimensiunile particulei sunt mai reduse ca lungimea de undă.

Pentru a stabili expresia presiunii instantanei și de radialie a undei de presiune (pentru o oscilație cunoscută) voi utiliza teoria dată de Hunter și Bolt [32]. Consider că oscilația produsă în jetul portant, are caracterul unei unde plane care se propagă cu o viteză cunoscută în mediul portant. În cimpul acoperit, unde de presiune, particulele mediului vor intra în vibrație cu o viteză:

$$w_f = w_0 \cos(\omega t - k_x x) \quad (5.3.5)$$

Iar presiunea produsă de undă de presiune, în direcție să de propagare va fi

$$p = \rho \cdot c_s \cdot w_f \quad (5.3.6)$$

c_s - viteză de propagare a undei de presiune.

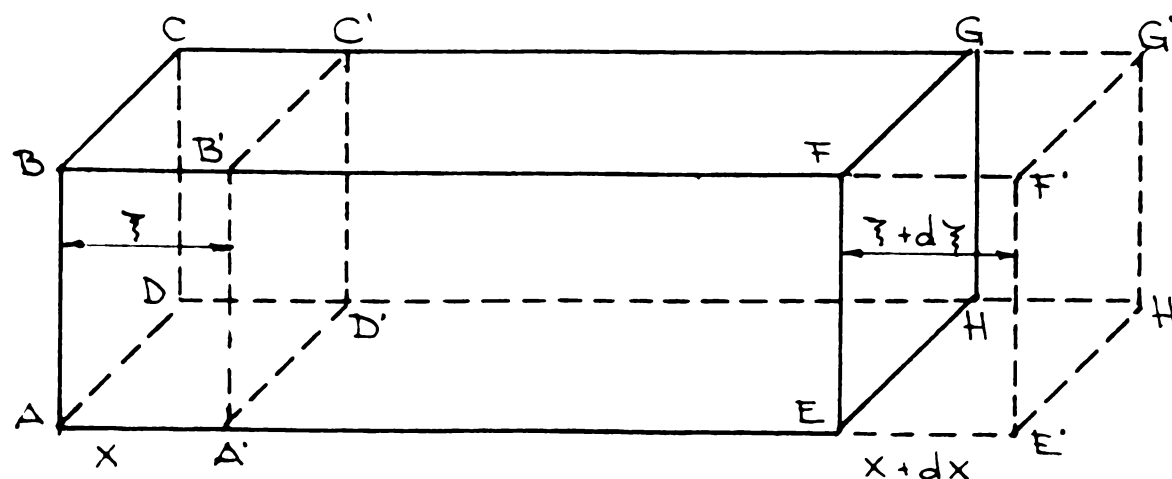


Fig (5.3.2.)

In calculuri se consideră un element de volum V_0 din mediul portant, în care se propagă undă de presiune, (cu densitatea ρ - densitatea mediului).

Dacă perturbația are loc de-a lungul axei x-ilor, forța care la un moment dat acționează pe fața ABCD a paralelipipedului considerat este F , iar forța care acționează pe fața EFGH a aceluiși paralelipiped este $F+dv$ (fig. 5.3.2). După un interval de timp dt , elementul de volum suferă în același timp o deplasare și o deformare. Toate particulele care se aflau inițial în planul ABCD se găsesc de această dată în planul A'B'C'D', deplasarea lor fiind egală cu ξ , iar punctele aflate inițial în planul EFGH se găsesc de această dată în planul E'F'G'H', fiind deplasate cu cantitatea ξ . În felul acesta volumul se modifică cu cantitatea dV . Variația relativă a densității este:

$$\frac{d\rho}{\rho_0} = \frac{dV}{V_0} \quad (5.3.7)$$

și întrucât în timpul transformării adiabatică even

$$\frac{dp}{P_0} = x \frac{dV}{V_0} \quad (5.3.8)$$

unde x este raportul căldurilor specifice și P_0 presiunea statieă se obține pentru presiunea acustică instantanee expresia:

$$dp = p = x P_0 \frac{d\rho}{\rho_0} \quad (5.3.9)$$

De altă parte, intervine și o modificare a densității, care este:

$$\rho = \rho_0 + d\rho = \rho_0 \left(1 + \frac{d\rho}{\rho_0}\right) \quad (5.3.10)$$

de unde

$$p = \rho c w_x = \rho_0 \left(1 + \frac{d\rho}{\rho_0}\right) c w_x \quad (5.3.11)$$

Inlocuind presiunea acustică instantanee cu valoarea ei în termenul de paranteză, se obține (pentru expresia $p = (\rho_0 + d\rho) c \cdot w_x$)

-153-

$$p = S_0 c w_f \left[1 + \frac{(S_0 + d_p^2) c w_f}{\pi P_0} \right] \quad (5.3.12)$$

Neglijind termenul de corecție d_p^2 și tinând seama de expresia particulei

$$w_f = \bar{w}_f \cos(\omega t - kx) \quad (5.3.13)$$

relația (5.3.12) se transformă în

$$p = S_0 c \bar{w}_f \cos(\omega t - kx) + \frac{S_0^2 c^2 \bar{w}_f^2 \cos^2(\omega t - kx)}{\pi P_0} \quad (5.3.14)$$

Cu vitezarea calculată pentru presiunea acustică instantanee și de radiație (5.3.14) forța care acționează asupra particulei de concentrat din jet va fi:

$$F_5 = \Delta p S_p = \Delta \left[\left(S_0 c \bar{w}_f \cos(\omega t - kx) + \frac{S_0^2 c^2 \bar{w}_f^2 \cos^2(\omega t - kx)}{\pi P_0} \right) \frac{\pi d_p^2}{4} \right] \quad (5.3.15)$$

relație în care:

p – presiunea instantanee și de radiație a undei;

$S_p = \frac{\pi d_p^2}{4}$ – suprafața proiecției secțiunii particulei pe un

plan, perpendicular pe direcția de curgere principală;

d_p – diametrul particulei.

Deoarece se admite că originea timpului coincide cu începutul frontalui undei relația (5.3.15) se va putea scrie și sub forma unei ecuații rezultă:

$$F_5 = \Delta p S_p = \left[\Delta \left(S_0 c \bar{w}_f \cos \omega t + \frac{S_0^2 c^2 \bar{w}_f^2 \cos^2 \omega t}{\pi P_0} \right) \right] \frac{\pi d_p^2}{4}$$

Cu aceste precizări, ecuația de bilanț a forței va fi:

$$P_2 = P_1 + P_4 + P_5 = P_3. \quad (5.3.15)$$

deoarece

$$\alpha_p \frac{dw_p^*}{dt} = (\alpha_f - \alpha_p) g + \alpha_f \frac{dw_f}{dt} + \Delta p S_p - C_s \cdot d_p \cdot w_p^* \quad (5.3.16)$$

Această relație după ordonarea termenilor va lua forma

$$m_p \frac{d w_p^*}{dt} = C_s \cdot d_p \cdot w_p^* \cdot (m_f - m_p) g + m_f \frac{dw_f}{dt} + \Delta p \cdot s_p \quad (5.3.17)$$

Ecuția diferențială (5.3.18) se va împărți cu m_p , obținind astfel:

$$\frac{d w_p^*}{dt} - \frac{C_s \cdot d_p}{m_p} \cdot w_p^* = \left(\frac{m_f}{m_p} - 1 \right) g + \frac{m_f}{m_p} \cdot \frac{d w_f}{dt} + \frac{s_p}{m_p} \cdot p \quad (5.3.18)$$

Această ecuație diferențială este de forma:

$$\frac{d w_p^*}{dt} + P(t) w_p^* = Q(t) \quad (5.3.19)$$

care este o ecuație diferențială liniară, de ordinal I, a cărei soluție generală este:

$$w_p^* = e^{-\int P(t) dt} \left[C + \int Q(t) e^{\int P(t) dt} dt \right] \quad (5.3.20)$$

Includând în (4.3.2.) expresiile $P(t)$ și $Q(t)$ rezultă

$$w_p^* = e^{\frac{-C_s d_p t}{m_p}} \left\{ C + \int \left[\left(\frac{m_f}{m_p} - 1 \right) g + \frac{m_f}{m_p} w_f \omega \sin \omega t + \frac{s_p \Delta p}{m_p} \right] e^{-\frac{C_s d_p t}{m_p}} dt \right\} \quad (5.3.21)$$

Prin efectuarea operațiilor de integrare de la exponentul cu $P(t)$ se obține:

$$w_p = e^{\frac{C_s d_p}{m_p} t} \left\{ C + \int \left[\left(\frac{m_f}{m_p} - 1 \right) g + \frac{m_f}{m_p} w_f \omega \sin \omega t + \frac{s_p}{m_p} - p \right] e^{\frac{-C_s d_p}{m_p} t} dt \right\} \quad (5.3.22)$$

Se va face următoarele notării:

$$I_1 = \int \left(\frac{m_f}{m_p} - 1 \right) g e^{\frac{-C_s d_p}{m_p} t} dt = -\frac{m_p}{C_s d_p} \left(\frac{m_f}{m_p} - 1 \right) g e^{\frac{-C_s d_p}{m_p} t} \quad (5.3.23)$$

$$I_2 = \int \frac{m_f}{m_p} w_f \omega \sin \omega t e^{\frac{-C_s d_p}{m_p} t} dt = \frac{m_f}{m_p} w_f \omega \frac{\frac{C_s d_p}{m_p} \sin \omega t - \omega \cos \omega t}{\left(\frac{C_s d_p}{m_p} \right)^2 + \omega^2} e^{\frac{-C_s d_p}{m_p} t} \quad (5.3.24)$$

$$I_3 = \frac{s_p}{m_p} \left\{ A \left[S_0 C w_f \cos(\omega t - Kx) + \frac{S_0^2 C^2 w_f^2 \cos^2(\omega t - Kx)}{X P_0} \right] e^{\frac{-C_s d_p}{m_p} t} \right\} = \quad (5.3.25)$$

$$= \frac{s_p}{m_p} \left\{ A \left[S_0 C w_f \frac{\left(\frac{C_s d_p}{m_p} \right) \cos \omega t + \omega \sin \omega t}{\left(\frac{C_s d_p}{m_p} \right)^2 + \omega^2} e^{\frac{-C_s d_p}{m_p} t} + \frac{S_0^2 C^2 w_f^2}{X P_0} \right] \cos^2 \omega t \cdot e^{\frac{-C_s d_p}{m_p} t} \right\}$$

Termenul al doilea din (5.3.25) se interpretează printr-o formulă de recurență

$$j = \int e^{at} \cos^2 bt dt = \frac{2b^2}{a(a^2 + 4b^2)} e^{at} + \frac{a}{a^2 + 4b^2} \cos^2 bx e^{ax} + \frac{2b}{a^2 + 4b^2} e^{ax} \cos bt \sin bt \quad (5.3.26)$$

Inlocuind în (5.3.26) expresiile lui a, b se obține:

$$\begin{aligned} j &= \frac{2\omega^2}{-\frac{C_{sd}p}{m_p} \left(\frac{C_s^2 d_p^2}{m_p^2} + 4\omega^2 \right)} e^{-\frac{C_{sd}pt}{m_p}} + \frac{\left(-\frac{C_{sd}p}{m_p} \right)}{\left[\left(\frac{C_{sd}p}{m_p} \right)^2 + 4\omega^2 \right]} \cos^2 \omega t \cdot e^{-\frac{C_{sd}pt}{m_p}} + \\ &+ \frac{2\omega}{\left[\left(\frac{C_{sd}p}{m_p} \right)^2 + 4\omega^2 \right]} e^{-\frac{C_{sd}pt}{m_p}} \cos \omega t \sin \omega t \end{aligned} \quad (5.3.27)$$

Expressia lui j_4 , după înlocuirea lui j , devine:

$$j_4 = \frac{S_p}{m_p} \left\{ \Delta \left[S_o C_{wf} \frac{\left(-\frac{C_{sd}p}{m_p} \right) \cos \omega t + \omega \sin \omega t}{\left(\frac{C_{sd}p}{m_p} \right)^2 + \omega^2} e^{-\frac{C_{sd}pt}{m_p}} + \frac{S_o^2 C^2 W_f^2}{x \cdot P_0} \cdot j \right] \right\} \quad (5.3.28)$$

Cum înseă:

$$C^2 = \frac{x \cdot P_0}{S_o} \quad (5.3.29)$$

și că, în cazul undelor de presiune plane întemeitătoare undei de presiune se exprimă în funcție de viteza particulei mediului continuu, prin expresia

$$i = -\frac{1}{2} S_o C \cdot W_f^2 \quad (5.3.30)$$

care înlocuit în (5.3.28) duce la modificarea expresiei în felul următor:

$$j_4 = \frac{S_p}{m_p} \left\{ \Delta \left[\frac{2i}{W_f} \cdot \frac{\omega \sin \omega t - \frac{C_{sd}p}{m_p} \cos \omega t}{\left(\frac{C_{sd}p}{m_p} \right)^2 + \omega^2} \cdot e^{-\frac{C_{sd}pt}{m_p}} + \frac{2i}{C} j \right] \right\} \quad (5.3.31)$$

$$sau \quad j_4 = \frac{i \cdot S_p}{m_p} \left\{ \Delta \left[\frac{2}{W_f} \cdot \frac{\omega \sin \omega t - \frac{C_{sd}p}{m_p} \cos \omega t}{\left(\frac{C_{sd}p}{m_p} \right)^2 + \omega^2} \cdot e^{-\frac{C_{sd}pt}{m_p}} + \frac{2}{C} j \right] \right\} \quad (5.3.32)$$

Constanta de integrare C se poate determina pentru condițiile inițiale date:

$$t=0; \quad w_p^* = 0; \quad w_i = w_{i_0}; \quad p = p_0;$$

Viteza particulei w_p s-a determinat pentru condițiile inițiale cînd între viteza portantă a jetului și viteza nigeșirii

particulei, nu există vre-o diferență, adică viteză relativă gaz-particulă este zero $v_g = 0$. Deci viteză w_p , calculat ca datoreasă numai oscilației mediului continuu și deci în condițiile determinării reprezintă și viteza relativă a particulei $w_{gp}^* = w_p$.

In condițiile oscilate se poate scrie că determină criteriul Re^* oscilat, care influențează valoarea coeficientului parțial de schimb termic și de masă:

$$Re^* = \frac{w_{gp}^* d}{\nu R} \quad (5.3.33)$$

În care:

R_e^* - criteriul R_e pentru particula în mediul oscilat;

$w_{gp}^* w_p$ - viteza relativă de oscilare mediu-particulă;

d_p - diametrul particulei;

ν - coeficientul de viscozitate cinetică.

In această situație rezultă că valoarea criteriului R_e^* particulă, mediu oscilat depinde proporțional cu intensitatea de radiație - 1 - a undei de presiune.

Coefficienții de schimb calorice și termic - se vor putea determina prin relații similară cu (4.4.21) și (4.4.22):

- coeficientul de transfer caloric, în mediu oscilat

$$\alpha_1^* = \frac{2 \lambda_1}{d_p} (1 + 0,333 R_e^{1/2}) \quad (5.3.34)$$

- coeficientul de transfer masic, în mediul oscilat

$$\kappa_1^* = 2 \frac{\lambda_1}{d_p} (1 + 0,333 R_e^{1/2}) \quad (5.3.35)$$

Coefficienții de transfer calorice și masice sunt influențați pozitiv de creșterea intensității de radiație a undei de presiune.

6. FENOMENUL DE COALESCENȚĂ

6.1. Fenomen de coalescență în jetul încărează cu particule de concentrat cuproasă, în sistem de oscilații

Sistemul zgură-mătă, rezultat în procesul de topire, a particulelor în suspensie, se caracterizează printr-o rezervă de energie liberă superficială [25] :

$$\Delta F = \sigma_{m-g} \Delta S$$

în care:

ΔF - rezerva de energie liberă;

σ_{m-g} - tensiunea interfață mătă-zgură;

ΔS - factor de suprafață.

Conform principiului al doilea al termodinamicii, sistemul de particule topite în suspensie,倾ne să treacă la forma cea mai stabilă încă în timpul cătă acestea se găsesc în jetul portant, prin micșorarea rezervei de energie liberă ΔF , care se realizează prin micșorarea factorului de suprafață ΔS , adică prin micșorarea gradului de dispersie a sistemului, procesul terminându-se prin formarea unor particule cu dimensiuni mai mari, capabile să se decanteze din jetul portant în cuptorul cuvării care se găsește în partea inferioară a turnului de reacție.

În turmul de reacție al cuptorului de topire, fenomenul de coalescență se realizează prin contopirea particulelor de dimensiuni formind particule mari. Contopirea particulelor în suspensie se realizează ca urmare a ciocnirilor reciproce care au loc în jetul portant, ca urmare a vitezelor relative a particulelor.

Se poate admite, cu suficientă exactitate, că creșterea volumului particulei, în unitate de timp este proporțională cu numărul ciocnirilor realizate în acest interval.

Numărul ciocnirilor particulelor din unitatea de volum al jetului sunt condiționate de vitezele relative, făcă de jetul portant, a particulelor și de drumul liber mijlociu.

Pentru determinarea drumului liber mijlociu și a ciocnirilor particulelor din jet voi utiliza teoria probabilității, justificat prin acesta că, numărul particulelor solide în suspensie, din unitatea de volum, este suficient de mare.

În vederea simplificării calculelor se presupune că, amestecul de concentrat cuprins este format din două dimensiuni granulometrice caracterizat de diametrele d_1 și d_2 .

Ciocnirea dintre două particule, în timpul deplasării lor, va avea loc în momentul în care distanța dintre centrele lor devine egală cu:

$$x = \frac{d_1 + d_2}{2} \quad (6.1.2)$$

unde:

x = distanța dintre centre;

d_1, d_2 = diametrul particulelor.

Prin urmare se poate admite că particulele prinsului component granulometric sunt aferente cu raza:

$$r_1 = \frac{d_1 + d_2}{2} \quad (6.1.3)$$

în timp ce particulele celei de al doilea component sunt punctiforme. În acest caz ciocnirea va avea loc în momentul în care particula punctiformă atinge suprafața particulei aferice cu raza r_1 .

Dacă se admitem că particulele aparțin unei concentrații N , particule/ cm^3 , se află în repaus și uniform repartizate în spațiu și că o singură particulă punctiformă se deplacează prin acest spațiu cu viteză medie, w_p , atunci probabilitates că ea să parcurgă distanța x , fără a se ciocni cu o altă particulă fixă (făcă de volumul de referință), se depinde numai de această distanță, x :

$$w(x) = f(x) \quad (6.1.4)$$

In mod analog se poate scrie probabilitatea ca o particula să parcurgă distanță $x+dx$ fără a se ciocni, prin expresia:

$$W'(x) = f(x+dx) \quad (6.1.5)$$

Care după dezvoltarea funcției $(x+dx)$, conform teoremei lui Taylor ne conduce la:

$$W'(x) = f(x) + f'(x)dx = f(x) + \frac{d^2}{dx^2} x \cdot dx \quad (6.1.6)$$

Se observă însă că această probabilitate este totodată compusă din probabilitatea că particula să parcurgă distanța x fără a se ciocni și probabilitatea că particula nu se ciocnește niciodată cind parcurge în continuare încă distanța dx , adică se poate formula:

$$W'_x = f(x) \cdot f(dx) \quad (6.1.7)$$

Probabilitatea $f(dx)$ poate fi determinată prin calcul. În acest scop vom considera două planuri parallele la distanța dx între ele, dispuse perpendicular pe curgerea principală. Particulele fixe vom considera că se află într-un volum cilindric cu secțiunea de 1 cm^2 . În consecință, cele două planuri paralele vor delimita un volum elementar egal cu $dx \text{ cm}^3$, în care se află $N_1 \cdot dx$ particule fixe, care oferă particulei punctiforme mobile o suprafață totală de

$$S_t = N_1 \cdot \pi \cdot \left(\frac{d_1 + d_2}{2} \right)^2 \cdot dx \quad (6.1.7)$$

dacă se neglijesc efectele posibile de escanare.

Cu aceasta, probabilitatea parcurgerii distanței dx de către particula punctiformă, fără ca ea să se ciocnească cu una din particulele fixe, poate fi redată prin raportul dintre suprafața neocupată și suprafața totală a secțiunii (egală cu 1 cm^2). Suprafața neocupată va fi egală cu

$$S_n = 1 - N_1 \cdot \pi \cdot \left(\frac{d_1 + d_2}{2} \right)^2 \cdot dx \quad (6.1.8)$$

Suprafața neocupată va reprezenta totodată și probabilitatea ca particula să parcurgă distanța dx fără a se ciocni cu una din particulele fixe.

$$f(dx) = \left[1 - N_1 \cdot \pi \cdot \left(\frac{d_1 + d_2}{2} \right)^2 \cdot dx \right] \quad (6.1.9)$$

Inlocuind (6.1.9) în (6.1.7) rezultă:

$$\frac{dN_x}{dx} = f(x) \left[1 - N_1 \cdot \pi \cdot \left(\frac{d_1 + d_2}{2} \right)^2 \cdot dx \right] = N_x + \frac{dN_x}{dx} dx \quad (6.1.10)$$

dacă se ține cont de (6.1.4) se obține:

$$\frac{dN_x}{dx} \left[1 - N_1 \cdot \pi \cdot \left(\frac{d_1 + d_2}{2} \right)^2 \cdot dx \right] = N_x + \frac{dN_x}{dx} dx \quad (6.1.11)$$

de unde se obține

$$\frac{dN_x}{dx} = - N_1 \cdot \pi \cdot \left(\frac{d_1 + d_2}{2} \right)^2 dx = - \beta \cdot dx \quad (6.1.12)$$

Exprisia (6.1.12) prin integrare conduce la:

$$N_x = C \cdot e^{-\beta x} \quad (6.1.12')$$

Din condițiile initiale, adică pentru $x=0$, probabilitatea ca o particulă să nu se ciocnească cu altă particulă este $N_x=1$, cu care constanta C

$$C = 1 \quad (6.1.13)$$

În consecință, probabilitatea ca particula mobilă să parcurgă o distanță oricare x , fără a se ciocni devine egală cu:

$$N_x = e^{-\beta x} \quad (6.1.14)$$

Numărul de distanțe posibile pe care o particule le poate parcurge între căte două ciocniri consecutive este foarte mare astfel încât se poate pune problema aflatării unei valori medii a acestor percurseuri. Să presupunem că numărul total de distanțe posibile este egal cu n .

Atunci numărul percurseelor mai mici decât x , va fi dat de produsul dintre numărul total de distanțe posibile, n și probabilitatea ca particula să parcurgă distanță fără a se ciocni:

$$n_1 = n \cdot e^{-\beta x} \quad (6.1.15)$$

Corespondător numărului parcursurilor mai mici decât $x+dx$ va fi:

$$n_2 = n \cdot e^{-\beta(x+dx)} \quad (6.1.16)$$

Desvoltind funcția exponentială $\exp(-\beta dx)$ în serie și reținând doar primii termeni, dx fiind o mărime infinitesimală

$$\exp(-\beta dx) = 1 - \beta \cdot dx \quad (6.1.17)$$

rezultă n_2 :

$$n_2 = n \cdot \exp(-\beta x) [1 - \beta dx] \quad (6.1.18)$$

Pentru a se afle atunci numărul particulelor care au parcursuri cuprinse între x și $x+dx$, se va scădea numărul de particule n_2 care au parcurs distanța $x+dx$ din numărul de particule n_1 care au parcurs distanța x , și care este mai mare, deoarece particulele au parcurs o distanță mai mică.

După efectuarea calculelor se obține:

$$n_{dx} = n \beta \cdot e^{-\alpha x} \cdot dx \quad (6.1.19)$$

în timp ce distanța totală a tuturor parcursurilor particulelor, datorită numărului lor mare se poate scrie sub forma:

$$n \beta \int_0^\infty x e^{-\beta x} \cdot dx \quad (6.1.20)$$

Integrarea prin părți ne conduce la

$$n \beta \int_0^\infty x e^{-\alpha x} dx = n \beta \left\{ \left[-\frac{1}{\beta} x e^{-\beta x} \right]_0^\infty + \left[-\frac{1}{\beta^2} e^{-\beta x} \right]_0^\infty \right\} = \frac{n}{\beta} \quad (6.1.21)$$

care reprezintă distanța tuturor parcursurilor.

Impărțind distanța totală a tuturor parcursurilor particulelor solide prin numărul lor n , se va obține parcursul liber mijlociu al unei particule:

$$\bar{l} = \frac{n}{\beta} \cdot \frac{1}{n} = \frac{1}{\beta} = \frac{1}{N_1 \pi (d_1 + d_2)^2} \quad (6.1.22)$$

Presupunând că particula de tipul (2) se mișcă cu viteză medie w_p [$\frac{\text{m}}{\text{sec}}$] (fază de jetul portant), atunci distanța parcursă în unitatea de timp va fi egală cu $w_p [m]$. În acest timp particula va

suferi următorul număr de ciocniri:

$$z_1 = \frac{\bar{w}}{\ell} [ciocniri] \quad (6.1.23)$$

Relația (6.1.23) însă nu prezintă numărul corect de ciocniri pe care le suferă o particulă în suspensie, decareea la deducerea că nu s-a ținut seama de faptul că toate particulele se află în mișcare. Prin urmare, este mai corect că să fie folosită, viteză medie relativă, \bar{w}_{pr} , a particulei care se ciocnește, pentru ca expresia redată să rămână valabilă.

Viteză medie relativă între particule se poate scrie sub formă:

$$\bar{w}_{pr} = (\bar{w}_{p_1}^2 + \bar{w}_{p_2}^2 - 2 \bar{w}_{p_1} \cdot \bar{w}_{p_2} \cos \theta)^{1/2} \quad (6.1.24)$$

Cu această expresie numărul ciocnirilor suferite de particulele solide de tipul (2) cu toate particulele de tipul (1), devine egală cu

$$z_1 = N_1 \pi (\bar{w}_{p_1}^2 + \bar{w}_{p_2}^2 - 2 \bar{w}_{p_1} \cdot \bar{w}_{p_2} \cos \theta)^{1/2} \left(\frac{d_1 + d_2}{2} \right)^2 \quad (6.1.25)$$

Dacă notăm concentrația particulelor de tipul (2) cu N_2 [particule/ cm^3], atunci numărul de ciocniri în unitatea de timp dintre particulele de tipul (1) și particulele de tipul (2) va fi egal cu:

$$z_{12} = N_1 \cdot N_2 \pi (\bar{w}_{p_1}^2 + \bar{w}_{p_2}^2 - 2 \bar{w}_{p_1} \cdot \bar{w}_{p_2} \cos \theta)^{1/2} \left(\frac{d_1 + d_2}{2} \right)^2 \quad (6.1.26)$$

În sistemul Jetului necesară probabilitatea maximă este că toate particulele se vor deplasa în același direcție și ciocnirile vor avea loc prin telescopare, adică particulele cu viteze relative mari vor ajunge pe cele cu viteză mai mică cu care se vor ciocni, adică se poate considera că valoarea unghiului de impact este zero.

Pentru această situație relația (6.1.26) va lua forma:

$$z_{12} = N_1 \cdot N_2 \pi (\bar{w}_{p_1}^2 + \bar{w}_{p_2}^2 - 2 \bar{w}_{p_1} \cdot \bar{w}_{p_2})^{1/2} \left(\frac{d_1 + d_2}{2} \right)^2 \quad (6.1.27)$$

In cazul jetului nevizibil asupra particulei (ca forțe principale) acționează forță de fricare (Stockes) și forță de greutate.

Datorită evazării jetului portant în direcția curgerii (de sus în jos) la baza jetului particulele solide sunt accelerate (viteză inițială a particulelor $v_p = 0$ față de peretele tunelui de reacție) după un parcurs ^{scurt} îar în partea evazată a jetului fluidul devine o frindă în mișcarea particulelor.

Accelerarea particulelor solide va fi făcută pînă ce viteză particulei (față de fluidul portant) nu atinge viteză de plutire a particulei, care este (pentru cazul curgerii Stockes):

$$3\pi \cdot \frac{1}{2} \cdot d_p^2 \cdot w_p = \frac{\pi \cdot d_p^3}{6} \cdot \rho_p \cdot g \quad (6.1.28)$$

De unde rezultă viteză de plutire:

$$w_p = \frac{d_p^2 \cdot \rho_p \cdot g}{18 \cdot \frac{1}{2}} \quad (6.1.29)$$

unde:

w_p - viteză relativă a particulei din jet;

d_p - diametrul particulei;

$\frac{1}{2}$ - viscositatea dinamică a aerului.

Aplicarea acesteror relații se va face pentru granulația concentratului cupros utilizat în med curant.

Exemplificarea o voi prezenta pentru un sort, de concentrat format din două dimensiuni granulometrice cu diametrele $d_1 = 40 \mu$ și $d_2 = 160 \mu$.

Relativ w_p pentru sortul (1) se obține cu relația:

$$w_{p1} = \frac{d_{p1}^2 \cdot \rho_p \cdot g}{18 \cdot \frac{1}{2}} \quad \text{și pentru 2) } w_{p2} = \frac{d_{p2}^2 \cdot \rho_p \cdot g}{18 \cdot \frac{1}{2}} \quad (6.1.29)$$

Nr. crt.	$w_{p1} [m/sec]$	$d_{p1} [m]$	$\rho_p [Kg/m^3]$	$\frac{1}{2} [N \cdot sec] / m^2$ pt. $1000^\circ C$	$g [m/sec^2]$
1.	$0,08008$	$40 \cdot 10^{-6}$	4500	$49,05 \cdot 10^{-6}$	9,81
2.	$0,1802$	$160 \cdot 10^{-6}$	4500	$49,05 \cdot 10^{-6}$	9,81

În cazul sistemului vibrat atât presiunea de radiere a undei de presiune cît și forța de greutate a particulei este redusă prin forța de rezistență a fluidului portant, se poate scrie că viteză maximă relativă a particulei w_p^* oscilată va fi:

$$3\pi \cdot 3 \cdot d_p w_p^* = \frac{\pi d_p^3}{6} \rho_p g + \Delta p_m \cdot \frac{\pi d_p^2}{4} \quad (6.130)$$

unde:

w_p^* - viteză relativă maximă posibilă a particulei față de jetul portant;

Δp_m - diferența de presiune ce acționează pe cele două semisfere din care este formată particula.

Presiunea de radiere a undei se poate calcula din vălăres intensitatea de radiere cu relația:

$$p_m = \sqrt{2 \cdot I \cdot \rho_0 \cdot c} \quad (6.1.3)$$

unde:

p_m - presiunea de radiere;

I - intensitatea sursei de radiere;

ρ_0 - densitatea mediului portant;

c - viteză de propagare a undei.

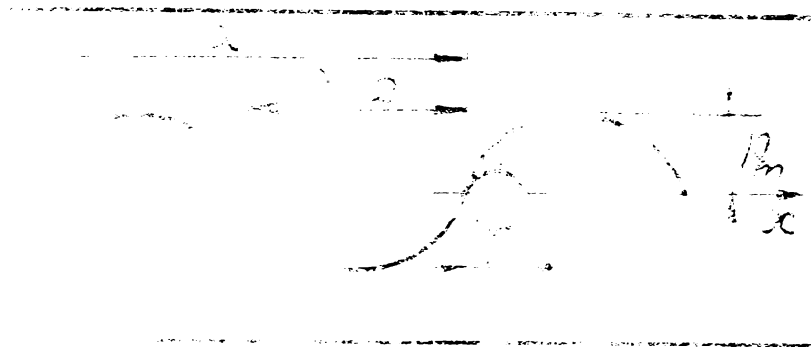
Cu aceasta, w_p^* din (4.4.30) rezultă:

$$w_p^* = \frac{d_p^2 \cdot \rho_0 \cdot g}{18 \cdot I} + \Delta p_m \frac{d_p}{12 \cdot 3} = w_p + w_p' \quad (6.1.3)$$

Pentru exemplificare se vor calcula valorile vitezei de vibrare a particulei (față de jet) pentru cazul unei surse de radiere cu intensitatea de $I=600 \text{ [watt/m}^2\text{]}$, la frecvență de 5000 Hz.

Nr. crt.	$I \left[\frac{\text{Watt}}{\text{m}^2} \right]$	$\rho_0 \left[\frac{\text{kg}}{\text{m}^3} \right]$	$c \left[\frac{\text{m}}{\text{sec}} \right]$	$10^{-3} d_p \left[\frac{\text{m}}{\text{m}} \right]$	$10^3 \cdot I \left[\frac{\text{N} \cdot \text{m}}{\text{sec}^2} \right]$	$w_p \left[\frac{\text{m}}{\text{sec}} \right]$	$\Delta P \left[\frac{\text{N}}{\text{m}^2} \right]$	$w_p' \left[\frac{\text{m}}{\text{sec}} \right]$	$w_p^* \left[\frac{\text{m}}{\text{sec}} \right]$
1.	600	1,2	340	40	49,05	0,08003	4,094	0,2782	0,3582
2.	600	1,2	340	80	49,05	0,1802	6,141	0,6259	0,8061

Diferență de presiune care acționează pe cele două jumătăți a particulei se poate aprecia din amplitudinea presiunii.



Din figura (6.6.1) se poate observa că în cazul particulelor nici se poate scrie diferență de presiune care acționează pe cele două jumătăți a particulei sub formă:

$$\Delta P_m = 2 \cdot P_m \frac{d_p/2}{\lambda/2} = 2 \cdot P_m \frac{d_p}{\lambda} \quad (6.1.33)$$

Din (6.1.31) rezultă, prin înlocuirea datelor:

$$P_m = \sqrt{\varepsilon \cdot I \cdot \rho_0 \cdot c} = \sqrt{2 \cdot 600 \cdot 0,297 \cdot 340 \cdot 10^2} \sqrt{12,1176^2} = 3480 \left[\frac{N}{m^2} \right]$$

$$I = 6,36 \left[\text{W/m}^2 \right]; \quad \rho_{0,1000} = 0,297 \left[\frac{\text{kg}}{\text{m}^3} \right]; \quad c = 340 \left[\text{m/sec} \right]$$

Din valoarea amplitudinii presiunii rezultă:

$$\Delta P_m = 2 \cdot P_m \frac{d_p}{\lambda}$$

$$\lambda = \frac{140000}{5000} = 68 \text{ [mm]}$$

De unde pentru particule cu $d_p = 40$

$$\Delta P_{m,40} = 2 \cdot P_m \frac{d_p}{\lambda} = 2 \cdot 3480 \frac{40 \cdot 10^{-3}}{68} = 4,094 \left[\frac{\text{N}}{\text{m}^2} \right]$$

$$\Delta P_{b,40} = 2 \cdot P_m \frac{d_p}{\lambda} = 2 \cdot 3480 \frac{60 \cdot 10^{-3}}{68} = 6,141 \left[\frac{\text{N}}{\text{m}^2} \right]$$

Viteza maximă ce ar trebui să treacă particula datorită presiunii de rodajie

$$v_{b,40} = \Delta P_m \frac{d_p}{12 \cdot 3} = 4,094 \cdot \frac{40 \cdot 10^{-3}}{12 \cdot 49,05 \cdot 10^{-6}} = 0,782 \left[\text{m/sec} \right]$$

$$w'_{p_{B_0}} = \Delta p_x \frac{d_p}{12 \cdot 3} = 6,261 - \frac{60 \cdot 10^{-6}}{17,49,05 \cdot 10^{-6}} = 0,6259 \text{ [m/sec]}$$

Inlocuind in (6.1.27) valorile calculate ale vitezelor relative, pentru cele două fracții granulometrice, în cazul sistemului nevibrat se obțin pentru cloenirile valoarea:

$$\begin{aligned} Z_{12} &= E_1 \cdot E_2 (w_{p_1}^2 + w_{p_2}^2 - 2 w_{p_1} \cdot w_{p_2})^{1/2} \left(\frac{d_{p_1} + d_{p_2}}{2} \right)^2 = \\ &= E_1 \cdot E_2 (0,1802^2 + 0,3582^2 - 2 \cdot 0,1802 \cdot 0,3582)^{1/2} \left(\frac{d_{p_1} + d_{p_2}}{2} \right)^2 = \\ &= E_1 \cdot E_2 (0,0324 + 0,1264 - 0,0583)^{1/2} \left(\frac{d_{p_1} + d_{p_2}}{2} \right)^2 = 0,1 \cdot E_1 E_2 \left(\frac{d_{p_1} + d_{p_2}}{2} \right)^2 \end{aligned}$$

In cazul sistemului oscilat numărul cloenirilor dintre particule va fi:

$$\begin{aligned} Z_{12}^* &= E_1 E_2 (0,8061^2 + 0,3582^2 - 2 \cdot 0,8061 \cdot 0,3582)^{1/2} \left(\frac{d_{p_1} + d_{p_2}}{2} \right)^2 = \\ &= E_1 E_2 (0,64 + 0,1281 - 0,5728)^{1/2} \left(\frac{d_{p_1} + d_{p_2}}{2} \right)^2 = \\ &= 0,446 \cdot E_1 E_2 \left(\frac{d_{p_1} + d_{p_2}}{2} \right)^2. \end{aligned}$$

Din comparație cloenirile în sistemul sără oscilații cu cloenirile din sistemul oscilat rezultă:

$$Z_{12}^* = 4,46 Z_{12}$$

deci numărul cloenirilor în sistemul oscilat este de 4,46 ori mai mare în comparație cu cloenirile din sistemul nevibrat.

Numarul cloenirilor în fază oscilată va conduce la creșterea masei particulelor.

Creșterea cloenirilor din sistemul (jetul) oscilat conduce la creșterea diametrelor particulelor, care favorizează dezvoltarea topiturii în cursul de gaze tehnologice într-o proporție mai mare, în comparație cu jetul nevibrat.

Se poate scrie volumul (v_0^*) particulelor din sistemul oscilat în funcție de volumul (v_p^*) particulelor din jetul nevibrat:

$$v_p^* = \frac{s_{12}^*}{z_{12}} \cdot v_0^* \quad (6.1.33)$$

Diametrul particulelor din jetul oscilat astfel va fi:

$$d_p^* = d_p \sqrt[3]{\frac{s_{12}^*}{z_{12}}} \quad (6.2.33)$$

d_p - diametrul particulei din sistemul vibrat;

Cantitatea de praf antrenat cu gazele tehnologice este mai mare în cazul particulelor diametru mici.

Reportul diametrelor particulelor din jetul nevibrat și jetul oscilat este proporțional cu reducerea prafului entranat degazele tehnologice. Cantitatea de praf antrenat, în sistemul vibrat, se va reduce în proporția creșterii diametrelor respectiv cu:

$$\frac{d_p^*}{d_p} = \frac{d_p}{d_p^*} = \frac{d_p}{d_p \sqrt[3]{\frac{s_{12}^*}{z_{12}}}} = \sqrt[3]{\frac{z_{12}}{s_{12}}} \quad (6.1.24)$$

In cazul celor două fracții granulometrice de 4 și 51 μ reducerea prafului este

$$\frac{d_p^*}{d_p} = \frac{1}{\sqrt[3]{4,46}} = \frac{1}{1,646} = 0,6$$

In concluzie, praful entranat in gazele tehnologice la sistemul oscilat scade cu 40% față de cantitatea de praf entranat in gaze tehnologice de la sistemul neoscilat.

7. STANDUL EXPERIMENTAL, METODA DE LUCRU, APARATURA

7.1.1. Modificările propuse regă de tehnologie convențională

Necesitatea realizării unei tehnologii judicioase, corespunzător cu progresul realizat în domeniul intensificării proceselor de transfer caloric și masic, impune introducerea unor modificări principale și constructive, la acelle elemente ale agregatului de topire în suspensie care condiționează desfășurarea proceselor metalurgice ce au loc în primul rind în turnul de reacție.

În concluziile ce rezultă de la capitelele anterioare, schimbul convectiv de căldură și masă este caracteristic jetului portant, încărcat cu particule solide. Parametrii caracteristici fenomenelor de transport a căldurii și masei sunt coeficientii de difuziune termic și de masă și concentrațiile proprietăților respective (de căldură și de masă) care condiționează viteza proceselor fizico-chimice din turnul de reacție.

Studiul proceselor ce au loc în cuporul de topire în suspensie, confirmă necesitatea intensificării acestora.

Vrețetări întreprinse în timpul întocmirii acestor lucrări, au confirmat că prin suprapunere peste jet, a unor oscilații elastice, de $(6-12)$ kHz, permit intensificarea proceselor de oxidare din turnul de reacție.

Mărimea variației coeficientului termic și de masă convectiv, precum și direcția modificării acestuia, este dependentă de condițiile concrete în care are loc procesul dat, cum este intensitatea și frecvența undei de presiune aplicată, diferența de temperatură dintre aerul (gazul) portant și particulele în suspensie, geometria particulelor solide în suspensie, densitatea fluidului portant, concentrația locală a oxidantului constituind tot atâtă mărime care influențează schimbul global de căldură și de masă între cele două faze. Am stabilit experimental că influența vibratiilor asupra schimbului de căldură și de masă, între cele două faze (continuu și particule solide) devine marcată, pentru intensități de raziație a undei de presiune ce depășesc o anumită mărime critică.

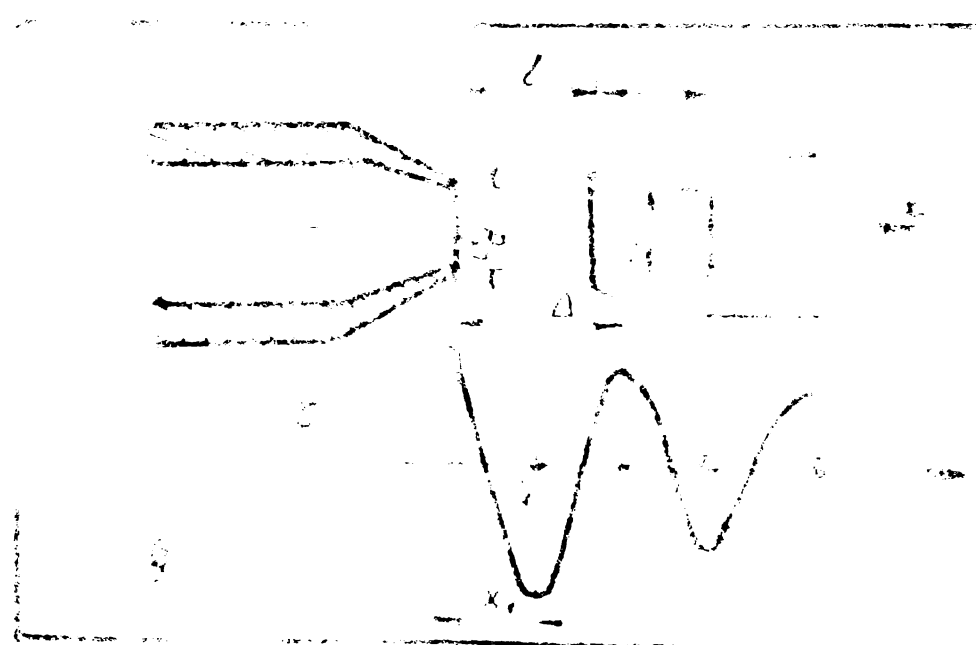
Așindu-se în vedere faptul că instalația industrială de topire în susție face parte din categoria agregatelor de o

complexitate deosebită, aceasta nu permite modificări constructive de natură dimensională sau privind forma geometrică care m-a obligat în direcția de cercetare, pentru realizarea unei tehnologii judicioase și-să întreptă spre crearea condițiilor hidrodinamice optime.

In scopul îmbunătățirii condițiilor hidrodinamice am propus realizarea unui "arsător de concentrat" de o construcție modificată față de cel utilizat, prin incluzarea în ansamblul acestuia a unor generatori de unde de presiune cu o frecvență de (6-12) kHz.

Generatorul unei de presiune (acustice) tip Hartmann 33 transformă energia cinetică a unui fluid în mișcare în energie acustică. Ca fluid, pentru generarea undelor de presiune, adesea este utilizat aerul comprimat.

Astfel, la generatorul Hartmann, jetul de aer comprimat ieșe dintr-un ajutaj convergent (cilindric) șezat în fața unei camere de rezonanță ,fig.7.1.1.



Ajutajul convergent face ca presiunea aerului să decrescă în lungul ajutajului, iar viteză să crească, atingând chiar valori supersonice.

Variatia presiunii in spatiul dintre sectiunile de ieșire a ajutajului si cavitatei de rezonanță, este arătată în fig. 7.1.1. Presiunea atinge un minim într-o secțiune a_1 , aflată la distanța x_1 de secțiunea de ieșire.

In punctele următoare presiunea devine din nou maximă și ciclul se repetă, distribuția presiunii în lungul jetului fiind periodică. Zonele $a_i b_j$ ($i=1 \dots n$) în care presiunea crește sunt denumite zone de instabilitate. Deoarece în apropierea unei astfel de zone se formează o cavitate de rezonanță, în sur se produc vibrații cu o frecvență fundamentală:

$$f_0 = \frac{c}{4(h+0,3 \text{ cm})} [\text{Hz}] \quad (7.1.1)$$

unde:

d_r - diametrul camerei de rezonanță; [mm] $\cdot 10^{-3}$

h — adâncimea camerei de rezonanță; [mm] $\cdot 10^{-3}$

c - viteza sunetului în mediul conicăzat.

Relațiile de calcul stabilită pentru generatorii tip Hartmann sunt deduse pe cale empirică și diferă neșențial de la autor la autor [33], cele mai uzuale expresii sunt următoarele:

$$f_{\max} = \frac{2400}{\lambda_{\min}} = \frac{5860}{d_s} [\text{Hz}] \quad (7.1.2)$$

$$R = \frac{f_{\max} - f_{\min}}{f_{\max}} \cdot 100 = 9,025 \quad (p_0 = 0,912) [\%] \quad (7.1.3)$$

$$\frac{x_1}{d_s} = 1 + 0,0416 \quad (p_0 = 0,912)^2 \quad (7.1.4)$$

$$\frac{b_1 - a_1}{d_s} = 0,433 \sqrt{p_0 - 1,824} \quad (7.1.5)$$

$$\frac{\frac{x}{d_s}}{d_s^2} = 297,08 \sqrt{p_0 - 0,912} \left[\frac{\text{N}}{\text{cm}^2} \right] \quad (7.1.6)$$

$$\frac{\frac{w_n}{d_s^2}}{d_s^2} = 5384,5 \quad (p_0 = 1,013) \quad [(p_0 + 1,013)^{0,291} - 1] \left[\frac{\text{N}}{\text{cm}^2} \right] \quad (7.1.7)$$

$$\beta_2 = \frac{w_n}{w_n} [\%] \quad (7.1.8)$$

$$\frac{D}{d_s^2} = 0,869 \quad (p_0 = 1,013) \left[\frac{\text{m}^3}{\text{min} \cdot \text{cm}^2} \right] \quad (7.1.9)$$

unde:

f_{max} = frecvență maximă corespunzătoare primei zone de instabilitate;

λ_{min} = lungimea de undă minimă cm ;

R = domeniul de reglare al frecvenței;

a_1 = distanță la care începe prima zonă de instabilitate;

γ_a = puterea acustică emisă;

W_n = puterea mecanică necesară creării jetului respectiv;

η_a = rendamentul acustic al generatorului;

D_g = debitul volumic specific de gaz.

În toate expresiile d_g se introduce în cm, iar p_0 în bar și reprezintă suprăpresiunea de alimentare.

În experimentele efectuate s-a utilizat un model geometric pentru turbul de rezonanție de 15 ori micșorat. La determinările experimentale privind valoarea coeficienților de schimb termic și masă s-a folosit un generator Hartmann multiplu, cu următoarele caracteristici:

Tipul generator	de [mm]	k_d	P_0 [kgf]	P [kgf]	η [%]	h [m]	d_g [mm]
Generator Hartmann	3	1,3	5	13,77 11,80 14,40	54,019x 3 162,027	5 6 8	5 6 9
cu 3 diuse							

7.2.1. Metoda cercetărilor experimentale

Cercetarea experimentală, pentru justificarea necesității de modificare a tehnologiei actuale de topire în suspensie a concentratelor cuproase și a piritelor (la început), s-a realizat pe un model micșorat a lui turbului de rezonanție.

În model geometric s-a folosit o coloană cilindrică, cu diametrul interior de 20 mm (fig. 7.1). În partea superioară a coloanei s-a montat generatorul Hartmann multiplu cu 3 rezonanțe



Fig. 7.2.1.

pe 2 buc. suporturi ceramice.

Diametrul rezistenței electrice a fost de 0,3 mm (apropiat de dimensiunea particulelor de concentrat 0,04 ~ 0,5 mm). Puterea maximă absorbită de pe rețea a fost de 1,2 kW.

In vederea determinării următoarelor caracteristici ale oscilațiilor aplicate, instalația experimentală a fost cuplată la o serie de apărate de măsură și control (fig. 7.2.2), astfel că au utilizat:

- detector de unde de precizie (1), realizat printr-un microfon cu sensibilitate ridicată;
- generator de semnale (2) utilizat în vederea determinării domeniului de frecvență a oscilațiilor;

cu diametru ajutorialui de 3 mm.

Presiunea aerului a fost reglată cu un regulator de presiune la valoarea nominală de 5 bar.

Modelul experimental a folosit pentru determinarea coeficienților parțiali de transfer caloritic și uscic.

In vederea modelării fenomenului fizic privind schimbul caloritic dintre particule solide și jetul portant, în modelul geometric a căruia există rezistențe electrice sub formă de cercuri concentrică



Fig. 7.2.2.

- osciloscop (3) pentru visualizarea caracterului și pentru determinarea domeniului de frecvență a oscilațiilor aplicate;
- aparate pentru măsurarea mărimilor electrice la montajul realizat (ampermetre, voltmetre);

Crearea unor condiții favorabile intensificării fenomenelor de transport la modelul experimental s-a realizat prin introducerea în fluid a unei energii acustice produs cu ajutorul unui generator acustic tip Hartmann multiplu, cu 3 rezonatoare montate într-o

cavitate exponențială.

Măsurările experimentale s-au realizat atât pentru starea nevibrată a mediului continuu cît și pentru starea oscilată a gazului portant.

În timpul măsurătorilor, debitul de aer a fost reglat la o valoare constantă.

În partea inferioară a coloanei a fost făcut un orificiu, cu diametrul de 80 mm, prin care s-a evacuat aerul folosit la experimentări. Orificiul a servit și pentru amplasarea aparatelor de măsură.

7.2.2. Determinarea coefficientului parțial de transfer termic

În cazul montajului realizat s-au măsurat temperaturile aerului la intrare și la ieșire din modelul experimental.

Temperatura rezistenței a fost fixată pentru regimul stationar, la 600°C .

Ecuațiile bilanțului termic (scrise pentru modelul realizat), oferă o cale simplă pentru determinarea coeficientului parțial de transfer termic.

În experimentul realizat, căldura cedată de rezistențe electrice, aerului, se realizează prin convecție și se calculează cu relația:

$$Q_1 = \alpha (t_2 - t_1) \cdot \Delta_1 \cdot \bar{t} \quad [\text{kcal}] \quad (7.2.1)$$

unde:

Q_1 - căldura cedată de rezistențe electrice;

α - coeficientul de convecție;

t_1, t_2 - temperatura inițială și finală a rezistenței;

Δ_1 - suprafața de contact rezistență-aer;

\bar{t} - durata procesului de schimb.

Căldura cedată de rezistențe electrice, se regăsește sub formă de căldură fizică acumulată în aerul ce se evacuează din coloana experimentală și se poate exprima cantitativ cu relația:

$$Q_2 = A \cdot \dot{m} \cdot \rho \cdot C_p (t_2 - t_1) = q \cdot C_p (t_2 - t_1) \quad (7.2.2)$$

în care:

Q_2 - căldura preluată de aerul trecut prin coloană;

q - debitul de aer; $[\text{Nm}^3]$

C_p - căldura specifică a aerului; $[\frac{\text{kcal}}{\text{Nm}^3 \cdot \text{K}}]$

t_2, t_1 - temperatură la intrare și ieșire din model.

În regim de funcționare stationar, căldura cedată de rezistențe electrice din model este egală cu căldura preluată de curentul de aer care trece prin coloană. Astfel, se poate scrie egalitatea între Q_1 și Q_2 :

Aplicând ecuațiile bilanțului pentru sistemul neoscilat și pentru cel oscilat, se obțin relațiile:

- pentru sistemul neoscilat:

$$q \cdot C_p (t_2 - t_1) = \alpha (t_2 - t_1) \cdot \Delta \quad (7.2.3)$$

- pentru sistemul oscilat:

$$q \cdot C_p (t_2 - t_1) = \alpha' (t_2 - t_1) \cdot \Delta \quad (7.2.4)$$

În aceste relații:

t_2' — temperatura aerului la ieșire din modulă pentru sistemei oscilate;

t_2 — temperatura de ieșire din coloană pentru sistemul neoscilat;

t_1 — temperatura la suprafața rezistențelor.

Din raportul relațiilor (7.2.3) și (7.2.4) se obține:

$$\frac{L'}{L} = \frac{t_2 - t_1}{t_2' - t_1} \quad (7.2.5)$$

relație care permite determinarea coeficientului de transfer termic al sistemului vibrat în funcție de coeficientul de transfer termic al sistemului nevibrat:

$$L' = L \frac{t_2 - t_1}{t_2' - t_1} \quad (7.2.6)$$

cu condiția ca temperatura rezistențelor electrice este aceeași în ambele situații.

Efectuând mai multe încercări, s-a constatat că valorile cele mai ridicate ale coeficientului de convecție termică s-a obținut pentru frecvențe de ($B=12$) kHz.

Măsurările au fost efectuate pentru diferite intensități de radiatorie acustică. Au fost măsurate consecutiv temperaturile pentru:

1 — sistemul neoscilat;

2 — sistem oscilat cu un singur rezonator;

3 — sistem oscilat cu două rezonatoare;

4 — sistem oscilat cu trei rezonatoare;

obținind valorile din tabelul 7.2.1.

Tabel 7.2.1

		$I_1 = 54 [W]$	$I_2 = 108 [W]$	$I_3 = 162 [W]$
t_1	53	53	53	53
t_2	66	-	-	-
$t_{2'}$	-	69	74	78
L'	L	$1,230 L$	$1,615 L$	$1,925 L$

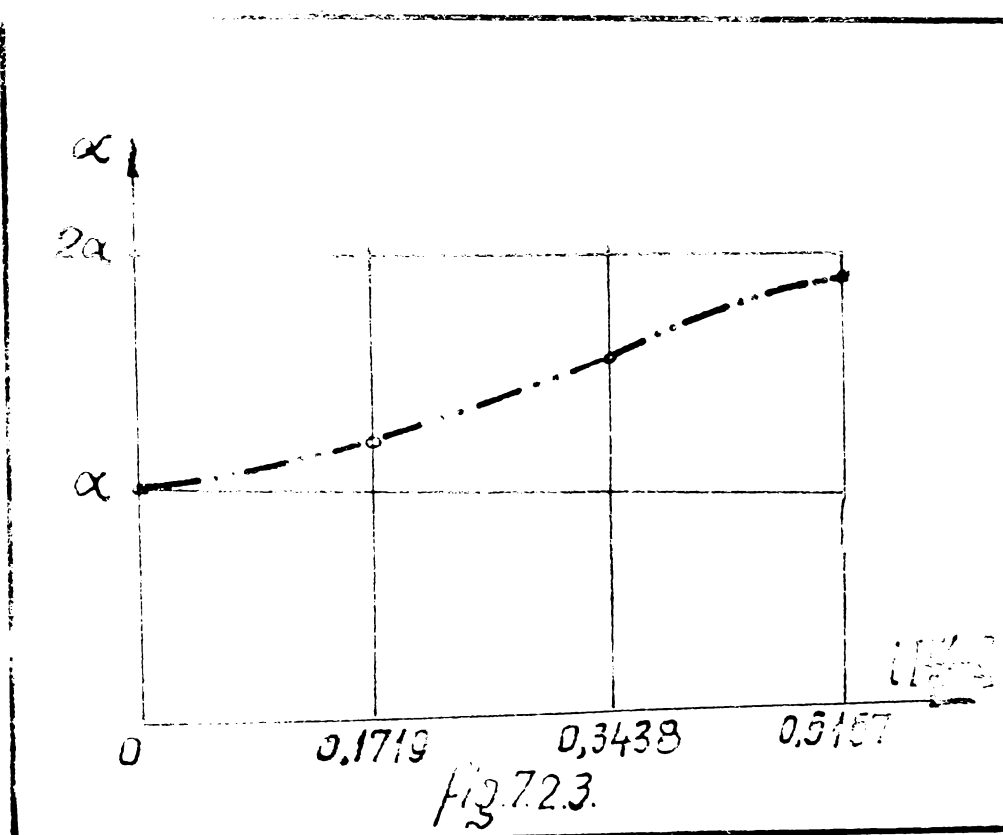
Dependența coeficientului de transfer calorice gaz-particule solide, se poate reda pentru sistemul oscilat în funcție de coeficientul de transfer, a sistemului nevibrat, obținut în aceleasi condiții hidrodinamice (debit de aer, presiune, viteză medie a curentului).

Coefficientul de transfer termic poate fi reprezentat într-o diagramă în funcție de intensitățile specifice [W/cm^2]. Stiind că modelul utilizat are un diametru interior de 20 cm rezultă următorul tabel de valori pentru în funcție de intensitate specifică de radiație. Tabel 7.2.2:

Tabel 7.2.2

Coef. conve- nțional at	$I_1 = \frac{1}{\pi} = 0,1719$ [W/cm^2]	$I_2 = \frac{1}{\pi} = 0,3438$ [W/cm^2]	$I_3 = \frac{1}{\pi} = 0,5157$ [W/cm^2]
α'	1,230	1,615	1,925

Cu valorile obținute pentru coeficientul parțial de transfer caloric în cazul sistemului oscilat, în funcție de intensitatea specifică de radiație, rezultă următoarea diagramă de dependență (fig.7.2.3).



Influența dinamicii particulelor solide din jet în sisteme oscilate, asupra operațiilor de transfer este exprimată prin creșterea, comparativ cu jetul născăzăt, a coeficientului de transfer termic de cca 2 ori. Intensificarea operațiilor de transfer se realizează prin mărirea amplitudinii undei de presiune cît și prin creșterea intensității specifice de radiație.

Datorită faptului că procesele de transfer sunt în fluență însăși de caracteristicile oscilațiilor și de alte mărimi, de exemplu: geometria turnului de reacție, granulometria particulelor solide, densitatea și viscozitatea mediului continuu, condițiile optime de operare se determină pentru fiecare caz în parte.

Rezultă că, intensificarea operațiilor de transfer, prin utilizarea oscilațiilor conduce la micșorarea dimensiunilor turnului de reacție sau în cazul menținerii dimensiunilor turnului de reacție oscilațiile duc la creșterea productivității instalației de topire și la ridicarea randamentului de extracție a metalului.

7.2.3. Determinarea transferului de masă

Suprapunerile peste curgerea staționară a jetului încărcat cu particule solide, și unor oscilații cu frecvențe, conduce la rezultate deosebite în operațiile în care are loc simultan transfer de masă și căldură.

Transferul de masă se realizează într-un strat de grosime mică (strat limită) care înconjoară particulele solide. Forța motrică a procesului C_g se micșorează (concentrația componentului care se transferă), datorită amestecării este aproape constantă pe o secțiune transversală a jetului, tinsind către valoarea de echilibru.

Cercetarea modului în care se realizează transferul de masă în turnul de reacție s-a făcut pe același model utilizat și la determinarea coeficientului de transfer termic. În locul rezistențelor termice au fost introduse site utilizate pentru susținerea substanței cu proprietăți de sublimare și dicătă.

Substanța utilizată a fost naftalina.

Frecvența vibrațiilor s-a menținut în același limite ca și în cazul determinării coeficientului de transfer termic (6-12 kHz).

Prăsajele aerului la intrare în model s-a menținut la 5 [bari]. În toate cazurile măsurate s-a pornit de la o cantitate de 100 grame naftalină cu granulație (0,5-0,8-1-2) [mm] amestecată în aceeași proporție de 25%.

La determinarea cantitativă a coeficientului de transfer pentru masă s-a pornit de la ecuația vitezei de difuziune:

$$v_{if} = \frac{dx}{dt} = - \frac{F D}{V \delta} (a-x) \quad (7.2.7)$$

unde:

F - suprafața particulelor;

V - volumul ocupat de particule de substanță;

D - coeficientul de difuziune;

δ - grosimea stratului limită;

a - cantitatea inițială de la substanță;

x - cantitatea de substanță sublimată pentru perioada de măsurare.

Prin integrarea ecuației (7.2.7) în limitele $t=0$, $x=0$ și $t=t$, $x=x$ se obține:

$$\frac{D}{\delta} \ln \frac{x}{a} = \frac{2 \pi k}{V} \lg \frac{a}{a-x} \quad (7.2.8)$$

Dacă ecuația (7.2.8.) se aplică pentru sistemul oscilat și neoscilat și făcind reportul lor se obține:

$$\frac{k_{osc}}{k} = \frac{\lg \frac{a}{a-x}}{\lg \frac{a}{a-x}} \quad (7.2.9)$$

Din (7.2.9) se poate exprima coeficientul parțial de transfer de masă a sistemului oscilat $[k_{osc} = \frac{a}{a-x}]$ în funcție de coeficientul parțial de transfer de masă a sistemului neoscilat $k = \frac{D}{\delta}$:

$$k_{osc} = k \frac{\lg a - \lg (a-x)}{\lg a - \lg (a-x)} \quad (7.2.10)$$

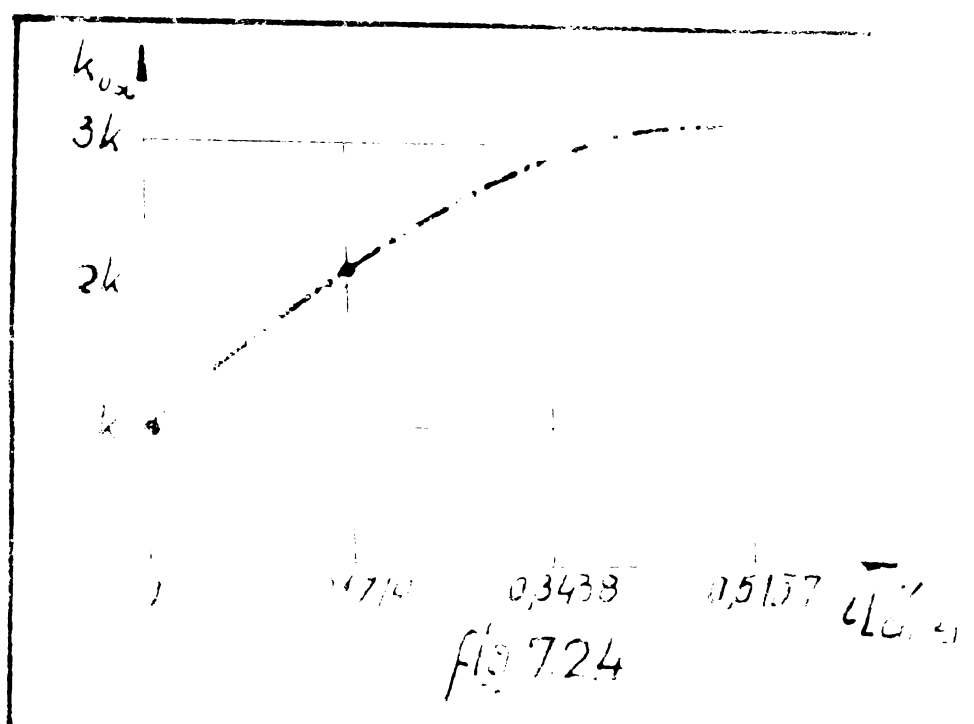
Măsurările au fost efectuate pentru aceeași situații ale intensității de radiație ca și la determinarea transferului termic. S-a obținut urmatorul tabel de valori (Tabel 2.2.3).

Cu valorile obținute în tabelul 2.2.3 se poate construi diagrame de dependență a coeficientului de transfer de masă a sistemului vibrat în funcție de intensitate de radiație i.

-179-

Tabel 8.2.3

	Sistem de os- cileat	$i_1 = 0,1719 \left[\frac{1}{\text{cm}^2} \right]$	$i_2 = 0,3438 \left[\frac{1}{\text{cm}^2} \right]$	$i_3 = 0,5157 \left[\frac{1}{\text{cm}^2} \right]$
x -cant. subst. (gr)				
sublimată în 15 minute	12,00	21,50	26,30	29,80
$k_{osc} = \frac{\lg \alpha - \lg(\alpha - x_{osc})}{\lg \alpha - \lg(\alpha - x)}$		2,10 k	2,88 k	3,04 k



Indiferent de natura proprietății transferate (masă, căldură) eficiența este cu atit mai mare cu cît structura jetului încărcat cu particule solide de concentrat este mai omogenă și cu cît banda de rezonanță a oscilațiilor aplicate se găsește mai aproape a particulelor în suspensie (frecvența de rezonanță).

8. REALIZAREA ARZATORULUI CU UNDE DE PRESIUNE

Degl tehnica topirii în suspensie a concentratelor cuproase și a piritelor, cu tehnologia convențională, permite obținerea unor performanțe remarcabile, ea prezintă unele inconveniente rezultate din principiul de realizare a tehnicii aplicate.

Tabel 8.1.1.

Nature inconvenien- tului	Efecte tehnologice sau economice	Propuneri de remediere
-Structuri heterogene ale jetului portant încărcat cu particule	-Inegalitatea concen- trației oxidantului și a duratălor de contact	-Adântarea concen- trației oxidantului în mai multe puncte ale jetului
-Formarea de pachete de particule în diferite zone ale jetului	-Micșorarea eficien- ței contactului în- tre faze -Micșorarea produc- tivității proceselor -Înrătățirea calita- ții topiturii	-Utilizarea unde- lor de presiune cu o frecvență optimă
-Recircularea particulelor neaeris din jet în partea superioară a tur- nului	-Formarea lipiturilor în turnul de reacție	-Folosirea oscila- țiilor pentru creșterea vitezei de ardere
-Randamentul de utiliza- re a aerului redus -Resistența hidraulică a arzătorului de concen- trat mare	-Intensificarea proces- elor metalurgice din turn -Consum suplimentar de energie electrică -Desulfurare redusă -Consum suplimentar de gaz metan(adap- tional) -Consum suplimentar energie electrică pentru invingerea resistențelor	-Modificarea cons- truției arzăto- rului -Utilizarea osci- lațiilor
-Coalescența particule- lor din turn scăzut	-Pierderea de metel mai mare în sgurd -Antrenarea unei can- tități mai mari de particule fine în gaze tehnologice	-Utilizarea os- ciilațiilor

Natura inconvenienților	Efecte tehnologice sau economice	Propuneri de remediere
-Antrenarea particulelor fini în instalațiile anexe.	-Pierderi de metal cu praful antrenat -Depunerile de lipituri mai intenșe pe canalul de evacuare, ceea ce recuperare -Consum de energie suplimentară pentru recircularea și mărirea prafului -Înrăutățirea trăcerii căldurii prin suprafețele canalului de recuperare	-Utilizarea colectoarelor

Existența, în procesul de topire în suspensie, a dificultăților arătate, a orientat efortul de cercetare spre realizarea unor modificări ale tehnologiei convenționale, spre operații tehnologice noi și în primul rînd spre intensificare proceselor de topire, măriind astfel eficacitatea acestei tehnici în operațiile de transfer cu implicații positive asupra productivității mijloajului, cît și asupra factorilor economici, care de multe ori reprezintă unicul argument pentru viabilitatea unei noi tehnici de lucru.

Propunerile de îmbunătățire a tehnologiei de lucru la topirea în suspensie a concentratelor cuproase a fost orientată spre realizarea unor modificări constructive ale arătorului de concentrare menite să modifice principiul de realizare a proceselor de transfer ce au loc în turnul de reacție, și să conducă în același timp și la perfecționarea anumitor operații fizice ca: antrenarea de particule în gaze, coalescente, rendamentul de extractie a cuprului.

Din informațiile oferite de literatura de specialitate cît și din materialele de sinteză ale congreselor realizate pe tema „Proceselor de topire în suspensie a concentratelor cuproase”, rezultă că în privința îmbunătățirii arătorului de concentrare există o preocupare permanentă încă oscilațiile (sau undele de prăsuție) nu s-au folosit încă, ca o tehnică nouă pentru îmbunătățirea acestei tehnologii.

În baza conolușilor desprinși din cercetarea experimentală pe model, privind intensificarea operațiilor de transfer cît și ca urmare a studiilor teoretice realizate cu privire la „Procesele

de topire în suspensie a concentratelor cuproase", în anul 1976 am elaborat proiectul unui arzător de concentrat pentru o instalație pilot (pentru topirea în suspensie a concentratelor cuproase) care a funcționat în cadrul Institutului de cercetări ale minereurilor și metalurgiei neferoase Baia Mare.

Arzătorul pentru stația pilot a fost executat și pus în funcțiune în anul 1976, pentru o capacitate de 400 kg/oră concentrat.

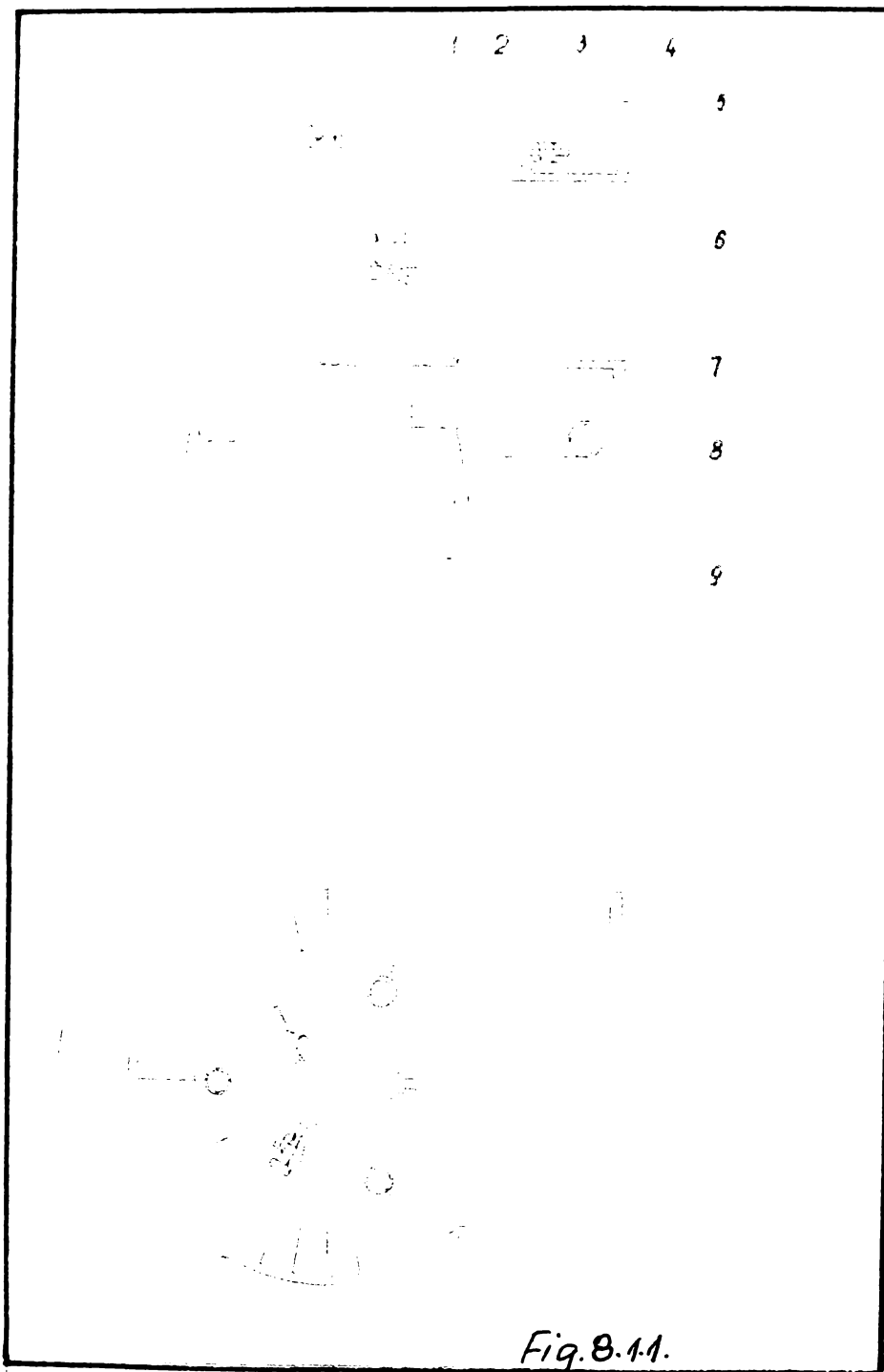


Fig. 8.11.

Forma construc-
tivă a arzătoru-
lui este arătată
în fig.8.1.1
care se compune
din următoarele
elemente prin-
cipale:

- 1=elementator concentrat;
- 2=record aer comprimat;
- 3=concentrator unde de presiune (cuci-
lații);
- 4=ajutor convergent;
- 5=gură de re-
glare;
- 6=corp arzător;
- 7=rezonator Hartmann;
- 8=conductă de alimentare cu
gas acetan;
- 9=palete turbino-
nare.

Arzătorul realizat funcționează în modul următor:
- aerul principalizir la temperatură de $(400-450)^{\circ}\text{C}$
este adus în corpul superior al arzătorului, corp căm care se reali-
zează o întoarcere a aerului cu 90° față de direcție se inițiază
de mișcare;

- din corpul superior aerul intră într-un ajutaj convergent în care este accelerat încât să ajunge în dreptul secțiunii minime a arzătorului, unde ca urmare a creșterii vitezei se realizează o depresiune de (10-15) mm H₂O față de presiunea din instalația de alimentare a concentratului;

- concentratul industrial este alimentat prin trei conducte deschise între ele la 120°, care este astfel amplasat încât orificiul de alimentare este pozitionat în dreptul secțiunii minime a concentratului astfel ca să permită o alimentare continuă fără pericolul de răbufnire în camere de alimentare;

- corpul inferior al arzătorului servește la o încreștinire (decelerare) a amestecului de concentrat-aer care îndeplinește rolul de oxigenizare a amestecului.

Pentru curgerea principală (jet încărcat cu particulele solide se suprapun undele de presiune cu o frevență de (6-12) kHz produsă de un generator Hartmann multiplu, dispusă pe o placă de susținere.

Generatorul acustic, pentru producerea oscilațiilor consumă aer comprimat, la o presiune de 5 bar, introdus în corpul generatorului prin recordul (2) de aer comprimat.

Undele de presiune (oscilațiile) au o intensitate de radiatie de 162 W.

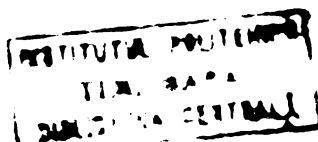
Arzătorul de concentrat este prevăzut complementar, cu un arzător de gaz metan, care are rolul de a accelera declanșarea reacțiilor chimice.

Principalele caracteristici ale arzătorului de concentrat utilizat la instalație pilot sunt prezentate în tabelul 8.1.2.

Tabel 8.1.2.

Debit con- Debit aer Viteza a- Intensite- Presiune	centrat [kg/h]	[m ³ /h]	nestec secundin.	te oscila- și	aer pt. producerea
Arzător concentrat- faze pilot	400	600	1475	162	oscilații bar

Caracteristicile generatorului de oscilații, utilizat la construcția arzătorului sunt cuprinse în tabelul 8.1.3.



Tabel 3.1.3

	d_a [cm]	d_g [cm]	l [cm]	h [cm]	$H = h_g + h_r$	$L = l/d_a$	$x_g = d_g/h$	Grosimea materialului rez. [mm]
Reactor Hartmann 3 buc.	0,3	0,4	0,5	0,5 0,6 0,7	1,25 1,50 1,75	1,66	1,33	0,04

Aplicarea arzătorului de concentrat, cu unde de presiune, la instalația de topire în suspensie a condus la importante avantaje tehnice și economice.

Tabelul 3.1.4.

Avantaj tehnic sau economic	Arazător vechi (firără) %	Arazător cu unde de presiune
- Continut de O_2 în gazele tehnologice	7%	2%
- Continut de SO_2 în gaze	8,7%	1,1%
- Continut de praf volatil în gaze gr/m^3	40	25
- Temperatura de regim în turnul de reacție	1553 K	1683 K
- Lipituri în turnul de reacție	da	nu
- Concentrarea metei	43%	53%
- Viscositatea zgurii	mai mare	reducere
- Continut de cupru în zgură	3,5	1,8
- Resistența hidraulică	1000 mbar ₀	450 mbar H ₂ O

Din buletinul de analiză a prefurilor entrate de gazele tehnologice C-108 (anexa V.) se pot trage o serie de concluzii importante cu privire la noua tehnologie de topire în suspensie a concentratelor cuproase, cu arzătorul cu unde de presiune, după cum urmășă:

- Quantitatea de praf entranat în instalație, în cazul noului arzător se reduce cu circa 40% față de tehnologia veche.

- Frosentul mai scăzut de SiO_2 pe răcitorul nr. 1,2,3 arată că topirea concentratului se realizează mai rapid și gradul de aglomerare a particulelor crește, ceea ce duce la o decantare

îmbunătățită a particulelor topoite din gazele tehnologice.

- Conținutul mai ridicat, în sulf, a prafurilor entranțe arată că procentul sulfurilor metalelor neferește crește atât în prafurile entranțe cât și în topitură.

- Scăderea procentului de Pb în prafurile de la râcitorul 1,2,3 arată că în turnul de reacție se realizează o oxidare mai intensă a piritelor (grad mai avansat de desulfurare) care ușează un efort mai ridicat de căldură.

- Conținutul mai ridicat a Pb și Zn în prafuri, este dovadă unei intensificări a proceselor de volatilizare din turnul de reacție.

- Cantitatea redată de Pb și Zn entranță în prafurile volatile, raportată la gărgă prelucrată, scade și pe urmăre o parte din aceste metale se vor decoata în cuptorul cu vatră.

- Procentul de cupru în prafurile entranțe scade, ca urmare un procent mai mare din acest metal va trece în topitură.

- Rezultatele obținute, la instalație pilot justifică pe deplin nevoie luării unor măsuri tehnice și pentru modificarea tehnologică actuală de topire în faza industrială.

În baza rezultatelor obținute în faza pilot, în anul 1977 s-a elaborat proiectul unui arzător pentru instalația de topire industrială a concentratelor cuproase. Realizarea construcției acestui proiect s-a făcut în anul 1978 și a fost aplicat prima dată în anul 1979, (într-o perioadă de 2 luni), în mod experimental.

Din unele consideranțe de ordin practic, bazate pe rezultatele obținute cu arzătorul, în faza pilot am făcut nevoie să aduc unele îmbunătățiri în construcția arzătorului industrial.

- S-a constatat, în faza pilot, că datorită turbionării jetului portant particulele de dimensiuni mai mari, ca urmare a efectului forței centrifuge au fost proiectate spre periferia jetului pînă ce s-au lovit de pergeți laterali și turnului care a dus la formarea unor lipituri locale, fapt ce a impus modificarea construcției inițiale a arzătorului, prin eliminarea paletelor de turbionare.

- O a doua deficiență constatătă a fost acest că la prima construcție jetul portant prezenta o deviere axială, ca urmare a aducerii aerului printre singură conductă laterală, fapt ce a dus la necesitatea creării unui prag de simetrizare a curentului de aer, plasat pe periferia covîrșii superioare a corpului arzătorului în dreptul conductei de aducție a aerului cald.

- Ca urmare a granuleșterii polidispere a concentretului (40-180) și în generateurile de oscilații multiple au fost introduse și rezonatoare cu frecvențe fundamentale de (3-6) kHz, realizat tot cu rezonatoare Hartmann cu diametrul ajutajelor de 4 și 5 mm.

9. CALCULUL ECONOMIC

9.1. Determinarea eficienței noii tehnologii de topire în suspensie

Limitarea tot mai mare a resurselor, în raport cu nevoile creșterii economice contemporane, face ca toată lumea să pună în centrul preocupărilor economice, rătionalitatea folosirii resurselor existente.

În cadrul acestor preocupări trebuie să se situeze și un grup de probleme privind determinarea eficienței maxime, în baza optimizării factorilor fundamentali care duc la un progres tehnic adecvat.

În elaborarea acestei lucrări am avut în vedere ca prin promovarea progresului tehnic să pătrundă dispozitivul remurii, noi posibilități tehnice pentru reducerea costurilor de elaborare a unor metale de o importanță deosebită cum este Cu, Pb și al.

În acest capitol voi prezenta cîteva din avantajele economice ce se obțin prin aplicarea tehnologiei noi de topire în suspensie a concentratelor cuproane, fără ca să abordez toate laturile economice ale problemei, limitat pe de o parte de faptul că în prezentă lucrare s-a abordat numai anumite laturi ale procesului de topire în suspensie (datorită complexității sale), pe de altă parte lipsa de instrumentație nu a permis o evaluare totală a tuturor avantajelor economice rezultante.

Hotărîtoare pentru introducerea concretă în fabricație și exploatare a unui mijloc tehnic nou este comparația cu variantele existente în practică încînt de introducerea noului mijloc. O parție presupune să analizăm critică parametrile utilajului vechi cu cele ale utilajului nou evidențiind acelle care duc și la rezultate economice.

Hotărîtoare pentru introduceres concretă în fabricație și exploatare a unui mijloc tehnic nou este comparație cu variante existente în practică înainte de introducerea noului mijloc. Compararea presupune o analiză critică a parametrilor utilajului vechi cu cele ale utilajului nou evidențierind ^{fie} accelerare dacă și la rezultate economice.

^{obiectat} În cazul concret se vor compara tehnologii de topire ^{comparativ} în suspensie, a cuprului, cu aceea promovată în prezenta lucrare ce poate fi cuprinsă într-un tabel:

Tabel 9.1.1

		Utilaj vechi	Utilaj nou
Consum gaz metan	$\frac{\text{tona}}{\text{t}}$	45	30
Consum aer	$\frac{\text{Nm}}{\text{tona}}$	900	750
Resistență hidraulică	$\frac{\text{mm}}{\text{H}_2\text{O}}$	1000	400
Prof. antrenat în instalație	$\frac{\text{m}}{\text{m}}$	40	25

Efectele introducerii progresului tehnic, la topirea în suspensie a concentratelor cuproase, se concretizează în modificarea indicatorilor economici atât sub forma indicatorilor de efecte propriu-zise cât și sub forme indicatorilor de eficiență a exploatării curente.

Prin aplicarea noii tehnologii de topire se face anual o economie la consumul de combustibil (gaz metan CH_4) de 3.000.000 Nm^3/an cu o economie de 1.050.000 lei/an.

Reducerea consumului de energie de la ventilatoarele de circulație se calculează din economie anuală tehnologică și de combustie care la producția anuală reprezintă un volum de sau 30.000.000 Nm^3 care este:

$$I_1 = \frac{30.000.000 \times 1000}{3600.102.0,9} = 90.777 \text{ kJ/km}$$

Că urmare a scăderii rezistenței hidraulice economie de energie electrică este:

$$I_2 = \frac{V \cdot (P_1 - P_2)}{3600.102.0,9} = \frac{189.000.000 \times 600}{3600.102.0,9} = 343.137 \frac{\text{kJ}}{\text{km}}$$

Prin reducerea cantității de praf entranat în instalație se reduce pierderile de cupru (raportat la producția totală) cu cca 37,5% care reprezintă o recuperare orară de 50 kg/h cupru prin neatenere cu praf, ce anual reprezintă o recuperare de 360 tone cupru/an.

Economia realizată prin reducerea consumului de energie electrică reprezintă:

$$C_e = I \cdot p_c = (90.777 + 343.137) \times 0,40 = 173.565 \text{ lei/an}$$

Economia realizată prin cupru recuperat cu prețul de cost a cuprului în această fază 12000 $\frac{\text{lei}}{\text{tonă}}$ este:

$$C_m = 360 \times 12.000 = 4.320.000 \text{ lei/an.}$$

In consecință, numai o evaluare parțială a eficienței progresului tehnic propus și realizat se obține o economie directă de 5.543.565 lei/an.

Dacă se arată că se obține și de eficiență rezultată din exploatarea curentă a utilajului economiile rezultate ar fi și mai substanțiale.

In concluzie, rezultă astfel o justificare tehnică și economică a noii tehnologii propuse și realizată prin această lucrare prin care deschid noi posibilități în industrie națională pentru introducerea progresului științific și tehnic în ramura extractivă pirometallurgică.

10. CONCLuzii

10.1. - Consideratii finale.

Dăsi cunoscută încă de la începutul secolului nostru, arderea și topirea în suspensie a concentratelor cuproase ridică probleme teoretice și practice, care sunt încă departe de a fi soluționate în mod corespunzător în literatura tehnică de specialitate.

Una din cele mai importante probleme, neresolvată este accesul rezolvării practice a transferului de căldură și de masă de la jetul portant la particulele solide de concentrat cupros în suspensie.

Metodele de evaluare cantitativă utilizate pentru urmărirea desfășurării proceselor fizico-chimice ce au loc în turnul de reacție și instalației su la bază o serie de ipoteze simplificătorii privind procesele desvoltate în jetul portant, deci aceea de evaluare științifică de calcul este îngreunată de faptul că instrumentele de măsură necesare de a fi, utilizate nu resistă la condițiile de temperatură și atmosferă deosebit de ceeață.

Scopul urmărit în lucrarea de față a fost acela de a găsi o metodă de cercetare a cineticii de dezfașurare a proceselor fizico-chimice, ce au loc în turnul de reacție și de a găsi metode adecvate pentru intensificarea proceselor de ardere care să permită realizarea unor parametrii de lucru a instalației corespunzător nivelului tehnic impus de ritmul înalt de dezvoltare a mijloacelor de producție.

Din studiul teoretic și experimental al fenomenelor legate de arderea și topirea în suspensie a concentratelor cuproase, prezente în capituloare anterioare, s-au desprins o serie de concluzii și observații interesante dintre care, în cele ce urmează, expun cele mai importante:

1.-In calculul teoretic al procesului de ardere și topire în suspensie se impune stabilirea ecuațiilor cineticii formale ale concentratului industrial în diferitele etape de încălzire și în funcție de viteza de încălzire și atmosferă reală din turnul de reacție.

2.-Este necesară rezolvarea ecuațiilor diferențiale ale mișcării particulelor solide pentru cunoașterea interacțiunii dintre fluidul portant și particule.

3.-Rezultă necesitatea găsirii unor metode practice de creșterea vitezelor relative jet-particula care oferă o metodă imediată pentru intensificarea proceselor de ardere și topire.

4.-Metoda utilizării unei oscilații pentru intensificarea proceselor impune alegerea unei bande de frecvențe care să înglobeze frecvențele proprii ale particulelor polidisperse.

5.-Reglarea regimului de funcționare a instalației într-un domeniu larg se realizează prin varierea intensității oscilațiilor utilizate.

10.2. Contribuții principale

In cele ce urmează prezint principalele contribuții personale la studiul proceselor de ardere și topire în suspensie a concentratelor cuproase și a piritelor:

1.-Elaborarea unei metode de calcul pentru stabilirea ecuațiilor cineticii formale ale unei concentratii industriale format din polisulfuri metalice în baza unor analize termogravimetrice.

2.-Stabilirea ecuațiilor diferențiale ale mișcării și metoda de rezolvare a lor pentru jetul dezvoltat în turnul de reacție.

3.-Stabilirea ecuațiilor de mișcare a particulelor în suspensie și rezolvarea lor.

4.-Rezolvarea ecuațiilor diferențiale ale încălzirii particulelor solide la diferite regimuri de funcționare a instalației.

5.-Stabilirea și rezolvarea în cimp oscilat a mișcării particulelor solide în suspensie unui fluid portant.

6.-Efectuarea unei calcule statistică cu privire la numărul ciocnirilor particulelor solide în suspensie în sistem static și sistem oscilat.

7.-Elaborarea unei metode de calcul a schimbului de căldură și masă în condițiile curgerii între-un jet portant oscilat.

8.-Realizarea unei stand experimentale al unui arzător însestrat cu generator de unde acustice pentru verificarea factorilor ce influențează schimbul calorice și de masă.

9.-Verificarea și indicarea parametrului determinant în intensificarea schimbului termic și masic la topire în suspensie a concentratelor cuproase.

10-Proiectarea și realizarea unui arzător cu unde de presiune pentru topirea concentratelor cuproase în suspensie în faza pilot de capacitate 400 kg/h.

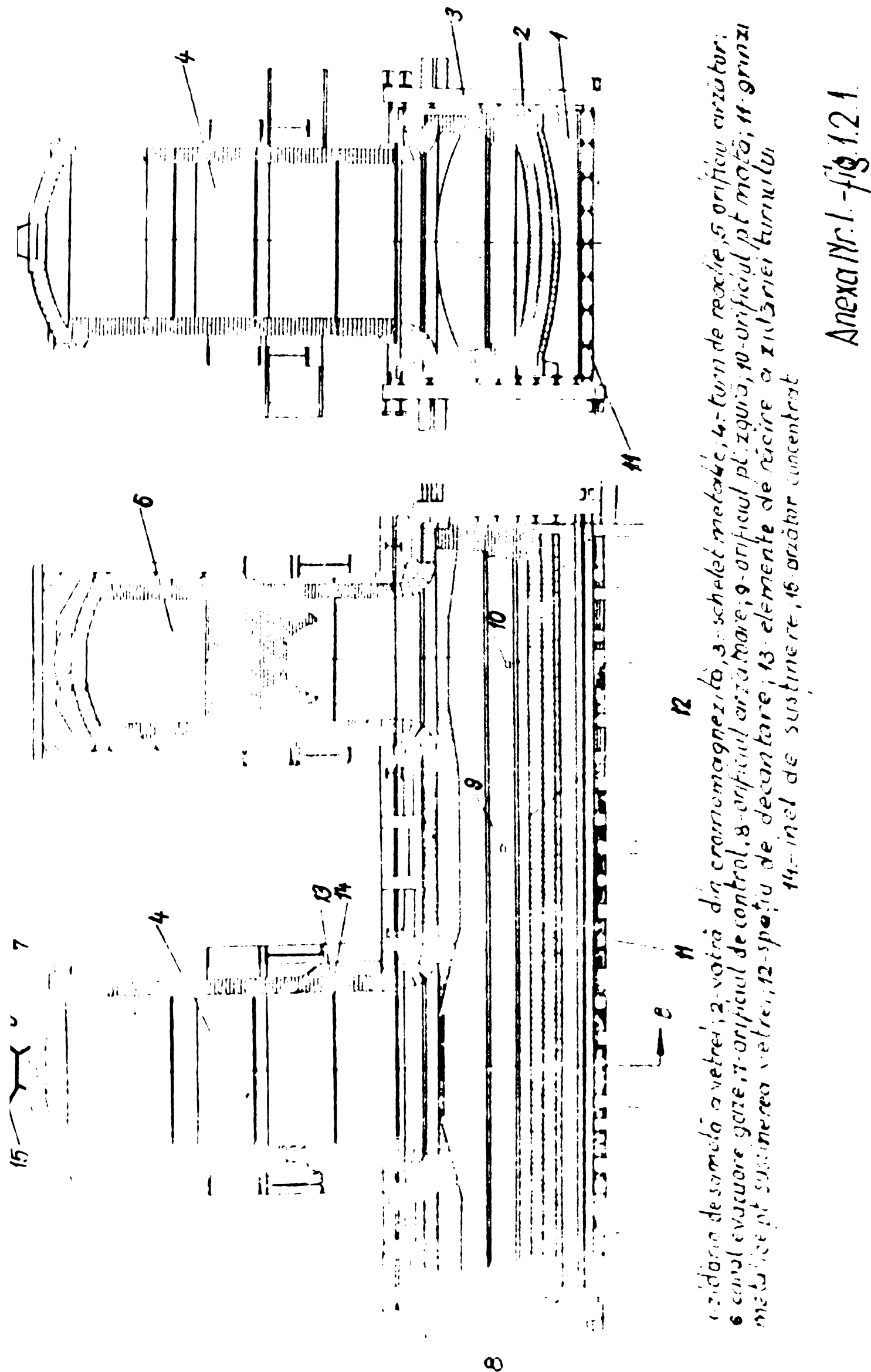
11-Proiectarea și realizarea unui arzător cu unde de presiune pentru topirea concentratelor în faza industrială cu capacitate de (25-35) tons/h.

12-Verificarea și urmărirea parametrilor arzătorului industrial, montat la instalația industrială de topire în suspensie, pentru justificarea concluziilor deduse din cercetarea teoretică și experimentală.

B I B L I O G R A F I E

- 1.-E.Pincovschi - Tehnologia acidului sulfuric și a compușilor intermediari.
- 2.-K.M.Malin și alții - Tehnologia acidului sulfuric. Goshimisdat (1950).
- 3.-Fefilov,A.J.,Leapustina E.A. - Viteza procesului de ardere a piritei flotate în stare de suspensie.(Jurnal Prikladnoi Khimii, XXXII, fasc.3. martie 1959, 515-523).
- 4.-V.V.N.S.Romakrishna Rao și K.P. Abraham - „ Cinetica oxidării sulfurii de cupru” Metallurgical Transactions, vol. 2, sept.1971.
- 5.-P.Ajersch și IwM. Togurii - Vitezele de oxidare a cuprului și sulfurii de cupru lichide. Metallurgical Transactions, vol.3, august,1972.
- 6.-Victor Tafel - Lehrbuch der Metallhüttenkunde.
- 7.-Esayan L.- Fluidizarea.
- 8.-I.C.Carabogdan Pănoiu - Bazele teoretice ale sprinderii și arderei combustibililor solizi.Ed.Academiei RSR,1969.
- 9.-A.M.Maleț - Cercetarea procesului de părijire a piritei în strat fluidizat. „Himiceskaja promislennost” nr.1,1959, p.54-61.
- 10-I.A.Burovoii și V.N. Fliesberg - Dinamica prăjirii piritei în cuptoare cu strat fluidizat.
- 11-Walter G.Kag - Studii asupra reactorilor cu strat fluidizat. („Chemical Engineering Progress” vol.55, nr.12, dec.1959).
- 12- x x x -Prăjirea blendelor în stare de suspensie.(Documente de studiu, Combinatul Metalurgic Baia Mare).
- 13-Dumitru N.Tudor - Analiza termică a mineralelor. Editura tehnică, București,1972.
- 14-Cornel Unguresanu - Instalații de cezane. Ed.Institutului Politehnic "Traian Vuia" Timișoara,1971.
- 15-Grecov,Iordache,„ntonescu - Arderea combustibililor gazosi. Editura Academiei R.S.României,1969.
- 16-C.A.Schneider - Cinetica chimică.Ed.didactică și pedagogică, București,1974.

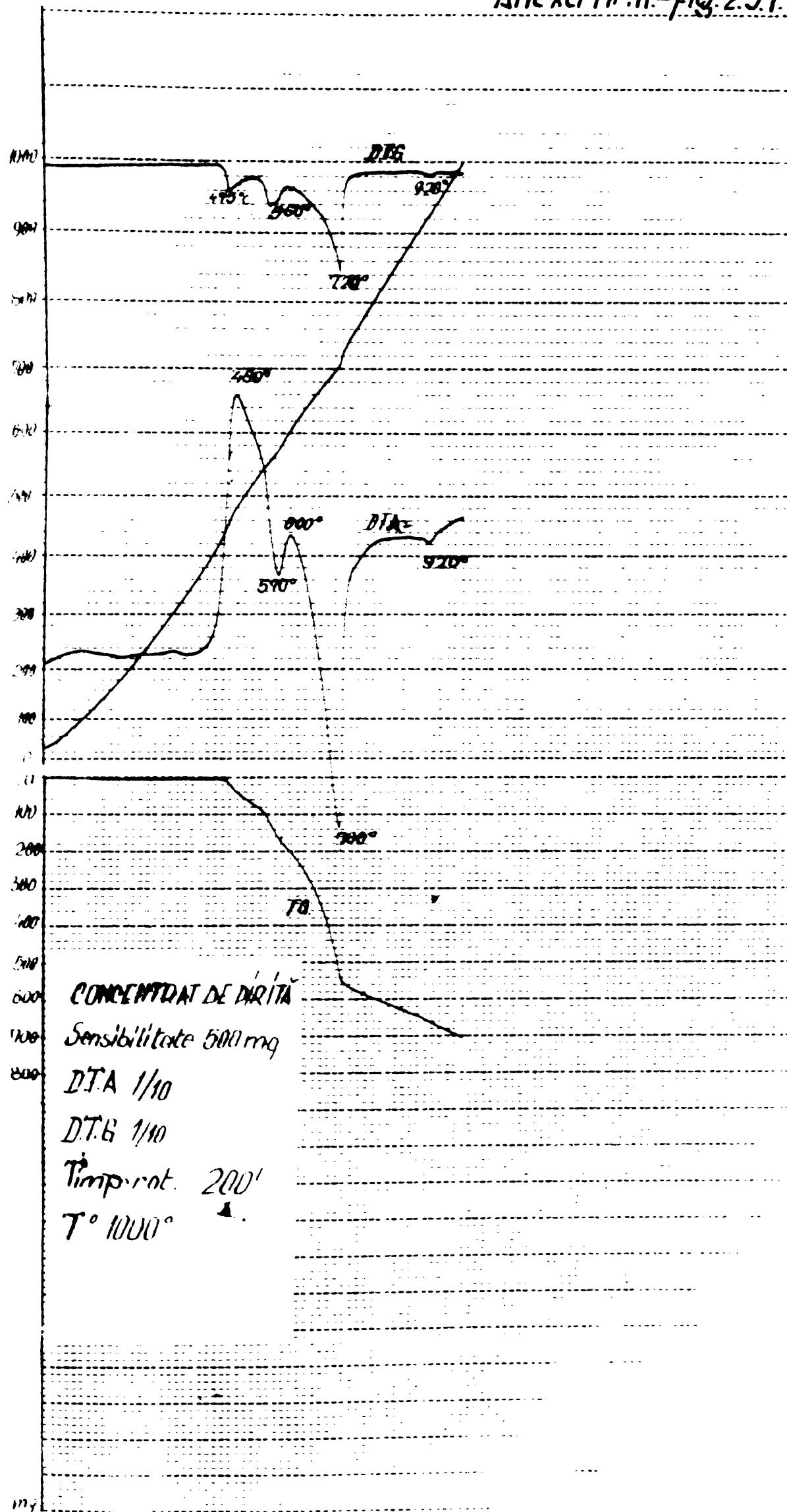
- 17-V.A. Uspenski - Transportul pneumatic al materialelor în stare de suspensie.
- 18-I.Vlădescu - Tratat de termodynamică tehnică și transmiterea căldurii. Ed.didactică și pedagogică, București, 1974.
- 19-St.N.Sărăulescu - Transiția de la securerea laminară la cea turbulentă. Edit.Academiei R.S.România, 1968, Buc.
- 20-Cristea Metescu - Hidraulica. Ed.pedagogică.
- 21-Werner Heiligenstaedt - Wärmetechnische Rechnungen für Industrien. Verlag Stahleisen K.B.H/Düsseldorf, 1966.
- 22-E.Bădărău - Ultracustica. Ed.tehnică, 1967.
- 23-D.A. Ghergăl - Aparate cu ultraseunete. Ed.tehnică, 1962.
- 24-Stan Soare - Procese hidrodinamice. Ed.didactică și pedagogică, 1972.
- 25-Fl.Oprea - Procedee speciale în metalurgia metalelor neferoase. Ed.tehnică, București.
- 26-Fl.Oprea și S.Oprea - Metalurgia plumbului, cuprului și zincului. Ed.tehnică, București, 1963.
- 27-I.I.Zoffe, L.M.Pismen - Cataliza eterogenă în industria chimică. Editura tehnica, București, 1967.
- 28-W.S.Dorn, D.D.Mc.Cracken - Metode numerice cu programe în Fortran. Editura tehnica, București, 1972 (trad. din lb.engleză).
- 29-Fl.Oprea - Teoria proceselor metalurgice. Editura didactică și pedagogică, București, 1966.
- 30-Fl.Oprea, Rodica Roman, Dragos Talci - Teoria proceselor metalurgice, Ed.didactică și pedagogică, București, 1978.
- 31-Oroveanu I.- Mecanica fluidelor viscoase. Edit.Academiei R.S. România, 1967.
- 32-Octavian Florescu - Procedee intensive în operațiile unitare de transfer, Ed.tehnică.
- 33-B.Popă, Virginia Iscrulescu - Procese de ardere în cîmp sonor, Ed.Academiei R.S.România, București, 1973.

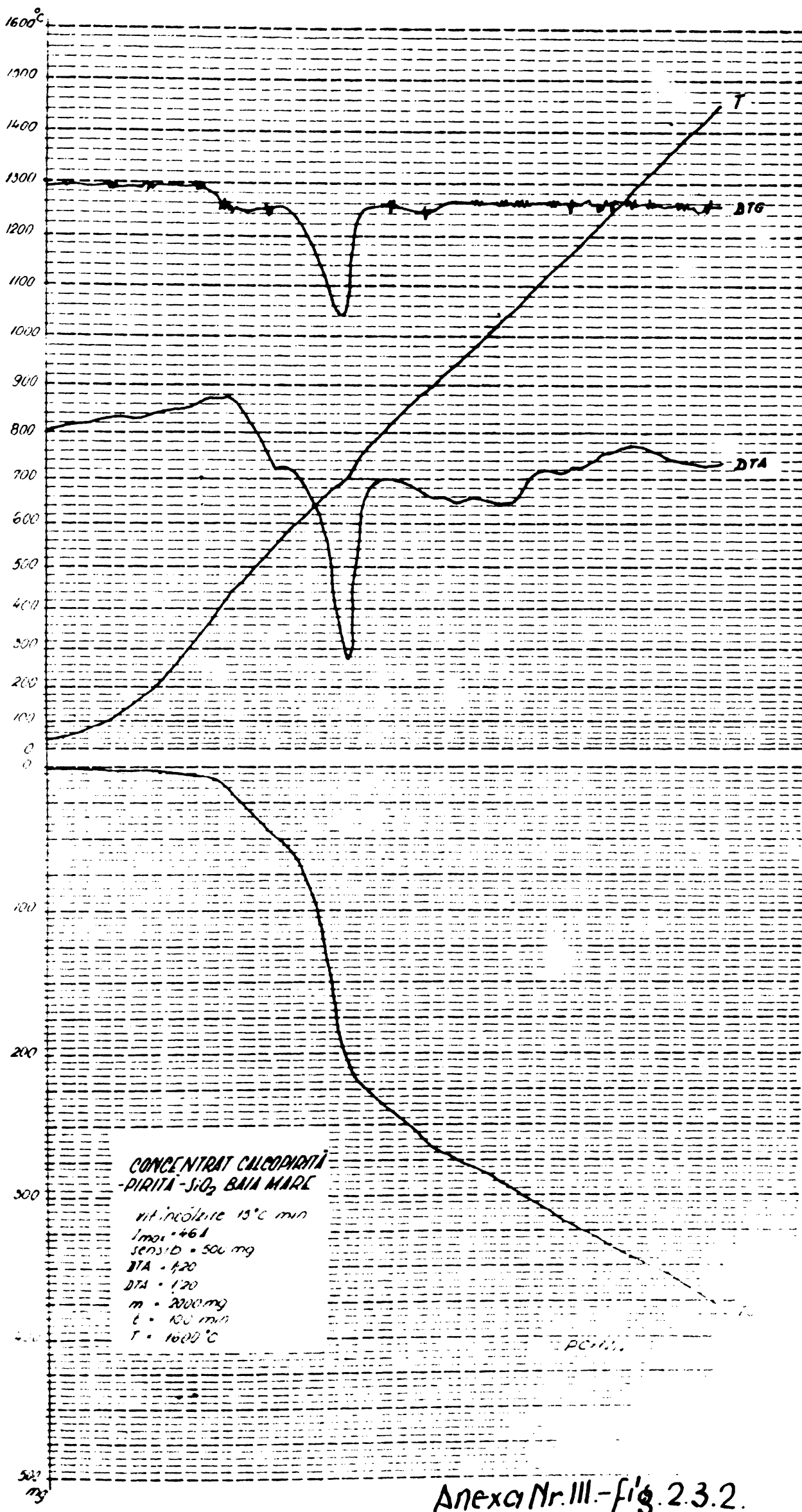


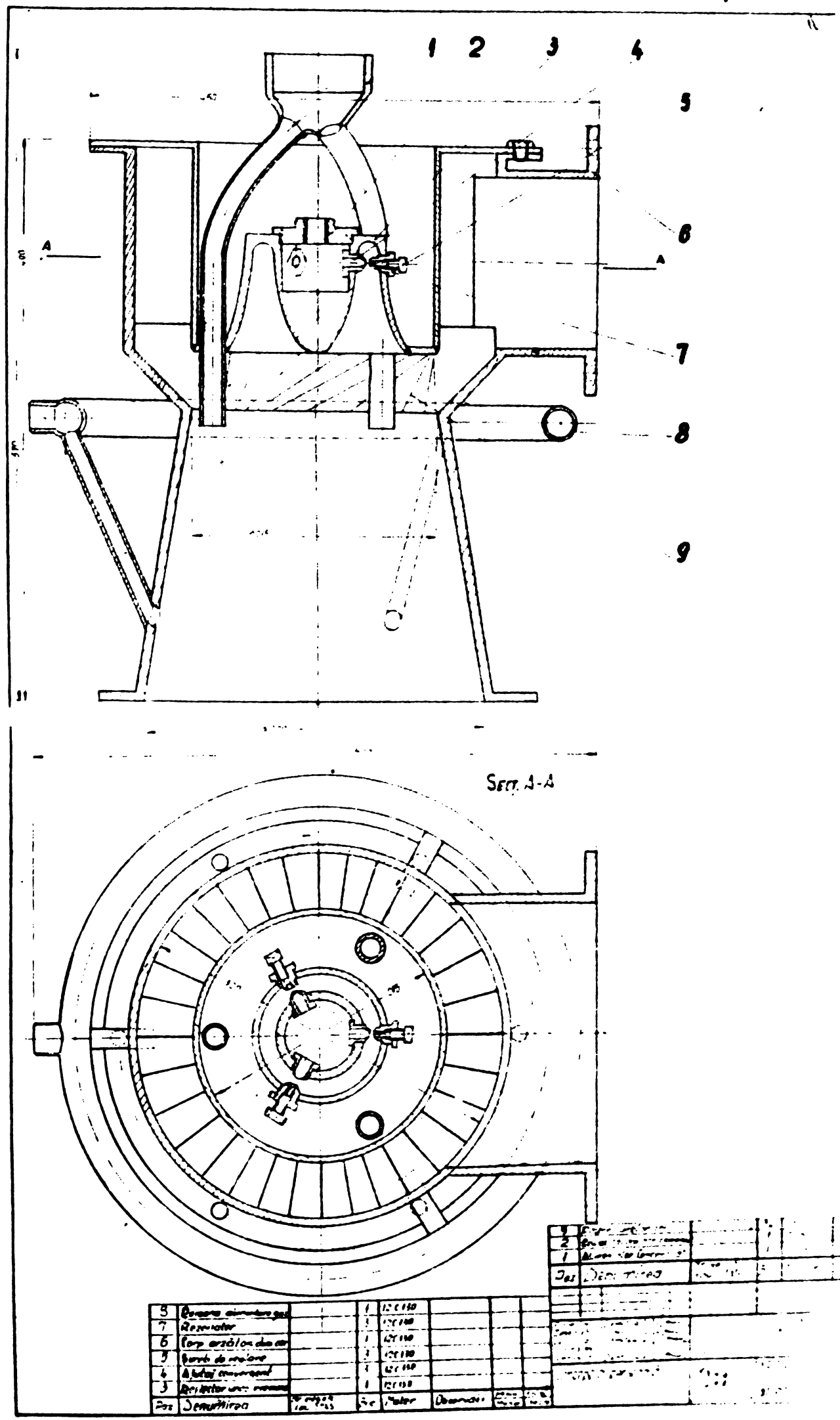
Ediția de simulări avetă: 1 - voluri din crumomagnet, 2 - voluri din crumomagnet, 3 - schală metalică, 4 - turn de reacție, 5 - orificiu orizontal; 6 - canal evacuare gaze, 7 - orificiu de control, 8 - suport orizontal; 9 - orificiu plăzui, 10 - orificiu plăzui, 11 - grinză metalică și suport vertical; 12 - suport de decontare; 13 - elemente de decorație și acoperire a zărâriei; turnuri; 14 - inel de suport; 15 - orificiu concentric.

Anexa Nr. 1 - fig. 1.2.1

Anexa Nr.11.-fig. 2.3.1.







Anexa nr. V.

Specificações produtel

1	2
3	4
5	6
7	8
9	10
11	12
13	14
15	16
17	18
19	20
21	22
23	24
25	26
27	28
29	30
31	32
33	34
35	36
37	38
39	40
41	42
43	44
45	46
47	48
49	50
51	52
53	54
55	56
57	58
59	60
61	62
63	64
65	66
67	68
69	70
71	72
73	74
75	76
77	78
79	80
81	82
83	84
85	86
87	88
89	90
91	92
93	94
95	96
97	98
99	100